



## Complexe Turcot

### Surveillance archéologique



**BiFj-28, 614G,  
MTL09-23-1 et MTL09-24-1**

Préliminaire

# **SURVEILLANCE ARCHÉOLOGIQUE (2009)**

**Direction territoriale de l'Île-de-Montréal**

**Direction générale de Montréal et de l'Ouest**

Rapport préparé par :

**Ethnoscop inc.**

88, rue de Vaudreuil, local 3  
Boucherville (Québec) J4B 5G4  
Téléphone : (450) 449-1250  
Télécopieur : (450) 449-0253  
Adresse de courriel : [ethnoscop@qc.aira.com](mailto:ethnoscop@qc.aira.com)

Permis de recherche archéologique au Québec :  
08-ETHN-07 et 09-ETHN-08

Réalisé pour le ministère des Transports du Québec

N° de contrat : 850744702 (N° de dossier : 8503-08-AD01)

N° de contrat : 850763692 (N° de dossier : 8510-09-AD01)

Décembre 2011

# TABLE DES MATIÈRES

---

TABLE DES MATIÈRES .....	ii
LISTE DES PLANS .....	v
LISTE DES TABLEAUX .....	vii
LISTE DES FIGURES .....	viii
LISTE DES PHOTOGRAPHIES .....	ix
ÉQUIPE DE RÉALISATION .....	xiii
<b>1.0 INTRODUCTION .....</b>	<b>1</b>
<b>1.1 Mandat et objectifs .....</b>	<b>2</b>
<b>1.2 Zone d'étude .....</b>	<b>2</b>
<b>1.3 Méthodologie .....</b>	<b>3</b>
1.3.1 Activités préparatoires .....	3
1.3.2 Surveillance archéologique.....	3
1.3.2.1 Mode d'enregistrement.....	3
1.3.2.2 Données archéologiques recueillies.....	5
1.3.3 Analyse des données et production du rapport .....	5
<b>2.0 SURVEILLANCE ARCHEOLOGIQUE .....</b>	<b>8</b>
<b>2.1 Secteur à potentiel archéologique historique H3 .....</b>	<b>9</b>
2.1.1 Sous-opérations MTL09-23-1-1A à 1G et 1P .....	9
2.1.2 Résultats.....	9
2.1.3 Discussion et recommandation.....	15
<b>2.2 Zone à potentiel archéologique historique H3-1 .....</b>	<b>15</b>
2.2.1 Sous-opérations MTL09-23-1-1H à 1N.....	16
2.2.2 Résultats.....	18
2.2.3 Discussion et recommandation.....	20
<b>2.3 Secteur à potentiel archéologique historique H4 .....</b>	<b>21</b>
2.3.1 Sous-opérations MTL09-23-1-2A à 2T .....	21
2.3.2 Résultats.....	21
2.3.3 Discussion et recommandation.....	27
<b>2.4 Zone à potentiel archéologique historique H4-1 .....</b>	<b>30</b>
2.4.1 Sous-opérations MTL09-23-1-24B à 24F .....	30
2.4.2 Résultats.....	32
2.4.3 Discussion et recommandation.....	33
<b>2.5 Zone à potentiel archéologique historique H5-1 .....</b>	<b>33</b>
2.5.1 Sous-opérations 614G-5A, 5B, 5C et 5G .....	35
2.5.2 Sous-opérations 614G-5D, 5E, 5F et 5H.....	35
2.5.3 Résultats.....	35
2.5.4 Discussion et recommandation.....	37

## TABLE DES MATIÈRES

---

<b>2.6</b>	<b>Zone à potentiel archéologique historique H6-1</b> .....	40
2.6.1	Sous-opérations MTL09-23-1-4A et 4B .....	40
2.6.2	Sous-opérations MTL09-23-1-5A à 5C .....	40
2.6.3	Sous-opérations MTL09-23-1-20A à 20T .....	42
2.6.4	Sous-opérations MTL09-23-1-22A à 22E .....	42
2.6.5	Sous-opérations MTL09-23-1-23B à 23E .....	42
2.6.6	Résultats .....	43
2.6.6.1	Partie ouest .....	43
2.6.6.2	Partie est .....	51
2.6.7	Discussion et recommandation .....	51
<b>2.7</b>	<b>Zone à potentiel archéologique historique H6-2</b> .....	53
2.7.1	Sous-opérations MTL09-23-1-6A à 6H .....	53
2.7.2	Sous-opérations MTL09-23-1-7A à 7C .....	53
2.7.3	Résultats .....	53
2.7.4	Discussion et recommandation .....	59
<b>2.8</b>	<b>Zone à potentiel archéologique historique H6-3</b> .....	59
2.8.1	Sous-opération MTL09-23-1-3F .....	59
2.8.2	Sous-opérations MTL09-23-1-8A à 8H .....	63
2.8.3	Sous-opérations MTL09-23-1-9A à 9E .....	63
2.8.4	Sous-opérations BiFj-28-2A à 2C .....	63
2.8.5	Sous-opérations MTL09-23-1-21A à 21D, 21G à 21K et 21N à 21S .....	63
2.8.6	Résultats .....	63
2.8.7	Discussion et recommandation .....	69
<b>2.9</b>	<b>Zone à potentiel archéologique historique H6-4</b> .....	69
2.9.1	Sous-opérations MTL09-23-1-3A et 3B .....	74
2.9.2	Sous-opérations MTL09-23-1-10A à 10S .....	74
2.9.3	Sous-opérations MTL09-23-1-11A à 11K .....	75
2.9.4	Sous-opérations MTL09-23-1-21E et 21F .....	75
2.9.5	Résultats .....	75
2.9.5.1	Partie sud .....	75
2.9.5.2	Partie nord .....	81
2.9.6	Discussion et recommandation .....	84
<b>2.10</b>	<b>Zone à potentiel archéologique historique H6-5</b> .....	88
2.10.1	Sous-opérations MTL09-23-1-3C .....	88
2.10.2	Sous-opérations MTL09-23-1-12A à 12H .....	88
2.10.3	Sous-opération MTL09-23-1-13A .....	88
2.10.4	Résultats .....	88
2.10.5	Discussion et recommandation .....	94

## TABLE DES MATIÈRES

---

<b>2.11</b>	<b>Zone à potentiel archéologique historique H6-6</b> .....	96
2.11.1	Sous-opérations MTL09-23-1-18A à 18C.....	96
2.11.2	Sous-opérations MTL09-23-1-19A à 19F .....	96
2.11.3	Résultats.....	97
2.11.4	Discussion et recommandation.....	97
<b>2.12</b>	<b>Zone à potentiel archéologique historique H6-7</b> .....	97
2.12.1	Sous-opération MTL09-24-1-13C .....	99
2.12.2	Sous-opérations MTL09-24-1-16A à 16E .....	99
2.12.3	Sous-opérations MTL09-24-1-17A à 17D.....	99
2.12.4	Résultats.....	99
2.12.5	Discussion et recommandation.....	103
<b>2.13</b>	<b>Secteur à potentiel archéologique historique H6</b> .....	103
2.13.1	Sous-opérations MTL09-23-1-3D et 3E .....	103
2.13.2	Sous-opérations MTL09-23-1-12J à 12CC.....	103
2.13.3	Sous-opérations MTL09-23-1-13B et 13D à 13F.....	104
2.13.4	Sous-opérations MTL09-23-1-14A à 14R.....	104
2.13.5	Sous-opérations MTL09-23-1-15A à 15F .....	104
2.13.6	Résultats.....	105
2.13.6.1	Partie sud .....	105
2.13.6.2	Partie nord.....	105
2.13.7	Discussion et recommandation.....	116
<b>2.14</b>	<b>Zone à potentiel archéologique préhistorique P3</b> .....	116
2.14.1	Résultats.....	118
2.14.1.1	Partie ouest .....	118
2.14.1.2	Partie est .....	119
2.14.2	Discussion et recommandation.....	122
<b>3.0</b>	<b>CONCLUSION ET RECOMMANDATIONS</b> .....	123
	<b>DOCUMENTS CONSULTÉS</b> .....	126
	<b>ANNEXES</b>	
Annexe A :	Correspondance entre les modes d'enregistrement	
Annexe B :	Localisation des numéros séquentiels du MTQ	
Annexe C :	Catalogues des photographies	

## LISTE DES PLANS

---

<b>Plan 1</b>	Localisation générale de la zone d'étude	4
<b>Plan 2</b>	Secteur à potentiel archéologique historique H3	10
<b>Plan 3</b>	Superposition du plan de Goad de 1913 sur le plan actuel, secteur à potentiel archéologique historique H3	13
<b>Plan 4</b>	Superposition du plan d'Underwriters' Survey Bureau de 1915 révisé en 1926 sur le plan actuel, secteur à potentiel archéologique historique H3	17
<b>Plan 5</b>	Secteurs à potentiel archéologique historique H4 et H5	22
<b>Plan 6</b>	Plan polyphasé des secteurs à potentiel archéologique historique H4 et H5	28
<b>Plan 7</b>	Superposition du plan de Goad de 1913 sur le plan actuel, secteur à potentiel archéologique historique H4 et H5	29
<b>Plan 8</b>	Zones à potentiel archéologique historique H6-1, H6-2 et H6-3	41
<b>Plan 9</b>	Profils stratigraphiques illustrant la surface de l'horizon organique du sol naturel, zone à potentiel archéologique historique H6-1	49
<b>Plan 10</b>	Superposition du plan d'Underwriters' Survey Bureau de 1954 sur le plan actuel, secteur à potentiel archéologique historique H6 ouest	60
<b>Plan 11</b>	Superposition du plan de H. S. Sitwell de 1867-1871 sur le plan actuel, secteur à potentiel archéologique historique H6 ouest	71
<b>Plan 12</b>	Zones à potentiel archéologique historique H6-4, H6-5, H6-6, H6-7 et H6-8	73
<b>Plan 13</b>	Superposition du plan d'Underwriters' Survey Bureau de 1940 sur le plan actuel, secteur à potentiel archéologique historique H6 ouest	83
<b>Plan 14</b>	Superposition du plan de H. S. Sitwell de 1865-1871 sur le plan actuel, secteur à potentiel archéologique historique H6 est	86

## LISTE DES PLANS

---

<b>Plan 15</b>	Superposition du plan de Goad de 1907 sur le plan actuel, secteur à potentiel archéologique historique H6 est	87
<b>Plan 16</b>	Plan polyphasé de bâtiments dans la zone à potentiel archéologique historique H6-5	93
<b>Plan 17</b>	Superposition du plan d'Underwriters' Survey Bureau de 1954 sur le plan actuel, secteur à potentiel archéologique historique H6 est	95
<b>Plan 18</b>	Profil stratigraphique illustrant la surface de l'horizon organique du sol naturel dans la zone à potentiel archéologique préhistorique P3	117

## LISTE DES TABLEAUX

---

<b>Tableau 1</b>	Synthèse des résultats de la surveillance archéologique dans le secteur à potentiel archéologique historique H3	11
<b>Tableau 2</b>	Synthèse des résultats de la surveillance archéologique dans la zone à potentiel archéologique historique H3-1	19
<b>Tableau 3</b>	Synthèse des résultats de la surveillance archéologique dans le secteur à potentiel archéologique historique H4	24
<b>Tableau 4</b>	Synthèse des résultats de la surveillance archéologique dans la zone à potentiel archéologique historique H4-1	31
<b>Tableau 5</b>	Synthèse des résultats de la surveillance archéologique dans la zone à potentiel archéologique historique H5-1	36
<b>Tableau 6</b>	Synthèse des résultats de la surveillance archéologique dans la zone à potentiel archéologique historique H6-1	44
<b>Tableau 7</b>	Synthèse des résultats de la surveillance archéologique dans la zone à potentiel archéologique historique H6-2	55
<b>Tableau 8</b>	Synthèse des résultats de la surveillance archéologique dans la zone à potentiel archéologique historique H6-3	65
<b>Tableau 9</b>	Synthèse des résultats de la surveillance archéologique dans la zone à potentiel archéologique historique H6-4	76
<b>Tableau 10</b>	Synthèse des résultats de la surveillance archéologique dans la zone à potentiel archéologique historique H6-5	90
<b>Tableau 11</b>	Synthèse des résultats de la surveillance archéologique dans la zone à potentiel archéologique historique H6-6	98
<b>Tableau 12</b>	Synthèse des résultats de la surveillance archéologique dans la zone à potentiel archéologique historique H6-7	101
<b>Tableau 13</b>	Synthèse des résultats de la surveillance archéologique dans le secteur à potentiel archéologique historique H6	106

## LISTE DES FIGURES

---

<b>Figure 1</b>	Zone remblayée du canal de Lachine au cours des années 1960	39
<b>Figure 2</b>	Coupe stratigraphique B-B (tirée de INSPEC-SOL, p. 43)	39
<b>Figure 3</b>	Extrait du plan de H. S. Sitwell de 1865-1871 indiquant une partie du tracé de la rivière Saint-Pierre ( <i>Petit Lac S<sup>t</sup> Pierre</i> )	50
<b>Figure 4</b>	Extrait du plan de H. S. Sitwell de 1865-1871 indiquant l'emplacement d'une ancienne école	61
<b>Figure 5</b>	Extrait des plans de H. S. Sitwell de 1865-1871, de Goad de 1890 et du Underwriters' Survey Bureau de 1954 illustrant l'emplacement d'un petit bâtiment dans la zone à potentiel H6-3	72

## LISTE DES PHOTOGRAPHIES

---

<b>Page couverture</b>	Montage illustrant la réalisation du forage C-2(F-1) (MTL09-23-1-NUM1-9) et de l'excavation du sondage exploratoire M5-TR23 (MTL09-23-1-NUM3-90)	
<b>Photo 1</b>	Sous-opération MTL09-23-1-1B, direction sud-ouest (MTL09-23-1-NUM1-1)	12
<b>Photo 2</b>	Exemple type d'un échantillon de till de fond provenant de la sous-opération 614G-5H (614G-09-NUM1-13)	14
<b>Photo 3</b>	Vue générale du secteur à potentiel historique H3, direction sud-ouest (MTL09-23-1-NUM1-8)	18
<b>Photo 4</b>	Portion centrale du secteur à potentiel historique H4, direction nord-ouest (MTL09-23-1-NUM1-13)	21
<b>Photo 5</b>	Exemple type d'un échantillon de marne dans une cuillère fendue, sous-opération MTL09-23-1-2P (MTL09-23-1-NUM1-23)	27
<b>Photo 6</b>	Sous-opération MTL09-23-1-24F dans la zone à potentiel historique H4-1, direction nord (MTL09-23-1-NUM5-27)	30
<b>Photo 7</b>	Sous-opération MTL09-23-1-24E dans la zone à potentiel historique H4-1, direction sud (MTL09-23-1-NUM5-24)	32
<b>Photo 8</b>	Vue de la rive droite du canal de Lachine, dans le secteur de la zone à potentiel historique H5-1, direction est (614G-09-NUM1-1)	34
<b>Photo 9</b>	Vue de la rive gauche du canal de Lachine, dans le secteur de la zone à potentiel historique H5-1, direction ouest (614G-09-NUM1-6)	34
<b>Photo 10</b>	Sous-opération 614G-5D à proximité d'un pilier de l'autoroute 15, direction sud-ouest (614G-09-NUM1-5)	38
<b>Photo 11</b>	Sous-opération 614G-5H dans l'emprise du chemin de la Côte-Saint-Paul, direction est (614G-09-NUM1-11)	38
<b>Photo 12</b>	Sous-opération MTL09-23-1-4A dans la zone à potentiel historique H6-1, direction ouest (MTL09-23-1-NUM3-1)	42
<b>Photo 13</b>	Sous-opération MTL09-23-1-20C dans la zone à potentiel historique H6-1, direction sud-ouest (MTL09-23-1-NUM5-2)	52

## LISTE DES PHOTOGRAPHIES

---

<b>Photo 14</b>	Sous-opération MTL09-23-1-20J dans la portion sud-est de la zone à potentiel historique H6-1, direction sud-est (MTL09-23-1-NUM5-8)	52
<b>Photo 15</b>	Sous-opération MTL09-23-1-6G dans la zone à potentiel historique H6-2, direction est (MTL09-23-1-NUM3-19)	54
<b>Photo 16</b>	Profil stratigraphique type de la sous-opération MTL09-23-1-6D, direction nord-est (MTL09-23-1-NUM3-12)	54
<b>Photo 17</b>	Section d'un plancher en béton possiblement associé à un bâtiment de la St. Paul Laundry, sous-opération MTL09-23-1-6B, direction nord (MTL09-23-1-NUM3-7)	58
<b>Photo 18</b>	Fond de la sous-opération MTL09-23-1-6C. L'eau occupe l'espace entre des murs et un plancher de cave en béton, direction est (MTL09-23-1-NUM3-11)	58
<b>Photo 19</b>	Sous-opération MTL09-23-1-8A dans la zone à potentiel historique H6-3, direction est (MTL09-23-1-NUM3-20)	62
<b>Photo 20</b>	Sous-opération BiFj-28-09-2C dans le garage de la Ville de Montréal, zone à potentiel H6-3, direction sud-ouest (BiFj-28-09-NUM1-2)	62
<b>Photo 21</b>	Sous-opération MTL09-23-1-21C dans la zone à potentiel historique H6-3, direction nord-ouest (MTL09-23-1-NUM5-10)	64
<b>Photo 22</b>	Sous-opération MTL09-23-1-21Q sur la rampe d'accès de l'écocentre Eadie, zone à potentiel historique H6-3, direction ouest (MTL09-23-1-NUM5-33)	64
<b>Photo 23</b>	Profil stratigraphique type de la zone à potentiel historique H6-3, direction nord-est (MTL09-23-1-NUM3-23)	70
<b>Photo 24</b>	Horizon organique remanié dans la sous-opération MTL09-23-1-8E (à la hauteur de la truelle), direction sud-est (MTL09-23-1-NUM3-29)	70
<b>Photo 25</b>	Sous-opération MTL09-23-1-10B dans la zone à potentiel historique H6-4, direction ouest (MTL09-23-1-NUM3-36)	74
<b>Photo 26</b>	Sous-opération MTL09-23-1-10M réalisée en bordure nord du centre Turcot, direction sud-est (MTL09-23-1-NUM3-63)	80

## LISTE DES PHOTOGRAPHIES

---

<b>Photo 27</b>	Sous-opération MTL09-23-1-10P dans la portion sud-est de la zone à potentiel historique H6-4, direction sud-ouest (MTL09-23-1-NUM3-66)	80
<b>Photo 28</b>	Profil stratigraphique montrant les différents remblais de la portion nord de la zone à potentiel H6-4, direction sud-est (MTL09-23-1-NUM3-47)	82
<b>Photo 29</b>	Nombreuses traverses retirées dans la sous-opération MTL09-23-1-10E, direction est (MTL09-23-1-NUM3-44)	82
<b>Photo 30</b>	Sous-opération MTL09-23-1-10B, détail de l'horizon organique associé au sol naturel, direction est (MTL09-23-1-NUM3-38)	85
<b>Photo 31</b>	Profil stratigraphique de la sous-opération MTL09-23-1-10F montrant la couche de tourbe à la base, direction sud (MTL09-23-1-NUM3-49)	85
<b>Photo 32</b>	Portion centrale de la zone à potentiel historique H6-5, la sous-opération MTL09-23-1-12B est au premier plan, direction ouest (MTL09-23-1-NUM3-79)	89
<b>Photo 33</b>	Sous-opération MTL09-23-1-3C dans la zone à potentiel historique H6-5, direction ouest (MTL09-23-1-NUM2-3)	89
<b>Photo 34</b>	Profil stratigraphique de la sous-opération MTL09-23-1-12B, direction ouest (MTL09-23-1-NUM3-78)	92
<b>Photo 35</b>	Sous-opération MTL09-23-1-12E, plancher et mur en béton associés à un bâtiment résidentiel du XX <sup>e</sup> siècle, direction nord-est (MTL09-23-1-NUM3-84)	94
<b>Photo 36</b>	Partie ouest de la zone à potentiel historique H6-6 occupée par des entrepôts, direction nord-est (MTL09-23-1-NUM3-154)	96
<b>Photo 37</b>	Sous-opération MTL09-24-1-16E dans la zone à potentiel historique H6-7, direction nord (MTL09-24-1-NUM1-6)	100
<b>Photo 38</b>	Sous-opération MTL09-24-1-13C dans la zone à potentiel historique H6-7, direction nord (MTL09-24-1-NUM1-7)	100
<b>Photo 39</b>	Profil stratigraphique type montrant les remblais de calcaire broyé associés à l'aménagement du canal de l'Aqueduc, direction ouest (MTL09-24-1-NUM1-4)	102

## LISTE DES PHOTOGRAPHIES

---

<b>Photo 40</b>	Assemblage de briques de laitier disposées à plat possiblement associé à une surface de circulation rudimentaire, sous-opération MTL09-24-1-16B, direction sud (MTL09-24-1-NUM1-2)	102
<b>Photo 41</b>	Sous-opération MTL09-23-1-14F dans le hangar en tôle situé sur le terrain de la compagnie Crane, direction nord-est (MTL09-23-1-NUM3-121)	104
<b>Photo 42</b>	Sous-opération MTL09-23-1-12J, mur en brique et plancher en béton possiblement associés à des maisons en rangée du XX <sup>e</sup> siècle, direction sud-est (MTL09-23-1-NUM3-92)	113
<b>Photo 43</b>	Sous-opération MTL09-23-1-12Z, plancher en béton possiblement associé à un bâtiment industriel du XX <sup>e</sup> siècle, direction sud (MTL09-23-1-NUM3-149)	113
<b>Photo 44</b>	Profil stratigraphique type montrant l'horizon organique du sol naturel, sous-opération MTL09-23-1-12Q, direction sud-est (MTL09-23-1-NUM3-104)	114
<b>Photo 45</b>	Exemple d'éléments de culture matérielle mis au jour dans les remblais présents sur le terrain de la compagnie Crane, portion nord du secteur historique H6 (MTL09-23-1-NUM3-127)	115
<b>Photo 46</b>	Profil stratigraphique type des sous-opérations réalisées sur le terrain de la compagnie Crane, secteur historique H6, direction nord (MTL09-23-1-NUM3-124)	115
<b>Photo 47</b>	Plombs de fusil retrouvés dans la couche de tourbe de la sous-opération MTL09-23-1-14A (MTL09-23-1-NUM3-112)	121
<b>Photo 48</b>	Profil stratigraphique type des sous-opérations localisées dans l'aire de circulation actuelle du centre Turcot, l'horizon organique du sol naturel est visible sous les remblais, direction ouest (MTL09-23-1-NUM3-32)	121

## ÉQUIPE DE RÉALISATION

---

### **Ministère des Transports du Québec**

#### **Direction générale de Montréal et de l'Ouest**

Direction de l'Île-de-Montréal

Bureau de projet du complexe Turcot

**Alain-Marc Dubé** Ing., M. Sc., directeur

Service des inventaires et du plan

**Sylvie Tanguay** Urb., M. Env., chargée de projet, étude d'impact sur l'environnement, agent de recherche

#### **Direction générale de Québec et de l'Est**

Direction de la coordination, de la planification et des ressources

Service de la planification et de la programmation

**Denis Roy** Archéologue

**Frank Rochefort** Archéologue

**Ghislain Gagnon** Archéologue

### **Ethnoscop inc.**

**Gilles Brochu** Archéologue coordonnateur

**Christian Gates St-Pierre** Archéologue, chargé de projet

**Jean Poirier** Géomorphologue, relecture

**Hugo Comète** Archéologue-assistant, rédaction du rapport

**Mathieu Sévigny** Archéologue-assistant

**Paul Girard** Archéologue-assistant

**Alexandre Carignan** Technicien archéologue

**Simon Santerre** Archéologue-assistant

**Francis Lamothe** Archéologue-assistant

**Liliane Carle** Géographe cartographe

**Judith Langevin** Révisseuse linguistique

**Armelle Ménard** Adjointe administrative et chargée d'édition

**Isabelle Hade** Assistante à l'édition

### **Remerciements**

Nous tenons à remercier le personnel des firmes spécialisées en environnement Aecom-Tecsult, Qualitas/LVM-Technisol (Dessau), INSPEC-SOL et GENIVAR pour leur collaboration et leur disponibilité lors de la planification et de la réalisation des travaux sur le terrain.

1.0

INTRODUCTION

---

## **1.1 Mandat et objectifs**

Le ministère des Transports du Québec (MTQ) projette la reconstruction de l'échangeur Turcot, qui constitue l'un des carrefours les plus importants du réseau routier montréalais, à la jonction des autoroutes 15, 20 et 720. Le projet nommé « complexe Turcot », qui couvre une distance de près de 9 km et inclut les échangeurs Montréal-Ouest, Angrignon, De La Vérendrye et Turcot, a été l'objet en 2008 d'une étude d'impact sur l'environnement comprenant une étude de potentiel archéologique (Ethnoscop, 2008a et b).

Les résultats de cette étude de potentiel archéologique ont permis de préciser les utilisations antérieures de la zone d'étude, qui sera réaménagée par la mise en place du complexe Turcot. Cette vaste superficie dont l'altitude est peu élevée était jadis occupée en partie par le lac à la Loutre (lac Saint-Pierre) et la rivière Saint-Pierre, et son hydrographie originale a été considérablement modifiée pendant la période historique. En outre, le mauvais drainage d'une grande partie de la zone d'étude du complexe Turcot a réduit de beaucoup son potentiel archéologique préhistorique. L'étude a toutefois permis de circonscrire trois zones à potentiel préhistorique où il a été recommandé d'effectuer un inventaire archéologique. En ce qui a trait à la période historique, sept secteurs à potentiel archéologique localisés pour la plupart dans la partie nord de la zone d'étude ont été délimités. Des analyses particulières effectuées dans chacun de ces secteurs ont par la suite permis de définir 15 zones à potentiel archéologique historique, où il a été également recommandé de procéder à un inventaire archéologique.

À l'hiver 2009, en vue d'établir les modes de décontamination du site, le MTQ a mandaté plusieurs firmes spécialisées pour la réalisation de forages et de sondages exploratoires répartis sur la totalité de la zone d'étude archéologique du complexe Turcot, à des fins géotechniques et de caractérisation des sols. Pour faire suite aux recommandations formulées dans l'étude de potentiel archéologique, le MTQ a de plus chargé la firme Ethnoscop inc. de procéder à des expertises archéologiques pertinentes dans les zones à potentiel archéologique préhistorique et historique visées par ces forages et ces sondages. Le principal objectif de ces interventions archéologiques était de superviser le travail des firmes mandatées pour la réalisation de forages et de sondages, afin de valider les résultats de l'étude de potentiel archéologique. Toutefois, la surveillance archéologique de ces travaux n'excluait pas le recours à d'autres types d'expertises archéologiques : études complémentaires, inventaire et fouille. Les résultats combinés de l'étude de potentiel archéologique et de la surveillance archéologique ont mené à la formulation de recommandations quant à la poursuite de la recherche archéologique dans certains secteurs et certaines zones à potentiel archéologique visées par ces forages et sondages.

## **1.2 Zone d'étude**

La zone d'étude du présent mandat d'expertises archéologiques diffère de la zone d'étude archéologique du complexe Turcot. Elle se limite en effet aux superficies des secteurs à potentiel archéologique historique et à celles des zones à potentiel archéologique préhistorique et historique qui ont été l'objet d'interventions archéologiques en 2009.

L'emplacement de ces différents espaces a été défini dans l'étude de potentiel archéologique (Ethnoscop, 2008a et 2008b). Il s'agit en l'occurrence des secteurs à potentiel archéologique historique H3, H4, H5 et H6, des zones à potentiel archéologique historique H3-1, H4-1, H5-1, H6-1, H6-2, H6-3, H6-4, H6-5, H6-6 et H6-7 ainsi que de la zone à potentiel préhistorique P3 (plan 1).

## **1.3 Méthodologie**

Une équipe composée d'un archéologue préhistorien chargé de projet et de deux archéologues-assistants, l'un spécialiste de la préhistoire et l'autre de la période historique, a assuré le suivi de la surveillance archéologique. Un technicien archéologue s'est aussi joint à l'équipe lorsque plusieurs interventions se déroulaient simultanément. Trois types d'activités ont été réalisées dans le cadre de ce mandat d'expertises archéologiques.

### **1.3.1 Activités préparatoires**

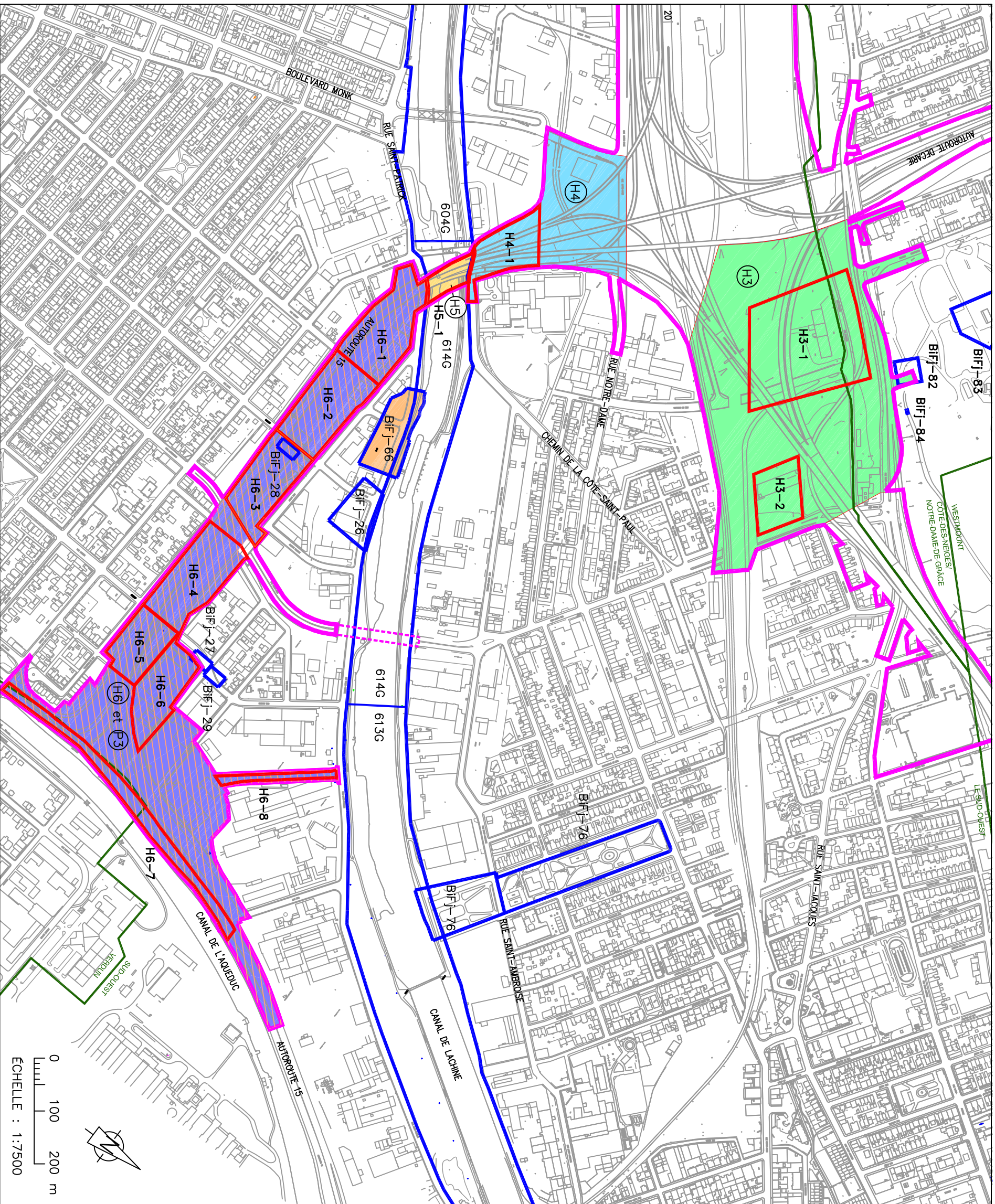
Cette première étape comprenait une réunion de démarrage, à laquelle ont participé les membres de l'équipe affectés aux travaux sur le terrain. Elle incluait également la familiarisation avec les résultats de l'étude de potentiel archéologique de 2008 et la présentation par le chargé de projet de la demande de permis de recherche archéologique au ministère de la Culture, des Communications et de la Condition féminine du Québec.

### **1.3.2 Surveillance archéologique**

Dans le cadre du présent mandat, la surveillance archéologique visait essentiellement à superviser le travail des spécialistes en environnement affectés aux relevés géotechniques et à la caractérisation des sols. À l'occasion de la découverte de biens archéologiques, un maximum d'informations a été recueilli et les vestiges archéologiques ont été localisés précisément, sans retarder le travail des spécialistes en environnement. Une fois les enregistrements archéologiques et environnementaux terminés, les biens archéologiques mis au jour ont été remblayés. Dans les cas où les sondages exploratoires ne pouvaient atteindre la profondeur requise à cause de la présence de vestiges archéologiques, ces derniers ont été remblayés et, si nécessaire, un deuxième sondage a été pratiqué à proximité.

#### **1.3.2.1 Mode d'enregistrement**

Dans le cadre de ce mandat, deux codes temporaires ont été attribués par la Ville de Montréal dans les limites des arrondissements du Sud-Ouest (MTL09-23-1) et de Verdun (MTL09-24-1), où furent réalisés les forages et sondages géotechniques. Ceux-ci servent de désignation en place et lieu d'un code d'enregistrement d'un site archéologique. Ce code temporaire a permis un enregistrement des données archéologiques conforme aux règles du système Tikal (identification du site ou de l'intervention archéologique, opération, sous-opération et lot). À chaque opération correspond un code numérique. Pour ce mandat, chaque phase de forage et de sondage effectués par différentes firmes en environnement correspond à une opération archéologique. Dans la majorité des cas, ces numéros



COMPLEXE TURCOT  
 SURVEILLANCE ARCHÉOLOGIQUE  
 MTL09-23-1, MTL09-24-1, Bifj-28  
 ET 614G  
 LOCALISATION GÉNÉRALE DE LA ZONE  
 D'ÉTUDE  
 PLAN 1

- ZONE D'ÉTUDE
- SECTEUR À POTENTIEL ARCHÉOLOGIQUE :
  - H3 COUR TURCOT
  - H4 ÉCHANGEUR TURCOT
  - H5 CANAL DE LACHINE
  - H6 VILLAGE DE CÔTE-SAINT-PAUL
- H3-1 LIMITE DE ZONE À POTENTIEL COUR TURCOT

- ZONE À POTENTIEL ARCHÉOLOGIQUE :
  - P3 PRÉHISTORIQUE
- SITE ARCHÉOLOGIQUE HISTORIQUE :
  - LIMITE DE SITE ARCHÉOLOGIQUE
  - SITE ARCHÉOLOGIQUE CLASSÉ Bifj-33
  - CODE BORDEN 615G
  - CODE DE PARCS CANADA
- LIMITE D'ARRONDISSEMENT ET DE MUNICIPALITÉ

SOURCES :

- Cartes électroniques, ministère des Transports du Québec, fichiers Turcot-TN-Ouest-2D.dwg, L016886-TN-Turcot.dwg et 31he3631\_carto.dwg
- Informations archéologiques, Ville de Montréal, fichiers comparc.dwg et feuillets nos 31H05-010-3229, 3330, 3331, 3533, 3534, 3633, 3634, 3732, 3734 et 3834
- Informations archéologiques, Parcs Canada, fichiers 613G-4A et 4B.dwg, 1998-170G-01.dwg, 1998-176G-01.dwg, 1995-172G-01.dwg et 98-600G-3.dwg
- Ethnoscop 2008a

d'opération ont été regroupés selon l'emplacement des secteurs et des zones à potentiel archéologique (annexe A). Un code de sous-opération fut attribué pour chacun des forages et des sondages réalisés lors d'une phase. Il s'agit d'un code alphabétique, mais excluant les lettres « o » et « i » pour éviter qu'elles ne soient confondues avec les chiffres « 0 » et « 1 ».

Lorsque des forages et des sondages ont été effectués à l'intérieur des limites d'un site archéologique connu, le mode d'enregistrement a suivi l'ordre des opérations déjà établi. En effet, les sites archéologiques répertoriés possèdent un code d'enregistrement permanent complété par un numéro d'opération distinct et désignant chacune des interventions archéologiques réalisées dans leur limites. Les sites archéologiques relevant de Parcs Canada sont désignés par un code d'enregistrement propre à cette agence, tandis que tous autres sites possèdent un code Borden ; code désignant un espace particulier issu d'un découpage géographique du territoire canadien. Dans le cas présent, ces modes d'enregistrement s'appliquent à deux sites : 614G, canal de Lachine, propriété de l'Agence Parcs Canada et BiFj-28, situé sur un terrain de la Ville de Montréal, répertorié dans l'Inventaire des sites archéologiques du Québec (ISAQ). Ainsi, un total de 26 sous-opérations ont été attribués au cours de ce mandat, alors qu'un total de 223 sous-opérations a été attribué aux 132 forages et 91 sondages qui ont fait l'objet d'une surveillance archéologique (annexe A). Aucun lot n'a été enregistré au cours de ces interventions.

### **1.3.2.2 Données archéologiques recueillies**

- Une fiche spécialement conçue a été utilisée afin de consigner les données recueillies dans les forages.
- Les données archéologiques observées dans les sondages ont été enregistrées dans un carnet d'arpentage.
- Des croquis stratigraphiques et des vues en plan ont été réalisés afin de représenter les niveaux de sol les plus représentatifs et les vestiges archéologiques.
- Des photographies représentant les éléments suivants ont été prises :
  - les vestiges archéologiques mis au jour;
  - les parois des sondages les plus significatifs;
  - des échantillons de sol présent dans les cuillères fendues;
  - des vues générales du déroulement des travaux.
- Toutes les données concernant l'environnement immédiat et les autres informations pertinentes pour caractériser chacun des secteurs et chacune des zones à potentiel archéologique ont été consignées dans le carnet d'arpentage.
- Bien que des éléments de culture matérielle aient été observés dans certaines sous-opérations lors des interventions sur le terrain, ceux-ci n'ont pas été conservés.

### **1.3.3 Analyse des données et production du rapport**

Un rapport d'étape a d'abord été présenté au ministère des Transports du Québec en décembre 2009 afin de confirmer la fin des travaux sur le terrain et d'exposer sommairement les résultats sous forme de tableaux. Les nombreuses données recueillies dans le cadre de ce mandat d'expertises archéologiques ont été analysées et regroupées

sous forme de tableaux afin d'en faciliter la présentation. Le rapport rend compte du déroulement des travaux ainsi que des résultats de la surveillance archéologique, et propose des recommandations quant à la poursuite de la recherche archéologique pour chacune des zones à potentiel archéologique préhistorique et historique touchées par ces travaux. La production du rapport a compris les étapes suivantes :

- Rassembler et trier les nombreuses données recueillies pendant les activités sur le terrain;
- Dresser les plans et les coupes stratigraphiques pertinentes découlant de la surveillance archéologique des forages et des sondages;
- Intégrer les résultats des interventions archéologiques à ceux de l'étude de potentiel archéologique réalisée antérieurement dans le cadre du projet du complexe Turcot, et les mettre à jour le cas échéant;
- Présenter les conclusions et recommandations quant à la suite à donner à ces interventions archéologiques ou aux mesures de protection pouvant être requises pour les vestiges archéologiques observés au cours de ces travaux.

Le rapport est divisé en 14 sections qui correspondent soit à un secteur, soit à une zone à potentiel archéologique, qui sont définis dans l'étude de potentiel (Ethnoscop, 2008a et 2008b) et ayant été l'objet d'interventions. Chacune de ces sections présente d'abord un résumé du potentiel archéologique du secteur ou de la zone. Le déroulement des travaux de forage et de sondage ainsi que leur suivi archéologique sont par la suite décrits. Précisons que la correspondance entre les différents modes d'enregistrement se trouve en annexe du rapport (annexe A). Enfin, les résultats de la surveillance archéologique réalisée dans le secteur ou la zone à potentiel archéologique en question sont présentés, accompagnés d'un tableau synthèse dans lequel on trouve une description et des recommandations pour chacune des sous-opérations. Les tableaux contiennent également des données sur :

- le niveau actuel du terrain;
- le sol naturel, souvent caractérisé par un horizon organique en surface. C'est dans cet horizon que pourraient subsister les premières traces d'occupation humaine, alors que sous ce dernier les sols sont archéologiquement stériles;
- le niveau atteint par la surveillance archéologique, qui dans le cas présent se rapporte à la partie supérieure des sols naturels.

Par ailleurs, certaines interventions visant des zones à potentiel historique ont permis de recueillir des données concernant le potentiel préhistorique. Une interprétation de ces données est proposée dans la section traitant de la zone à potentiel archéologique préhistorique P3.

Les altitudes (NMM) fournies dans ces tableaux sont en mètres. Leur précision est toutefois limitée en ce qui a trait aux sous-opérations se rapportant aux forages. En effet, il semble plus judicieux d'établir, en présence d'un contact entre deux unités stratigraphiques différentes dans une même cuillère fendue, que ce dernier est présent à une altitude comprise entre le sommet et la base de l'échantillon. Cela se traduit par une marge d'erreur

d'au plus 0,60 m, soit la longueur de l'échantillonneur. Cette réalité devra être prise en compte dans l'éventualité d'une future phase de travaux sur le terrain. Dans le cas d'une cuillère fendue ne comportant qu'une seule unité stratigraphique, il convient d'établir que l'altitude de sa surface est à égalité avec le sommet de l'échantillonneur.

2.0

SURVEILLANCE ARCHEOLOGIQUE

---

La zone d'étude du présent mandat d'expertises archéologiques, réalisées au cours de l'année 2009, comprend quatre secteurs à potentiel archéologique historique (H3, H4, H5, H6), 10 zones à potentiel archéologique historique (H3-1, H4-1, H5-1, H6-1, H6-2, H6-3, H6-4, H6-5, H6-6, H6-7) et la zone à potentiel préhistorique P3 (plan 1).

## **2.1 Secteur à potentiel archéologique historique H3**

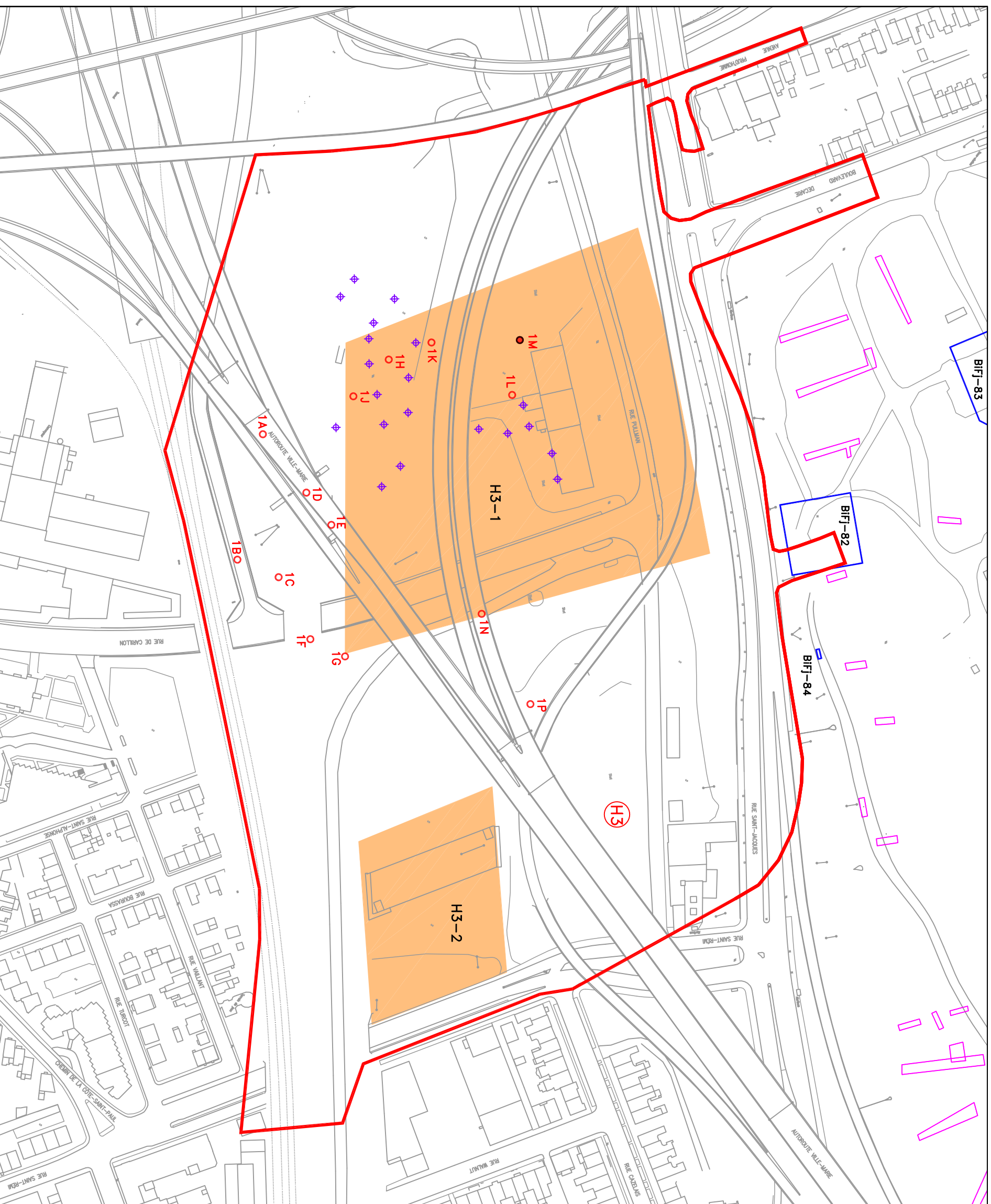
L'occupation ancienne dans les limites du secteur H3 (plan 2) est essentiellement associée à la présence des chemins de fer. Quelques tentatives de lotissement y ont jadis été planifiées, mais aucune n'a mené à la construction de bâtiments résidentiels. Seul le parc Thornton a été aménagé dans la partie nord-est du secteur, et trois bâtiments y ont été érigés dès la fin du XIX<sup>e</sup> siècle (Ethnoscop, 2008a : plans 16 et 17). Le principal intérêt du secteur est la rotonde (« *roundhouse* »), qui fut la plus grande au Canada (Ethnoscop, 2008a : plan 17).

### **2.1.1 Sous-opérations MTL09-23-1-1A à 1G et 1P**

Ces huit sous-opérations correspondent à l'emplacement de forages effectués entre le 19 janvier et le 23 février 2009 (plan 2). Ceux-ci ont été réalisés sous les différentes voies de l'échangeur, principalement à proximité des quelques voies ferrées du Canadien National. La période de l'année au cours de laquelle ces forages ont été réalisés exigeait une approche particulière quant à la résistance à travailler par temps froid, autant pour le personnel que pour l'équipement. Plusieurs forages ont en effet nécessité quelques jours de travail, les principales causes étant les bris d'équipement, le gel de l'eau dans les réservoirs et l'enlèvement de la neige accumulée à l'emplacement des forages.

### **2.1.2 Résultats**

De manière générale, la partie supérieure des profils stratigraphiques enregistrés dans les forages effectués dans le secteur à potentiel archéologique H3 se compose d'une succession de remblais sableux à sablo-limoneux contenant différents graviers (tableau 1). La séquence de déposition et l'épaisseur (de 2,00 m à 3,70 m) de ces remblais varient selon leur emplacement. Ils reposent tous sur les sols naturels stériles, à l'exception de ceux des sous-opérations 1B et 1F, qui ont été déposés directement sur la roche en place. Les remblais de ces deux sous-opérations totalisent respectivement une épaisseur de 3,60 m et de 10,50 m. Le fait que les remblais de ces deux sous-opérations aient été déposés sur la roche en place est essentiellement dû au mode de construction des deux voies de circulation où ont été effectués ces deux forages. Celles-ci étant situées sous l'autoroute et les voies ferrées, leur aménagement en tranchée a nécessité la construction de murs de soutènement de part et d'autre. Comme la base d'appui de ces murs était la roche en place, des excavations très profondes ont dû être pratiquées sur toute la largeur



COMPLEXE TURCOT  
 SURVEILLANCE ARCHÉOLOGIQUE  
 MTL09-23-1

**ZONES À POTENTIEL ARCHÉOLOGIQUE  
 HISTORIQUE H3-1 ET H3-2**

SECTEUR À POTENTIEL ARCHÉOLOGIQUE  
 HISTORIQUE H3

**PLAN 2**

- LIMITE DE SECTEUR
  - NUMÉRO DE SECTEUR
  - ZONE À POTENTIEL ARCHÉOLOGIQUE
  - NUMÉRO DE ZONE
  - FORAGE POSITIF
  - FORAGE NÉGATIF
  - NUMÉRO DE SOUS-OPERATION
  - INTERVENTION ARCHÉOLOGIQUE ANTERIEURE
  - FORAGE ET SONDAGE ETHNOSCOPIQUE 2009a
  - SITE ARCHÉOLOGIQUE RECENSE
  - CODE BORDEN
- Bifj-82**



**SOURCES :**

- Cartes électroniques, ministère des Transports du Québec, fichiers Turcot-TN-Ouest-2D.dwg, L01688G-TN-Turcot.dwg et 31he3631\_corto.dwg
- Informations archéologiques, Ville de Montréal, fichiers comporc.dwg et feuillets nos 31H05-010-3229, 3330, 3331, 3533, 3534, 3633, 3634, 3732, 3734 et 3834
- Ethnoscop 2008a
- Ethnoscop 2009a

**Tableau 1 : Synthèse des résultats de la surveillance archéologique dans le secteur à potentiel archéologique historique H3**

Numéro d'identification archéologique	Numéro séquentiel	Niveau actuel du terrain (mètre NMM)	Niveau d'intérêt archéologique (mètre NMM)	Surface des sols naturels stériles (mètre NMM)	Niveau atteint (mètre NMM)	Description	Discussion	Recommandations
MTL09-23-1-1A	464	19,79	-	16,13	8,02	Ce forage ayant nécessité plus d'une semaine de travail, à cause de nombreuses difficultés principalement dues au temps froid, seule sa partie inférieure a été l'objet d'une surveillance archéologique. Le rapport de la firme en environnement fait état de la présence de remblais sablo-graveleux en surface, déposés directement sur un till constitué de gravier et de sable comportant des traces de limon et d'argile.	La succession de couches de remblai déposés directement sur le till atteste d'activités s'étant déroulées entre la fin du XIX <sup>e</sup> siècle et le milieu du XX <sup>e</sup> siècle. Ces couches ne présentent pas de réel intérêt archéologique.	Aucune recommandation n'est formulée quant à la poursuite de la recherche archéologique à cet endroit.
MTL09-23-1-1B	446	12,10	-	8,50	8,50	Ce forage est localisé dans le chemin d'accès menant de l'avenue de Carillon à l'ancienne cour de triage Turcot. Le profil stratigraphique présente diverses couches de remblai composées de sable graveleux contenant des fragments de pierre de calcaire et de béton qui reposent directement sur la roche en place.	Le chemin d'accès a été construit en pratiquant une tranchée dans les sols en place, ce qui a complètement éradiqué les sols ayant pu receler des traces d'occupation ancienne.	Aucune recommandation n'est formulée quant à la poursuite de la recherche archéologique à cet endroit.
MTL09-23-1-1C	448	18,78	-	15,98	14,69	Ce forage présente un profil stratigraphique composé de remblais à prédominance sableuse contenant des scories et des fragments de pierre de calcaire. La surface des sols naturels stériles apparaît à environ 2,80 m de profondeur sous le niveau actuel du terrain. Elle se compose d'une couche de tourbe brun foncé de 0,66 m d'épaisseur qui repose sur une marne lacustre de 0,27 m d'épaisseur contenant des coquillages. Sous cette dernière, on trouve un till constitué de sable et de gravier comportant des traces de limon.	La couche de tourbe reposant sur la marne confirme que le lac à la Loutre (lac Saint-Pierre) s'est lentement transformé en une zone marécageuse qui a par la suite été remblayée. Les remblais successifs déposés à cet endroit entre la fin du XIX <sup>e</sup> et le milieu du XX <sup>e</sup> siècle présentent toutefois peu d'intérêt pour la recherche archéologique.	Aucune recommandation n'est formulée quant à la poursuite de la recherche archéologique à cet endroit.
MTL09-23-1-1D	449	18,63	-	16,23	14,84	Le profil stratigraphique de ce forage se compose de remblais sableux contenant des fragments de pierre de calcaire, de brique et de charbon minéral. Une couche d'une épaisseur d'environ 0,65 m, constituée exclusivement d'un mélange de scories, de cendre et de fragments de charbon minéral, a été observée dans ces remblais à partir de 18,03 m d'altitude (NMM). La surface des sols naturels stériles a pour sa part été atteinte à 2,40 m sous le niveau actuel du terrain. Ces sols se composent de deux niveaux de tourbe brune distincts, d'une épaisseur totale de 0,85 m, reposant sur un till constitué de sable et de gravier contenant des traces de limon.	L'épaisseur de tourbe confirme la présence d'une zone marécageuse à cet endroit. La couche de débris relativement épaisse confirme la succession d'épandages de remblais et particulièrement de résidus probablement associés à des activités ferroviaires.	Il n'est pas recommandé de poursuivre la recherche archéologique dans ce secteur.
MTL09-23-1-1E	811	18,71	-	16,41	15,38	Le profil stratigraphique observé dans ce forage se compose de remblais sablo-graveleux contenant des scories ainsi que des fragments de pierre de calcaire et de charbon minéral. La surface des sols naturels stériles a été atteinte à environ 2,30 m de profondeur sous le niveau actuel du terrain. Elle est constituée d'une couche de tourbe d'environ 0,70 m d'épaisseur qui repose sur un till composé de sable et de gravier contenant des traces de limon.	La tourbe de 0,70 m d'épaisseur confirme la présence d'une zone marécageuse à cet endroit. Les différentes couches de remblai attestent quant à elles la succession d'épandages de résidus et de débris probablement associés aux activités ferroviaires.	Il n'est pas recommandé de poursuivre la recherche archéologique dans ce secteur.
MTL09-23-1-1F	451	18,93	-	8,39	8,39	Ce forage n'a permis d'observer qu'un seul remblai sur une épaisseur de 10,54 m, reposant sur la roche en place. Ce remblai est constitué de gravier sableux contenant des fragments de pierre de calcaire. Notons que de petits fragments de verre à bouteilles ont été observés à une profondeur comprise entre 7,92 m et 9,75 m sous le niveau actuel du terrain.	La présence de cet imposant remblai jusqu'à une grande profondeur est sans aucun doute attribuable à l'aménagement de l'avenue de Carillon sous le viaduc des voies ferrées, lui-même surmonté par les voies rapides de l'autoroute.	Aucune recommandation n'est formulée quant à la poursuite de la recherche archéologique à cet endroit.
MTL09-23-1-1G	450	18,75	-	16,50	15,30	Le profil stratigraphique de ce forage est composé de remblais sablo-limoneux à limono-sableux, ainsi que graveleux, contenant des scories et des fragments de charbon minéral et du mortier. La surface des sols naturels stériles a été atteinte à environ 2,25 m de profondeur sous le niveau actuel du terrain et se compose d'une couche de tourbe de 0,20 m d'épaisseur déposée directement sur un till constitué de sable et de gravier contenant des traces de limon.	Les différents niveaux de remblai traversés par ce forage sont sans doute associés aux diverses phases de rehaussement du terrain réalisées sous la forme d'épandage.	Aucune recommandation n'est formulée quant à la poursuite de la recherche archéologique à cet endroit.
MTL09-23-1-1P	652	20,06	-	17,11	16,05	La partie supérieure de ce forage est constituée de remblais successifs sablo-graveleux à argilo-sableux contenant des fragments de pierre de calcaire partiellement calcinés, de brique et de mortier. La surface des sols naturels stériles a été atteinte à une profondeur d'environ 2,95 m sous le niveau actuel du terrain. Elle se compose d'une couche de tourbe noire de 0,40 m d'épaisseur reposant sur une couche d'argile et de limon de 0,10 m d'épaisseur et d'un till constitué de gravier et sable contenant un peu de limon.	Comme dans le forage précédent, les différentes couches de remblai semblent associées à divers épisodes de rehaussement du terrain. Quant à la surface des sols archéologiquement stériles, composée de sédiments naturels, elle semble pour sa part associée à un environnement marécageux.	Aucune recommandation n'est formulée quant à la poursuite de la recherche archéologique à cet endroit.

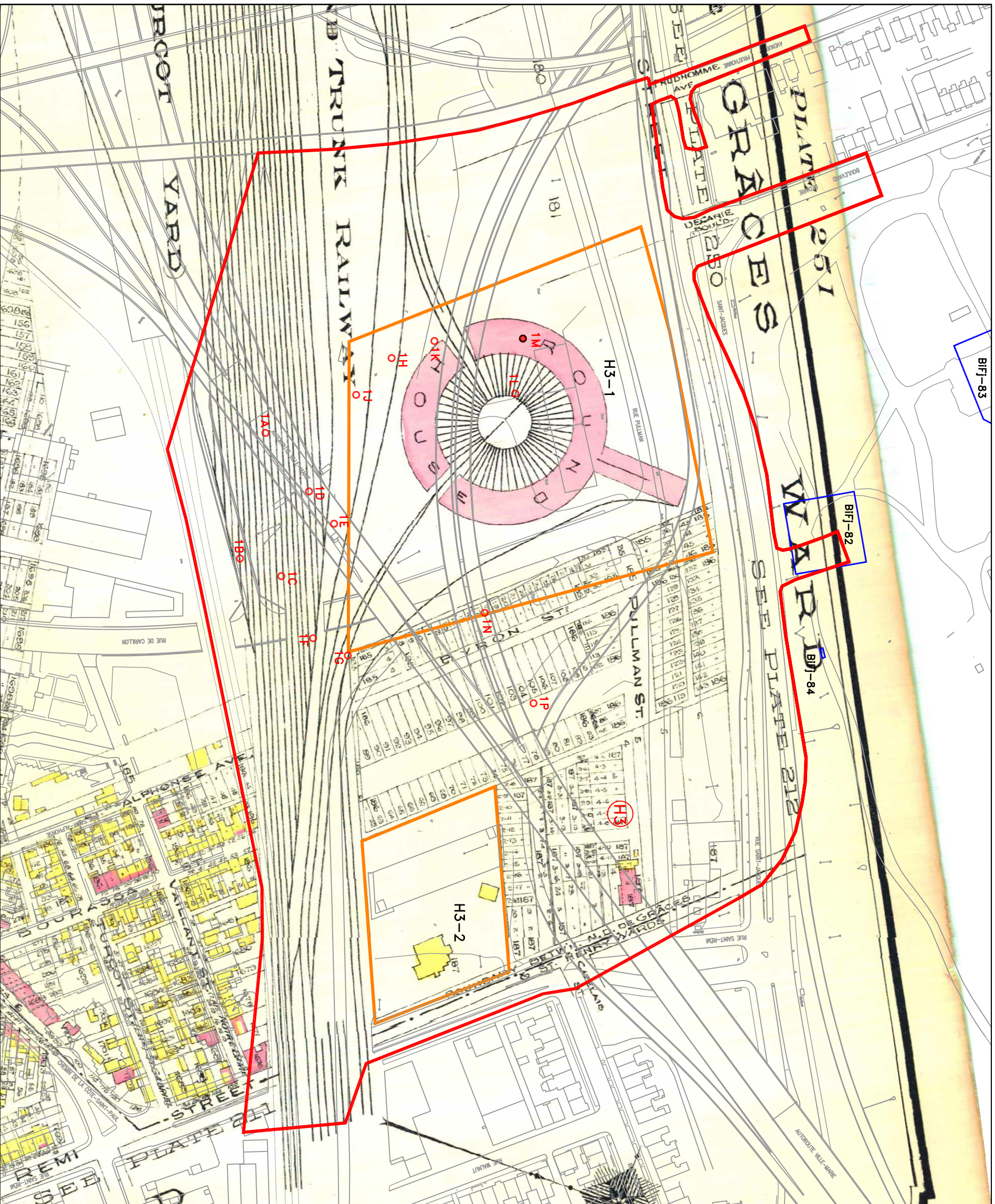
d'emprise de ces voies de circulation. Une fois les murs de soutènement achevés, la chaussée des voies de circulation a pu être aménagée en utilisant les sols excavés précédemment pour atteindre le niveau désiré (photo 1).



Photo 1 : Sous-opération MTL09-23-1-1B, direction sud-ouest (MTL09-23-1-NUM1-1)

Dans les autres sous-opérations, les divers remblais observés dans les forages contiennent la plupart du temps des scories et des fragments de charbon minéral. La présence de ces inclusions ne surprend nullement, compte tenu des activités ferroviaires pratiquées à cet endroit depuis le milieu du XIX<sup>e</sup> siècle. Le plan d'expansion de la compagnie de chemin de fer du Grand Tronc a mené à l'aménagement de la cour de triage et à la construction de nouveaux édifices nécessaires au bon fonctionnement de ces installations. La présence de la rotonde, d'un atelier, d'une fonderie et d'une forge (Ethnoscop, 2008a) aura sans doute contribué à produire une masse importante de déchets de cette nature. Il est à noter qu'une seule couche de 0,50 m d'épaisseur, exclusivement composée de scories, de charbon minéral et de cendre, a pu être observée dans la sous-opération 1D. La superposition du plan d'assurance de Goad de 1913 sur le plan de base actuel montre que l'emplacement de la sous-opération 1D correspond à celui de plusieurs voies ferrées (plan 3). Il est donc plausible que ces rebuts aient été rejetés dans une fosse aménagée entre les voies ferrées et spécialement conçue à cet effet (Ethnoscop, 2008a : 25).

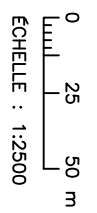
La partie inférieure des profils stratigraphiques se compose quant à elle d'une séquence uniforme de sols naturels stériles dont la surface est constituée d'une couche de tourbe d'une épaisseur variant de 0,35 m à 0,70 m et reposant sur un mélange grisâtre d'argile, de



COMPLEXE TURCOT  
 SURVEILLANCE ARCHÉOLOGIQUE  
 MTL09-23-1

SUPERPOSITION DU PLAN DE GOAD DE  
 1913 SUR LE PLAN ACTUEL  
 SECTEUR À POTENTIEL ARCHÉOLOGIQUE  
 HISTORIQUE H3  
 PLAN 3

- H3 LIMITE DE SECTEUR
- H3-1 NUMÉRO DE SECTEUR
- H3-2 ZONE À POTENTIEL ARCHÉOLOGIQUE
- H3-1 NUMÉRO DE ZONE
- FORAGE POSITIF
- FORAGE NÉGATIF
- 1A NUMÉRO DE SOUS-OPERATION
- SITE ARCHÉOLOGIQUE RECENCÉ
- Bifj-82 CODE BORDEN



SOURCES :

- Cartes électroniques, ministère des Transports du Québec, fichiers Turcot-TN-Ouest-2D.dwg, L01688G-TN-Turcot.dwg et 31he3631\_carto.dwg
- Informations archéologiques, Ville de Montréal, fichiers comparc.dwg et feuillets nos 31H05-010-3229, 3330, 3331, 3533, 3534, 3633, 3634, 3732, 3734 et 3834
- Ethnoscop 2008a

limon et de sable contenant plusieurs graviers anguleux à subanguleux de calcaire. Cette autre couche, très compacte, correspond au till de fond mis en place lors de l'épisode glaciaire du Wisconsinien (photo 2). Les niveaux stratigraphiques sus-jacents se rapportent quant à eux à une séquence chronologique couvrant environ les six derniers millénaires; aucune couche sédimentologique associée à l'invasion marine de la mer de Champlain (de 11 000 à 8000 ans AA) ou à la présence du lac Lampsilis (de 8000 à 6000 ans AA) n'a cependant été observée. Comme indiqué précédemment, les sous-opérations 1B et 1F, localisées respectivement dans la voie d'accès menant de l'avenue de Carillon à la cour de triage Turcot et dans l'emprise de l'avenue de Carillon, ne présentent aucune trace de sols naturels stériles.



Photo 2 : Exemple type d'un échantillon de till de fond provenant de la sous-opération 614G-09-5H (614G-09-NUM1-13)

Par ailleurs, dans les sous-opérations 1C et 1D, la couche de tourbe repose respectivement sur un dépôt marneux de 0,30 m et de 0,05 m d'épaisseur. Composée de coquillages broyés en fines particules dont la texture rappelle une argile limoneuse, la matrice de cette marne contient plusieurs fragments et petits coquillages entiers. Ce dépôt s'est accumulé au rythme de 0,02 m à 0,03 m par siècle dans un environnement lacustre de très faible énergie (Ethnoscop, 2003). Ainsi, selon les données récoltées dans ces deux sous-opérations, cette couche se serait accumulée sur une période d'environ deux siècles pour la plus mince à plus d'un millénaire pour la plus épaisse. La grande différence d'épaisseur pour la même couche de marne observée dans deux sous-opérations pourtant rapprochées l'une de l'autre (environ 50 m) peut s'expliquer par plusieurs variables qui entrent en ligne de compte

lors de la collecte d'informations provenant d'une cuillère fendue : la nature des sols présents au-dessus et au-dessous, la présence d'éléments provenant des couches supérieures, la quantité d'eau contenue dans les couches, etc. L'épaisseur des couches est souvent estimée en fonction de la présence de vides dans les échantillons, ce qui dans le cas de couches minces peut s'avérer d'une grande imprécision.

C'est dans le lac à la Loutre, un plan d'eau s'étirant sur approximativement 4,5 km de longueur (sud-ouest/nord-est) et 0,8 km de largeur, que les couches de marne et de tourbe se sont accumulées entre environ 6000 et 3000 ans AA (Ethnoscop, 2003). Ces dépôts sont par la suite demeurés dans un environnement lacustre de moindre envergure pendant encore plus ou moins trois millénaires. Au cours de cette dernière période, où l'espace prend l'appellation de lac Saint-Pierre, la couche de tourbe observée dans les forages a sans doute poursuivi son expansion. L'ouverture du canal de Lachine dans les années 1820 a drainé rapidement les eaux de ce lac, et l'espace qu'il occupait a pris l'allure d'un immense marécage dans lequel la rivière Saint-Pierre coulait à travers un réseau de méandres (Ethnoscop, 2008a). Le développement de l'industrie ferroviaire dans ce secteur aura fait disparaître ces éléments naturels sous d'épaisses couches de remblai.

### **2.1.3 Discussion et recommandation**

Aucune des sous-opérations n'a mené à la découverte de niveaux stratigraphiques présentant un intérêt particulier pour l'archéologie historique. Bien que des couches de sols naturels non remaniées aient été repérées, celles-ci témoignent d'un espace marécageux et présentent peu de probabilités de mettre au jour des vestiges d'occupation autres que des éléments associés aux différents chemins de fer. Il n'est donc pas recommandé de poursuivre la recherche archéologique dans le secteur H3, à l'extérieur des zones à potentiel archéologique H3-1 et H3-2.

En 2007, une surveillance archéologique a eu lieu dans le même secteur (Ethnoscop 2009). Les données recueillies lors de cette intervention sont en tous points similaires à celles collectées lors de la présente intervention. La séquence stratigraphique est caractérisée par des remblais des XIX<sup>e</sup> et XX<sup>e</sup> siècle recouvrant les sols naturels. En plusieurs endroits, ces remblais reposent sur une couche de tourbe qui elle-même recouvre un niveau de marne. Les sédiments fluvio-glaciaires ou glaciaires caractérisent la section inférieure des sondages et forages. Ces similitudes entre l'intervention de 2007 et celle de 2009 permettent de confirmer l'évolution du paysage naturel du secteur, mais ne permettent pas de déceler d'événements particuliers associés à des activités anthropiques s'étant déroulées dans le périmètre étudié. Seules les grandes lignes de l'évolution de ce vaste espace, principalement en lien avec le développement ferroviaire, ont pu être retracées lors de ces deux phases de surveillance.

## **2.2 Zone à potentiel archéologique historique H3-1**

La zone H3-1 correspond à l'emplacement de la rotonde Turcot (plans 2 et 3), construite au cours de la première décennie du XX<sup>e</sup> siècle et utilisée pendant une période d'environ 60 ans (Ethnoscop, 2008a). Au moment de sa construction, en 1905-1907, la rotonde de la

cour Turcot était la plus importante au Canada. Elle pouvait accueillir 57 locomotives dans ses stalles de 80 pieds de longueur desservies par un pont tournant central de 100 pieds de longueur. Après 1908, 17 stalles supplémentaires furent ajoutées à la rotonde originale. Les stalles étaient disposées de manière à former un édifice de forme semi-circulaire et chacune d'entre elles possédait une section de rail convergeant vers le pont tournant, qui se trouvait installé dans une fosse centrale exposée aux intempéries (Ethnoscop, 2008a : 25).

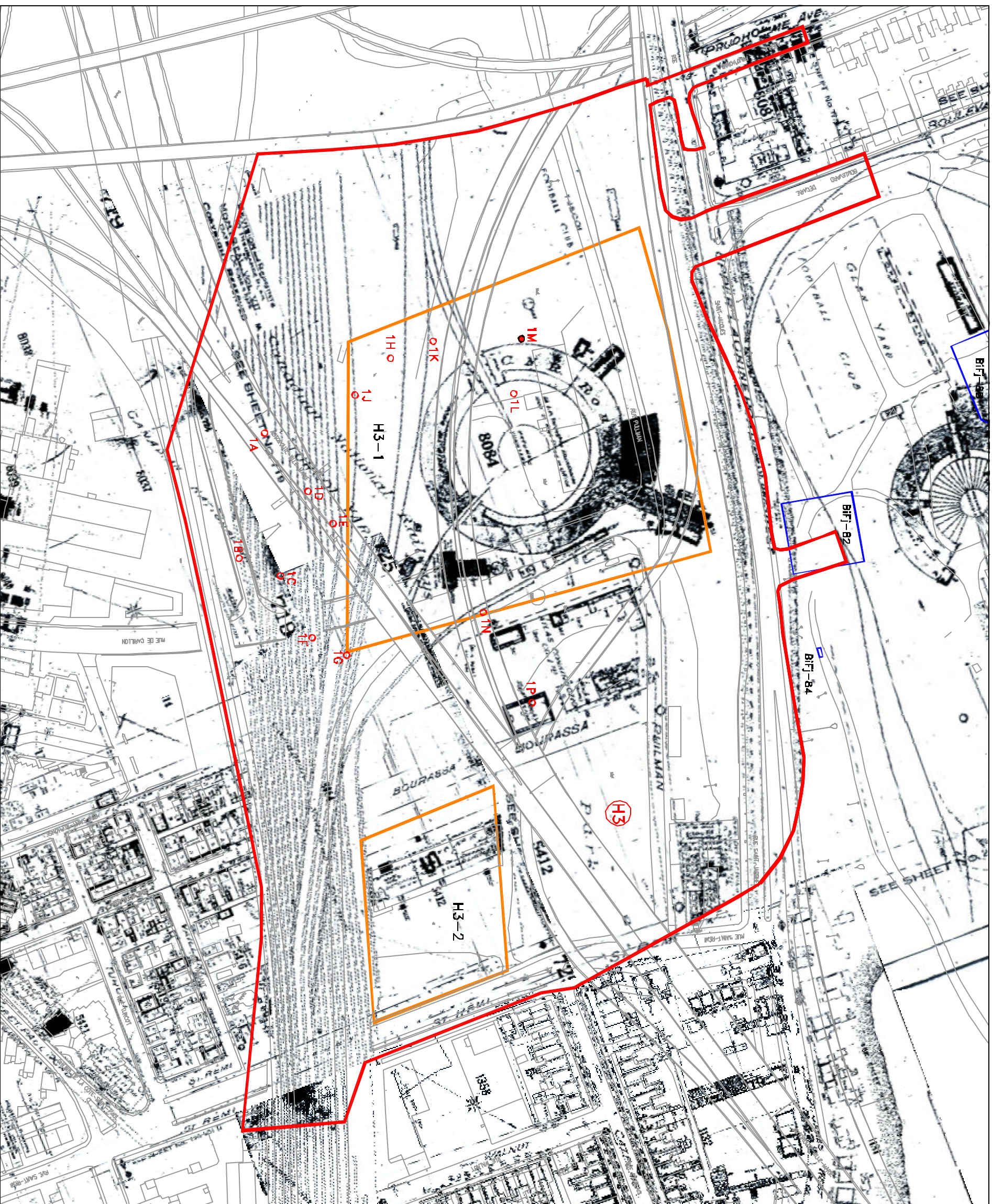
Outre la rotonde, la cour Turcot comprenait une section de voies de garage permettant de stationner les wagons de marchandises prêts à entrer en service. Adjacents à ces installations, des ateliers de 153 pieds sur 45 pieds étaient utilisés pour l'entretien et la réparation du matériel roulant. Sur la voie d'accès menant à la rotonde, on trouvait également une fosse pour les cendres qui servait à vider les boîtes à feu des locomotives et qui consistait en une cavité entre les rails. Deux structures employées pour approvisionner les locomotives en charbon et en sable et un château d'eau, duquel partait une série de canalisations fournissant l'eau aux locomotives, se trouvaient aussi sur cette voie d'accès. Enfin, un entrepôt et un dortoir réservés à l'usage des équipages des locomotives en attente étaient adjacents à la rotonde (Ethnoscop, 2008a : 25).

Les rotondes étaient conçues pour offrir aux équipes de travailleurs le plus de lumière naturelle possible. Ainsi, le mur arrière de la rotonde Turcot était entièrement composé de fenêtres qui épousaient l'ensemble de la hauteur de l'édifice. Les portes avant étaient pour leur part entièrement vitrées afin de laisser pénétrer la lumière du jour. De plus, le mur avant de la rotonde était plus élevé que son mur arrière, afin de permettre un meilleur écoulement des eaux de pluie vers l'arrière du bâtiment. Il semble que la structure du toit fût construite en poutres de bois et que le plancher des stalles ait été recouvert en partie de béton et en partie de mâchefer. Aussi, chaque stalle était équipée d'une fosse de deux à trois pieds de profondeur permettant aux travailleurs d'accéder au dessous des locomotives (Ethnoscop, 2008a : 26).

Jusque dans les années 1950, on trouvait plusieurs bâtiments annexes autour de la rotonde Turcot (plan 4), dont un atelier de machines-outils, une fonderie, une forge, un atelier de charpenterie, un entrepôt de roues, un hangar à brique, de même qu'un bureau destiné au contremaître de la rotonde et à son personnel, un bureau de réception où les équipages de locomotives produisaient leurs rapports, un vestiaire, des douches et une cafétéria. Au cours des années 1920, plus de 550 ouvriers travaillaient à temps complet à la rotonde de la cour Turcot (Ethnoscop, 2008a : 26).

### **2.2.1 Sous-opérations MTL09-23-1-1H à 1N**

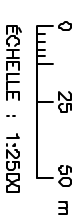
Les emplacements de ces six sous-opérations correspondent à ceux de forages effectués dans les limites de la zone à potentiel archéologique historique H3-1 entre le 5 et le 18 février 2009 (photo 3). Ces sous-opérations ont été réalisées principalement dans la portion sud de la zone à potentiel archéologique. Une seule sous-opération a été réalisée dans la portion nord (plan 2). La période de l'année au cours de laquelle ces forages ont été réalisés exigeait une approche particulière quant à la résistance à travailler par temps froid, autant pour le personnel que pour l'équipement. Plusieurs forages ont en effet nécessité



COMPLEXE TURCOT  
SURVEILLANCE ARCHÉOLOGIQUE  
MTL09-23-1

SUPERPOSITION DU PLAN D'UNDERWRITERS'  
SURVEY BUREAU DE 1915 REVISE EN  
1926 SUR LE PLAN ACTUEL  
SECTEUR A POTENTIEL ARCHÉOLOGIQUE  
HISTORIQUE H3  
PLAN 4

- LIMITE DE SECTEUR
- NUMÉRO DE SECTEUR
- ZONE A POTENTIEL ARCHÉOLOGIQUE
- NUMÉRO DE ZONE
- FORAGE POSITIF
- FORAGE NÉGATIF
- NUMÉRO DE SOUS-OPÉRATION
- SITE ARCHÉOLOGIQUE RÉGENCE
- CODE BORDEN



ÉCHELLE : 1:2500



- SOURCES :
- Cartes électroniques, ministère des Transports du Québec, fichiers Turcot-TN-Ouest-20.dwg, L016888G-TN-Turcot.dwg et 31hs3631\_corbo.dwg
  - Informations archéologiques, Ville de Montréal, fichiers corbo.dwg et feuilles nos 31H05-010-3229, 3330, 3331, 3533, 3534, 3633, 3634, 3732, 3734 et 3834
  - Ethnoscop 20084

quelques jours de travail, les principales causes étant les bris d'équipement, le gel de l'eau dans les réservoirs et l'enlèvement de la neige accumulée à l'emplacement des forages.



Photo 3 : Vue générale du secteur à potentiel historique H3, direction sud-ouest (MTL09-23-1-NUM1-8)

## 2.2.2 Résultats

Il n'y a aucune différence notable entre la partie supérieure des profils stratigraphiques enregistrés dans la zone à potentiel historique H3-1 et ceux du secteur H3 (tableau 2). Ce profil se compose en effet de remblais divers contenant plusieurs inclusions de mâchefer, de scories et de charbon minéral. Ces remblais sont déposés à la surface des sols naturels stériles, constituée d'une couche de tourbe. Cette dernière repose sur un mélange grisâtre d'argile, de limon et de sable contenant plusieurs graviers anguleux à subanguleux de calcaire. Comme ce fut le cas dans quelques forages pratiqués à l'extérieur de la zone à potentiel historique H3-1, la tourbe s'est déposée sur une mince couche marneuse.

Par ailleurs, deux sous-opérations retiennent notre attention. D'abord la sous-opération 1K, dans laquelle on note la présence d'un mélange de scories, de charbon minéral et de cendre assez semblable à celui observé dans la sous-opération 1D. Située à proximité de l'entrée ouest de l'ancienne rotonde, cette couche pourrait être le résultat de l'accumulation de résidus dans une fosse aménagée près des voies ferrées situées autour de la rotonde (plan 3). La deuxième sous-opération, 1M, a quant à elle permis de confirmer la présence d'un vestige archéologique à environ 2,20 m de profondeur sous le niveau actuel du terrain. Il s'agit d'une pièce de béton de 0,30 m d'épaisseur, sur laquelle a buté la foreuse. Il a donc fallu forer cette pièce afin de poursuivre le carottage. Selon les résultats de la superposition du plan d'Underwriters' Survey Bureau de 1926 sur le plan de base actuel (plan 4), la sous-opération 1M est localisée à moins de 10 m de l'emplacement présumé de la rotonde. La pièce qui a été forée pourrait être associée au plancher, en partie couvert de béton, de l'une des nombreuses stalles formant cet imposant bâtiment (Ethnoscop, 2008a). La sous-

**Tableau 2 : Synthèse des résultats de la surveillance archéologique dans la zone à potentiel archéologique historique H3-1**

Numéro d'identification archéologique	Numéro séquentiel	Niveau actuel du terrain (mètre NMM)	Niveau d'intérêt archéologique (mètre NMM)	Surface des sols naturels stériles (mètre NMM)	Niveau atteint (mètre NMM)	Description	Discussion	Recommandations
MTL09-23-1-1H	462	18,74	-	16,91	15,16	Les diverses couches de remblai observées dans ce forage sont composées d'une matrice sablo-limoneuse à sablo-graveleuse contenant des fragments de béton et de charbon minéral. Ces remblais reposent sur la surface des sols naturels, qui se trouve à environ 2,00 m de profondeur sous le niveau actuel du terrain. Ces sols se composent d'une tourbe brune de 1,17 m d'épaisseur, déposée sur une très mince couche de marne lacustre (0,05 m), le tout reposant sur un till composé de sable et de gravier contenant des traces de limon.	Les niveaux de remblai successifs enregistrés dans la partie supérieure de ce forage présentent peu d'intérêt pour l'acquisition de nouvelles connaissances en archéologie. L'épaisse couche de tourbe et la marne sous-jacente confirment à nouveau l'emplacement du lac à la Loure (lac Saint-Pierre) et d'une importante zone marécageuse.	Aucune recommandation n'est formulée quant à la poursuite de la recherche archéologique à cet endroit.
MTL09-23-1-1J	463	18,88	-	16,58	15,09	La partie supérieure du profil stratigraphique observé dans ce forage est constituée de remblais sableux et graveleux contenant des scories et des fragments de charbon minéral. La surface des sols naturels stériles apparaît quant à elle à environ 2,30 m de profondeur sous le niveau actuel du terrain et se compose d'une couche de tourbe de 0,95 m d'épaisseur reposant sur un till constitué de sable et de gravier contenant des traces de limon.	La tourbe de 0,95 m d'épaisseur confirme la présence d'une zone marécageuse à cet endroit. Les différentes couches de remblai attestent quant à elles la succession d'épandages de résidus et de débris probablement associés aux activités ferroviaires.	Il n'est pas recommandé de poursuivre la recherche archéologique dans ce secteur.
MTL09-23-1-1K	456	19,02	-	15,61	15,36	La partie supérieure de ce forage est composée de remblais sablo-graveleux contenant des fragments de charbon minéral et de brique, ainsi que du mortier et des scories. Une couche composée de scories, de charbon minéral et de quelques fragments de brique a été observée à une profondeur de 0,61 m à 1,83 m sous le niveau actuel du terrain. De plus, un plomb de fusil de 5 mm de diamètre a été découvert dans un mélange de fragments de bois et de sable situé à une profondeur de 2,44 m à 3,05 m. Ce mélange repose sur les restes d'une marne qui à son tour repose sur un till de gravier et de sable contenant des traces de limon.	La présence de scories est sans doute associée à l'épandage de résidus provenant des activités ferroviaires intenses dans ce secteur. Par ailleurs, la découverte d'un plomb de chasse à cet endroit vient confirmer la proximité avec une zone marécageuse ou les abords de l'ancien lac à la Loure (lac Saint-Pierre).	Aucune recommandation n'est formulée quant à la poursuite de la recherche archéologique à cet endroit.
MTL09-23-1-1L	818	19,50	-	17,12	14,70	Les niveaux supérieurs observés dans ce forage sont constitués de remblais sablo-limoneux contenant des fragments de pierre de calcaire partiellement calcinés, de brique, de charbon minéral et de mortier, ainsi que des scories. La surface des sols naturels stériles apparaît à environ 2,38 m de profondeur sous le niveau actuel du terrain. Elle se compose d'une couche de tourbe de 1,47 m d'épaisseur reposant sur une marne lacustre de 0,30 m et un till sous-jacent constitué de sable et de gravier contenant un peu de limon et des traces d'argile.	Les remblais de la partie supérieure du forage ont sans doute servi à combler la zone marécageuse avant l'aménagement des installations ferroviaires.	Aucune recommandation n'est formulée quant à la poursuite de la recherche archéologique à cet endroit.
MTL09-23-1-1M	650	19,44	17,24	15,76	14,94	La partie supérieure de ce forage est caractérisée par la présence de remblais de sable graveleux contenant une grande quantité de fragments de bois. À une profondeur de 2,20 m sous le niveau actuel du terrain, la foreuse a buté contre une pièce de béton qu'il a fallu percer sur une épaisseur de 0,30 m. Sous cette pièce de béton se trouve un remblai de sable contenant des fragments de béton et des graviers anguleux. Ce dernier remblai repose sur la surface des sols naturels stériles, à 3,68 m sous le niveau actuel du terrain. Cette surface est constituée d'une tourbe brune de 0,24 m d'épaisseur reposant sur un till composé de sable et de gravier contenant des traces de limon et d'argile.	La présence d'une pièce de béton de 0,30 m d'épaisseur dans cette partie de la zone à potentiel H3-1 pose l'hypothèse que des vestiges archéologiques de la rotonde Turcot puissent y être encore enfouis.	La recommandation de réaliser un inventaire archéologique au moyen de 10 tranchées exploratoires de 2,00 m sur 10,00 m, excavées mécaniquement, est donc maintenue. La position de la sous-opération 1M pourra être utilisée comme emplacement de la première de ces 10 tranchées.
MTL09-23-1-1N	651	19,21	-	16,91	16,34	La partie supérieure de ce forage est constituée de plusieurs remblais successifs de sable graveleux contenant des fragments de charbon minéral et de pierre de calcaire calcinée, ainsi que des scories. La surface des sols naturels stériles se trouve à environ 2,30 m de profondeur sous le niveau actuel du terrain. Elle est constituée d'une couche de tourbe brune de 0,40 m d'épaisseur qui repose sur un mélange de sable, de limon et de gravier. Celui-ci est déposé directement sur un till composé de gravier sableux contenant des traces de limon.	Les remblais présents dans ce forage se rapportent sans doute à diverses étapes de rehaussement du terrain.	Aucune recommandation n'est formulée quant à la poursuite de la recherche archéologique à cet endroit.

opération 1M est aussi localisée dans la partie de la rotonde construite au début du XX<sup>e</sup> siècle et utilisée pendant environ une soixantaine d'années.

### 2.2.3 Discussion et recommandation

Dans l'étude de potentiel, il a été recommandé de réaliser un inventaire archéologique à l'emplacement de l'ancienne rotonde (Ethnoscop, 2008a). Cet inventaire provoyait la réalisation de dix tranchées mécaniques de 2 m sur 10 m, complété de sondages manuels le cas échéant. À partir des résultats de la surveillance archéologique des forages, principalement en lien avec la présence d'un élément en béton dans la sous-opération 1M, il est conseillé de poursuivre les travaux selon ce qui a été prévu dans l'étude de potentiel. Les premières tranchées devraient être effectuées à l'emplacement et à proximité de cette sous-opération, alors que la position des autres tranchées sera localisée en fonction des résultats des premières tranchées. Cet inventaire permettrait de documenter le mode de construction de cet imposant bâtiment industriel de même que les divers mécanismes actionnant cette immense plaque tournante. Aussi, la présence de nombreuses structures annexes à la rotonde pourraient être documenté et permettrait de mieux comprendre les liens les unissant. La mise au jour, en premier lieu, de vestiges associés à la rotonde permettrait de mieux cerner les espaces où intervenir.

En 2007, la surveillance archéologique de l'excavation d'une tranchée exploratoire (sous-opération MTL07-23-2-1D, Ethnoscop 2009a) réalisée lors d'études environnementales a permis de documenter une couche contenant des poutres de bois mêlées à des débris de briques industrielles « LAPRAIRIE », des pièces de tôle ondulée et des angles de fer. Cet ensemble, qui repose sur une dalle de béton à 3,25 m de profondeur sous le niveau actuel, a été associé à des événements datant du XX<sup>e</sup> siècle. Il faut par contre considérer qu'il s'agit possiblement de débris associés à la démolition de la rotonde peu avant la construction de l'échangeur. De fait, tel que mentionné dans l'étude de potentiel : « À Turcot, il semble que l'ensemble de la structure du toit fut faites de poutres de bois (MSTC 2008). Le plancher des stalles fut recouvert en partie de béton, en partie de mâchefer (*cinders*). » (Ethnoscop 2009a : 26). Est-ce que la dalle de béton ne pourrait pas être, elle aussi, associée à la rotonde? Compte tenu de la profondeur à laquelle elle a été localisée, de même que celle de la structure en béton localisée lors du forage de 2009 (2,20 m de profondeur), il est possible de croire que ces éléments se rapportent effectivement à des vestiges de ce bâtiment. Ces analogies permettent de conforter l'idée de procéder à un inventaire archéologique, tel que stipulé dans l'étude de potentiel.

## 2.3 Secteur à potentiel archéologique historique H4

Le secteur H4, localisé du côté nord du canal de Lachine (plan 5 et photo 4), directement sous l'échangeur Turcot, était occupé jusqu'au début du XIX<sup>e</sup> siècle par le lac Saint-Pierre. Le creusement du canal de Lachine, dans les années 1820, a drainé ce lac peu profond, qui est considéré comme étant « desséché » en 1834 (Ethnoscop, 2008a : figure 9). Malgré l'aménagement des chemins de fer Montreal & Lachine Railroad en 1847 et Grand Tronc en 1853 au nord du secteur H4, et malgré l'apparition des premières industries aux écluses de la Côte-Saint-Paul, la rive nord du canal de Lachine offre encore une image campagnarde vers 1870. Délimité au nord par les méandres de l'ancienne rivière Saint-Pierre, l'espace occupé par le secteur H4 est en effet découpé en bandes de formes variables, visiblement vouées à des activités agricoles (Ethnoscop, 2008a : tableau 4).



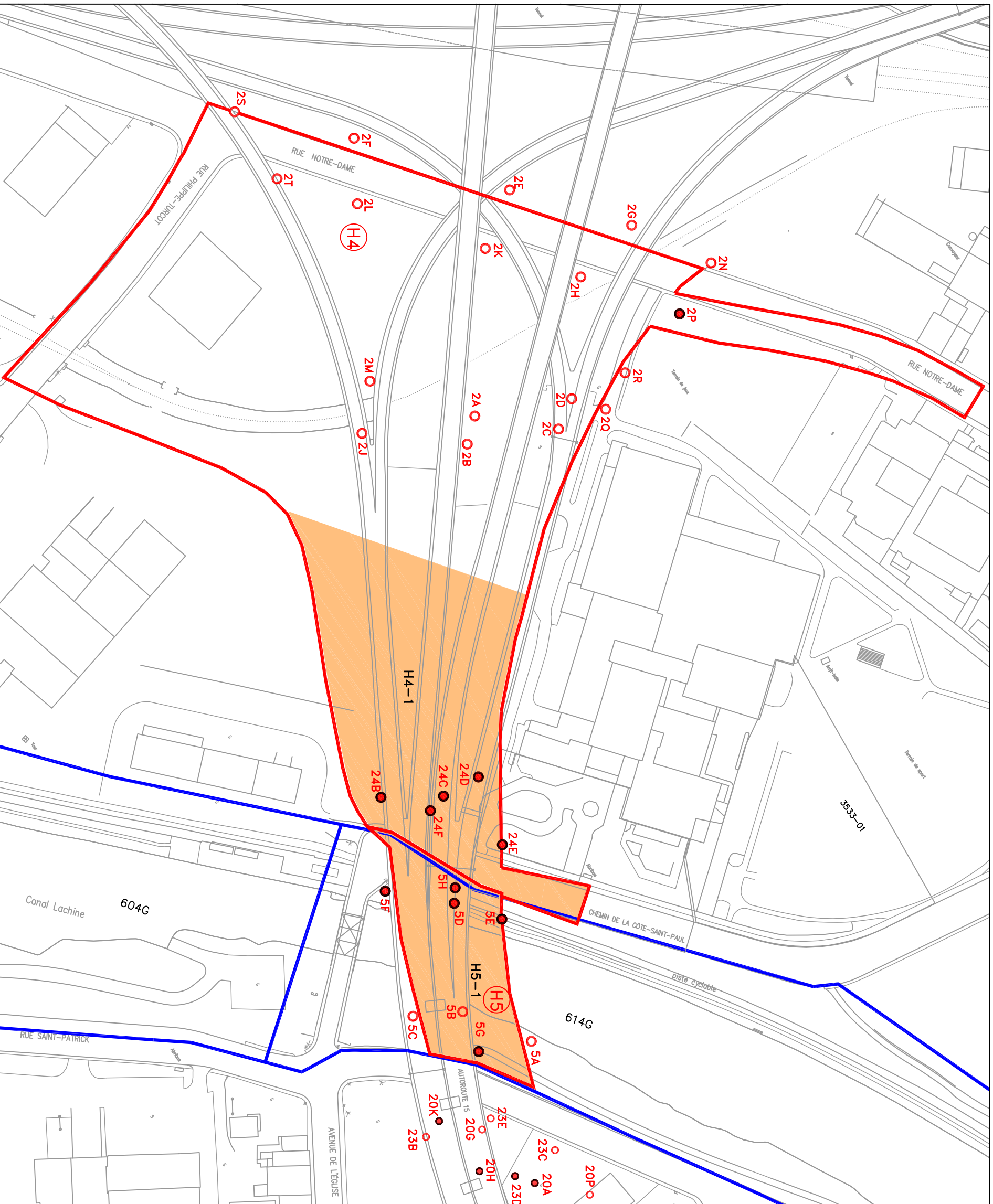
Photo 4 : Portion centrale du secteur à potentiel historique H4, direction nord-ouest (MTL09-23-1-NUM1-13)

### 2.3.1 Sous-opérations MTL09-23-1-2A à 2T

Ces 18 sous-opérations correspondent à l'emplacement de forages effectués dans la partie ouest du secteur à potentiel archéologique historique H4 (plan 5). Ces forages ont été réalisés entre le 25 février et le 10 avril 2009 sous les différentes voies de l'échangeur et sur le terrain du complexe récréatif Gadbois. Une seule sous-opération a été réalisée dans l'emprise de la rue Notre-Dame.

### 2.3.2 Résultats

L'ensemble des sous-opérations effectuées dans les limites du secteur à potentiel archéologique historique H4 est caractérisé par un profil stratigraphique dont la partie supérieure se compose de sols de remblai. Ces derniers sont constitués d'une matrice



COMPLEXE TURCOT  
 SURVEILLANCE ARCHÉOLOGIQUE  
 MTL09-23-1 ET 614G  
 ZONES À POTENTIEL ARCHÉOLOGIQUE  
 HISTORIQUE H4-1 ET H5-2  
 SECTEURS À POTENTIEL ARCHÉOLOGIQUE  
 HISTORIQUE H4 ET H5  
 PLAN 5

- H4 LIMITE DE SECTEUR
- H4-1 NUMÉRO DE SECTEUR
- H4-1 ZONE À POTENTIEL ARCHÉOLOGIQUE
- H4-1 NUMÉRO DE ZONE
- FORAGE POSITIF
- FORAGE NÉGATIF
- 2A NUMÉRO DE SOUS-OPÉRATION
- 614G SITE ARCHÉOLOGIQUE RECEMCE
- 614G LIMITE À ÉVALUER
- 614G CODE DE PARCS CANADA



- SOURCES :
- Cartes électroniques, ministère des Transports du Québec, fichiers Turcot-TN-Ouest-2D.dwg, L01688G-TN-Turcot.dwg et 31he3631\_carto.dwg
  - Informations archéologiques, Parcs Canada, fichiers 613G-4A et 4B.dwg, 1998-170G-01.dwg, 1998-176G-01.dwg, 1995-172G-01.dwg et 98-600G-3.dwg
  - Ethnoscop 2008a

sablo-limoneuse dans laquelle on trouve des inclusions de débris de construction d'origine récente : fragments de brique, de mortier, de bois et de béton (tableau 3). Dans certains forages, on note aussi, à l'intérieur des couches supérieures, la présence de mâchefer, de scories et de charbon minéral. La partie supérieure du profil stratigraphique, d'une épaisseur variant de 2,30 m à 4,30 m, est déposée sur les sols naturels stériles qui composent la partie inférieure du profil. La séquence de déposition de ces sols naturels est presque partout identique : une couche de tourbe d'une épaisseur très variable (de 0,10 m à 1,45 m); une marne dont la matrice limono-argileuse blanchâtre contient beaucoup de petits coquillages, parfois fragmentés, et présente une épaisseur variant de 0,45 m à 1,00 m; une argile gris bleuté à gris verdâtre d'une épaisseur allant de 0,10 m à 0,60 m; et un till composé d'une couche grise très compacte de sédiments fins (argile, limon et sable) et de plusieurs cailloux, observé dans tous les forages.

Cette séquence de déposition des sols naturels est typique de cette partie de l'île de Montréal. Une séquence similaire a d'ailleurs été enregistrée lors d'une intervention archéologique réalisée dans la rue Saint-Ambroise, à environ 500 m à l'est du secteur à potentiel archéologique H4 (Ethnoscop, 2005). Le till de fond qui compose la couche inférieure a été mis en place par l'inlandsis laurentidien (avant 13 000 ans AA). La transgression marine de la mer de Champlain (entre 11 000 et 8000 ans AA), caractérisée par un haut niveau des eaux de près de 200 m, a entraîné une sédimentation des particules fines dans le secteur à l'étude. La couche d'argile bleutée documentée dans plusieurs sous-opérations correspondrait à un dépôt s'étant accumulé sur le fond marin. La phase lacustre du lac Lampsilis s'ensuit alors que le relèvement isostatique se poursuit et que le niveau de l'eau s'abaisse graduellement. Il y a 8000 ans AA, la rive nord du lac pro-glaciaire Lampsilis atteint le talus de la terrasse Sherbrooke. Le niveau de l'eau continue de s'abaisser et, il y a 6000 ans AA, il atteint environ 18 m au dessus du niveau actuel. Cela correspond approximativement à l'emplacement de la rue Pullman (aujourd'hui abandonnée). Aucune couche témoignant de la présence du lac proglaciaire n'a été documentée lors de l'intervention archéologique dans le secteur à potentiel H4.

Au fur et à mesure que l'étendue d'eau présente au pied de la terrasse Sherbrooke rapetisse, le lac Lampsilis fait place au lac à la Loutre (6000 à 3000 ans AA). La couche de marne, une accumulation sédimentaire typique d'un environnement aquatique de faible énergie et peu profond, peut être associée à cette présence (photo 5). L'épaisseur de cette couche est révélatrice d'une durée de sédimentation prolongée. En effet, au rythme moyen de 0,025 m par siècle (Ethnoscop, 2005), les épaisseurs de marne enregistrées dans les forages effectués en 2009, variant de 0,45 m à 1,00 m, témoignent d'une accumulation qui s'échelonne sur une période de 1800 à 4000 ans. Finalement, l'espace a été envahi par une végétation lui donnant davantage l'aspect d'une tourbière que d'un lac à proprement parler. Cette tourbe, composée de matière organique en décomposition, s'est accumulée alors que le niveau de l'eau était encore suffisamment haut pour permettre la colonisation du secteur par des plantes aquatiques. Au fil du temps, le lac a continué de s'assécher, phénomène accéléré par l'aménagement du canal de Lachine, qui drainait presque la totalité de l'eau contenue dans la petite rivière qui coulait dans une étendue marécageuse. Les couches décrites ont par la suite été remblayées au fur et à mesure du développement des installations ferroviaires et de la cour de triage Turcot.

**Tableau 3 : Synthèse des résultats de la surveillance archéologique dans le secteur à potentiel archéologique historique H4**

Numéro d'identification archéologique	Numéro séquentiel	Niveau actuel du terrain (mètre NMM)	Niveau d'intérêt archéologique (mètre NMM)	Surface des sols naturels stériles (mètre NMM)	Niveau atteint (mètre NMM)	Description	Discussion	Recommandations
MTL09-23-1-2A	765	16,75	-	13,82	12,59	Le profil stratigraphique de ce forage est composé de remblais sablo-limoneux contenant des fragments de pierre de calcaire, de brique et de mortier. Ces remblais reposent sur la surface des sols naturels stériles, qui se trouve à environ 2,93 m de profondeur sous le niveau actuel du terrain. Ces sols naturels sont constitués d'une tourbe brun foncé de 0,15 m d'épaisseur déposée sur une marne lacustre de 0,85 m contenant de petits coquillages, suivie d'un mélange d'argile et de limon, le tout reposant sur un till composé de sable et de gravier contenant un peu de limon et des traces d'argile.	La marne de 0,85 m d'épaisseur confirme la présence du lac dans ce secteur. Les différentes couches de remblai attestent quant à elles l'épandage successif de résidus et de débris d'origines variées.	Il n'est pas recommandé de poursuivre la recherche archéologique à cet endroit.
MTL09-23-1-2B	766	17,23	-	14,28	12,35	Divers remblais à prédominance sablo-graveleuse sont présents sur une épaisseur d'environ 3,00 m et contiennent des fragments de brique et de mortier. Ils reposent sur la surface des sols naturels stériles, qui se trouve à environ 2,95 m sous le niveau actuel du terrain. Cette dernière se compose d'une tourbe brun foncé de 0,10 m d'épaisseur, déposée sur une marne lacustre de 1,05 m d'épaisseur contenant de petits coquillages et reposant sur un mélange d'argile et de limon et un till constitué de sable limoneux contenant un peu de gravier et des traces d'argile.	La marne de 1,05 m d'épaisseur confirme la présence du lac dans ce secteur. L'épaisse couche composée de remblais successifs atteste quant à elle l'épandage de résidus et de débris de provenances diverses.	Il n'est pas recommandé de poursuivre la recherche archéologique à cet endroit.
MTL09-23-1-2C	921	16,80	-	14,20	12,91	Le profil stratigraphique de ce forage est composé de divers remblais dont la matrice, principalement sableuse, contient plusieurs fragments de pierre de calcaire ainsi que des traces de bois. La surface des sols naturels stériles a été atteinte à environ 2,60 m de profondeur sous le niveau actuel du terrain. Elle se compose d'une tourbe brun foncé de 0,30 m d'épaisseur, déposée sur une marne lacustre de 0,65 m d'épaisseur contenant de petits coquillages. La marne repose sur un mélange d'argile et de limon et un till composé de gravier et de sable limoneux contenant des traces d'argile.	La marne de 0,65 m d'épaisseur confirme la présence du lac dans ce secteur. Les remblais successifs attestent quant à eux l'épandage de résidus et de débris d'origines variées.	Aucune recommandation n'est formulée quant à la poursuite de la recherche archéologique à cet endroit.
MTL09-23-1-2D	920	16,47	-	13,37	11,59	Les divers remblais à matrice sablo-argileuse présents dans la partie supérieure du forage contiennent des graviers, des fragments de brique, de tuyaux en plomb et de verre ainsi que du mortier. La surface des sols naturels stériles a pour sa part été atteinte à environ 3,10 m de profondeur sous le niveau actuel du terrain. Elle se compose d'une couche de tourbe brun foncé de 0,20 m d'épaisseur, déposée sur une marne lacustre de 0,75 m d'épaisseur contenant de petits coquillages. Cette marne repose sur un mélange d'argile et de limon et un till composé de gravier et de sable contenant des traces d'argile.	La marne de 0,75 m d'épaisseur confirme la présence du lac dans ce secteur. Les remblais successifs attestent quant à eux l'épandage de résidus et de débris de provenances diverses.	Aucune recommandation n'est formulée quant à la poursuite de la recherche archéologique à cet endroit.
MTL09-23-1-2E		16,49	-	12,22	11,31	Les couches supérieures du profil stratigraphique de ce forage correspondent à des remblais sablo-argileux à sablo-limoneux contenant des graviers, des fragments de béton et de brique ainsi que du mortier. Ces remblais reposent directement sur un till composé de sable et de gravier contenant des traces de limon et d'argile. La surface de ce till apparaît à environ 4,30 m de profondeur sous le niveau actuel du terrain.	L'absence de tourbe et de marne à la surface des sols naturels pose l'hypothèse que ces sols ont été enlevés lors de la réalisation des travaux de canalisation de la rivière Saint-Pierre. Les résultats de la superposition des plans anciens (plan 6) laissent en effet supposer que l'emplacement de la sous-opération 2E coïncide avec celui de la rivière.	Aucune recommandation n'est formulée quant à la poursuite de la recherche archéologique à cet endroit.
MTL09-23-1-2F	454	16,69	-	14,09	11,26	La partie supérieure du profil stratigraphique de ce forage est constituée de remblais sablo-limoneux à limono-argileux contenant des fragments de béton et de mortier ainsi que des graviers. Le niveau inférieur de ces remblais est constitué d'une couche de limon brun à noir légèrement organique, contenant quelques fragments de brique et reposant sur un limon argileux contenant quelques graviers. La surface des sols naturels stériles est par la suite atteinte à environ 2,60 m de profondeur sous le niveau actuel du terrain. Cette surface est constituée d'une tourbe noire de 1,30 m d'épaisseur, déposée sur une marne de 0,78 m d'épaisseur contenant de petits coquillages. La marne repose sur un mélange d'argile et de limon et un till composé de gravier et de sable contenant des traces de limon et d'argile.	Le remblai d'environ 0,18 m d'épaisseur formé d'un limon brun noir, légèrement organique, semble constituer une ancienne surface d'occupation associée à des activités agricoles. Aucune recommandation n'est toutefois formulée quant à la poursuite de la recherche archéologique à cet endroit.	Aucune recommandation n'est formulée quant à la poursuite de la recherche archéologique à cet endroit.

Numéro d'identification archéologique	Numéro séquentiel	Niveau actuel du terrain (mètre NMM)	Niveau d'intérêt archéologique (mètre NMM)	Surface des sols naturels stériles (mètre NMM)	Niveau atteint (mètre NMM)	Description	Conclusion	Recommandations
MTL09-23-1-2G	812	16,51	-	13,46	11,63	Les premières couches rencontrées dans ce forage sont des remblais principalement composés de sable argileux et de sable limoneux, contenant des graviers et des fragments de brique et de béton ainsi que du mortier. Une couche de tourbe contenant des éléments de culture matérielle (fragments de verre vert à bouteilles et de céramique en terre cuite fine blanche) a été observée à une profondeur de 1,83 m à 3,05 m sous le niveau actuel du terrain. Cette couche de tourbe semble correspondre à une partie remaniée de la surface des sols naturels, possiblement occupée au cours de la période historique et reposant sur un mélange de tourbe et de marne. La partie non remaniée des sols naturels a été observée à partir d'environ 3,60 m de profondeur sous le niveau actuel du terrain.	Bien que des éléments de culture matérielle aient été découverts dans ce forage, ces derniers ont été observés dans des contextes associés à la mise en place de remblais successifs.	Aucune recommandation quant à la poursuite de la recherche archéologique n'est formulée pour cet espace.
MTL09-23-1-2H	813	16,33	-	12,03	11,63	Les couches observées dans la partie supérieure de ce forage sont principalement de nature sablo-limoneuse. Elles contiennent des scories, des fragments de bois et de coquilles d'huître ainsi que du mortier. Une couche de limon argilo-sableux noirâtre et organique, contenant des fragments de verre incolore, des fibres de bois, des graviers et des coquillages, a été observée à une profondeur de 1,83 m à 2,39 m sous le niveau actuel du terrain. Cette couche repose sur un remblai argilo-sableux mélangé à de la tourbe. La surface des sols non perturbés a été atteinte à environ 4,30 m de profondeur sous le niveau actuel du terrain. Il s'agit d'une argile grise reposant sur un till composé de sable et de gravier contenant des traces de limon et d'argile.	Les couches de tourbe et de marne remaniées, dont la surface se trouve à 3,50 m sous le niveau actuel du terrain, posent l'hypothèse que ces sols ont pu être perturbés par les travaux de canalisation de la rivière Saint-Pierre. Les résultats de la superposition des plans anciens (plan 6) laissent en effet supposer que l'emplacement de la sous-opération 2H coïncide avec celui de la rivière.	Aucune recommandation n'est formulée quant à la poursuite de la recherche archéologique à cet endroit.
MTL09-23-1-2J	760	17,45	-	14,73	12,57	La partie supérieure du profil stratigraphique de ce forage, située entre la surface et une profondeur de 0,60 m, est composée de sable limoneux à graveleux contenant des fragments de béton. Entre 1,22 m et 1,83 m de profondeur, on note l'apparition de mortier dans une matrice très similaire. La surface des sols naturels stériles semble apparaître à environ 2,72 m de profondeur sous le niveau actuel du terrain et correspondrait à un till composé de sable et de gravier.	Ce forage est caractérisé par la présence de remblais déposés sur le sol naturel stérile. Aucune couche associée à la présence du lac à la Loutre n'a été notée.	Aucune recommandation n'est formulée quant à la poursuite de la recherche archéologique à cet endroit.
MTL09-23-1-2K		16,60	-	12,84	11,53	La partie supérieure du profil stratigraphique de ce forage se compose d'une succession de remblais sablo-limoneux à sablo-graveleux contenant des fragments de pierre de calcaire calcinés et du mortier. La surface des sols naturels se situe à environ 3,76 m de profondeur sous le niveau actuel du terrain. Elle est constituée d'une couche de tourbe brun foncé de 0,10 m d'épaisseur, déposée sur une marne lacustre de 0,60 m d'épaisseur reposant elle-même sur une argile gris bleuté et un till composé de sable graveleux contenant un peu de limon et des traces d'argile.	La marne de 0,60 m d'épaisseur confirme la présence du lac à la Loutre dans ce secteur. Les remblais successifs attestent quant à eux l'épandage de résidus et de débris d'origines variées.	Aucune recommandation n'est formulée quant à la poursuite de la recherche archéologique à cet endroit.
MTL09-23-1-2L	455	16,65	-	13,56	11,16	La partie supérieure du profil stratigraphique de ce forage est composée de sable limoneux contenant des fragments de brique, de pierre de calcaire et de béton ainsi que du mortier. La partie inférieure est quant à elle composée de sable graveleux contenant des graviers divers. La surface des sols naturels stériles a été atteinte à 3,09 m de profondeur sous le niveau actuel du terrain. Elle est constituée d'une couche de tourbe de 0,96 m d'épaisseur, déposée sur une marne lacustre de 0,59 m d'épaisseur reposant elle-même sur un mélange d'argile et de silt et un till composé de sable graveleux et silteux comportant des traces d'argile.	La présence d'une marne de 0,59 m d'épaisseur, surmontée d'une épaisse couche de tourbe, atteste que ce secteur a été occupé par le lac à la Loutre, qui s'est ensuite transformé en zone marécageuse. Les remblais successifs confirment quant à eux l'épandage de résidus et de débris de provenances diverses.	Aucune recommandation n'est formulée quant à la poursuite de la recherche archéologique à cet endroit.
MTL09-23-1-2M	759	17,43	-	13,88	12,55	Le profil stratigraphique de ce forage est composé de divers remblais de sables limoneux et graveleux contenant des fragments de brique, de béton, de mortier et de charbon minéral. La surface des sols naturels stériles a été atteinte à environ 3,09 m de profondeur sous le niveau actuel du terrain. Elle est constituée d'une couche de tourbe de 0,20 m d'épaisseur, déposée sur une marne de 0,80 m d'épaisseur reposant elle-même sur un mélange d'argile et de limon et un till composé d'un sable graveleux contenant un peu de limon et d'argile.	La marne de 0,80 m d'épaisseur confirme la présence du lac à la Loutre dans ce secteur. Les remblais successifs attestent quant à eux l'épandage de résidus et de débris de provenances diverses. Aucune recommandation n'est toutefois formulée quant à la poursuite de la recherche archéologique à cet endroit.	Aucune recommandation n'est formulée quant à la poursuite de la recherche archéologique à cet endroit.

Numéro d'identification archéologique	Numéro séquentiel	Niveau actuel du terrain (mètre NMM)	Niveau d'intérêt archéologique (mètre NMM)	Surface des sols naturels stériles (mètre NMM)	Niveau atteint (mètre NMM)	Description	Conclusion	Recommandations
MTL09-23-1-2N	816	16,41	-	13,16	12,70	La partie supérieure de ce forage se caractérise par la présence de remblais sableux et limoneux contenant du gravier, des fragments de brique, du charbon minéral et de la pierre de calcaire partiellement calcinée. Un fragment de céramique en terre cuite fine blanche vitrifiée a aussi été observé à une profondeur de 1,83 m à 2,44 m sous le niveau actuel du terrain. La surface des sols naturels, constituée d'une marne lacustre de 0,75 m d'épaisseur, semble avoir été perturbée, étant donné la présence de petites scories dans cette couche. La surface non perturbée de ces sols est donc constituée d'une argile limoneuse qui repose sur un till composé d'un sable graveleux contenant un peu de limon et des traces d'argile. Cette surface se trouve à 3,25 m de profondeur sous le niveau actuel du terrain.	La présence d'une marne de 0,75 m d'épaisseur, bien qu'elle soit perturbée, confirme l'emplacement du lac à la Loutré dans ce secteur. Les remblais successifs attestent quant à eux l'épandage de résidus et de débris d'origines variées.	Aucune recommandation n'est formulée quant à la poursuite de la recherche archéologique à cet endroit.
MTL09-23-1-2P	817	16,66	15,44	14,32	11,78	La première couche observée dans ce forage est constituée de pierre concassée de calibre 20 mm d'une épaisseur de 0,75 m. Elle couvre un remblai sablo-limoneux contenant du charbon minéral et du gravier. À une profondeur d'environ 1,22 m sous le niveau actuel du terrain, on note la présence de bois partiellement décomposé couvrant un sable légèrement limoneux qui pourrait être associé à une ancienne structure en bois. Cette dernière repose sur un remblai sablo-limoneux contenant des graviers, des fragments de brique et des lentilles de marne. Ces niveaux de sol anthropiques reposent sur une tourbe naturelle non remaniée à environ 2,35 m de profondeur.	Les deux couches de surface sont associées à l'aménagement du terrain de stationnement du complexe récréatif Gadbois. La présence de bois suggère, quant à elle, un vestige archéologique associé à des bâtiments illustrés sur un plan de Goad de 1913 (plan 7).	La réalisation d'un inventaire archéologique au moyen de sondages prenant la forme de trois tranchées de 2,00 m sur 10,00 m est recommandée à cet endroit. Le nombre de tranchées pourra cependant varier selon l'ampleur des résultats.
MTL09-23-1-2Q	815	16,92	-	13,26	12,15	Une couche de pierre concassée de calibre 20 mm observée en surface de ce forage constitue la base d'appui du revêtement d'asphalte couvrant le chemin d'accès menant au complexe récréatif Gadbois. Sous cette dernière, à une profondeur de 1,22 m à 3,66 m sous le niveau actuel de la chaussée, on trouve un remblai composé de sable limoneux contenant du gravier et des traces de brique. Ce dernier repose sur une marne d'environ 0,61 m d'épaisseur, elle-même suivie d'un mélange d'argile et de limon déposé sur un till composé de gravier et de sable contenant un peu de limon et des traces d'argile.	Le remblai d'environ 3,66 m d'épaisseur a probablement été mis en place au moment des travaux d'implantation du collecteur Saint-Pierre, ce qui aurait éradiqué toutes les couches ayant pu présenter un intérêt archéologique.	Aucune recommandation n'est formulée quant à la poursuite de la recherche archéologique à cet endroit.
MTL09-23-1-2R	814	16,64	-	12,37	11,15	La partie supérieure du profil stratigraphique de ce forage est composée d'un revêtement d'asphalte reposant sur une couche de pierre concassée de calibre 20 mm. Le tout est déposé sur un remblai sableux contenant du gravier et quelques fragments de brique, présent jusqu'à la surface des sols naturels stériles. Cette dernière a été atteinte à environ 4,27 m de profondeur sous le niveau actuel de la chaussée. Elle se compose d'une marne de 0,40 m d'épaisseur, elle-même déposée sur un mélange d'argile et de limon qui repose sur un till constitué de sable et de gravier contenant un peu de limon et des traces d'argile.	Les remblais identifiés à cet endroit sont associés à la présence du collecteur Saint-Pierre à proximité.	Aucune recommandation n'est formulée quant à la poursuite de la recherche archéologique à cet endroit.
MTL09-23-1-2T			-			La partie supérieure de ce forage est composée d'une couche de pierre concassée. Cette dernière repose sur une couche de sable limoneux contenant des cailloux et des graviers. Ce remblai est présent jusqu'à environ 3,90 m de profondeur. Une couche de marne, présente entre 3,90 m et 4,60 m de profondeur correspond au sol naturel stérile. Ensuite, une couche d'argile grise d'environ 0,30 m d'épaisseur repose sur le till de fond à 4,90 m sous la surface actuelle.	La présence d'une couche de marne permet de confirmer l'emplacement du lac à la Loutré dans ce secteur. Cet espace a été remblayé récemment comme en témoignent les remblais observés dans le profil stratigraphique.	Aucune recommandation n'est formulée quant à la poursuite de la recherche archéologique à cet endroit.

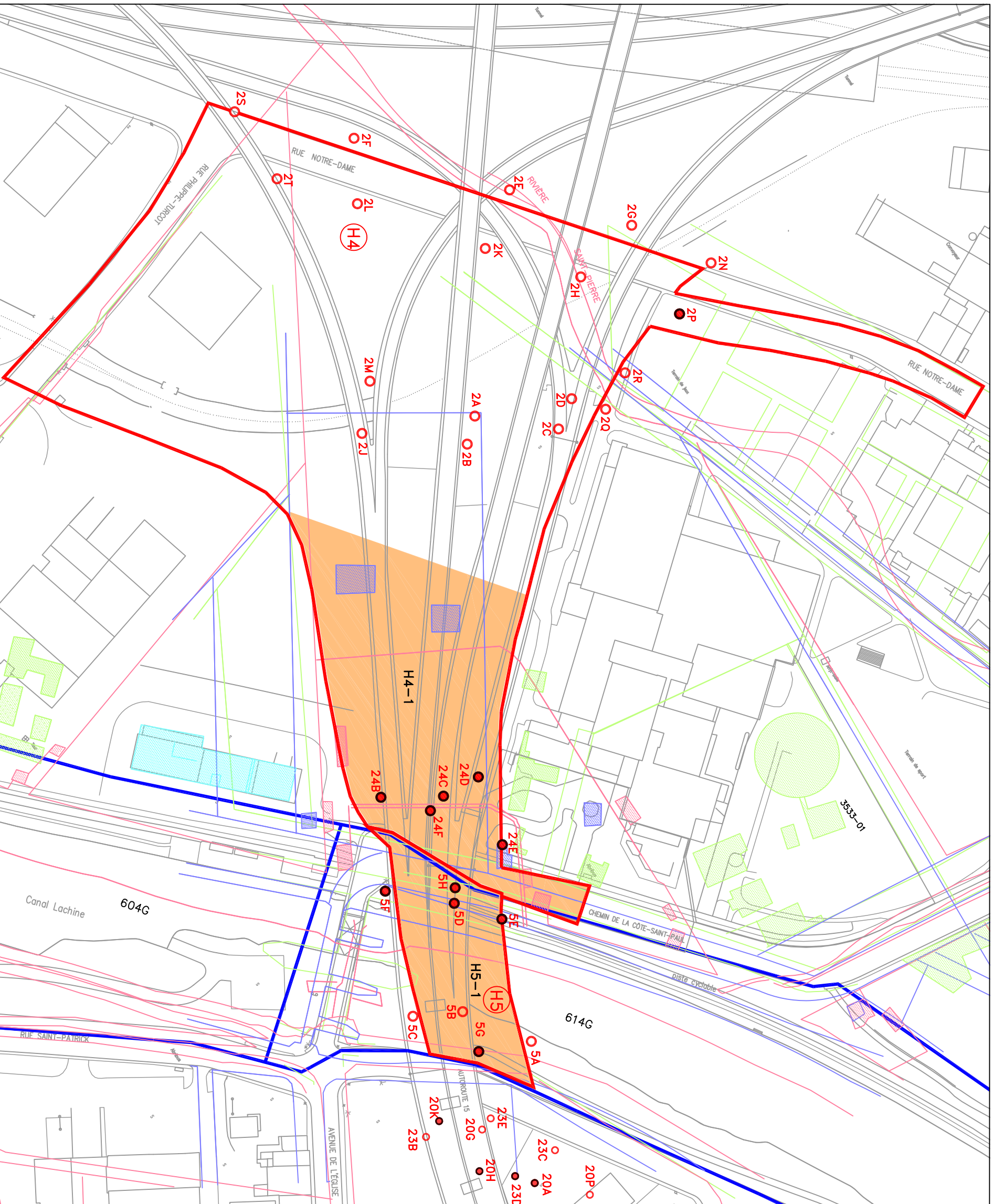
Les sous-opérations 2E et 2H présentent des remblais d'une épaisseur totale beaucoup plus importante que celle des forages environnants. D'après les résultats de la superposition du plan de Sitwell de 1865-1871 sur le plan base actuel, leurs emplacements coïncideraient avec le tracé de l'ancienne rivière Saint-Pierre, qui coulait dans la partie nord-est du secteur H4 (plan 6). Ces observations valident les résultats du travail de superposition tout en permettant de positionner l'emplacement de l'ancienne rivière dans le paysage actuel. Les sous-opérations 2F et 2P ont de plus révélé la présence de sols associés à des occupations anciennes à proximité de la rivière Saint-Pierre. Dans la sous-opération 2F, une couche noire légèrement organique située à 1,65 m de profondeur sous le niveau actuel du terrain pourrait confirmer que l'espace situé au nord du canal de Lachine avait une vocation agricole au cours du XIX<sup>e</sup> siècle et peut-être même avant la construction du canal. La sous-opération 2P a, quant à elle, permis d'observer des traces de bois à une profondeur de 1,22 m. La présence de bois à cet endroit et à cette profondeur pourrait être associée à une série de bâtiments illustrée sur le plan de Goad de 1913 (plan 7).



Photo 5 : Exemple type d'un échantillon de marne dans une cuillère fendue, sous-opération MTL09-23-1-2P (MTL09-23-1-NUM1-23)

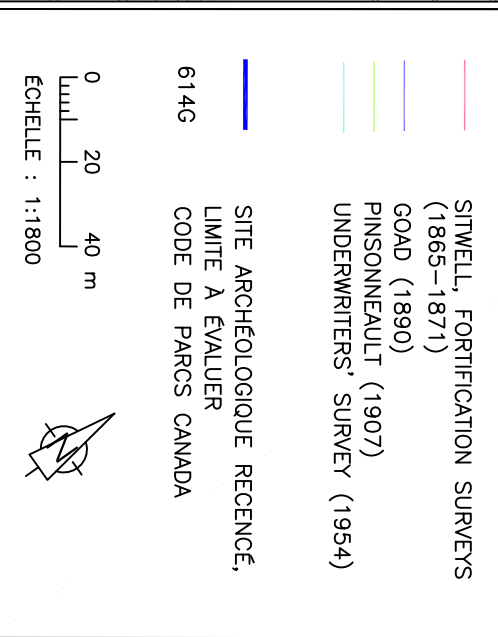
### 2.3.3 Discussion et recommandation

Bien qu'aucune recommandation n'ait été formulée dans l'étude de potentiel concernant la partie nord du secteur H4 (plan 7), la présence de bois à l'emplacement de la sous-opération 2P suggère l'existence de vestiges archéologiques. Ces vestiges pourraient être associés à des bâtiments en bois illustrés sur un plan de 1913 (plan 7). Cet espace, dont la vocation agricole s'échelonne sur près de deux siècles, est loti au tournant du XX<sup>e</sup> siècle. Ce sont donc possiblement des vestiges archéologiques correspondant à une époque charnière du développement de ce secteur qui pourraient être documentés à cet endroit. La réalisation d'un inventaire archéologique au moyen de tranchées mécaniques de 2 m sur



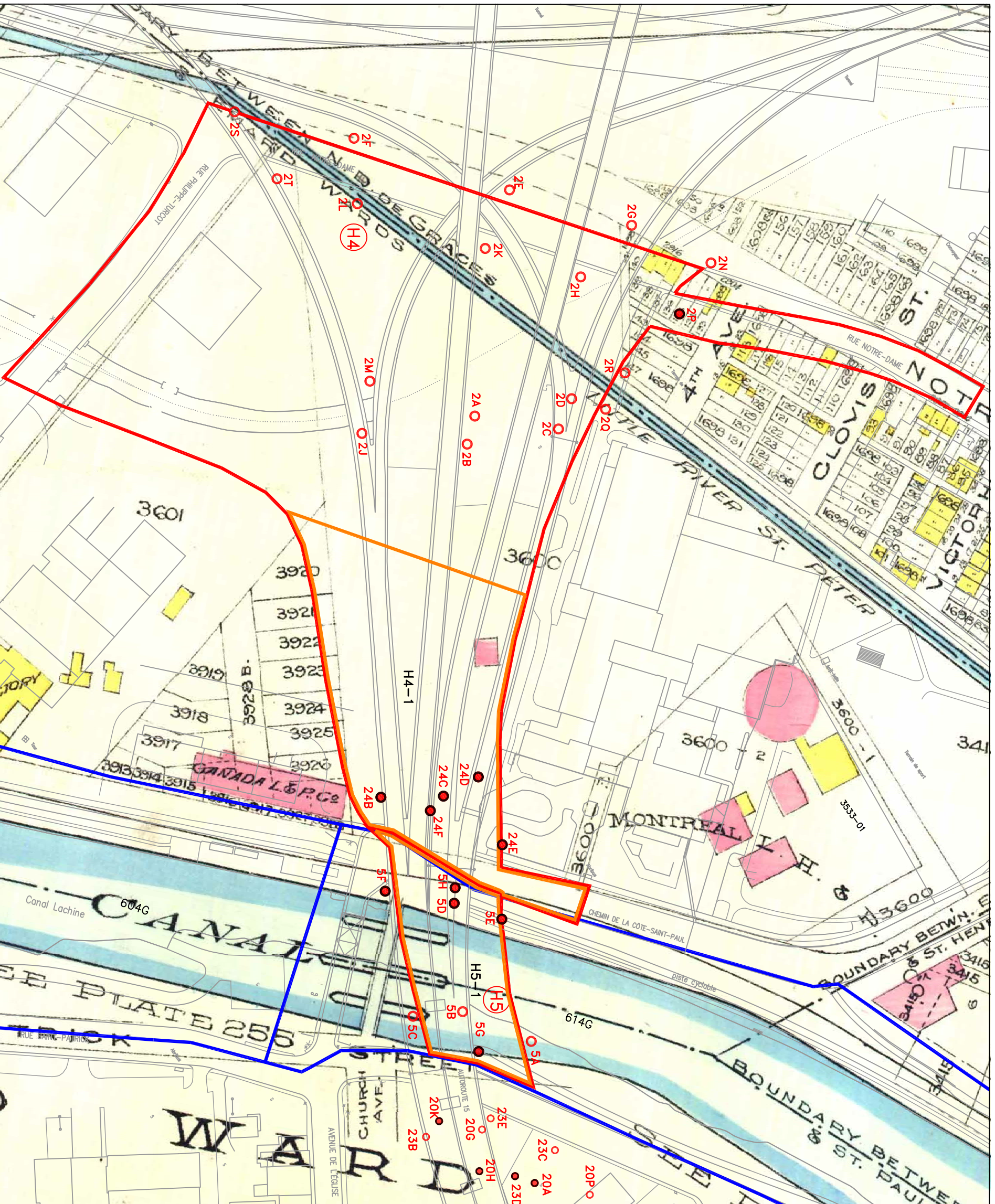
COMPLEXE TURCOT  
 SURVEILLANCE ARCHÉOLOGIQUE  
 MTL09-23-1 ET 614G  
**ÉTUDE POLYPHASEE DES PLANS ANCIENS  
 DE 1865-1871, 1890, 1907 ET 1954**  
 SECTEURS À POTENTIEL ARCHÉOLOGIQUE  
 HISTORIQUE H4 ET H5  
**PLAN 6**

- H4 LIMITE DE SECTEUR
- NUMERO DE SECTEUR
- ZONE À POTENTIEL ARCHÉOLOGIQUE
- NUMÉRO DE ZONE
- H4-1
- FORAGE POSITIF
- FORAGE NÉGATIF
- 2A NUMÉRO DE SOUS-OPÉRATION
- 614G
- SUPERPOSITION DE PLANS ANCIENS :
- SITWELL, FORTIFICATION SURVEYS (1865-1871)
- GOAD (1890)
- PINSONNEFAULT (1907)
- UNDERWRITERS' SURVEY (1954)
- 614G SITE ARCHÉOLOGIQUE RECENTÉ,
- LIMITE À ÉVALUER
- CODE DE PARCS CANADA



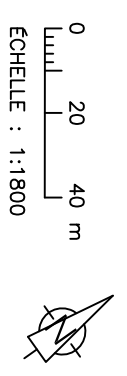
SOURCES :

- Cartes électroniques, ministère des Transports du Québec, fichiers Turcot-TN-Ouest-2D.dwg, L016886-TN-Turcot.dwg et 31ne3631\_carto.dwg
- Informations archéologiques, Parcs Canada, fichiers 613G-4A et 4B.dwg, 1998-1706-01.dwg, 1998-176C-01.dwg, 1995-172G-01.dwg et 98-600G-3.dwg
- Ethnoscop 2008a



COMPLEXE TURCOT  
 SURVEILLANCE ARCHÉOLOGIQUE  
 MTL09-23-1 ET 614G  
 SUPERPOSITION DU PLAN DE GOAD DE  
 1913 SUR LE PLAN ACTUEL  
 SECTEURS À POTENTIEL ARCHÉOLOGIQUE  
 HISTORIQUE H4 ET H5  
 PLAN 7

- H4 LIMITE DE SECTEUR
- H4-1 NUMÉRO DE SECTEUR
- H4-1 ZONE À POTENTIEL ARCHÉOLOGIQUE
- H4-1 NUMÉRO DE ZONE
- FORAGE POSITIF
- FORAGE NÉGATIF
- 2A NUMÉRO DE SOUS-OPÉRATION
- 614G SITE ARCHÉOLOGIQUE RECENCE
- 614G LIMITE À ÉVALUER
- 614G CODE DE PARCS CANADA



SOURCES :

- Cartes électroniques, ministère des Transports du Québec, fichiers Turcot-TN-Ouest-2D.dwg, L016886G-TN-Turcot.dwg et 31he3631\_carto.dwg
- Informations archéologiques, Parcs Canada, fichiers 613G-4A et 4B.dwg, 1998-170G-01.dwg, 1998-176G-01.dwg, 1995-172G-01.dwg et 98-600G-3.dwg
- Ethnoscop 2008a

10 m est donc recommandée. Une tranchée devrait être effectuée à l'emplacement de la sous-opération 2P. Dépendamment des résultats, d'autres tranchées similaires peuvent s'avérer nécessaires. Le cas échéant, leur position devra être déterminée à partir des résultats de la première.

## 2.4 Zone à potentiel archéologique historique H4-1

La zone à potentiel archéologique historique H4-1 est localisée dans la partie est du secteur H4 (plan 5). Elle comprend la partie du lot 3600 sur laquelle sont représentés des bâtiments entre la fin du XIX<sup>e</sup> et le début du XX<sup>e</sup> siècle (Ethnoscop, 2008a : figures 17-1, 19-3 et 20). Trois de ces bâtiments, érigés dans la partie déboisée du lot 3600 ayant front sur le chemin de la Côte-Saint-Paul, sont en effet représentés sur les plans militaires de 1865-1871 et semblent associés à une fonction agricole. En 1890, l'un de ces bâtiments, construit en pierre ou en brique, est toujours présent dans le coin sud-est du lot. Deux autres édifices de plus grandes dimensions, également en pierre ou en brique, mais dont la fonction ne peut être précisée, sont aussi illustrés dans la partie arrière du même lot. La rivière Saint-Pierre est alors canalisée. L'industrialisation du secteur s'amorce au début du XX<sup>e</sup> siècle. Sur le lot voisin au sud (lot 3601), on trouve deux fabriques : l'une de chandelles (« *Tallow factory* »), l'autre de colle (« *Glue factory* »). De plus, la « Montreal Gas Co » s'est installée plus au nord, sur le terrain actuellement occupé par le parc Gadbois, en bordure du chemin de la Côte-Saint-Paul. Les bâtiments encore présents en 1907 et en 1913 ont complètement disparu au milieu du XX<sup>e</sup> siècle (Ethnoscop, 2008a : tableau 4).

### 2.4.1 Sous-opérations MTL09-23-1-24B à 24F

Ces cinq sous-opérations sont associées aux forages effectués dans les limites de la zone à potentiel historique H4-1 entre le 3 et le 8 septembre 2009 (plan 5 et photo 6). Ils ont été réalisés dans la partie est de la zone à potentiel archéologique sous l'autoroute 15. Une sous-opération a été effectuée sur le terrain du complexe récréatif Gadbois.



Photo 6 : Sous-opération MTL09-23-1-24F dans la zone à potentiel historique H4-1, direction nord (MTL09-23-1- NUM5-27)

**Tableau 4 : Synthèse des résultats de la surveillance archéologique dans la zone à potentiel archéologique historique H4-1**

Numéro d'identification archéologique	Numéro séquentiel	Niveau actuel du terrain (mètre NMM)	Niveau d'intérêt archéologique (mètre NMM)	Surface des sols naturels stériles (mètre NMM)	Niveau atteint (mètre NMM)	Description	Discussion	Recommandations
MTL09-23-1-24B	991	20,63	18,19	17,13	15,14	La partie supérieure du profil stratigraphique de ce forage est composée d'une couche de sable noirâtre contenant des fragments de pierre de calcaire partiellement calcinés, de charbon minéral et de verre ainsi que des scories et du mâchefer. Elle repose sur une couche argilo-sableuse brunâtre contenant un peu de gravier. La surface des sols naturels a été atteinte à une profondeur de 2,44 m à 3,05 m sous le niveau actuel du terrain. Elle semble toutefois avoir été remaniée et ce n'est qu'à environ 3,50 m de profondeur que ces sols apparaissent comme étant stériles, en surface d'un till composé d'un limon sableux et graveleux.	La surface remaniée des sols naturels pourrait témoigner de l'occupation des lieux au cours de la période historique.	Il est recommandé de réaliser un inventaire archéologique à cet endroit en conformité avec le plan d'intervention proposé dans l'étude de potentiel (Ethnoscop, 2008a).
MTL09-23-1-24C	995	19,87	17,43	17,43	15,20	La partie supérieure du profil stratigraphique de ce forage est constituée d'un revêtement d'asphalte déposé sur un lit de pierre concassée. Ce dernier repose sur un limon sableux et graveleux contenant des particules de mortier et des fragments de céramique provenant probablement d'un isolateur électrique. La surface des sols naturels est atteinte à une profondeur de 2,44 m à 3,05 m sous le niveau actuel du terrain et repose sur un till dont la surface se trouve à une profondeur de 3,66 m à 4,27 m.	La surface remaniée des sols naturels pourrait témoigner de l'occupation des lieux au cours de la période historique.	Il est recommandé de réaliser un inventaire archéologique à cet endroit en conformité avec le plan d'intervention proposé dans l'étude de potentiel (Ethnoscop, 2008a).
MTL09-23-1-24D	1006	19,69	18,47	18,16	13,75	La partie supérieure du profil stratigraphique de ce forage est semblable à celle du précédent. La couche de limon sableux et graveleux contient toutefois des fragments de brique, de béton et de charbon minéral. La surface des sols naturels stériles, constituée d'un limon beigeâtre contenant des graviers et des cailloux, a été atteinte à une profondeur de 1,22 m à 1,83 m sous le niveau actuel du terrain. Il s'agit vraisemblablement d'un till d'ablation.	La surface des sols naturels pourrait témoigner de l'occupation des lieux au cours de la période historique.	Il est recommandé de réaliser un inventaire archéologique à cet endroit en conformité avec le plan d'intervention proposé dans l'étude de potentiel (Ethnoscop, 2008a).
MTL09-23-1-24E	1001	20,36	19,75	18,66	13,76	La partie supérieure du profil stratigraphique de ce forage est constituée d'un sable contenant du gravier et des morceaux d'asphalte. Ce sable repose à une profondeur d'environ 0,61 m à 1,22 m sous le niveau actuel du terrain sur une couche de limon sableux brun contenant des inclusions anthropiques : fragments de céramique et morceaux de plastique. Ce limon, qui forme possiblement l'ancienne surface des sols naturels, repose directement sur un till d'ablation qui constitue la surface des sols naturels archéologiquement stériles.	La présence d'inclusions anthropiques dans ce qui apparaît comme l'ancienne surface des sols naturels semble confirmer l'occupation de ce niveau au cours d'une période assez longue. Les résultats de la superposition de plans anciens confirment également la présence de bâtiments dans cette partie de la zone H4-1 pendant la seconde moitié du XIX <sup>e</sup> siècle (plans 6 et 8).	Il est recommandé de réaliser un inventaire archéologique à cet endroit en conformité avec le plan d'intervention proposé dans l'étude de potentiel (Ethnoscop, 2008a).
MTL09-23-1-24F	1000	20,04	18,21	17,60	15,62	La partie supérieure du profil stratigraphique de ce forage est constituée d'une épaisse couche d'asphalte reposant directement sur un sable limoneux contenant du gravier, des scories ainsi que des fragments de charbon minéral, de mortier et de béton. La surface des sols naturels stériles a été atteinte à une profondeur de 1,83 m à 2,44 m sous le niveau actuel du terrain. Elle est constituée par un sable limoneux brun contenant du gravier qui a toutes les apparences d'un till d'ablation.	La surface des sols naturels pourrait témoigner de l'occupation des lieux au cours de la période historique.	Il est recommandé de réaliser un inventaire archéologique à cet endroit en conformité avec le plan d'intervention proposé dans l'étude de potentiel (Ethnoscop, 2008a).

## 2.4.2 Résultats

Les observations effectuées dans les sous-opérations de la zone à potentiel archéologique H4-1 ont permis de noter la présence de remblais sur une épaisseur variant de 1,70 m à 3,00 m de profondeur sous le niveau actuel du terrain (tableau 4). Ces remblais se composent de sable et de limon graveleux contenant des fragments de charbon minéral, de brique, de béton et de mortier ainsi que des scories et du mâchefer. Ils reposent généralement sur un till d'ablation, parfois légèrement remanié en surface. Dans les sous-opérations 24C et 24E, la surface de ce till est constituée d'un sol plus foncé qui semble correspondre à la surface d'origine des sols naturels stériles. Dans la sous-opération 24C, ce sol, dont la surface est atteinte à une altitude d'environ 17,43 m (NMM), se compose de sable fin faiblement limoneux brun contenant des cailloux et des graviers. Il repose sur une couche vraisemblablement associée au till d'ablation. Aucun artefact n'y a été récolté, mais la position stratigraphique de ce sol suggère qu'il s'agit de la surface sur laquelle les premières occupations humaines ont pu prendre place. Ce sol pourrait également avoir été labouré, puisque cet espace semble être voué à des activités agricoles à la fin du XIX<sup>e</sup> et au début du XX<sup>e</sup> siècle (Ethnoscop, 2008a).

Dans la sous-opération 24E (photo 7), le profil stratigraphique se compose d'un remblai sablo-limoneux contenant des cailloux et du gravier ainsi que des morceaux d'asphalte.



Photo 7 : Sous-opération MTL09-23-1-24E dans la zone à potentiel historique H4-1, direction sud (MTL09-23-1-NUM5-24)

Cette couche repose sur un limon sableux, faiblement argileux brun, contenant quelques petits fragments de céramique en terre cuite fine blanche et des morceaux de plastique. Ce limon a été enregistré à des altitudes (NMM) variant de 19,14 m à 18,53 m. Ces élévations correspondent aux altitudes supérieures et inférieures entre lesquelles ce limon a été observé, mais elles ne permettent cependant pas de préciser son épaisseur exacte. Sa position stratigraphique semble toutefois associée à la surface sur laquelle les premières occupations humaines ont pu avoir lieu. Comme dans la sous-opération 24C, ce sol pourrait également avoir été labouré, puisque cet espace est voué à des activités agricoles à la fin du XIX<sup>e</sup> et au début du XX<sup>e</sup> siècle (Ethnoscop, 2008a).

### **2.4.3 Discussion et recommandation**

Dans l'étude de potentiel il a été recommandé de réaliser un inventaire archéologique au moyen de tranchées excavées mécaniquement. Des sondages manuels pourraient compléter cet inventaire le cas échéant. À partir des résultats de la surveillance archéologique des forages cette recommandation est maintenue. La présence d'une couche de sol contenant des éléments anthropiques et vraisemblablement associée à d'anciens niveaux de labour suggère que certaines portions de cette zone à potentiel pourraient receler des traces d'occupation datant des périodes historiques. Cela est particulièrement vrai à l'emplacement des bâtiments illustrés sur les plans de Sitwell de 1865-1871 et de Goad de 1890 (plan 6).

## **2.5 Zone à potentiel archéologique historique H5-1**

La zone à potentiel archéologique H5-1 correspond entièrement à la partie nord du secteur H5, située dans l'axe du pont de l'autoroute 15 qui enjambe le canal de Lachine (plan 5). Dans cette section du canal de Lachine, la propriété de Parcs Canada est constituée du canal lui-même et de deux bandes de terrain étroites situées de part et d'autre (photos 8 et 9). Les résultats de plusieurs interventions archéologiques ont démontré le fort potentiel archéologique de ce lieu patrimonial d'importance nationale (Ethnoscop, 2008a : tableau 4).

Les travaux de construction du canal de Lachine furent réalisés entre 1821 et 1825 (Ethnoscop, 2008a : figure 7). Un premier pont en bois fut vraisemblablement construit vers 1822, à l'endroit où le chemin de la Côte-Saint-Paul croise le nouveau canal, et fut sans doute l'objet de plusieurs réfections. Le canal de Lachine a été élargi une première fois entre 1843 et 1848, et c'est probablement à la suite de ces travaux que fut aménagé le premier pont tournant, dans l'axe du chemin de la Côte-Saint-Paul. Il s'agit en l'occurrence du pont qui est visible sur le plan de H. S. Sitwell de 1865-1871, sur lequel il est mentionné « *swing bridge* » (Ethnoscop, 2008a : figure 12-3).

Dans le secteur compris entre le pont du chemin de la Côte-Saint-Paul et le pont du boulevard Angrignon, le canal fut une seconde fois élargi entre 1873 et 1879, surtout du côté nord. De ce côté, ces travaux entraînent la reconstruction du chemin de halage, qui fut d'abord recouvert de pierre concassée en 1825 puis macadamisé en 1827. Lors des travaux de 1873-1879, la largeur de ce chemin fut portée à 18 pieds et des fossés de



Photo 8 : Vue de la rive droite du canal de Lachine, dans le secteur de la zone à potentiel historique H5-1, direction est (614G-09-NUM1-1)



Photo 9 : Vue de la rive gauche du canal de Lachine, dans le secteur de la zone à potentiel historique H5-1, direction ouest (614G-09-NUM1-6)

2,50 pieds de profondeur furent aménagés afin d'en assurer le drainage. Un chemin public (rue Saint-Patrick) fut également construit à cette époque, du côté sud du canal (Ethnoscop, 2008a : tableau 4).

Les travaux de 1873-1879 ont aussi entraîné la construction d'un nouveau pont tournant, dont les appuis étaient en maçonnerie. L'ouvrage, constitué de deux parties fixes de part et d'autre du canal et d'une partie centrale mobile, reposait sur trois îlots (Ethnoscop, 2008a : figures 16-2 et 17-1). Un dernier pont tournant en acier, dont le pont actuel est en majeure partie issu, a été érigé entre 1903 et 1905 par la compagnie Dominion Bridge (Ethnoscop, 2008a : tableau 4).

Outre le chemin de la Côte-Saint-Paul et les différents ponts érigés dans son axe, la zone à potentiel archéologique H5-1 comprend un certain nombre d'infrastructures liées à diverses activités se déroulant aux abords du canal de Lachine. C'est le cas de deux chemins de fer, l'un du côté nord appartenant au Grand Tronc (« *Canal Bank siding* ») et l'autre du côté sud au Canadien Pacifique (« *South Bank branch* ») (Ethnoscop, 2008a : figure 18-5). Un petit bâtiment de forme hexagonale, identifié comme étant la logette du pontier, a aussi été mis au jour du côté sud-ouest du canal lors d'interventions archéologiques effectuées en 2002 (Ethnoscop, 2008a : tableau 4).

### **2.5.1 Sous-opérations 614G-5A, 5B, 5C et 5G**

Ces quatre sous-opérations correspondent à l'emplacement de quatre forages réalisés entre le 26 et le 31 août 2009, dans les limites du site archéologique du canal de Lachine, avec l'approbation de l'Agence Parcs Canada (plan 5). Les codes temporaires associés à ces sous-opérations sont respectivement 614G-5A, 5B, 5C et 5G (annexe A). Ces forages ont été réalisés sur la rive droite du canal.

### **2.5.2 Sous-opérations 614G-5D, 5E, 5F et 5H**

Les emplacements de ces quatre sous-opérations correspondent à ceux de quatre forages réalisés entre le 27 août et le 1<sup>er</sup> septembre 2009, dans les limites du site archéologique du canal de Lachine, avec l'approbation de l'Agence Parcs Canada (plan 5). Les codes temporaires associés à ces sous-opérations sont respectivement 614G-5D, 5E, 5F et 5H (annexe A). Ces forages ont été réalisés sur la rive gauche du canal.

### **2.5.3 Résultats**

Les profils stratigraphiques des huit sous-opérations réalisées dans les limites de la zone à potentiel archéologique H5-1 sont assez semblables (tableau 5). Ils se caractérisent par la présence d'une succession de remblais en surface, dont l'épaisseur varie de 2,00 m environ, au nord du canal de Lachine (sous-opération 614G-5H), à plus de 10,00 m, au sud (sous-opération 614G-5C), pour une épaisseur moyenne d'environ 5,80 m. Les différentes couches de sable et de limon qui composent ces remblais contiennent des fragments de béton, de mortier, de brique, de charbon minéral et de bois ainsi que du mâchefer et des scories. Quelques morceaux d'asphalte ont également été observés, principalement dans la partie supérieure de plusieurs de ces remblais.

**Tableau 5 : Synthèse des résultats de la surveillance archéologique dans la zone à potentiel archéologique historique H5-1**

Numéro d'identification archéologique	Numéro séquentiel	Niveau actuel du terrain (mètre NMM)	Niveau d'intérêt archéologique (mètre NMM)	Surface des sols naturels stériles (mètre NMM)	Niveau atteint (mètre NMM)	Description	Discussion	Recommandations
614G-5A	1004	21,32	-	16,13	11,77	La partie supérieure du profil stratigraphique de ce forage correspond à une succession de remblais composés principalement de sables limoneux et argileux contenant des fragments de mortier, de brique et d'asphalte ainsi que du mâchefer. La surface des sols naturels, constituée d'une argile grise, a été atteinte à une profondeur de 4,88 m à 5,49 m sous le niveau actuel du terrain. Cette argile repose sur un till composé d'un sable limoneux et graveleux comportant des traces d'argile.	Cette sous-opération est localisée dans la partie remblayée de l'ancien canal de Lachine.	Aucune recommandation n'est formulée quant à la poursuite de la recherche archéologique à cet endroit.
614G-5B	997	21,75	-	14,12	12,91	La partie supérieure du profil stratigraphique de ce forage correspond à une succession de remblais mis en place au moment de la construction d'un pilier soutenant les voies aériennes de l'autoroute 15. Ces remblais sableux et graveleux contiennent des scories, du mâchefer ainsi que des fragments de béton, de brique et de verre. La surface des sols naturels non remaniés a été atteinte à une profondeur de 7,32 m à 7,93 m sous le niveau actuel du terrain. Elle est constituée d'un till composé de limon graveleux, d'un peu de sable et de traces d'argile.	Cette sous-opération est localisée dans la partie remblayée de l'ancien canal de Lachine, ainsi que dans des sols qui ont sans aucun doute été perturbés par la construction des piliers de l'autoroute 15.	Aucune recommandation n'est formulée quant à la poursuite de la recherche archéologique à cet endroit.
614G-5C	993	24,14	-	13,46	12,55	Les cinq premiers mètres de ce forage sont constitués de niveaux successifs de remblai variant d'un sable limoneux à une argile sableuse et contenant des fragments de brique, de mortier, de bois et d'asphalte ainsi que du mâchefer. Sur deux mètres additionnels, soit jusqu'à une profondeur d'environ 7,00 m sous le niveau actuel du terrain, on trouve un remblai de till remanié composé d'un mélange de limon, d'argile et de sable contenant du gravier et des cailloux. La surface des sols naturels stériles a pour sa part été atteinte à une profondeur de 10,37 m à 10,98 m et elle est constituée d'un till de limon sableux.	Cette sous-opération est localisée dans la partie remblayée de l'ancien canal de Lachine, ainsi que dans des sols qui ont sans aucun doute été perturbés par la construction des piliers de l'autoroute 15.	Aucune recommandation n'est formulée quant à la poursuite de la recherche archéologique à cet endroit.
614G-5D	996	21,44	-	-	14,46	La totalité du profil stratigraphique observé dans ce forage se rapporte à la mise en place de remblais associés à la construction des piliers de l'autoroute 15. En effet, à environ 5,50 m de profondeur sous le niveau actuel du terrain, la foreuse a buté contre une structure de béton, possiblement la semelle d'un pilier de l'autoroute 15. La présence de cette structure a contraint à l'abandon du forage.	Les sols observés dans ce forage ont sans aucun doute été perturbés par la construction des piliers de l'autoroute 15.	Les recommandations formulées dans l'étude de potentiel sont maintenues en ce qui a trait à la supervision archéologique de tous travaux d'excavation réalisés dans les limites du site archéologique du canal de Lachine.
614G-5E	1002	21,3	-	17,94	17,03	Le profil stratigraphique de ce forage présente dans sa partie supérieure une succession de remblais limono-sableux qui atteignent une profondeur de 3,50 m sous le niveau actuel du terrain. Ces remblais contiennent des fragments de mortier et de charbon minéral ainsi que du mâchefer. La surface des sols naturels stériles a pour sa part été atteinte à une profondeur de 3,05 m à 3,66 m et correspond à un till d'ablation.	À cet endroit, le rehaussement du terrain en bordure nord du canal de Lachine peut être en partie attribuable soit aux travaux de construction de l'autoroute 15, soit à ceux du canal.	Les recommandations formulées dans l'étude de potentiel sont maintenues en ce qui a trait à la supervision archéologique de tous travaux d'excavation réalisés dans les limites du site archéologique du canal de Lachine.
614G-5F	992	23,3	-	17,5	15,37	La partie supérieure du profil stratigraphique de ce forage présente une succession de remblais sableux et limoneux contenant du gravier et quelques fragments de brique et de mortier. Ces remblais atteignent une profondeur de 6,00 m sous le niveau actuel du terrain. La surface des sols naturels stériles apparaît quant à elle à une profondeur de 5,49 m à 6,10 m et elle est probablement constituée d'un till d'ablation.	À cet endroit, le rehaussement du terrain en bordure nord du canal de Lachine peut être en partie attribuable soit aux travaux de construction de l'autoroute 15, soit à ceux du canal.	Les recommandations formulées dans l'étude de potentiel sont maintenues en ce qui a trait à la supervision archéologique de tous travaux d'excavation réalisés dans les limites du site archéologique du canal de Lachine.
614G-5G	1003	21,59	-	13,96	12,49	Le profil stratigraphique de ce forage est caractérisé par la présence d'un important remblai qui atteint près de 8,00 m de profondeur sous le niveau actuel du terrain. Ce remblai est principalement composé de sable et de sable limoneux contenant des fragments de brique, de mortier et de béton. À partir d'une profondeur de 5,49 m à 6,10 m, il se compose de pierres fracturées et de poussière de pierre. La surface des sols naturels stériles, constituée d'un till de sable graveleux et limoneux, a été atteinte à une profondeur de 7,32 m à 7,93 m.	Cette sous-opération est localisée dans la partie remblayée de l'ancien canal de Lachine. Toutefois, elle se trouve à proximité de l'ancien mur sud du canal.	Il est recommandé de poursuivre la recherche archéologique sous la forme d'un inventaire ayant pour objectif de statuer sur l'emplacement de l'ancien mur sud du canal de Lachine.
614G-5H	996	21,44	-	18,80	15,95	La partie supérieure du profil stratigraphique de ce forage est constituée de couches superposées d'asphalte et de béton associées au revêtement de la chaussée du chemin de la Côte-Saint-Paul, qui repose sur un remblai de limon sableux et graveleux. La surface des sols naturels apparaît à une profondeur de 2,13 m à 2,74 m sous le niveau actuel du terrain et elle est constituée d'un till d'ablation vraisemblablement remanié en surface.	La couche de sol naturel remanié à la surface du till d'ablation permet de croire que des vestiges anthropiques associés à une occupation ancienne de ce secteur pourraient subsister à cet endroit.	Il est recommandé de poursuivre la recherche archéologique à cet endroit en réalisant l'inventaire archéologique proposé dans le plan d'intervention.

La sous-opération 614G-5D, réalisée du côté nord du canal de Lachine (plan 5), à proximité d'un pilier de l'autoroute 15, n'a toutefois pu être complétée (photo 10). À 5,50 m de profondeur sous le niveau actuel du terrain, la foreuse a en effet buté sur ce qui apparaît comme la semelle du pilier de béton. Ce forage a donc été annulé et remplacé par un nouveau (614G-5H), réalisé plus au nord dans l'emprise du chemin de la Côte-Saint-Paul. C'est dans cette dernière sous-opération que l'épaisseur des remblais est la moins importante, soit environ 2,00 m. Il faut cependant considérer que la surface de la chaussée du chemin de la Côte-Saint-Paul est à une altitude plus basse que celle du terrain longeant le canal de Lachine, où le premier forage (614G-5D) a été effectué (photo 11). L'épaisseur de remblais la plus importante est quant à elle située dans la sous-opération 614G-5C, localisée du côté sud du canal, sur un monticule entourant l'un des piliers de l'autoroute 15. À cet endroit, le niveau actuel du terrain se trouve à environ 2,50 m au-dessus du terrain environnant (photo 8).

L'épaisseur et le mode de déposition des remblais dans les sept sous-opérations pourraient être associés aux différentes phases d'aménagement du canal de Lachine. Ce dernier, mis en service en 1825, a subi au cours du XIX<sup>e</sup> siècle plusieurs modifications qui ont changé à la fois sa largeur et sa profondeur. Les variations d'épaisseur des remblais pourraient donc être tributaires des modifications apportées à la profondeur du canal. En 1825 par exemple, la profondeur du canal était de 1,40 m, alors qu'en 1884, elle atteignait 4,30 m (Blouin et associés, 1991). Cette profondeur s'est par la suite maintenue jusque dans les années 1960, au moment où le canal de Lachine a rapidement été délaissé au profit de la voie maritime du Saint-Laurent, inaugurée en 1959. À cette époque, le canal a même été utilisé comme lieu d'enfouissement d'une partie des déblais provenant des différents chantiers de construction du métro de Montréal (Archemi *et al.*, 1995 : 29). Ainsi, la section du canal qui s'étendait entre l'écluse de la Côte-Saint-Paul et le quai du club de bateau-dragon « 22Dragons », du côté sud du canal, a été remblayée (figure 1). Ces travaux ont semble-t-il fait passer la largeur du canal, à la hauteur de l'autoroute 15, de 60 m à 30 m environ. Trois coupes représentant les profils stratigraphiques enregistrés dans les sept forages réalisés de part et d'autre du canal de Lachine illustrent les résultats de ces travaux de remblayage du côté sud du canal (figure 2). Il est en effet possible d'observer, sur la figure 2, la profondeur de l'ancien lit du canal avant les travaux de remblayage effectués au cours des années 1960.

#### **2.5.4. Discussion et recommandation**

Dans l'étude de potentiel, il a été recommandé de réaliser une surveillance archéologique lors des travaux d'excavation planifiés dans les limites du terrain de Parcs Canada. À partir des résultats de la surveillance archéologique des forages, il est dorénavant suggéré de procéder à un inventaire archéologique préalablement aux travaux de construction de l'échangeur. En effet, la présence de l'ancien lit du canal sous plusieurs mètres de remblais, entre le mur actuel du canal et le lieu de l'ancien mur sud, laisse présumer que ce dernier est toujours présent à son emplacement d'origine. Il est cependant possible qu'une partie du parement en pierre taillée ait été réutilisée pour la construction du nouveau mur. Cet inventaire vise de plus à documenter les autres activités s'étant déroulées aux abords du canal et présentant un intérêt patrimonial. Il est aussi recommandé, comme ce fut le cas dans l'étude de potentiel, d'associer les archéologues de l'Agence Parcs Canada à cette démarche.



Photo 10 : Sous-opération 614G-5D à proximité d'un pilier de l'autoroute 15, direction sud-ouest (614G-09-NUM1-5)



Photo 11 : Sous-opération 614G-5H dans l'emprise du chemin de la Côte-Saint-Paul, direction est (614G-09-NUM1-11)

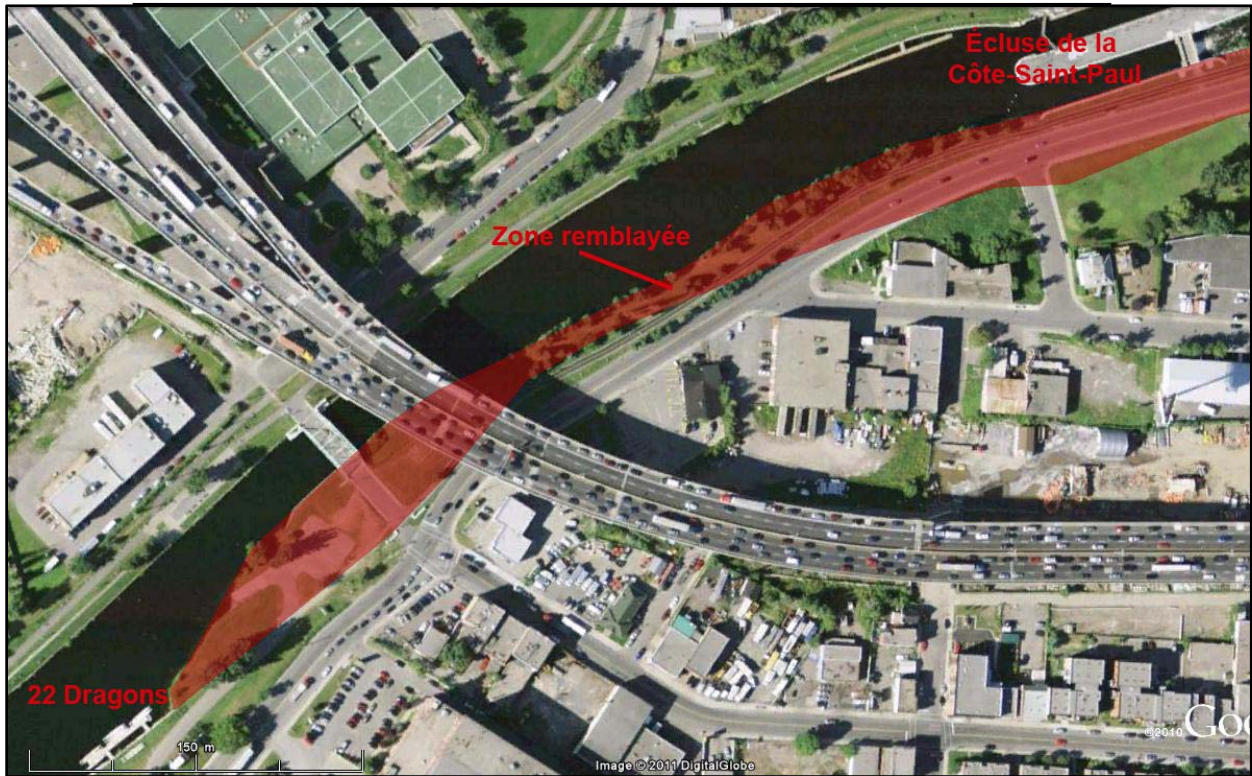


Figure 1 : Zone remblayée du canal de Lachine au cours des années 1960

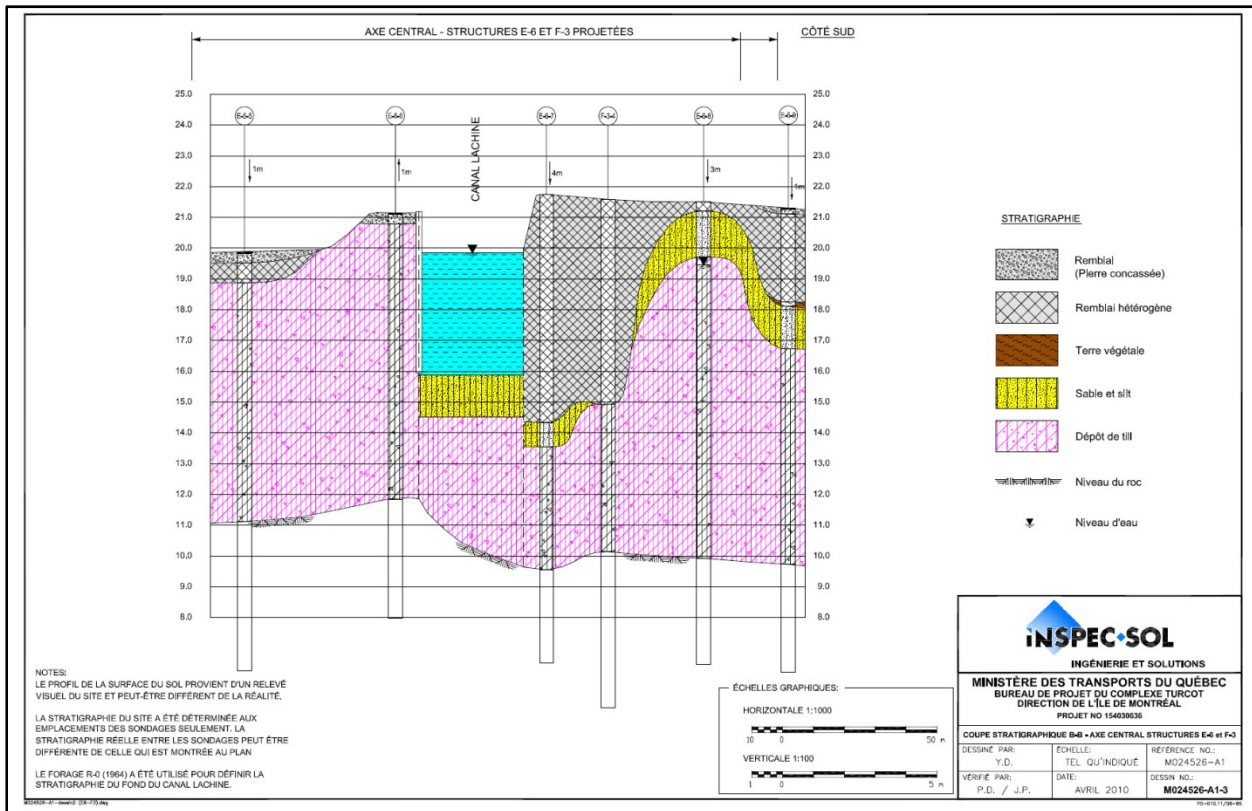


Figure 2 : Coupe stratigraphique B-B (tirée de INSPEC-SOL, p. 43)

## **2.6 Zone à potentiel archéologique historique H6-1**

La zone H6-1, localisée à l'extrémité ouest du secteur à potentiel historique H6 (plan 8), pourrait avoir été occupée bien avant l'implantation du village de Côte-Saint-Paul, ou du moins avant l'aménagement du secteur industriel autour du canal d'aménée dans les années 1850. La partie sud-ouest de la zone correspond en effet à l'extrémité ouest d'une terre qui faisait front à l'ancien chemin de la Côte-Saint-Paul, avant la construction du canal de Lachine. Sur le plan de H. S. Sitwell, vers 1870, on remarque la présence de bâtiments dont la configuration rappelle celle d'un établissement agricole (Ethnoscop, 2008a : plan 22 et figure 12-5). Les deux principaux bâtiments sont toujours présents sur le lot 3599 en 1879 (Ethnoscop, 2008a : figure 16-2), alors que ce lot appartient à un dénommé William Brodie. Ils sont également visibles sur le plan de Goad de 1890 (Ethnoscop, 2008a : figure 17-1). Le bâtiment situé à l'angle sud-ouest de l'avenue de l'Église et de la rue Saint-Patrick disparaît au début du XX<sup>e</sup> siècle, lors de l'aménagement des premières voies ferrées (Ethnoscop, 2008a : figure 19-3). La multiplication des voies ferrées à cet endroit, entre 1907 et 1940, entraîne également la disparition de l'autre bâtiment. La présence du chemin de fer et le fait que ce terrain soit demeuré en bonne partie vacant depuis la construction de l'autoroute 15 suggèrent que des vestiges associés à l'occupation la plus ancienne du secteur soient encore présents à cet endroit (Ethnoscop, 2008a).

Dans la partie nord-est de la zone H6-1, l'ouverture de la rue De Roberval (Maisonnette) à l'ouest de la rue Hadley, vers 1875 (Ethnoscop, 2008a : figures 12-5 et 16-2), a contribué à la densification du bâti à vocation résidentielle (Ethnoscop, 2008a : figure 19-3). Du côté sud de la rue Cabot (Dufferin), ainsi que sur la rue Saint-Patrick, les bâtiments résidentiels ont toutefois été remplacés par des bâtiments commerciaux et industriels à partir du début du XX<sup>e</sup> siècle (Ethnoscop, 2008a : plans 25 et 27). L'édifice illustré à l'angle sud-est de l'intersection des rues Cabot et Hadley vers 1935 est encore présent aujourd'hui, alors que les maisons en rangée du côté sud de la rue De Roberval, encore en place en 1954 (Ethnoscop, 2008a : plan 29), ont sans doute été démolies lors de la construction de l'autoroute 15 (Ethnoscop, 2008a : tableau 4).

### **2.6.1 Sous-opérations MTL09-23-1-4A et 4B**

Ces deux sous-opérations correspondent à l'emplacement de sondages exploratoires réalisés le 26 mai 2009, dans la partie sud-est de la zone à potentiel historique H6-1 (plan 8 et photo 12). Elles ont été exécutées sous l'autoroute 15.

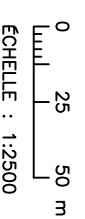
### **2.6.2 Sous-opérations MTL09-23-1-5A à 5C**

Les emplacements de ces trois sous-opérations correspondent à ceux de forages effectués le 2 juin 2009, à la limite sud de la zone à potentiel archéologique H6-1 (plan 8).



COMPLEXE TURCOT  
SURVEILLANCE ARCHÉOLOGIQUE  
MTL09-23-1 ET Bifj-28  
ZONES À POTENTIEL ARCHÉOLOGIQUE  
HISTORIQUE H6-1, H6-2 ET H6-3  
SECTEUR À POTENTIEL ARCHÉOLOGIQUE  
HISTORIQUE H6-OUEST  
PLAN 8

- FORAGE POSITIF
- FORAGE NÉGATIF
- TRANCHÉE POSITIVE
- TRANCHÉE NÉGATIVE
- 4A NUMÉRO DE SOUS-OPÉRATION
- INTERVENTION ARCHÉOLOGIQUE ANTÉRIEURE
- SITE ARCHÉOLOGIQUE RECENÇÉ
- SITE ARCHÉOLOGIQUE CLASSÉ
- Bifj-26 CODE BORDEN
- MTL01-08-7 CODE TEMPORAIRE
- 614G CODE DE PARCS CANADA
- LIMITE DE SECTEUR
- NUMÉRO DE SECTEUR
- TUNNEL SAINT-REMI
- ZONE À POTENTIEL ARCHÉOLOGIQUE
- NUMÉRO DE ZONE



SOURCES :

- Cartes électroniques, ministère des Transports du Québec, fichiers Turcot-TN-Ouest-2D.dwg, L01688G-TN-Turcot.dwg et 31he3631\_carto.dwg
- Informations archéologiques, Ville de Montréal, fichiers comparc.dwg et feuillets nos 31H05-010-3229, 3330, 3331, 3533, 3534, 3633, 3634, 3732, 3734 et 3834
- Informations archéologiques, Parcs Canada, fichiers 613G-4A et 4B.dwg, 1998-170G-01.dwg, 1998-176G-01.dwg, 1995-172G-01.dwg et 98-600G-3.dwg
- Ethnoscop 2008a



Photo 12 : Sous-opération MTL09-23-1-4A dans la zone à potentiel historique H6-1, direction ouest (MTL09-23-1-NUM3-1)

### **2.6.3 Sous-opérations MTL09-23-1-20A à 20T**

Ces 18 sous-opérations sont associées à l'emplacement de forages accomplis entre le 10 et le 17 août 2009, dans la partie nord de la zone à potentiel historique H6-1. La plupart de ces forages ont été effectués dans les aires de circulation autour des bâtiments actuels, tandis que les autres l'ont été sous les voies aériennes de l'autoroute 15 (plan 8).

### **2.6.4 Sous-opérations MTL09-23-1-22A à 22E**

Ces cinq sous-opérations correspondent à l'emplacement de sondages exploratoires effectués les 12 et 13 août 2009 dans le terrain vague à l'arrière des bâtiments actuels (plan 8).

### **2.6.5 Sous-opérations MTL09-23-1-23B à 23E**

Ces quatre sous-opérations sont associées à l'emplacement de forages réalisés du 8 au 10 septembre 2009, dans la partie ouest de la zone à potentiel historique H6-1. Elles ont été effectuées dans le secteur ouest de la zone à potentiel archéologique (plan 8).

## 2.6.6 Résultats

Les profils stratigraphiques observés dans les interventions archéologiques réalisées dans la zone à potentiel archéologique H6-1 se composent de remblais divers, principalement constitués d'un mélange de sable et de limon auquel s'ajoutent des traces d'argile (tableau 6). Les inclusions rencontrées le plus fréquemment sont des fragments de pierre de calcaire partiellement calcinés, de brique, de mortier et de charbon minéral ainsi que des scories et du mâchefer. Des inclusions d'origine récente, telles des morceaux de plastique, de polystyrène et d'asphalte ont également été observées dans quelques sous-opérations. Malgré l'épaisseur variée de ces remblais (de 0,80 m à 3,60 m), ils semblent tous associés à des phases successives de rehaussement du terrain. La nature des interventions archéologiques ne permet toutefois pas de distinguer clairement les différentes phases de remblayage. Cependant, l'épaisseur des remblais observés dans chacune des interventions archéologiques, permet de subdiviser la zone à potentiel archéologique H6-1 en deux parties distinctes, soit les parties ouest et est.

### 2.6.6.1 Partie ouest

C'est dans la partie ouest que l'épaisseur des remblais est la plus importante, ce qu'explique partiellement la proximité du canal de Lachine. En effet, les travaux d'excavation du canal, réalisés jusqu'à une profondeur maximale de 4,30 m, ont sans aucun doute altéré les sols naturels sur une largeur beaucoup plus grande que le canal lui-même. Le profil stratigraphique réalisé par INSPEC-SOL dans la zone H5-1 (figure 2) illustre d'ailleurs clairement l'espace touché par ces travaux lors du dernier élargissement du canal entre 1880 et 1895 (Archemi *et al.*, 1995 : 155).

Une deuxième hypothèse permet d'expliquer l'épaisseur de ces remblais dans la partie ouest (photo 13). Les profils stratigraphiques des sous-opérations 20B, 20C et 20D ont en effet permis d'observer, à une profondeur de plus de 3,00 m, la surface d'une couche de tourbe d'une épaisseur variant de 0,45 m à 1,00 m. De plus, les résultats de la superposition du plan de Sitwell de 1865-1871 sur le fond de plan actuel valident l'emplacement d'une zone marécageuse à cet endroit (plan 9). L'épaisseur des remblais observée dans ces trois forages est sans aucun doute associée aux travaux de remblayage du marécage.

Par ailleurs, deux sols lités distincts ont été observés dans les sous-opérations 20H et 23B (plan 8). Dans la sous-opération 20H, il s'agit d'un sable gris à brun roux d'approximativement 0,10 m d'épaisseur, dont la surface se trouve à environ 3,20 m de profondeur sous le niveau actuel du terrain. Dans la sous-opération 23B, il s'agit d'un limon sableux brun-beige, observé à environ 1,80 m de profondeur, sur une épaisseur d'environ 1,00 m. Dans les deux cas, ces sols lités reposent sur un till. La différence d'épaisseur et de profondeur atteinte par le sable de la sous-opération 20H pourrait s'expliquer par des perturbations causées par des travaux d'excavation réalisés en surface de cette couche. Ces deux sols distincts semblent faire partie d'un même dépôt fluviatile présent dans un petit cours d'eau tributaire de la rivière Saint-Pierre et situé dans la partie nord-ouest de la zone à potentiel archéologique H6-1 (figure 3). Il serait toutefois hasardeux de confirmer cette hypothèse sur la seule base des observations recueillies dans ces deux forages.

**Tableau 6 : Synthèse des résultats de la surveillance archéologique dans la zone à potentiel archéologique historique H6-1**

Numéro d'identification archéologique	Numéro séquentiel	Niveau actuel du terrain (mètre NMM)	Niveau d'intérêt archéologique (mètre NMM)	Surface des sols naturels stériles (mètre NMM)	Niveau atteint (mètre NMM)	Description	Discussion	Recommandations
MTL09-23-1-4A	895	21,14	-	19,84	17,14	La partie supérieure du sondage se compose de remblais successifs de limon et de sable d'une épaisseur totale de 1,30 m contenant des fragments de plastique, de tuyaux en PVC, de métal, de bois, de brique, de scories, de verre à bouteilles et de bardeaux d'asphalte. Ces remblais reposent directement sur un sol naturel stérile, constitué d'un sable limoneux et graveleux brun grisâtre à brun jaunâtre.	Le caractère récent des débris contenus dans les remblais suggère que ces derniers ont probablement été déposés au moment de la construction de l'autoroute 15 après le décapage de la partie supérieure des sols naturels.	Aucune recommandation n'est formulée quant à la poursuite de la recherche archéologique à cet endroit
MTL09-23-1-4B	896	20,69	-	19,84	16,99	Un revêtement d'asphalte reposant sur un lit de pierre concassée couvre l'emplacement de ce sondage. Sous ce niveau de surface, on trouve un remblai contenant une grande quantité de débris de démolition (mortier, briques, bois [contreplaqué], métal, béton) ainsi que des ossements. Ce remblai repose sur un sol naturel stérile composé d'une argile limoneuse brun grisâtre qui apparaît à 0,85 m sous le niveau actuel du terrain.	Les débris contenus dans le remblai proviennent probablement de la démolition des bâtiments qui occupaient ce terrain avant la construction de l'autoroute 15.	Aucune recommandation n'est formulée quant à la poursuite de la recherche archéologique à cet endroit.
MTL09-23-1-5A	899	20,27	-	17,87	16,16	La partie supérieure de ce forage est constituée de remblais successifs variant de sableux à argileux et contenant du gravier et du bois. Une couche d'approximativement 0,40 m d'épaisseur, composée d'un mélange de mortier et de cailloux, apparaît à environ 2,00 m de profondeur sous le niveau actuel du terrain. Sous cette dernière couche, on trouve un sol naturel non remanié, constitué d'un till.	L'ancienne surface des sols naturels a été dérasée pour faire place à une série de remblais successifs probablement mis en place au moment de la construction de l'autoroute 15.	Aucune recommandation n'est formulée quant à la poursuite de la recherche archéologique à cet endroit.
MTL09-23-1-5B	897	20,70	-	19,90	16,59	La partie supérieure de ce forage est constituée, sur une épaisseur d'environ 0,80 m, d'un mélange de sable et de limon caillouteux qui contient de nombreux fragments de bois. Ce remblai repose sur un sol naturel, constitué d'une couche sablo-limoneuse brunâtre contenant du gravier et des cailloux, qui semble correspondre à un till d'ablation. Un till dense et très compact, de couleur gris foncé, a aussi été atteint à environ 2,40 m de profondeur sous le niveau actuel du terrain.	Le remblai qui forme la partie supérieure de ce forage a probablement été mis en place au moment de la construction de l'autoroute 15, et l'ancienne surface des sols naturels semble avoir été dérasée.	Aucune recommandation n'est formulée quant à la poursuite de la recherche archéologique à cet endroit.
MTL09-23-1-5C	898	21,02	-	19,82	16,75	La partie supérieure de ce forage est constituée d'un mélange de limon et de sable contenant du gravier, du bois et des fragments de verre. Ce remblai repose sur un sol naturel stérile qui correspond à un till d'ablation et dont la surface se trouve à environ 1,20 m de profondeur sous le niveau actuel du terrain.	Le remblai qui forme la partie supérieure de ce forage a probablement été mis en place au moment de la construction de l'autoroute 15, et l'ancienne surface des sols naturels semble avoir été dérasée.	Aucune recommandation n'est formulée quant à la poursuite de la recherche archéologique à cet endroit.
MTL09-23-1-20A	695	21,48	17,88	17,28	16,08	Le profil stratigraphique de ce forage se compose d'une couche d'asphalte en surface, reposant sur un lit de pierre concassée, sous lequel se trouve un remblai composé d'une couche de limon sableux et graveleux contenant des fragments de pierre de calcaire calcinés et de charbon minéral ainsi que du mâchefer. Ce remblai repose sur une couche de pierre concassée déposée sur la surface des sols naturels, qui se trouve à environ 3,60 m de profondeur sous le niveau actuel du terrain. Cette dernière se compose d'un limon brun contenant de la matière organique et quelques graviers arrondis et semble avoir été remaniée. Sous cette surface, on trouve un limon beigeâtre qui contient une plus grande proportion de graviers arrondis et qui apparaît comme étant stérile.	La couche de sol présentant des traces de matière organique en surface des sols naturels stériles laisse entrevoir la possibilité de mettre au jour des vestiges d'une occupation historique remontant à la deuxième moitié du XIX <sup>e</sup> siècle, et même d'une occupation préhistorique associée à la présence de la zone à potentiel préhistorique P3.	Il est recommandé d'effectuer un inventaire archéologique au moyen de tranchées excavées mécaniquement, comme proposé dans le plan d'intervention. L'emplacement de ces tranchées sera établi en fonction des autres sous-opérations de la zone H6-1 qui ont donné des résultats semblables.
MTL09-23-1-20B	696	21,75	-	18,75	16,95	La partie supérieure de ce forage comprend un revêtement d'asphalte en surface, déposé sur un lit de pierre concassée suivi d'un remblai composé de sable limoneux contenant des fragments de mortier, de brique et de charbon minéral. Ce remblai repose sur un autre remblai constitué de dépôts glaciaires (till brun jaunâtre). La surface des sols naturels stériles a par la suite été atteinte à une profondeur de 3,00 m à 3,60 m sous le niveau actuel du terrain. Elle est constituée d'une couche de tourbe reposant sur un till.	La présence de tourbe en profondeur dans ce forage confirme les informations illustrées sur le plan de H. S. Sitwell de 1870 indiquant qu'une zone marécageuse se trouvait à cet endroit (plan 9).	Aucune recommandation n'est toutefois formulée quant à la poursuite de la recherche archéologique à l'emplacement de cet ancien marécage.
MTL09-23-1-20C	697	21,96	-	18,36	15,96	La partie supérieure de ce forage comprend un revêtement d'asphalte en surface, déposé sur un lit de pierre concassée suivi d'un remblai. Ce remblai est composé de sable limoneux contenant des fragments de brique, de mortier et de pierre de calcaire calcinée ainsi que des scories et de la chaux. Il repose sur un autre remblai constitué d'un limon sableux et graveleux brun orangé et dans la partie inférieure duquel des fragments de brique et de bois ont été observés. La surface des sols naturels stériles a pour sa part été atteinte sous ce dernier remblai, à une profondeur variant de 3,60 m à 4,20 m sous le niveau actuel du terrain.	Aucune couche d'intérêt archéologique n'a été observée dans ce forage compte tenu que le sol naturel stérile est recouvert de remblais de rehaussement récents.	Aucune recommandation n'est formulée quant à la poursuite de la recherche archéologique à cet endroit.

Numéro d'identification archéologique	Numéro séquentiel	Niveau actuel du terrain (mètre NMM)	Niveau d'intérêt archéologique (mètre NMM)	Surface des sols naturels stériles (mètre NMM)	Niveau atteint (mètre NMM)	Description	Discussion	Recommandations
MTL09-23-1-20D	900	21,77	-	18,17	16,37	Les niveaux supérieurs de ce forage se rapportent à l'aménagement du terrain de stationnement et reposent sur un remblai composé d'un limon sableux et graveleux contenant des fragments de pierre de calcaire calcinée et de brique. On trouve par la suite un deuxième remblai constitué d'un limon argileux gris contenant des fragments de bois et de la matière organique. La surface des sols naturels stériles, composée de tourbe, a été atteinte sous ce deuxième remblai, à une profondeur variant de 3,60 m à 4,20 m sous le niveau actuel du terrain.	Les couches supérieures correspondent à des remblais de rehaussements récents recouvrant des sédiments associés à une zone marécageuse illustrée sur le plan de H.S. Sitwell de 1870 (plan 9).	Aucune recommandation n'est formulée quant à la poursuite de la recherche archéologique à cet endroit.
MTL09-23-1-20E	901	21,84	18,84	18,24	16,44	Les niveaux supérieurs de ce forage correspondent à l'aménagement du terrain de stationnement et reposent en surface d'une succession de remblais constitués de limon sableux et argileux contenant des fragments de charbon minéral et de pierre de calcaire calcinée. Ce qui apparaît comme étant la surface des sols naturels stériles est par la suite atteint à une profondeur variant de 3,00 m à 3,60 m sous le niveau actuel du terrain. Cette surface se compose d'un limon argileux brun grisâtre contenant de rares petits graviers subarrondis, qui repose lui-même sur un limon légèrement sableux brun jaunâtre contenant des petits graviers subarrondis, déposé sur un till.	La couche de sol qui apparaît comme étant la surface des sols naturels stériles laisse entrevoir la possibilité de mettre au jour des vestiges d'une occupation historique remontant à la deuxième moitié du XIX <sup>e</sup> siècle, et même d'une occupation préhistorique associée à la présence de la zone à potentiel préhistorique P3.	Il est recommandé d'effectuer un inventaire archéologique au moyen de tranchées excavées mécaniquement, comme proposé dans le plan d'intervention. L'emplacement de ces tranchées sera établi en fonction des autres sous-opérations de la zone H6-1 qui ont donné des résultats semblables.
MTL09-23-1-20F	902	21,55	-	19,15	16,15	Sous le revêtement d'asphalte et le lit de pierre concassée associés à l'aménagement du terrain de stationnement, on trouve un remblai composé d'un limon argileux et sableux contenant des graviers. Ce remblai contaminé aux hydrocarbures repose sur un till qui constitue la surface des sols naturels stériles, atteinte à une profondeur variant de 2,40 m à 3,00 m sous le niveau actuel du terrain.	Le remblai qui forme la partie supérieure de ce forage correspond probablement à des épisodes récents de rehaussement. Il a été déposé sur le sol naturel dérasé.	Aucune recommandation n'est formulée quant à la poursuite de la recherche archéologique à cet endroit.
MTL09-23-1-20G	903	21,34	-	19,54	18,72	La partie supérieure de ce forage se compose d'une couche de pierre concassée en surface contenant des fragments de brique et reposant sur une argile sableuse et graveleuse qui contient elle aussi de petits fragments de brique. Cette argile repose à son tour sur un till qui constitue la surface des sols naturels stériles, laquelle est atteinte à une profondeur variant de 1,80 m à 2,10 m sous le niveau actuel du terrain.	Les remblais observés dans la portion supérieure de ce forage ont été déposés récemment. Le sol naturel a quant à lui été dérasé au niveau des dépôts glaciaires. Aucune couche ne présente d'intérêt pour la recherche archéologique.	Aucune recommandation n'est formulée quant à la poursuite de la recherche archéologique à cet endroit.
MTL09-23-1-20H	905	21,31	18,31	17,71	16,51	La partie supérieure de ce forage se compose d'une couche de pierre concassée en surface reposant sur un remblai constitué d'un limon sableux contenant des scories, du mâchefer et des fragments de pierre de calcaire calcinés. Ce limon repose à son tour sur une succession de remblais composés d'un mélange de gravier et de limon sableux et graveleux. La surface des sols naturels stériles, constituée de minces couches de sable moyen litées dont la couleur alterne du gris au brun roux sur une épaisseur d'environ 0,10 m, a par ailleurs été atteinte à une profondeur variant de 3,00 m à 3,60 m sous le niveau actuel du terrain. Ces couches de sable litées reposent sur un limon orangé contenant quelques graviers déposés en surface d'un till atteint à une profondeur entre 3,60 m et 4,20 m sous le niveau actuel du terrain.	La couche de sédiments lités pourrait correspondre à un ancien lit de rivière possiblement associé à un tributaire de la rivière Saint-Pierre, qui selon les plans passait un peu plus au nord. La découverte d'une section de rivière dans ce secteur serait d'un apport considérable en lien avec les occupations préhistoriques et historiques de cet espace.	Il est recommandé d'effectuer une tranchée exploratoire de 2 m X 5 m à l'emplacement de la sous-opération 20H afin de mieux confirmer la nature des dépôts observés lors du forage. Cette tranchée pourrait être agrandie afin de mieux atteindre les objectifs fixés.
MTL09-23-1-20J	906	20,03	18,83	18,23	17,63	La partie supérieure de ce forage est constituée d'un sable limoneux contenant des scories, du mâchefer et quelques fragments de brique. Ce remblai de rehaussement repose sur une couche de mortier sec contenant des fragments de crépi, de charbon minéral et de brique d'une épaisseur d'environ 0,30 m. La surface des sols naturels stériles apparaît à une profondeur de 1,20 m à 1,80 m sous le niveau actuel du terrain. Elle est constituée d'une argile limoneuse et sableuse brun foncé et organique contenant quelques graviers subanguleux qui repose sur un till d'ablation.	La présence d'argile organique en surface des sols naturels stériles laisse entrevoir la possibilité de mettre au jour des vestiges d'une occupation préhistorique associée à la présence de la zone à potentiel préhistorique P3.	Il est recommandé d'effectuer un inventaire archéologique au moyen de tranchées excavées mécaniquement, comme proposé dans le plan d'intervention. L'emplacement de ces tranchées sera établi en fonction des autres sous-opérations de la zone H6-1 qui ont donné des résultats semblables.
MTL09-23-1-20K	705	21,54	20,54	20,34	19,14	Dans la partie supérieure de ce forage, le premier mètre est constitué de remblais successifs de pierre concassée et de sable limoneux et graveleux. Ce qui apparaît comme la surface des sols naturels stériles a été observé immédiatement sous ces remblais à une profondeur variant de 1,00 m à 1,20 m sous le niveau actuel du terrain. Cette surface est composée d'un limon légèrement sableux gris noirâtre contenant des petits graviers subanguleux et subarrondis ainsi que de la matière organique. On note aussi une transition graduelle vers la couche sous-jacente, qui est constituée d'un till d'ablation.	La présence de matière organique en surface des sols naturels laisse entrevoir la possibilité de mettre au jour des vestiges d'une occupation préhistorique associée à la présence de la zone à potentiel préhistorique P3.	Il est recommandé d'effectuer un inventaire archéologique au moyen de tranchées excavées mécaniquement, comme proposé dans le plan d'intervention. L'emplacement de ces tranchées sera établi en fonction des autres sous-opérations de la zone H6-1 qui ont donné des résultats semblables.
MTL09-23-1-20L	700	21,13	19,51	18,09	17,04	La partie supérieure de ce forage effectué à l'intérieur d'un bâtiment comprend une dalle de béton en surface, aménagée sur un lit de scories broyées reposant sur un sable limoneux et graveleux contenant quelques graviers anguleux. Sous ce remblai, à une profondeur variant de 1,52 m à 2,90 m sous le niveau actuel de la dalle de béton, on trouve un limon organique noirâtre contenant des fragments de bois qui apparaît comme la surface remaniée des sols naturels. Ce limon repose sur un sol naturel stérile constitué d'un limon sableux gris verdâtre contenant quelques graviers.	La présence du limon organique noirâtre en surface des sols naturels laisse entrevoir la possibilité de mettre au jour des vestiges d'une occupation historique remontant à la deuxième moitié du XIX <sup>e</sup> siècle, et même d'une occupation préhistorique associée à la présence de la zone à potentiel préhistorique P3.	Il est recommandé d'effectuer un inventaire archéologique au moyen de tranchées excavées mécaniquement, comme proposé dans le plan d'intervention. L'emplacement de ces tranchées sera établi en fonction des autres sous-opérations de la zone H6-1 qui ont donné des résultats semblables.

Numéro d'identification archéologique	Numéro séquentiel	Niveau actuel du terrain (mètre NMM)	Niveau d'intérêt archéologique (mètre NMM)	Surface des sols naturels stériles (mètre NMM)	Niveau atteint (mètre NMM)	Description	Discussion	Recommandations
MTL09-23-1-20M	701	21,15	-	19,33	18,25	Ce forage effectué à l'intérieur d'un bâtiment a permis d'observer sous une dalle de béton aménagée en surface un lit de pierre concassée reposant sur un sable limoneux et graveleux contenant des traces de mortier. Ce sable repose sur ce qui apparaît comme la surface dérasée des sols naturels, constituée d'un till d'ablation atteint à une profondeur d'environ 1,82 m sous le niveau actuel de la dalle de béton.	Les couches supérieures correspondent à des remblais associés à l'aménagement du plancher du bâtiment présent à cet endroit actuellement. Son implantation a éradiqué toutes les couches ayant pu présenter un intérêt archéologique.	Aucune recommandation n'est formulée quant à la poursuite de la recherche archéologique à cet endroit.
MTL09-23-1-20N	698	22,19	-	-	19,60	Ce forage effectué à l'intérieur d'un bâtiment a permis d'observer sous une dalle de béton aménagée en surface un lit de pierre concassée mélangée à un limon sableux, le tout reposant sur un remblai de sable limoneux contenant des fragments d'antracite et des scories. Quelques fragments de céramique en terre cuite fine blanche ont également été observés dans ce remblai. La présence probable d'un bloc de pierre à environ 2,59 m de profondeur sous le niveau actuel du terrain a contraint à l'abandon de ce forage.	Les couches supérieures correspondent à des remblais associés à l'aménagement du plancher du bâtiment présent à cet endroit actuellement. Son implantation a éradiqué toutes les couches ayant pu présenter un intérêt archéologique.	Aucune recommandation n'est formulée quant à la poursuite de la recherche archéologique à cet endroit.
MTL09-23-1-20P	699	22,08	-	20,88	19,03	Ce forage effectué à l'intérieur d'un bâtiment a permis d'observer sous une dalle de béton aménagée en surface un lit de pose constitué d'un sable limoneux et graveleux reposant sur un remblai de sable limoneux noirâtre contenant des fragments d'antracite, de brique et de bois ainsi que des scories, associé à la construction de l'actuel bâtiment. Ce remblai repose sur ce qui apparaît comme la surface dérasée des sols naturels, constituée d'un till d'ablation atteint à une profondeur variant de 1,20 m à 1,80 m sous le niveau actuel de la dalle de béton.	Le sol naturel a été dérasé à cet endroit lors de l'implantation du plancher de béton du bâtiment présent à cet endroit. Aucune couche ne présente d'intérêt pour l'archéologie à cet endroit.	Aucune recommandation n'est formulée quant à la poursuite de la recherche archéologique à cet endroit.
MTL09-23-1-20Q	702	21,16	-	-	19,33	Ce forage réalisé à l'intérieur d'un bâtiment, sous une dalle de béton et son lit de pose de pierre concassée, a dû être interrompu à une profondeur d'environ 1,63 m sous le niveau actuel de la dalle. Un obstacle a contraint à l'abandon du forage.	La mise en place de remblais associés à l'implantation de la dalle de béton à cet endroit a éradiqué les couches ayant pu présenter un intérêt archéologique.	Aucune recommandation n'est formulée quant à la poursuite de la recherche archéologique à cet endroit.
MTL09-23-1-20R	703	20,19	-	18,99	17,19	Les niveaux supérieurs rencontrés dans ce forage sont associés à l'aménagement d'un terrain de stationnement. Ils sont constitués d'un revêtement d'asphalte et d'un lit de pierre concassée contenant du sable et des fragments de verre, le tout reposant sur une mince couche de scories et de fragments de charbon minéral. Un till remanié a par la suite été observé à une profondeur de 0,60 m à 1,20 m sous le niveau actuel du terrain. Ce dernier reposait directement sur un till d'ablation.	La présence de remblais récents directement déposés sur le sol naturel stérile permet de confirmer l'absence de potentiel archéologique à cet endroit.	Aucune recommandation n'est formulée quant à la poursuite de la recherche archéologique à cet endroit.
MTL09-23-1-20S	704	20,13	-	18,33	17,13	Les niveaux supérieurs rencontrés dans ce forage sont associés à l'aménagement d'un terrain de stationnement. Ils sont constitués d'un revêtement d'asphalte déposé sur un sable limoneux grisâtre qui repose sur un remblai de limon sableux jaunâtre contenant des lentilles de mortier et du gravier. La surface des sols naturels stériles, constituée d'un till d'ablation, a été observée directement sous ce remblai à une profondeur variant de 1,80 m à 2,40 m sous le niveau actuel du terrain.	Les sols naturels stériles sont atteints directement sous les remblais récents. Aucune couche présentant un intérêt archéologique n'a été documentée dans ce forage.	Aucune recommandation n'est formulée quant à la poursuite de la recherche archéologique à cet endroit.
MTL09-23-1-20T	912	20,77	19,57	18,97	17,77	La partie supérieure de ce forage est constituée d'un remblai de sable limoneux contenant des fragments de béton et de mortier. Ce remblai repose sur une argile sableuse brune et organique contenant des fragments de bois et quelques rares graviers. Cette argile pourrait correspondre à la surface remaniée des sols naturels, qui pourrait contenir les traces des premières occupations humaines. Elle a été observée à une profondeur variant de 0,60 m à 1,20 m sous le niveau actuel du terrain. Cette argile devient par la suite plus hétérogène à une profondeur de 1,20 m à 1,80 m. La surface des sols naturels stériles est atteinte à environ 1,80 m de profondeur.	La présence d'une argile sableuse organique en surface des sols naturels laisse entrevoir la possibilité de mettre au jour des vestiges d'une occupation historique remontant à la deuxième moitié du XIX <sup>e</sup> siècle, et même d'une occupation préhistorique associée à la présence de la zone à potentiel préhistorique P3.	Il est recommandé d'effectuer un inventaire archéologique au moyen de tranchées excavées mécaniquement, comme proposé dans le plan d'intervention. L'emplacement de ces tranchées sera établi en fonction des autres sous-opérations de la zone H6-1 qui ont donné des résultats semblables.

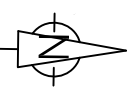
Numéro d'identification archéologique	Numéro séquentiel	Niveau actuel du terrain (mètre NMM)	Niveau d'intérêt archéologique (mètre NMM)	Surface des sols naturels stériles (mètre NMM)	Niveau atteint (mètre NMM)	Description	Discussion	Recommandations
MTL09-23-1-22A	907	21,50	-	19,80	18,75	La partie supérieure du profil stratigraphique de cette tranchée est composée de remblais successifs mis en place récemment. Ils sont principalement constitués de limon sableux contenant des fragments de pierre de calcaire, de brique, de bois, de céramique en terre cuite grossière et de polystyrène. Quelques lentilles de pierre concassée ont aussi été observées dans la partie inférieure de ces remblais, qui repose à la surface des sols naturels stériles. Cette surface a été atteinte à 1,70 m de profondeur sous le niveau actuel du terrain et se compose d'une argile limoneuse.	Les inclusions observées dans les remblais témoignent d'une période de déposition lors du XX <sup>e</sup> siècle. Les sols naturels ayant été décapés à cet endroit, aucune couche se rapportant à une occupation ancienne n'a été observée lors de ce forage.	Aucune recommandation n'est formulée quant à la poursuite de la recherche archéologique à cet endroit.
MTL09-23-1-22B	908	21,00	20,15	19,90	17,70	La partie supérieure du profil stratigraphique de cette tranchée est composée de remblais successifs mis en place récemment. Ils sont principalement constitués de sable limoneux et de limon argileux contenant des fragments de pierre de calcaire, de tuyaux de grès, de charbon de bois et de brique. Ces remblais reposent sur ce qui apparaît comme la surface des sols naturels stériles, à une profondeur d'environ 0,85 m sous le niveau actuel du terrain. Cette surface est constituée d'un limon légèrement sableux brun foncé à noir sans inclusions d'une épaisseur approximative de 0,25 m, reposant sur un till.	La présence d'un limon sans inclusions en surface des sols naturels laisse entrevoir la possibilité de mettre au jour des vestiges d'une occupation historique remontant à la deuxième moitié du XIX <sup>e</sup> siècle, et même d'une occupation préhistorique associée à la présence de la zone à potentiel préhistorique P3.	Il est recommandé d'effectuer un inventaire archéologique au moyen de tranchées excavées mécaniquement, comme proposé dans le plan d'intervention. L'emplacement de ces tranchées sera établi en fonction des autres sous-opérations de la zone H6-1 qui ont donné des résultats semblables.
MTL09-23-1-22C	909	20,20	19,20	18,70	17,90	La partie supérieure du profil stratigraphique de cette tranchée est composée de remblais successifs de pierre concassée, de sable limoneux et de limon argileux contenant des fragments de charbon, de la cendre et des cailloux. Sous ces remblais, on trouve une couche de limon argileux brun foncé à noir, d'une épaisseur d'environ 0,50 m, contenant des fragments de bois et quelques cailloux arrondis. Ce limon qui apparaît comme la surface remaniée des sols naturels repose sur un sol naturel stérile à environ 1,50 m de profondeur sous le niveau actuel du terrain.	La présence d'un limon remanié, associé à un horizon humique en surface des sols naturels, laisse entrevoir la possibilité de mettre au jour des vestiges d'une occupation historique remontant à la deuxième moitié du XIX <sup>e</sup> siècle, et même d'une occupation préhistorique associée à la présence de la zone à potentiel préhistorique P3.	Il est recommandé d'effectuer un inventaire archéologique au moyen de tranchées excavées mécaniquement, comme proposé dans le plan d'intervention. L'emplacement de ces tranchées sera établi en fonction des autres sous-opérations de la zone H6-1 qui ont donné des résultats semblables.
MTL09-23-1-22D	910	20,55	19,30	18,35	17,95	La partie supérieure du profil stratigraphique de cette tranchée est composée de remblais successifs d'une épaisseur totale d'environ 1,25 m. Ces remblais sont principalement constitués de sable et d'argile limoneuse, contenant des fragments de verre, de brique, de métal et de charbon minéral ainsi que des scories. La partie inférieure de ces remblais comporte beaucoup de mortier et de brique. Ceux-ci reposent à la surface d'une couche d'argile limoneuse brun foncé à noir d'une épaisseur d'environ 0,95 m. Cette couche contient des fragments de pierre de calcaire et repose sur un till.	Bien que le profil stratigraphique de cette tranchée s'apparente à celui des sous-opérations environnantes, il apparaît peu probable, à cause de l'épaisseur de la couche de limon noir, que celle-ci puisse être associée à l'horizon organique de surface des sols naturels.	Les résultats de l'inventaire archéologique recommandé dans les sous-opérations de la zone à potentiel H6-1 vont permettre de statuer sur la nécessité de poursuivre la recherche archéologique à l'emplacement de la sous-opération 22D.
MTL09-23-1-22E	911	20,45	-	19,55	17,85	La partie supérieure du profil stratigraphique de cette tranchée est composée de remblais successifs qui atteignent une épaisseur totale de 0,90 m. Ces remblais sont constitués d'une couche de pierre concassée en surface recouvrant une matrice sablo-argileuse contenant plusieurs cailloux de grès et de granit dont le diamètre varie de 0,05 m à 0,10 m. Sous ce dernier niveau, on trouve un remblai composé de sable et de limon contenant des fragments de verre, de plastique, de brique, de bois et de charbon minéral. La surface dérasée d'un till d'ablation est atteinte à une profondeur d'environ 0,90 m sous le niveau actuel du terrain.	Le sol naturel stérile a été décapé à cet endroit. Les remblais déposés à sa surface se rapportent à des événements récents datant vraisemblablement du XX <sup>e</sup> siècle. Aucune couche ne présente d'intérêt pour l'archéologie.	Aucune recommandation n'est formulée quant à la poursuite de la recherche archéologique à cet endroit.
MTL09-23-1-23B	994	21,51	19,68	18,46	16,33	La partie supérieure du profil stratigraphique de ce forage est composée de plusieurs remblais successifs de sable, de limon et d'argile contenant des fragments d'asphalte, de charbon minéral, de verre et de céramique en terre cuite fine blanche. Ces remblais reposent sur un limon sableux brun beigeâtre lité contenant des graviers subarrondis et anguleux. La surface de ce limon a été atteinte à une profondeur variant de 1,83 m à 3,05 m sous le niveau actuel du terrain et pourrait se rapporter à une accumulation de sédiments fluviaux. Le tout repose sur un till.	La couche de limon litée pourrait correspondre à l'ancien lit d'un ruisseau ou d'un bras de méandre de la rivière Saint-Pierre, qui selon les plans anciens passait un peu plus au nord.	Étant donné la présence appréhendée d'un cours d'eau dont le talweg sera peut-être confirmé par la tranchée en 20H et l'emplacement confirmé d'une zone marécageuse plus à l'ouest, aucune recommandation n'est formulée quant à la poursuite de la recherche archéologique à cet endroit.

Numéro d'identification archéologique	Numéro séquentiel	Niveau actuel du terrain (mètre NMM)	Niveau d'intérêt archéologique (mètre NMM)	Surface des sols naturels stériles (mètre NMM)	Niveau atteint (mètre NMM)	Description	Discussion	Recommandations
MTL09-23-1-23C	1005	21,60	-	18,55	14,00	La partie supérieure du profil stratigraphique de ce forage est composée d'un revêtement d'asphalte déposé sur un lit de pierre concassée en surface. Ce lit repose sur des remblais successifs constitués de limon sableux contenant des fragments de pierre de calcaire partiellement calcinés, du bois et des scories. La surface des sols naturels stériles, composée d'un limon sableux contenant quelques cailloux, a été atteinte à une profondeur variant de 3,05 m à 3,66 m sous le niveau actuel du terrain.	L'ensemble des remblais rencontrés dans la portion supérieure du forage se rapporte à des événements datant vraisemblablement de la fin du XIX <sup>e</sup> siècle et du XX <sup>e</sup> siècle. Aucune couche ne présente d'intérêt pour l'archéologie.	Aucune recommandation n'est formulée quant à la poursuite de la recherche archéologique à cet endroit.
MTL09-23-1-23D	999	21,31	18,87	17,65	15,37	La partie supérieure du profil stratigraphique de ce forage est composée d'un revêtement d'asphalte déposé sur un lit de pierre concassée en surface. Ce lit repose sur un remblai de sable limoneux contenant des fragments de brique, de pierre de calcaire calcinée et de charbon minéral ainsi que des scories. Ce remblai semble avoir été déposé sur un remblai composé de sédiments glaciaires (till). Ce qui apparaît comme la surface des sols naturels, constituée d'un limon brun organique contenant des fragments de bois en décomposition et des cailloux, a été observé à une profondeur variant de 2,44 m à 3,66 m sous le niveau actuel du terrain. La présence de bois suggère toutefois que ce limon a été remanié. Le tout repose sur un till.	La présence d'un limon remanié, associé à un horizon humique en surface des sols naturels, laisse entrevoir la possibilité de mettre au jour des vestiges d'une occupation historique remontant à la deuxième moitié du XIX <sup>e</sup> siècle, et même d'une occupation préhistorique associée à la présence de la zone à potentiel préhistorique P3.	Il est recommandé d'effectuer un inventaire archéologique au moyen de tranchées excavées mécaniquement, comme proposé dans le plan d'intervention. L'emplacement de ces tranchées sera établi en fonction des autres sous-opérations de la zone H6-1 qui ont donné des résultats semblables.
MTL09-23-1-23E	998	21,51	-	20,29	17,15	La partie supérieure du profil stratigraphique de ce forage est constituée d'une couche de pierre concassée reposant sur un remblai de sable limoneux et graveleux contenant des fragments de mortier. La surface des sols naturels stériles, composée d'un till possiblement remanié, a été atteinte à une profondeur variant de 1,22 m à 1,83 m sous le niveau actuel du terrain.	Les différentes couches de remblai rencontrées dans ce forage ne présentent pas d'intérêt pour l'archéologie. Cet espace a été dérasé jusqu'au niveau des dépôts glaciaires.	Aucune recommandation n'est formulée quant à la poursuite de la recherche archéologique à cet endroit.

COMPLEXE TURCOT  
SURVEILLANCE ARCHÉOLOGIQUE  
MTL09-23-1  
PROFILS STRATIGRAPHIQUES ILLUSTRANT  
LA SURFACE DE L'HORIZON ORGANIQUE  
DU SOL NATUREL  
ZONE À POTENTIEL ARCHÉOLOGIQUE  
HISTORIQUE H6-1  
PLAN 9

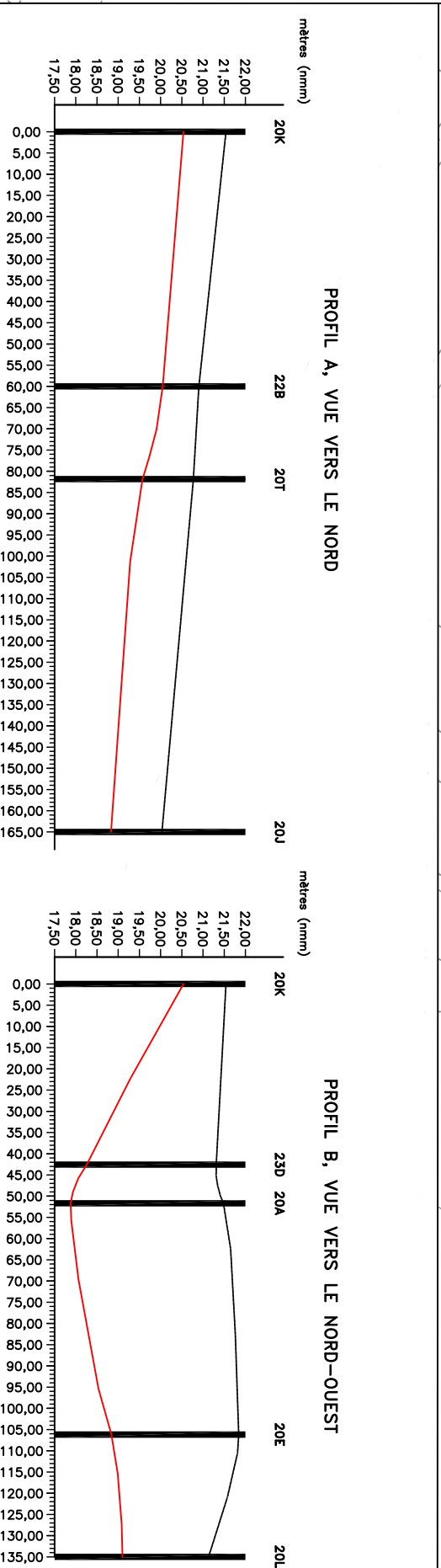
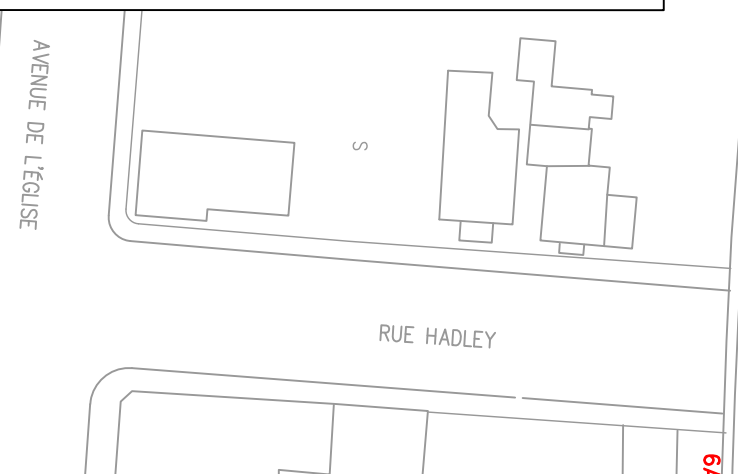
- LIMITE DE SECTEUR
- NUMÉRO DE SECTEUR
- ZONE À POTENTIEL ARCHÉOLOGIQUE
- NUMÉRO DE ZONE
- FORAGE POSITIF
- FORAGE NÉGATIF
- TRANCHEE POSITIVE
- TRANCHEE NEGATIVE
- NUMÉRO DE SOUS-OPERATION
- SOUS-OPERATION DANS LE PROFIL
- PROFIL STRATIGRAPHIQUE
- SITE ARCHÉOLOGIQUE RECENÇÉ
- LIMITE À ÉVALUER
- CODE DE PARCS CANADA

0 15 m  
ÉCHELLE : 1:750



SOURCES :

- Cartes électroniques, ministère des Transports du Québec, fichiers Turcot-TN-Ouest-2D.dwg, L016886-TN-Turcot.dwg et 31ne3531\_corto.dwg
- Informations archéologiques, Ville de Montréal, fichiers comparc.dwg et feuilles nos 31H05-010-3229, 3330, 3331, 3533, 3534, 3633, 3634, 3732, 3734 et 3834
- Informations archéologiques, Parcs Canada, fichiers 613G-4A et 4B.dwg, 1998-170G-01.dwg, 1998-176G-01.dwg, 1995-172G-01.dwg et 98-600G-3.dwg
- Ethnoscop 2008a



0 50 m  
ÉCHELLE HORIZONTALE : 1:1500  
EXAGÉRATION VERTICALE : X10

0 5 m  
ÉCHELLE VERTICALE : 1:150

- Surface actuelle
- Surface de l'horizon organique du sol naturel
- 20K Numéro de sous-opération
- Profil stratigraphique



Figure 3 : Extrait du plan de H. S. Sitwell de 1865-1871 indiquant une partie du tracé de la rivière Saint-Pierre (Petit Lac St. Pierre)

C'est en outre une couche de limon organique, parfois argileux ou sableux, qui présente le plus d'intérêt archéologique dans cette partie de la zone à potentiel archéologique H6-1. Ce niveau, qui apparaît comme la surface perturbée des sols naturels stériles, pourrait en effet avoir accueilli les premiers occupants humains. La surface de ce limon a été observée à des altitudes variant de 17,88 m à 18,84 m (NMM) dans les sous-opérations 20A, 20E et 23D, et à 20,54 m (NMM) dans la sous-opération 20K. À certains endroits, la profondeur de cette couche atteint toutefois celle de la tourbe, plutôt associée à une zone marécageuse.

### **2.6.6.2 Partie est**

Dans la partie est de la zone à potentiel archéologique H6-1 (photo 14), les remblais présentent somme toute les mêmes caractéristiques que ceux de la partie ouest, bien qu'ils soient moins épais. Ils contiennent essentiellement les mêmes inclusions et semblent correspondre aux mêmes phases de rehaussement associées à l'implantation des voies ferrées entre la fin du XIX<sup>e</sup> et le milieu du XX<sup>e</sup> siècle ainsi qu'aux travaux de construction de l'autoroute 15. Malgré la présence des chemins de fer dans les deux tiers nord de la zone à potentiel archéologique H6-1, cette partie a certainement connu moins de bouleversements au cours du XX<sup>e</sup> siècle que le tiers sud, où a été aménagée l'autoroute 15 au cours des années 1970. Les remblais reposent en plusieurs endroits directement sur le sol naturel stérile, sauf dans les sous-opérations 20J, 20L, 20T, 22B, 22C et 22D, où une couche de limon argileux organique a été observée avant d'atteindre un sol naturel stérile. Cette couche correspond vraisemblablement à celle présente dans la partie ouest et associée à l'horizon organique du sol naturel pouvant avoir accueilli les premiers occupants humains. Sa surface a été atteinte à des altitudes variant de 18,85 m à 20,10 m (NMM).

### **2.6.7 Discussion et recommandation**

La présence de la surface perturbée des sols naturels dans la majeure partie de la zone à potentiel archéologique H6-1 permet de confirmer le potentiel archéologique autant historique que préhistorique de cet endroit. La validation de l'emplacement de plusieurs des éléments du paysage ancien, illustrés sur le plan de Sitwell de 1865-1871 (plan 11), permet aussi d'évaluer de façon très précise la position des bâtiments représentés sur ce plan. Le profil A (plan 9), orienté selon un axe est-ouest, illustre la profondeur de la surface sur laquelle se sont probablement installés les premiers occupants humains, par rapport au niveau actuel du terrain dans la partie sud de la zone à potentiel archéologique H6-1. On peut noter que le profil de cette surface comporte une faible pente descendante vers l'est de 1 %. Le profil B, orienté selon un axe nord-est/sud-ouest (plan 9), permet quant à lui de confirmer la présence de la zone marécageuse illustrée sur le plan de Sitwell (figure 3).

Dans le plan d'intervention de l'étude de potentiel, il a été recommandé qu'un inventaire archéologique soit réalisé au moyen de cinq tranchées de 2 m par 10 m excavées mécaniquement (Ethnoscop 2008a). À partir des résultats de la surveillance archéologique des forages et des tranchées il est recommandé de poursuivre la recherche archéologique dans la zone à potentiel historique H6-1 ainsi que dans la partie ouest de la zone à potentiel préhistorique P3, et ce, avec la même méthodologie que celle proposée initialement. Une fois l'excavation des tranchées mécaniques complétée et la surface perturbée des sols



Photo 13 : Sous-opération MTL09-23-1-20C dans la zone à potentiel historique H6-1, direction sud-ouest (MTL09-23-1-NUM5-2)



Photo 14 : Sous-opération MTL09-23-1-20J dans la portion sud-est de la zone à potentiel historique H6-1, direction sud-est (MTL09-23-1-NUM5-8)

naturels atteinte, des sondages manuels devront être pratiqués afin d'éviter toute nouvelle perturbation au-delà de ce niveau. L'emplacement des premières tranchées devra correspondre à celui des sous-opérations où les résultats se sont avérés positifs, tout en évitant l'ancienne zone marécageuse, où le potentiel archéologique autant historique que préhistorique est considéré comme nul.

## **2.7 Zone à potentiel archéologique historique H6-2**

La zone H6-2, localisée dans le quadrilatère formé par les rues Cabot, Eadie, De Roberval et Hadley (plan 8), conserve son caractère essentiellement résidentiel jusqu'à l'aménagement de voies ferrées dans sa partie centrale au cours du XX<sup>e</sup> siècle (Ethnoscop, 2008a : plans 25, 27 et 29). Une école est construite rue De Roberval (lot 3552) dès le début de l'implantation du quartier ouvrier (Ethnoscop, 2008a : plan 22). La présence des voies ferrées a progressivement éliminé le bâti du côté nord de la rue De Roberval et, plus tard, du côté sud de la rue Cabot. Du côté sud de la rue De Roberval, les maisons en rangée sont encore présentes en 1954 (Ethnoscop, 2008a : plan 29), mais elles ont par la suite fait place à l'autoroute 15 (photo 15). La partie nord de la zone H6-2 est aujourd'hui occupée par des bâtiments commerciaux (Ethnoscop, 2008a : tableau 4).

### **2.7.1 Sous-opérations MTL09-23-1-6A à 6H**

Ces huit sous-opérations correspondent à l'emplacement de sondages effectués entre le 26 et le 29 mai 2009, dans la partie sud de la zone à potentiel historique H6-2 (plan 8). Elles ont toutes été réalisées sous l'autoroute 15.

### **2.7.2 Sous-opérations MTL09-23-1-7A à 7C**

Les emplacements de ces trois sous-opérations sont associés à ceux de forages exécutés le 2 juin 2009, dans la partie sud de la zone à potentiel historique H6-2 (plan 8). Ces sous-opérations ont elles aussi été réalisées sous le tablier de l'autoroute.

### **2.7.3 Résultats**

Les interventions archéologiques réalisées dans la zone à potentiel historique H6-2 ont permis d'observer des profils stratigraphiques composés de remblais mis en place pendant ou après la construction de l'autoroute 15 dans les années 1960 (tableau 7). Sous ces remblais, on trouve un mélange de sable, de gravier et de cailloux contenant plusieurs inclusions associées à des activités industrielles et résidentielles (photo 16). Ces inclusions sont principalement des fragments de brique, de mortier, de béton et de charbon minéral ainsi que du plastique et des scories. L'épaisseur de ces remblais, qui reposent en surface des sols naturels, varie de 0,70 m à 1,90 m. Dans les sous-opérations 6A, 6B, 6H, 7A et 7C, le sol naturel stérile est composé d'un till présent directement sous les remblais, alors que dans les sous-opérations 6D et 7B, on note la présence d'une couche de tourbe dont l'épaisseur varie de 0,25 m à 1,00 m avant d'atteindre le till. De plus, dans les sous-opérations 6E et 6F, on a pu observer une couche de sol légèrement organique qui



Photo 15 : Sous-opération MTL09-23-1-6G dans la zone à potentiel historique H6-2, direction est (MTL09-23-1-NUM3-19)



Photo 16 : Profil stratigraphique type de la sous-opération MTL09-23-1-6D, direction nord-est (MTL09-23-1-NUM3-12)

**Tableau 7 : Synthèse des résultats de la surveillance archéologique dans la zone à potentiel archéologique historique H6-2**

Numéro d'identification archéologique	Numéro séquentiel	Niveau actuel du terrain (mètre NMM)	Niveau d'intérêt archéologique (mètre NMM)	Surface des sols naturels stériles (mètre NMM)	Niveau atteint (mètre NMM)	Description	Discussion	Recommandations
MTL09-23-1-6A	966	20,51	-	18,81	18,31	La partie supérieure du profil stratigraphique de cette tranchée se compose d'un remblai sablo-argileux qui contient des graviers ainsi que des fragments de brique, de mortier et de bois. Ce remblai repose sur un deuxième remblai constitué de sédiments glaciaires remaniés. La surface des sols naturels stériles, qui correspond à un till, a été atteinte sous le deuxième remblai à une profondeur d'environ 1,70 m sous le niveau actuel du terrain.	La portion supérieure du forage correspond à des remblais récents déposés directement sur le sol naturel stérile dérasé. Aucune couche ne présente un intérêt archéologique.	Aucune recommandation n'est formulée quant à la poursuite de la recherche archéologique à cet endroit.
MTL09-23-1-6B	965	20,12	-	18,87	17,02	Sous des remblais successifs de sable et de pierre concassée qui ont servi à l'aménagement de la surface actuelle du terrain, un mur de béton orienté selon un axe est-ouest ainsi qu'une dalle de béton ont été mis au jour à environ 0,70 m sous le niveau actuel du terrain. Sous la dalle de béton, on trouve un remblai contenant des fragments de brique, de mortier, de charbon minéral, de pierre de calcaire ainsi que de la chaux et des scories. Du côté opposé du mur, on trouve plutôt un dépotoir constitué de fragments de brique et de mortier ainsi que des pièces d'automobile (silencieux). Ces deux remblais reposent sur la surface des sols naturels stériles constituée d'un limon sableux brun jaunâtre contenant des graviers et des cailloux. Cette surface a été observée à une profondeur variant de 1,25 m à 1,90 m sous le niveau actuel du terrain.	Les deux structures en béton pourraient être associées à la présence à cet endroit de la St. Paul Laundry, un complexe industriel datant du milieu du XX <sup>e</sup> siècle et probablement démoli au moment de la construction de l'autoroute 15.	Aucune recommandation n'est formulée quant à la poursuite de la recherche archéologique à cet endroit, étant donné les perturbations subies lors de la construction de cet imposant édifice.
MTL09-23-1-6C	967	20,23	-	-	18,58	Sous des remblais successifs de sable limoneux et de pierre concassée associés à l'aménagement de la surface actuelle, le sommet d'un mur de béton orienté selon un axe nord-sud a été mis au jour à environ 0,50 m de profondeur sous le niveau actuel du terrain. Ce mur se poursuit jusqu'à une profondeur de 1,65 m, où une dalle de béton a aussi été dégagée. Enfin, à environ 1,10 m du mur de béton et dans le même axe, une bordure de béton reposant sur une couche d'asphalte de 0,15 m d'épaisseur qui vient s'appuyer contre le mur de béton a été mise au jour. Le lit de pose de l'asphalte est formé d'un sable argileux contenant des graviers et des fragments de brique et repose sur quelques niveaux de comblement qui contiennent beaucoup de fragments de bois. L'excavation de cette tranchée s'est arrêtée sur la dalle de béton.	Les deux structures en béton pourraient être associées aux fondations d'un bâtiment présent au cours du XX <sup>e</sup> siècle, alors que la bordure en béton et la couche d'asphalte semblent plutôt liées à l'aménagement d'une ancienne voie de circulation. En ce qui a trait aux sols associés à des occupations anciennes, ils ont probablement été éradiqués lors de la réalisation de ces différents travaux d'aménagement. De plus, ces vestiges ont sans doute été ensevelis lors de la construction de l'autoroute 15 au cours des années 1960.	Aucune recommandation n'est formulée quant à la poursuite de la recherche archéologique à cet endroit.
MTL09-23-1-6D	969	20,02	-	18,22	17,17	La partie supérieure du profil stratigraphique de cette tranchée contient plusieurs remblais successifs d'origine industrielle qui couvrent la surface des sols naturels stériles. Les niveaux les plus récents, qui totalisent une épaisseur d'environ 0,50 m, regroupent les couches d'aménagement de la surface actuelle : asphalte, pierre concassée et béton. Les remblais sous-jacents se composent quant à eux d'argile sableuse et de sable argileux contenant des fragments de pierre de calcaire partiellement calcinés, de charbon minéral et de brique ainsi que des scories. La couleur de ces remblais varie grandement, passant du rose au gris. La surface des sols naturels stériles, atteinte à une profondeur de 1,80 m sous le niveau actuel du terrain, est constituée d'une tourbe naturelle reposant sur un till dont la surface se trouve à 2,05 m de profondeur.	Les couches naturelles correspondent à une accumulation en milieu humide (marécage?) déposée directement sur les sédiments glaciaires. Les remblais ne présentent pas d'intérêt particulier pour l'archéologie.	Aucune recommandation n'est formulée quant à la poursuite de la recherche archéologique à cet endroit.
MTL09-23-1-6E	964	19,89	18,89	18,49	17,09	La partie supérieure du profil stratigraphique de cette tranchée contient, sur une épaisseur d'environ 0,75 m, des couches associées à l'aménagement actuel du terrain : asphalte, pierre concassée et béton. Le tout repose sur un remblai d'argile limoneuse contenant des cailloux et du gravier. Un massif de béton de la Commission des services électriques de Montréal, orienté selon un axe est-ouest, occupe la partie sud de la sous-opération. La surface remaniée des sols naturels, constituée d'une argile limoneuse grisâtre et légèrement organique contenant quelques rares graviers, a été atteinte à une profondeur d'environ 1,00 m sous le niveau actuel du terrain. Elle repose sur un till dont la surface se trouve à environ 1,40 m de profondeur.	La sous-opération 6E est localisée du côté ouest de la rue Eadie, à environ 30 m à l'ouest du site archéologique BiFj-28 (plan 8). Son emplacement semble correspondre à l'ancienne emprise de la rue De Roberval, où la présence de la surface remaniée des sols naturels pourrait permettre la découverte de vestiges associés à une occupation historique remontant au milieu du XIX <sup>e</sup> siècle, et même de traces d'occupation préhistorique, étant donné la présence de la zone à potentiel archéologique P3.	Il est recommandé de poursuivre la recherche archéologique à cet endroit en conformité avec la proposition formulée dans le plan d'intervention.

Numéro d'identification archéologique	Numéro séquentiel	Niveau actuel du terrain (mètre NMM)	Niveau d'intérêt archéologique (mètre NMM)	Surface des sols naturels stériles (mètre NMM)	Niveau atteint (mètre NMM)	Description	Discussion	Recommandations
MTL09-23-1-6F	968	20,06	19,36	19,16	17,36	La partie supérieure du profil stratigraphique de cette tranchée se compose de remblais successifs associés à l'aménagement récent de la surface du terrain : pierre concassée et argile sableuse contenant de la pierre concassée, des graviers, du plastique et des fragments de béton. La surface remaniée des sols naturels a été atteinte à une profondeur d'environ 0,70 m sous le niveau actuel du terrain. D'une épaisseur de 0,20 m, elle est constituée d'un limon argileux organique brun noirâtre, homogène et ferme sans inclusions, contenant quelques éléments de culture matérielle : fragments de céramique en terre cuite grossière et en terre cuite fine blanche. Elle repose sur une argile sableuse beigeâtre stérile, contenant des graviers arrondis à subanguleux.	La surface remaniée des sols naturels pourrait permettre la découverte de vestiges associés à une occupation historique remontant au milieu du XIX <sup>e</sup> siècle, et même de traces d'occupation préhistorique, étant donné la présence de la zone à potentiel préhistorique P3.	Il est recommandé de poursuivre la recherche archéologique à cet endroit en conformité avec la proposition formulée dans le plan d'intervention.
MTL09-23-1-6G	963	20,41	-	-	19,01	Le profil stratigraphique de cette tranchée se compose d'une couche de pierre concassée en surface, reposant sur un remblai de sable limoneux contenant des fragments anguleux de pierre de calcaire et de béton. L'excavation a cependant été interrompue à environ 1,40 m de profondeur sous le niveau actuel du terrain par une dalle de béton probablement associée à l'ancienne chaussée de la rue De Roberval.	La séquence stratigraphique documentée ne présente pas d'intérêt pour la recherche archéologique.	Aucune recommandation n'est formulée quant à la poursuite de la recherche archéologique à cet endroit.
MTL09-23-1-6H	962	20,04	-	19,34	17,94	Le profil stratigraphique de cette tranchée se compose d'un sable limoneux mélangé à des fragments anguleux de pierre de calcaire en surface. Ce dernier repose sur ce qui apparaît à environ 0,40 m de profondeur sous le niveau du terrain actuel comme la chaussée de l'ancienne rue De Roberval, composée d'une couche d'asphalte de 0,10 m d'épaisseur couvrant une dalle de béton d'environ 0,20 m d'épaisseur. La surface du sol naturel stérile, constituée d'un till, a par ailleurs été atteinte à environ 0,70 m de profondeur.	Sous les remblais récents, l'ancienne surface de la rue De Roberval est directement assise sur les sédiments naturels stériles. Aucune couche ne présente d'intérêt pour l'archéologie.	Aucune recommandation n'est formulée quant à la poursuite de la recherche archéologique à cet endroit.
MTL09-23-1-7A	848	20,37	-	18,37	16,72	Le profil stratigraphique de ce forage se présente comme une succession de remblais sableux contenant des graviers, des cailloux ainsi que des fragments de brique et de verre. Ces remblais se poursuivent jusqu'à environ 2,00 m de profondeur sous le niveau actuel du terrain, où se trouve la surface des sols naturels stériles : un till d'ablation.	Le sol naturel stérile est atteint directement sous les remblais de rehaussement. Cela témoigne d'activités de dérasement ayant complètement éradiqué les sols ayant pu présenter un intérêt archéologique à cet endroit.	Aucune recommandation n'est formulée quant à la poursuite de la recherche archéologique à cet endroit.
MTL09-23-1-7B	970	20,38	-	18,38	16,38	Le profil stratigraphique de ce forage se présente comme un remblai d'environ 2,00 m d'épaisseur de sable graveleux et caillouteux contenant des particules de brique et des fragments de verre. Ce remblai repose sur la surface des sols naturels stériles, constituée d'une argile grise et homogène surmontant une couche de tourbe d'environ 1,00 m d'épaisseur qui repose à son tour sur un till.	Les remblais de rehaussement ont été déposés directement sur le sol naturel stérile. Aucune couche présentant un intérêt archéologique n'a été observée à cet endroit.	Aucune recommandation n'est formulée quant à la poursuite de la recherche archéologique à cet endroit.
MTL09-23-1-7C	849	20,12	-	19,22	17,27	Le profil stratigraphique de ce forage se présente comme une mince couche d'asphalte pulvérisée près de la surface, déposée dans un remblai de sable graveleux et caillouteux. La surface des sols naturels stériles, constituée d'un till d'ablation, apparaît à environ 0,90 m de profondeur sous le niveau actuel du terrain.	Des activités récentes ont complètement éradiqué les sols ayant pu présenter un intérêt archéologique.	Aucune recommandation n'est formulée quant à la poursuite de la recherche archéologique à cet endroit.

présente un intérêt archéologique et dont l'épaisseur est respectivement de 0,40 m et 0,20 m. Cette couche correspondrait à l'horizon organique du sol naturel et pourrait receler des traces d'occupation anciennes pouvant même dater du début de l'occupation de ce secteur. Enfin, dans les sous-opérations 6C et 6G, la présence d'une dalle de béton respectivement à 1,65 m et 1,40 m de profondeur sous le niveau actuel du terrain, a contraint à l'abandon des sondages.

Par ailleurs, les vestiges d'éléments en béton associés à un mur, à un plancher et à une bordure ont été mis au jour dans la sous-opération 6C (photos 17 et 18). Les deux premiers éléments semblent faire partie d'un mur de fondation et du plancher de la cave d'un bâtiment dont la façade donnait sur la rue De Roberval, avant la construction de l'autoroute 15. Le fragment de bordure de béton semble pour sa part avoir été mis en place après la démolition du même bâtiment, au moment de l'aménagement d'un terrain de stationnement ou d'un trottoir sous le tablier de l'autoroute 15. Des vestiges semblables ont aussi été dégagés dans la sous-opération 6B. Il s'agit de fragments d'un mur de fondation et d'un plancher en béton qui semblent associés à l'un des bâtiments faisant partie du complexe industriel de la St. Paul Laundry au milieu du XX<sup>e</sup> siècle (plan 10). Ce mur de fondation ainsi qu'un remblai contenant des pièces d'automobile (silencieux) reposent en surface des sols naturels stériles. Enfin, dans les sous-opérations 6G et 6H, les vestiges d'une dalle de béton ont été mis au jour à environ 1,40 m de profondeur sous le niveau actuel du terrain. Selon les résultats de la superposition du plan d'assurance d'Underwriters' de 1954 (plan 10), ces deux sous-opérations sont localisées dans la partie de l'emprise de la rue De Roberval qui a fait place à l'autoroute 15 au cours des années 1960. Il est donc vraisemblable de conclure que cette dalle de béton fait partie de la chaussée de cette ancienne voie de circulation.

En ce qui a trait à la couche de sol organique observée dans les sous-opérations 6E et 6F, elle semble associée à la surface de l'horizon organique du sol naturel, remaniée par les premiers occupants de la période historique ou même par des occupants de la période préhistorique, étant donné la présence de la zone à potentiel préhistorique P3. Dans la sous-opération 6E, localisée dans le coin sud-est de la zone à potentiel archéologique H6-2, il s'agit d'une argile limoneuse organique contenant quelques rares graviers dont la surface se trouve à une altitude de 18,89 m (NMM). Dans la sous-opération 6F, localisée dans la partie sud-ouest de la zone H6-2, à environ 135 m à l'ouest de la sous-opération 6E (plan 8), il s'agit plutôt d'un limon argileux organique contenant quelques fragments de céramique en terre cuite grossière et en terre cuite fine blanche, dont la surface se trouve à une altitude de 19,36 m (NMM).

Ce qui apparaît comme la surface de l'horizon organique du sol naturel pourrait receler des traces d'occupation remontant au début de la fondation du village de Côte-Saint-Paul, au milieu du XIX<sup>e</sup> siècle. L'emplacement des sous-opérations 6E et 6F semble toutefois correspondre à la limite sud de l'emprise de l'ancienne rue De Roberval, risquant d'avoir été bouleversée par l'aménagement de la rue. Cependant, les résultats obtenus dans ces deux sous-opérations permettent de confirmer le potentiel historique de la zone à potentiel archéologique H6-2. Ils font en effet la démonstration que des traces d'occupation ancienne pourraient avoir été préservées plus au nord, dans le quadrilatère formé par l'ancienne rue



Photo 17 : Section d'un plancher en béton possiblement associé à un bâtiment de la St. Paul Laundry, sous-opération MTL09-23-1-6B, direction nord (MTL09-23-1-NUM3-7)



Photo 18 : Fond de la sous-opération MTL09-23-1-6C. L'eau occupe l'espace entre des murs et un plancher de cave en béton, direction est (MTL09-23-1-NUM3-11)

De Roberval au sud, la rue Hadley à l'ouest, la rue Cabot au nord et la rue Eadie à l'est (plan 10). La partie nord de la zone H6-2 a en effet été occupée par un lotissement résidentiel et une école dès le milieu du XIX<sup>e</sup> siècle (figure 4). Ce lotissement a par la suite été freiné par l'implantation de voies ferrées du Canadian Pacific dès le début du XX<sup>e</sup> siècle (Ethnoscop, 2008a : plan 28). La présence de ces voies ferrées pourrait sans doute avoir contribué à la préservation de vestiges archéologiques associés à l'occupation résidentielle des lieux au milieu du XIX<sup>e</sup> siècle.

#### **2.7.4 Discussion et recommandation**

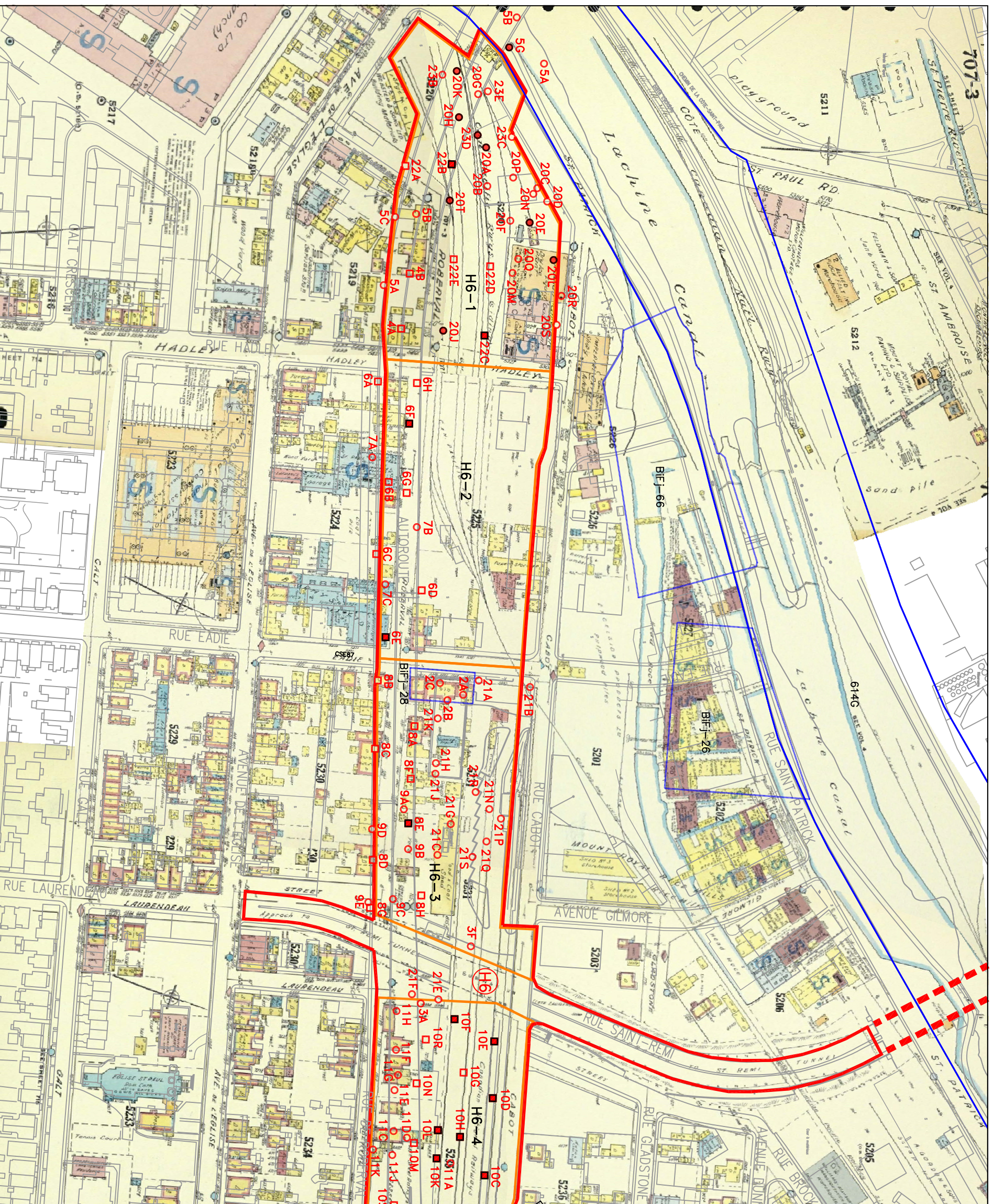
Dans l'étude de potentiel, il a été recommandé de réaliser un inventaire archéologique au moyen d'un minimum de cinq tranchées de 2 m par 10 m excavées mécaniquement (Ethnoscop 2008a). À partir des résultats de la surveillance archéologique des forages et tranchées, cette recommandation est maintenue. La présence, dans certaines sous-opérations, d'une couche associée à l'horizon organique du sol naturel dans laquelle peuvent subsister des traces d'occupation tant historique que préhistorique confirme la nécessité d'intervenir dans cette zone à potentiel. Cette intervention devrait se concentrer dans les espaces demeurés vacants au cours du XX<sup>e</sup> siècle (principalement la partie nord de la zone), ainsi qu'à l'emplacement des sous-opérations 6E et 6F.

### **2.8 Zone à potentiel archéologique historique H6-3**

La zone H6-3 correspond à l'actuel quadrilatère formé par la rue Cabot, la limite ouest de la voie d'accès au tunnel Saint-Rémi, la rue De Roberval et la rue Eadie, dans lequel est inclus le site archéologique BiFj-28 (plan 8). Cette zone se développe très lentement au cours du XIX<sup>e</sup> siècle et est occupée presque exclusivement par des bâtiments en bois à caractère résidentiel (Ethnoscop, 2008a : plans 22 et 24; figure 16-2). Sa densité d'occupation maximale semble être atteinte au début du XX<sup>e</sup> siècle (Ethnoscop, 2008a : figure 19-4), après quoi, sa moitié est se transforme en secteur industriel ou commercial vers le milieu du siècle (Ethnoscop, 2008a : plans 27 et 29). Au cours de la même période, le côté nord du quadrilatère est occupé par des voies ferrées. Les habitations de la partie sud-ouest semblent avoir persisté jusqu'à l'aménagement dans les années 1960 de l'autoroute 15, qui couvre sa moitié sud (photo 19 et Ethnoscop, 2008a : plan 29). La partie nord de la zone H6-3 est actuellement occupée par l'écocentre Eadie de la Ville de Montréal (Ethnoscop, 2008a : tableau 4).

#### **2.8.1 Sous-opération MTL09-23-1-3F**

L'emplacement de cette sous-opération correspond à celui d'un forage effectué le 6 mai 2009, à l'extrême est de la zone à potentiel archéologique H6-3, en bordure de la rue Saint-Rémi (plan 8).



COMPLEXE TURCOT  
 SURVEILLANCE ARCHÉOLOGIQUE  
 MTL09-23-1 ET Bifj-28  
 SUPERPOSITION DU PLAN DU  
 UNDERWRITERS' SURVEY BUREAU  
 DE 1954 SUR LE PLAN ACTUEL  
 SECTEUR À POTENTIEL ARCHÉOLOGIQUE  
 HISTORIQUE H6-OUEST  
 PLAN 10

- FORAGE POSITIF
- FORAGE NÉGATIF
- TRANCHÉE POSITIVE
- TRANCHÉE NÉGATIVE
- AA NUMÉRO DE SOUS-OPERATION
- SITE ARCHÉOLOGIQUE RECENCE
- BIFj-26 CODE BORDEN
- 614G CODE DE PARCS CANADA



SOURCES :

- Cartes électroniques, ministère des Transports du Québec, fichiers Turcot-TN-Ouest-2D.dwg, L016886-TN-Turcot.dwg et 31he3531\_corto.dwg
- Informations archéologiques, Ville de Montréal, fichiers comparc.dwg et feuillets nos 31H05-010-5229, 3330, 3331, 3533, 3534, 3633, 3634, 3732, 3734 et 3834
- Informations archéologiques, Parcs Canada, fichiers 613G-4A et 4B.dwg, 1998-170G-01.dwg, 1998-176G-01.dwg, 1995-172G-01.dwg et 98-600G-3.dwg
- Ethnoscop 2008a

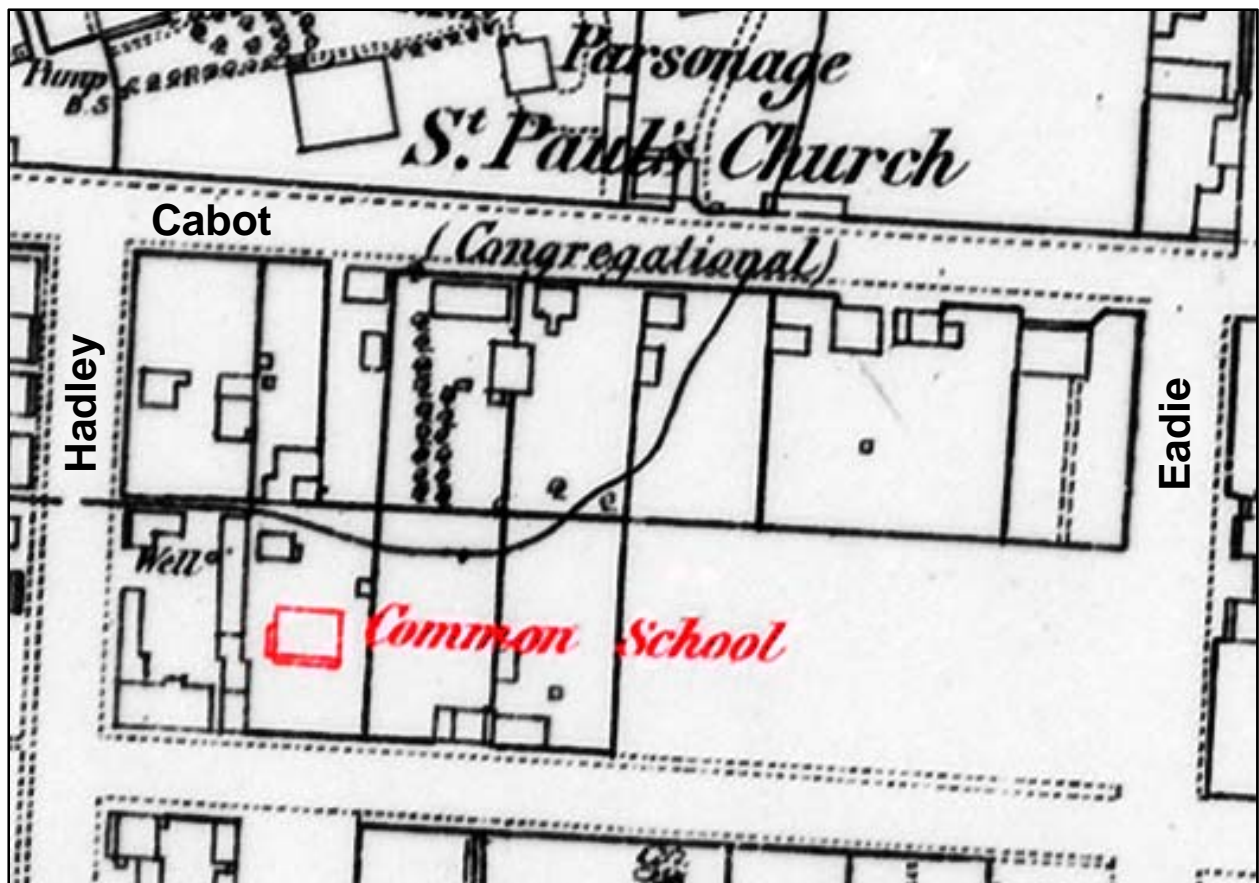


Figure 4 : Extrait du plan de H. S. Sitwell de 1865-1871 indiquant l'emplacement d'une ancienne école



Photo 19 : Sous-opération MTL09-23-1-8A dans la zone à potentiel historique H6-3, direction est (MTL09-23-1-NUM3-20)



Photo 20 : Sous-opération BiFj-28-09-2C dans le garage de la Ville de Montréal, zone à potentiel H6-3, direction sud-ouest (BiFj-28-09-NUM1-2)

### **2.8.2 Sous-opérations MTL09-23-1-8A à 8H**

Ces huit sous-opérations correspondent à l'emplacement de sondages exploratoires réalisés du 27 mai au 3 juin 2009, dans la partie sud de la zone à potentiel archéologique H6-3 (plan 8). Ces sondages sont localisés sous l'autoroute 15.

### **2.8.3 Sous-opérations MTL09-23-1-9A à 9E**

Les emplacements de ces cinq sous-opérations sont associés à ceux de forages effectués le 5 et le 17 juin 2009, dans la partie sud de la zone à potentiel archéologique H6-3 (plan 8). Ceux-ci ont également été réalisés directement sous l'autoroute et dans des bâtiments (photo 20).

### **2.8.4 Sous-opérations BiFj-28-2A à 2C**

Les sous-opérations BiFj-28-2A, 2B et 2C correspondent à l'emplacement de trois forages effectués les 14 et 20 août 2009, dans les limites du site archéologique BiFj-28. Ces derniers ont été réalisés à l'intérieur du garage de la Ville de Montréal (plan 8). Les codes temporaires associés à ces trois sous-opérations sont respectivement MTL09-23-1-21D, 21L et 21M (annexe A).

### **2.8.5 Sous-opérations MTL09-23-1-21A à 21D, 21G à 21K et 21N à 21S**

Ces 12 sous-opérations correspondent à l'emplacement de forages réalisés entre le 12 août et le 22 octobre 2009, dans la partie nord de la zone à potentiel archéologique H6-3. Toutes ces sous-opérations ont été effectuées au nord de l'emprise de l'autoroute 15, entre les nombreux aménagements associés à l'écocentre Eadie et au terrain de la Ville de Montréal (photos 21 et 22). Quelques-unes ont été effectuées dans le garage (plan 8).

### **2.8.6 Résultats**

Les profils stratigraphiques enregistrés dans les sous-opérations réalisées dans la zone à potentiel archéologique H6-3 sont caractérisés par la présence de remblais en surface dont l'épaisseur varie de 0,30 m à un peu plus de 4,00 m (tableau 8). Cette variation d'épaisseur s'explique principalement par une différence dans le type d'aménagements effectués dans les parties nord et sud de la zone (plan 8). La partie nord est occupée par une rampe d'accès menant à une série de quais permettant aux utilisateurs de l'écocentre Eadie de laisser tomber les différents types de matériaux récupérés dans des conteneurs situés en contrebas. C'est dans cette partie de la zone que les remblais sont les plus épais. Dans la partie sud, ainsi que sous le tablier de l'autoroute 15, la Ville de Montréal a aménagé une aire d'entreposage où les remblais sont en général moins épais.

Ces remblais sont composés principalement d'une matrice sableuse contenant un pourcentage variable de limon et d'argile, ainsi que des inclusions souvent très similaires, mais en proportion très variable, de fragments de pierre de calcaire, de brique, de béton et d'asphalte (photo 23). Dans la totalité des sous-opérations, à l'exception de la sous-



Photo 21 : Sous-opération MTL09-23-1-21C dans la zone à potentiel historique H6-3, direction nord-ouest (MTL09-23-1-NUM5-10)



Photo 22 : Sous-opération MTL09-23-1-21Q sur la rampe d'accès de l'écocentre Eadie, zone à potentiel historique H6-3, direction ouest (MTL09-23-1- NUM5-33)

**Tableau 8 : Synthèse des résultats de la surveillance archéologique dans la zone à potentiel archéologique historique H6-3**

Numéro d'identification archéologique	Numéro séquentiel	Niveau actuel du terrain (mètre NMM)	Niveau d'intérêt archéologique (mètre NMM)	Surface des sols naturels stériles (mètre NMM)	Niveau atteint (mètre NMM)	Description	Discussion	Recommandations
MTL09-23-1-3F	830	21,31	-		17,22	Le profil stratigraphique de ce forage se compose de remblais successifs de sable limoneux contenant des fragments de bois et de pierre de calcaire. La surface des sols naturels stériles, constituée d'un till d'ablation, a été atteinte sous ces remblais à une profondeur variant de 1,53 m à 2,13 m sous le niveau actuel du terrain.	Les sols ayant pu receler des traces d'occupation ancienne ont sans aucun doute été excavés lors des travaux d'aménagement des voies d'accès menant au tunnel Saint-Rémi.	Aucune recommandation n'est formulée quant à la poursuite de la recherche archéologique à cet endroit.
MTL09-23-1-8A	976	20,28	-	-	17,68	Une canalisation métallique, orientée selon un axe est-ouest, a été mise au jour dans la sous-opération 8A, à environ 2,20 m de profondeur sous le niveau actuel du terrain. L'installation de cette canalisation, qui est probablement reliée à l'égout raccordé au bâtiment de la Ville de Montréal, situé à quelque 10 m à l'est, a nécessité la mise en place d'importants remblais. La tranchée de la canalisation a aussi tronqué le profil stratigraphique de la sous-opération 8A, qui se compose d'une couche d'asphalte et de pierre concassée d'une épaisseur d'environ 0,50 m. Cette couche repose sur un mélange de sable, de limon et d'argile d'une épaisseur d'environ 0,70 m contenant des fragments de brique, de béton et de tuyaux de grès. Sous ce remblai, on trouve un till d'ablation remanié reposant sur un till de fond mis au jour à environ 2,00 m de profondeur sous le niveau actuel du terrain.	Les éléments observés dans cette tranchée se rapportent à des événements récents et ne présente pas d'intérêt archéologique. Les couches de remblais reposent directement sur le sol naturel stérile dérasé.	Aucune recommandation n'est formulée quant à la poursuite de la recherche archéologique à cet endroit.
MTL09-23-1-8B	980	20,03	-	18,68	17,53	Le sommet dérasé d'un mur de béton a été mis au jour immédiatement sous la surface du terrain à la limite nord de la tranchée. Ce mur semble associé aux fondations d'un bâtiment de construction récente démolit lors de la construction de l'autoroute 15. Le profil stratigraphique de cette tranchée se compose de remblais successifs variant d'un sable limoneux à un limon sableux et contenant des fragments de mortier, de brique et de béton. La base des remblais correspond au sommet de l'empiètement du mur de béton à environ 1,35 m de profondeur sous le niveau actuel du terrain. La surface remaniée des sols naturels, composée d'un sable argileux grisâtre ne contenant aucune inclusion anthropique, apparaît également sous ces remblais. La surface des sols naturels stériles a quant à elle été atteinte à environ 1,75 m de profondeur sous le niveau actuel du terrain.	Les différents niveaux stratigraphiques se rapportent à des événements s'étant déroulés vraisemblablement au courant du XX <sup>e</sup> siècle. Aucune couche ne présente un intérêt particulier pour la recherche archéologique.	Aucune recommandation n'est formulée quant à la poursuite de la recherche archéologique à cet endroit.
MTL09-23-1-8C	978	20,68	-	-	18,98	Le profil stratigraphique de cette tranchée se compose d'une couche d'asphalte en surface, déposée sur une dalle de béton qui repose sur un lit de pierre concassée contenant quelques rares fragments de brique. Ce remblai atteint la surface d'une dalle de béton à 1,70 m de profondeur sous le niveau actuel du terrain. La présence de cette dalle de béton est sans aucun doute associée au plancher du sous-sol d'un bâtiment qui occupait cet endroit avant la construction de l'autoroute 15. L'excavation de la tranchée ne s'est pas poursuivie au-delà de cette dalle de béton.	L'ensemble des remblais est associé au comblement de la cave d'un bâtiment suite à sa démolition. Aucune couche ne présente d'intérêt pour l'archéologie.	Aucune recommandation n'est formulée quant à la poursuite de la recherche archéologique à cet endroit.
MTL09-23-1-8D	982	20,99	-	20,19	18,99	Le profil stratigraphique de cette tranchée se compose d'une couche d'asphalte en surface déposée sur un lit de pierre concassée qui repose à son tour sur un remblai de sable limoneux contenant des fragments de brique et de mortier et ayant une épaisseur d'environ 0,20 m. La surface des sols naturels stériles, composée d'un till, a été atteinte à une profondeur variant de 0,80 m à 0,95 m sous le niveau actuel du terrain.	Les sols naturels stériles ont été dérasés et reposent sous des remblais de rehaussement récents.	Aucune recommandation n'est formulée quant à la poursuite de la recherche archéologique à cet endroit.
MTL09-23-1-8E	977	21,09	-	19,84	18,94	Le profil stratigraphique de cette tranchée se compose d'une couche d'asphalte en surface déposée sur une dalle de béton reposant sur un remblai sablo-limoneux contenant des fragments de brique et de la pierre concassée. La surface remaniée des sols naturels, d'une épaisseur d'environ 0,20 m et composée d'un limon sableux brun clair et légèrement organique, duquel un fragment de céramique en terre cuite grossière a été dégagé, a été mise au jour à environ 1,00 m de profondeur sous le niveau actuel du terrain. La surface des sols naturels stériles a par la suite été atteinte sous la couche organique. Elle est constituée d'un limon sableux contenant des graviers et des cailloux arrondis à subanguleux qui repose sur un till dont la surface se trouve à environ 1,50 m de profondeur sous le niveau actuel du terrain.	La présence de matière organique dans un limon sableux remanié, situé en surface des sols naturels laisse entrevoir la probabilité de mettre au jour des vestiges d'une occupation historique remontant à la deuxième moitié du XIX <sup>e</sup> siècle, et même d'une occupation préhistorique associée à la présence de la zone à potentiel préhistorique P3.	Étant donné le niveau de perturbation observé dans la totalité des autres sous-opérations de la zone à potentiel H6-3, il n'est pas recommandé de poursuivre la recherche archéologique à l'emplacement de la sous-opération 8E.

Numéro d'identification archéologique	Numéro séquentiel	Niveau actuel du terrain (mètre NMM)	Niveau d'intérêt archéologique (mètre NMM)	Surface des sols naturels stériles (mètre NMM)	Niveau atteint (mètre NMM)	Description	Conclusion	Recommandations
MTL09-23-1-8F	981	20,94	-	20,34	18,04	L'excavation de cette tranchée a mené à la découverte, sous le revêtement d'asphalte de la surface et son lit de pierre concassée, de deux tranchées orientées selon un axe nord-sud et associées à la présence de deux services publics souterrains. Le premier, dégagé à une profondeur d'environ 2,50 m sous le niveau actuel du terrain, est une canalisation métallique enfouie sous un remblai de pierre concassée, alors que le deuxième correspond à un massif de béton enfoui sous un remblai de sédiments glaciaires (till remanié). La surface des sols naturels stériles, constituée d'un till, a été mise au jour entre les deux tranchées, à une profondeur d'environ 0,60 m sous le niveau actuel du terrain.	La faible profondeur à laquelle le sol naturel stérile a été mis au jour témoigne d'activités de dérasement à cet endroit. De plus, la présence de services publics à cet endroit a passablement bouleversé les sols de cet espace.	Aucune recommandation n'est formulée quant à la poursuite de la recherche archéologique à cet endroit.
MTL09-23-1-8G	983	21,82	-	21,42	19,32	Le profil stratigraphique de cette tranchée se compose d'une couche d'asphalte déposée sur un lit de pierre concassée en surface, reposant sur un remblai sablo-limoneux contenant des fragments de brique et de pierre de calcaire. La surface des sols naturels stériles, constituée d'un till, a été atteinte à une profondeur d'environ 0,40 m sous le niveau actuel du terrain.	Les travaux d'excavation réalisés lors de l'aménagement des voies d'accès au tunnel Saint-Rémi ont sans doute fait disparaître les sols contenant des traces d'occupation ancienne.	Aucune recommandation n'est formulée quant à la poursuite de la recherche archéologique à cet endroit.
MTL09-23-1-8H	979	21,23	-	19,53	18,03	Le profil stratigraphique de cette tranchée se compose d'un remblai de pierre concassée de 0,75 m d'épaisseur en surface, déposé sur un till d'ablation qui repose sur la surface des sols naturels stériles, constituée d'un till, à une profondeur d'environ 1,70 m sous le niveau actuel du terrain. Une tranchée remplie de pierre concassée et dont la base n'a pu être atteinte tronque la sous-opération 8H. La présence de cette tranchée profonde est sans doute associée soit à un aqueduc, soit à un égout.	La présence d'un possible service public dans une importante tranchée comblée de pierre concassée a bouleversé le sol de cet espace jusqu'à une profondeur importante, éliminant par le fait même toutes couches ayant pu présenter un intérêt pour l'archéologie.	Aucune recommandation n'est formulée quant à la poursuite de la recherche archéologique à cet endroit.
MTL09-23-1-9A	985	21,24	-	20,04	18,71	Le profil stratigraphique de ce forage se compose d'une couche d'asphalte déposée sur une dalle de béton en surface. Cette dalle repose sur un remblai de pierre concassée qui atteint la surface des sols naturels stériles, constituée d'un till d'ablation, à environ 1,20 m de profondeur sous le niveau actuel du terrain.	Les remblais et aménagements récents ont été déposés directement sur les sols naturels stériles.	Aucune recommandation n'est formulée quant à la poursuite de la recherche archéologique à cet endroit.
MTL09-23-1-9B	984	21,18	-	19,38	17,95	Le profil stratigraphique de ce forage se compose d'une couche d'asphalte en surface, reposant sur un remblai de pierre concassée. La surface des sols naturels stériles, constituée d'un till, a été atteinte à une profondeur variant de 1,80 m à 3,00 m sous le niveau actuel du terrain.	Les différentes couches ayant pu présenter un intérêt archéologique ont été éradiquées par des activités de dérasement et par le dépôt de divers remblais de rehaussement.	Aucune recommandation n'est formulée quant à la poursuite de la recherche archéologique à cet endroit.
MTL09-23-1-9C	986	21,38	-	20,18	20,08	Le profil stratigraphique de ce forage se compose d'une couche d'asphalte déposée sur une dalle de béton en surface qui repose à son tour sur un remblai de pierre concassée. La surface des sols naturels stériles, constituée d'un till, a été atteinte à une profondeur d'environ 1,20 m sous le niveau actuel du terrain.	Les activités récentes associées à la construction de la rue ont complètement éradiqué les couches ayant pu receler des traces d'occupations anciennes.	Aucune recommandation n'est formulée quant à la poursuite de la recherche archéologique à cet endroit.
MTL09-23-1-9D	850	21,11	-	20,50	16,43	Le profil stratigraphique de ce forage se compose d'une couche d'asphalte d'environ 0,10 m d'épaisseur en surface, reposant sur une succession de remblais de sable contenant des graviers. La surface des sols naturels stériles, constituée d'un till d'ablation, a été atteinte à une profondeur variant de 0,61 m à 1,22 m sous le niveau actuel du terrain.	Les activités récentes associées à la construction de la rue ont complètement éradiqué les couches ayant pu receler des traces d'occupations anciennes.	Aucune recommandation n'est formulée quant à la poursuite de la recherche archéologique à cet endroit.
MTL09-23-1-9E	990	21,67	-	21,06	20,09	Le profil stratigraphique de ce forage se compose d'une couche d'asphalte en surface, déposée sur un lit de pierre concassée qui repose à son tour sur un remblai sableux contenant des graviers. La surface des sols naturels stériles, constituée d'un till d'ablation, a été atteinte à une profondeur variant de 0,61 m à 1,22 m sous le niveau actuel du terrain.	Les activités récentes associées à la construction de la rue ont complètement éradiqué les couches ayant pu receler des traces d'occupations anciennes.	Aucune recommandation n'est formulée quant à la poursuite de la recherche archéologique à cet endroit.

Numéro d'identification archéologique	Numéro séquentiel	Niveau actuel du terrain (mètre NMM)	Niveau d'intérêt archéologique (mètre NMM)	Surface des sols naturels stériles (mètre NMM)	Niveau atteint (mètre NMM)	Description	Conclusion	Recommandations
MTL09-23-1-21A	913	20,08	-	17,68	16,02	Le profil stratigraphique de ce forage se compose de remblais successifs variant d'un sable limoneux à un sable argileux et contenant de la pierre concassée et quelques lentilles d'argile, principalement dans la partie inférieure. La surface des sols naturels stériles, constituée d'un till, a été atteinte sous ces remblais à une profondeur variant de 2,40 m à 3,60 m sous le niveau actuel du terrain.	Des activités de dérasements semblent avoir éradiqué toutes traces d'occupation dans ce secteur. D'imposantes couches de remblai ont été déposées par la suite.	Aucune recommandation n'est formulée quant à la poursuite de la recherche archéologique à cet endroit.
MTL09-23-1-21B	914	20,25	-	18,42	16,59	Le profil stratigraphique de ce forage se compose de remblais successifs variant entre sable et limon et contenant de la pierre concassée, des cailloux et des fragments de mortier. Ce qui apparaît comme la surface des sols naturels, constituée d'un limon brun marbré noir et parsemé de fragments de pierre de calcaire, a été atteint à une profondeur variant de 1,83 m à 2,44 m sous le niveau actuel du terrain. Les sols naturels sous-jacents s'apparentent à un till de fond.	Le sol naturel stérile repose directement sous les remblais de rehaussement. Le dérasement de cet espace rend le potentiel très improbable.	Aucune recommandation n'est formulée quant à la poursuite de la recherche archéologique à cet endroit.
MTL09-23-1-21C	706	21,58	-	20,97	19,54	Le profil stratigraphique de ce forage se compose d'une couche d'asphalte en surface, reposant sur un remblai de pierre concassée contenant quelques particules de brique. La surface des sols naturels stériles, constituée d'un till d'ablation, a été atteinte sous ce remblai à une profondeur variant de 0,61 m à 1,22 m sous le niveau actuel du terrain.	Le dérasement de cet espace jusqu'aux dépôts glaciaires a complètement éliminé le potentiel de mettre au jour des vestiges d'occupations anciennes.	Aucune recommandation n'est formulée quant à la poursuite de la recherche archéologique à cet endroit.
BiFj-28-2A	707	20,41	-	19,80	18,61	Le profil stratigraphique de ce forage se compose, en surface, de la dalle de béton du plancher du bâtiment de la Ville de Montréal, qui repose sur un remblai de sable contenant de la pierre concassée. La surface des sols naturels, constituée d'un till d'ablation, a été atteinte sous ce remblai à une profondeur variant de 0,61 m à 1,22 m sous le niveau actuel du terrain.	La construction du bâtiment de la Ville de Montréal semble avoir été réalisée sans intervention archéologique préalable malgré la présence du site archéologique BiFj-28.	Aucune recommandation n'est formulée quant à la poursuite de la recherche archéologique dans les limites de ce site, les contextes d'occupations anciennes ayant été éradiqués lors de la construction du bâtiment.
MTL09-23-1-21G	710	21,35	-	19,55	18,95	Le profil stratigraphique de ce forage se compose, en surface, de la dalle de béton de 0,20 m d'épaisseur du plancher du bâtiment de la Ville de Montréal. Cette dalle repose sur un mélange de fragments de béton et de pierre concassée. Ce mélange repose à son tour sur un remblai de sable limoneux et graveleux sous lequel a été atteinte la surface des sols naturels stériles, constituée d'un till, à une profondeur variant de 1,80 m à 2,40 m sous le niveau actuel du terrain.	Les divers remblais semblent associés à l'implantation du plancher en béton de ce bâtiment. Les couches ayant pu présenter un potentiel archéologique ont toutes été éliminées.	Aucune recommandation n'est formulée quant à la poursuite de la recherche archéologique à cet endroit.
MTL09-23-1-21H	711	21,02	-	20,42	18,62	Le profil stratigraphique de ce forage se compose, en surface, de la dalle de béton de 0,17 m d'épaisseur du plancher du bâtiment de la Ville de Montréal, reposant sur un lit de pierre concassée. La surface des sols naturels stériles, constituée d'un till d'ablation, a été atteinte sous ce remblai, à une profondeur variant de 0,60 m à 1,20 m sous le niveau actuel du terrain.	Les divers remblais semblent associés à l'implantation du plancher en béton de ce bâtiment. Les couches ayant pu présenter un potentiel archéologique ont toutes été éliminées.	Aucune recommandation n'est formulée quant à la poursuite de la recherche archéologique à cet endroit.
MTL09-23-1-21J	712	21,01	-	19,81	18,61	Le profil stratigraphique de ce forage se compose, en surface, de la dalle de béton du plancher du bâtiment de la Ville de Montréal, reposant sur un lit de pierre concassée. La surface des sols naturels stériles, constituée d'un till d'ablation, a été atteinte sous ce remblai, à une profondeur variant de 1,20 m à 1,80 m sous le niveau actuel du terrain.	Les divers remblais semblent associés à l'implantation du plancher en béton de ce bâtiment. Les couches ayant pu présenter un potentiel archéologique ont toutes été éliminées.	Aucune recommandation n'est formulée quant à la poursuite de la recherche archéologique à cet endroit.
MTL09-23-1-21K	713	20,68	-	20,08	18,28	Le profil stratigraphique de ce forage se compose, en surface, de la dalle de béton de 0,18 m d'épaisseur du plancher du bâtiment de la Ville de Montréal, reposant sur un lit de pierre concassée. La surface légèrement remaniée des sols naturels stériles, constituée d'un till d'ablation, a été atteinte sous ce remblai, à une profondeur d'environ 1,20 m sous le niveau actuel du terrain.	Les divers remblais semblent associés à l'implantation du plancher en béton de ce bâtiment. Les couches ayant pu présenter un potentiel archéologique ont toutes été éliminées.	Aucune recommandation n'est formulée quant à la poursuite de la recherche archéologique à cet endroit.
BiFj-28-2B	714	20,65	-	20,05	18,38	Le profil stratigraphique de ce forage se compose, en surface, de la dalle de béton du plancher du bâtiment de la Ville de Montréal, reposant sur un lit de pierre concassée. La surface des sols naturels stériles, constituée d'un till d'ablation, a été atteinte sous ce remblai, à une profondeur variant de 0,60 m à 1,20 m sous le niveau actuel du terrain.	La construction du bâtiment de la Ville de Montréal semble avoir été réalisée sans intervention archéologique préalable malgré la présence du site archéologique BiFj-28.	Aucune recommandation n'est formulée quant à la poursuite de la recherche archéologique dans les limites de ce site, les contextes d'occupations anciennes ayant été éradiqués lors de la construction du bâtiment.

Numéro d'identification archéologique	Numéro séquentiel	Niveau actuel du terrain (mètre NMM)	Niveau d'intérêt archéologique (mètre NMM)	Surface des sols naturels stériles (mètre NMM)	Niveau atteint (mètre NMM)	Description	Conclusion	Recommandations
BiFj-28-2C	715	20,66	-	18,86	17,06	Le profil stratigraphique de ce forage se compose, en surface, de la dalle de béton du plancher du bâtiment de la Ville de Montréal, reposant sur un remblai de pierre concassée. Sous ce remblai apparaît une succession de remblais de sable et de pierre concassée qui reposent sur la surface des sols naturels stériles. Cette surface, vraisemblablement constituée d'un till d'ablation, a été atteinte à une profondeur variant de 1,80 m à 2,40 m sous le niveau actuel du terrain.	La construction du bâtiment de la Ville de Montréal semble avoir été réalisée sans intervention archéologique préalable malgré la présence du site archéologique BiFj-28.	Aucune recommandation n'est formulée quant à la poursuite de la recherche archéologique dans les limites de ce site, les contextes d'occupations anciennes ayant été éradiqués lors de la construction du bâtiment.
MTL09-23-1-21N	915	23,04	-	19,38	15,72	Le profil stratigraphique de ce forage se compose de la surface asphaltée de la rampe d'accès de l'écocentre de la Ville de Montréal, qui repose sur un lit de pierre concassée. Sous ce lit de pierre, on trouve un épais remblai de sable contenant des fragments de béton, d'asphalte et de brique reposant sur la surface des sols naturels stériles. Cette surface, constituée d'un till, a été atteinte à une profondeur variant de 3,66 m à 4,27 m sous le niveau actuel du terrain.	Divers remblais de rehaussement ont été déposés directement sur le sol naturel dérasé. Aucun potentiel archéologique ne subsiste à cet endroit.	Aucune recommandation n'est formulée quant à la poursuite de la recherche archéologique à cet endroit.
MTL09-23-1-21P	916	22,92	-	19,26	16,74	Le profil stratigraphique de ce forage se compose de la surface asphaltée de la rampe d'accès de l'écocentre de la Ville de Montréal, qui repose sur un lit de pierre concassée. Sous ce lit de pierre, on trouve un épais remblai de rehaussement composé de sable limoneux contenant des graviers et des cailloux. Ce dernier repose directement sur la surface des sols naturels stériles, constituée d'un till d'ablation et atteinte à une profondeur variant de 3,05 m à 3,66 m sous le niveau actuel du terrain.	Divers remblais de rehaussement ont été déposés directement sur le sol naturel dérasé. Aucun potentiel archéologique ne subsiste à cet endroit.	Aucune recommandation n'est formulée quant à la poursuite de la recherche archéologique à cet endroit.
MTL09-23-1-21Q	917	23,07	-	20,63	17,91	Le profil stratigraphique de ce forage se compose de la surface asphaltée de la rampe d'accès de l'écocentre de la Ville de Montréal, qui repose sur un lit de pierre concassée. Sous ce lit de pierre, on trouve un remblai de limon sableux contenant des graviers et des cailloux, ainsi que des fragments de charbon minéral. La surface des sols naturels stériles, constituée d'un till d'ablation, a été atteinte sous ce limon, à une profondeur variant de 2,44 m à 2,83 m sous le niveau actuel du terrain.	Divers remblais de rehaussement ont été déposés directement sur le sol naturel dérasé. Aucun potentiel archéologique ne subsiste à cet endroit.	Aucune recommandation n'est formulée quant à la poursuite de la recherche archéologique à cet endroit.
MTL09-23-1-21R	918	21,25	-	19,42	17,31	Le profil stratigraphique de ce forage, réalisé dans la partie basse du terrain de l'écocentre de la Ville de Montréal, où se trouvent les conteneurs, se compose d'une couche de pierre concassée en surface. Sous cette dernière, on trouve un remblai de sable limoneux contenant des graviers ainsi que des fragments de béton et de bois en décomposition. La surface des sols naturels stériles, constituée d'un till d'ablation, a été atteinte sous ce remblai, à une profondeur variant de 1,83 m à 2,44 m sous le niveau actuel du terrain.	Les travaux d'aménagement de l'écocentre ont fortement bouleversé les sols en place. Aucun potentiel de mettre au jour des traces d'occupations anciennes ne subsiste à cet endroit.	Aucune recommandation n'est formulée quant à la poursuite de la recherche archéologique à cet endroit.
MTL09-23-1-21S	919	21,22	-	20,00	17,66	Le profil stratigraphique de ce forage, réalisé dans la partie basse du terrain de l'écocentre de la Ville de Montréal, où se trouvent les conteneurs, se compose d'un remblai de sable limoneux contenant beaucoup d'inclusions : gravier, cailloux et fragments de polystyrène. La surface des sols naturels stériles, constituée d'un till d'ablation, a été atteinte sous ce remblai, à une profondeur variant de 1,22 m à 1,83 m sous le niveau actuel du terrain.	Les travaux d'aménagement de l'écocentre ont fortement bouleversé les sols en place. Aucun potentiel de mettre au jour des traces d'occupations anciennes ne subsiste à cet endroit.	Aucune recommandation n'est formulée quant à la poursuite de la recherche archéologique à cet endroit.

opération 8E, les remblais reposent directement sur des dépôts glaciaires constitués de till d'ablation ou de till de fond. Cette particularité suggère que d'importants travaux d'excavation ont été réalisés sur ce terrain, entraînant le décapage des niveaux de surface des sols naturels stériles ainsi que les niveaux anciens d'occupation, autant historique que préhistorique. L'aménagement de l'autoroute 15 au cours des années 1960 et celui d'un éco-centre de la Ville de Montréal par la suite ont sans aucun doute participé à ces bouleversements.

En ce qui a trait à la sous-opération 8E, la partie supérieure de son profil stratigraphique se compose d'une succession de remblais de sable limoneux contenant des fragments de brique et reposant sur une couche de pierre concassée. Ces niveaux correspondent aux aménagements réalisés depuis les années 1960. Sous la pierre concassée, à une altitude de 20,09 m (NMM), on trouve un limon sableux légèrement organique d'environ 0,20 m d'épaisseur dans lequel un fragment de céramique en terre cuite grossière a été observé. Ce limon qui forme la surface de l'horizon organique du sol naturel repose sur un till d'ablation (photo 24). Selon le plan de H. S. Sitwell de 1865-1871, l'espace occupé par la zone à potentiel archéologique H6-3 comporte très peu de bâtiments, lesquels ont principalement été aménagés dans la partie ouest (plan 11). L'emplacement de la sous-opération 8E correspond à celui d'un lot sur lequel un seul petit bâtiment a été érigé vers la fin du XIX<sup>e</sup> siècle (figure 5). Ce dernier semble avoir été intégré par la suite à un ensemble de bâtiments commerciaux (« *Wood Yard* ») qui a probablement subsisté jusqu'à la construction de l'autoroute 15 dans les années 1960 (plan 10).

### **2.8.7 Discussion et recommandation**

Dans l'étude de potentiel, il a été recommandé de réaliser un inventaire archéologique au moyen d'un minimum de cinq tranchées de 2 m par 10 m excavées mécaniquement (Ethnoscop 2008a). À partir des résultats de la surveillance archéologique des forages et des tranchées, cette recommandation est rejetée. En effet, la presque totalité des interventions archéologiques réalisées dans les limites de la zone à potentiel historique H6-3, correspondant par le fait même à une portion de la zone à potentiel préhistorique P3, témoigne d'importants bouleversements répartis sur l'ensemble de la zone. Seul l'emplacement de la sous-opération 8E conserve des traces de la surface de l'horizon organique du sol naturel où les premiers occupants humains ont pu s'installer. La probabilité de mettre au jour des vestiges archéologiques à cet endroit est très faible.

En ce qui a trait au site archéologique BiFj-28, les recommandations sont identiques à celles émises pour le reste de la zone à potentiel. En effet la construction du bâtiment aura vraisemblablement éradiqué toutes traces des occupations anciennes à cet endroit.

## **2.9 Zone à potentiel archéologique historique H6-4**

La zone H6-4 se trouve dans le quadrilatère formé par les rues Cabot, Angers, De Roberval et la limite est de la voie d'accès au tunnel Saint-Rémi (plan 12). Selon l'examen de la cartographie ancienne, aucun bâtiment ne semble avoir été présent dans ce quadrilatère avant le début du XX<sup>e</sup> siècle (Ethnoscop, 2008a : plans 22 à 26). À cette époque, le côté



Photo 23 : Profil stratigraphique type de la zone à potentiel historique H6-3, direction nord-est (MTL09-23-1-NUM3-23)

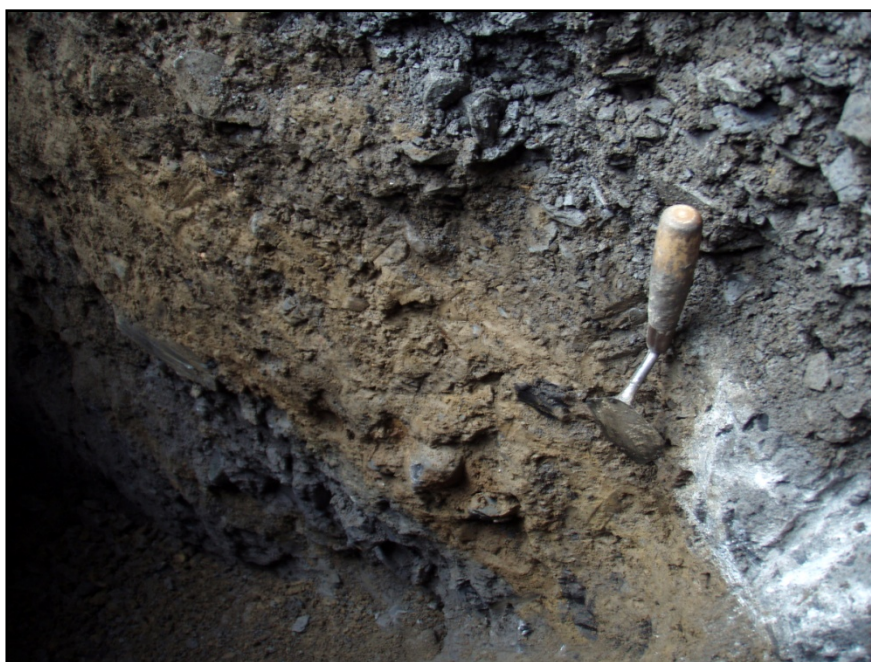


Photo 24 : Horizon organique remanié dans la sous-opération MTL09-23-1-8E (à la hauteur de la truelle), direction sud-est (MTL09-23-1-NUM3-29)



COMPLEXE TURCOT

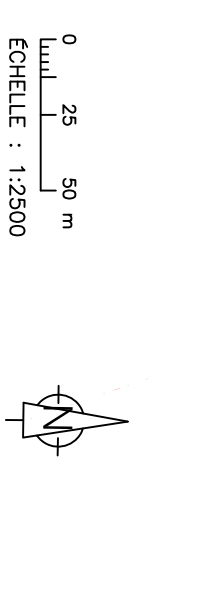
SURVEILLANCE ARCHÉOLOGIQUE  
 MTL09-23-1 ET Bifj-28

SUPERPOSITION DU PLAN DE H. S.  
 SITWELL DE 1865-1871 SUR LE PLAN  
 ACTUEL

SECTEUR À POTENTIEL ARCHÉOLOGIQUE  
 HISTORIQUE H6-OUEST

PLAN 11

- LIMITE DE SECTEUR
- NUMÉRO DE SECTEUR
- TUNNEL SAINT-RÉMI
- ZONE À POTENTIEL ARCHÉOLOGIQUE
- NUMÉRO DE ZONE
- FORAGE POSITIF
- FORAGE NÉGATIF
- TRANCHÉE POSITIVE
- TRANCHÉE NÉGATIVE
- NUMÉRO DE SOUS-OPERATION
- SITE ARCHÉOLOGIQUE RECENTÉ
- CODE BORDEN
- CODE DE PARCS CANADA



SOURCES :

- Cartes électroniques, ministère des Transports du Québec, fichiers Turcot-TN-Ouest-2D.dwg, L016886-TN-Turcot.dwg et 31he3631\_carto.dwg
- Informations archéologiques, Ville de Montréal, fichiers canparc.dwg et feuillets nos 31H05-010-3229, 3330, 3331, 3533, 3534, 3633, 3634, 3732, 3734 et 3834
- Informations archéologiques, Parcs Canada, fichiers 613G-4A et 4B.dwg, 1998-170G-01.dwg, 1998-176G-01.dwg, 1995-172G-01.dwg et 98-600G-3.dwg
- Ethnoscop 2008a

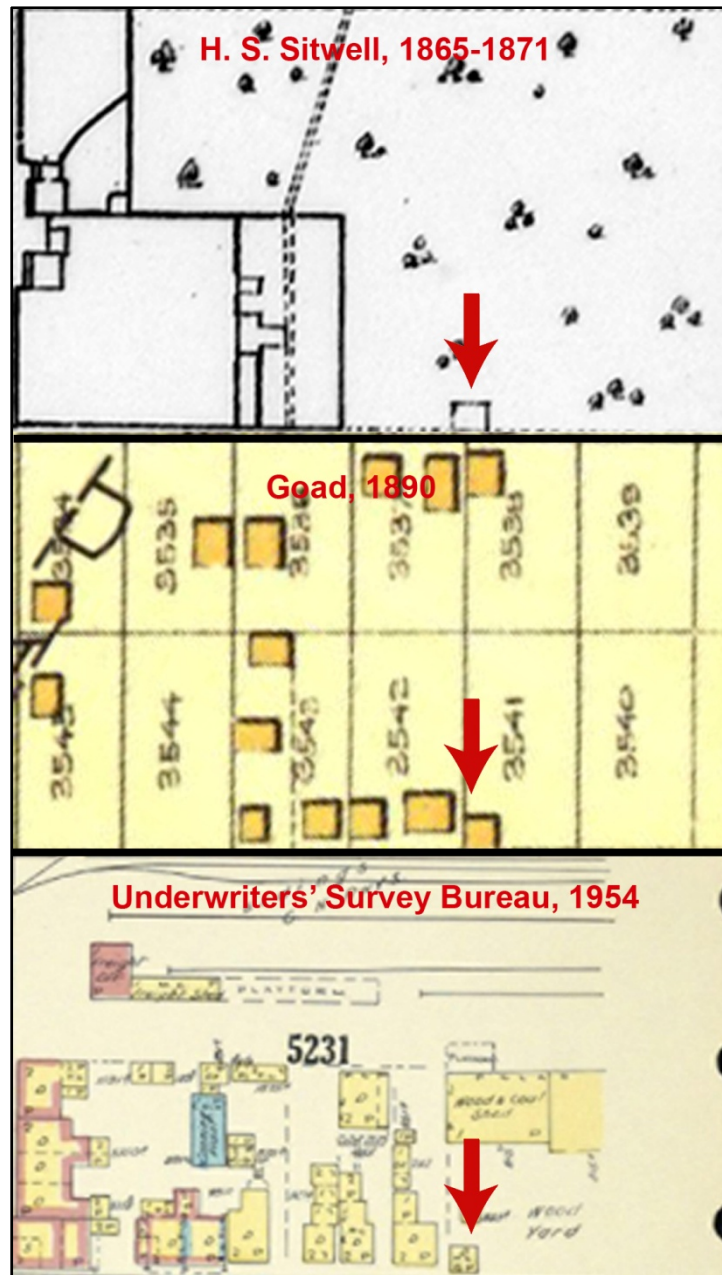
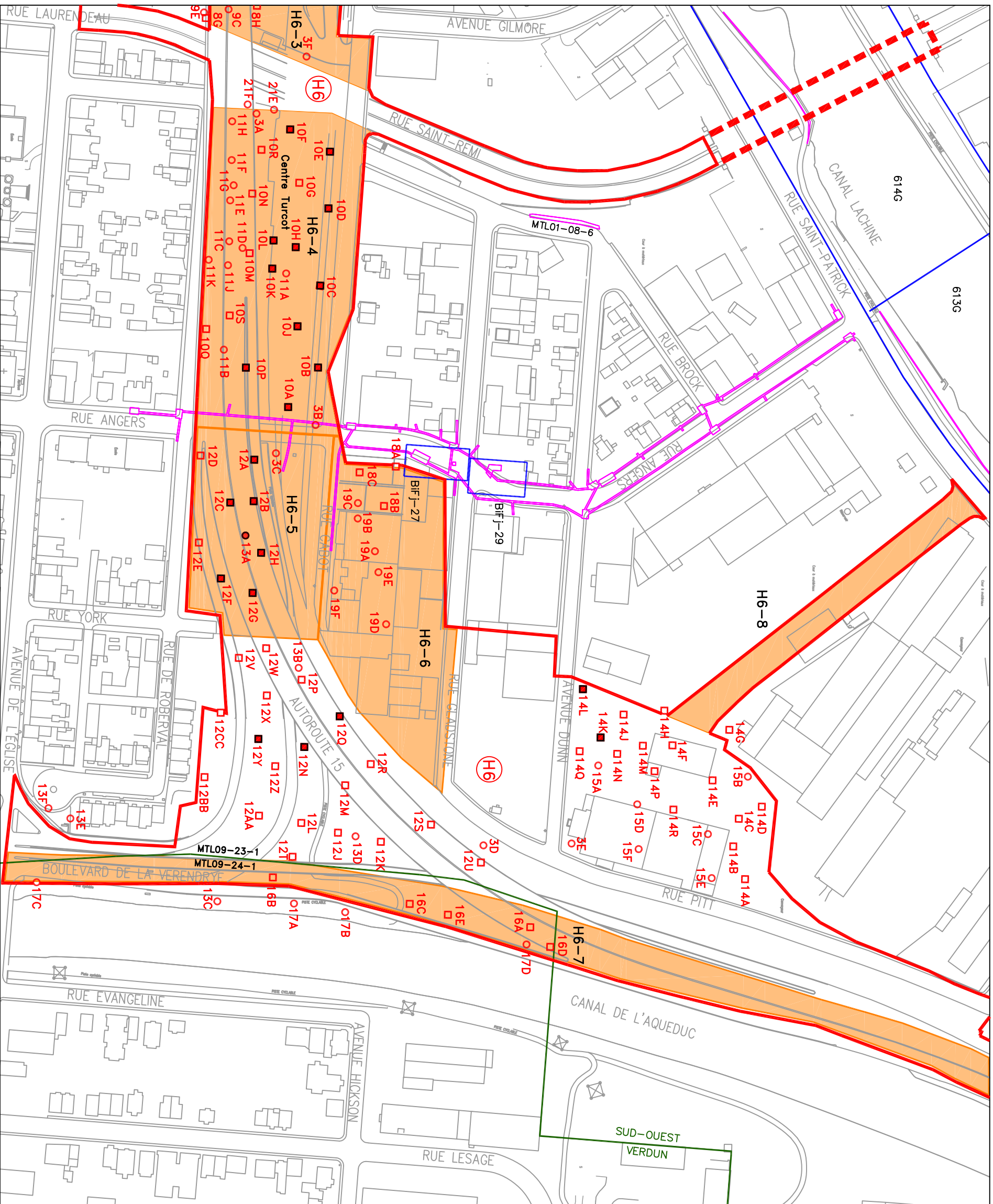


Figure 5 : Extrait des plans de H. S. Sitwell de 1865-1871, de Goad de 1890 et du Underwriters' Survey Bureau de 1954 illustrant l'emplacement d'un petit bâtiment dans la zone à potentiel H6-3



COMPLEXE TURCOT  
 SURVEILLANCE ARCHÉOLOGIQUE  
 MTL09-23-1 ET MTL09-24-1  
 ZONES À POTENTIEL ARCHÉOLOGIQUE  
 HISTORIQUE H6-4, H6-5, H6-6, H6-7  
 ET H6-8  
 SECTEUR À POTENTIEL ARCHÉOLOGIQUE  
 HISTORIQUE H6-EST  
 PLAN 12

- LIMITE DE SECTEUR
- NUMÉRO DE SECTEUR</

nord de la zone est occupé par la gare de chemin de fer de Côte-Saint-Paul (Ethnoscop, 2008a : figure 19-4). Quelques édifices plus imposants sont présents au sud-est et au sud-ouest au cours du XX<sup>e</sup> siècle (Ethnoscop, 2008a : plans 27 à 30), mais ils ont été démolis au moment de la construction de l'autoroute 15. La totalité de la zone H6-4 est actuellement occupée par un centre de services du ministère des Transports du Québec (Ethnoscop, 2008a : tableau 4).

### **2.9.1 Sous-opérations MTL09-23-1-3A et 3B**

Ces deux sous-opérations correspondent à l'emplacement de forages effectués le 4 mai 2009. La première a été effectuée dans le coin sud-ouest de la zone, tandis que la seconde a été réalisée dans le coin nord-est (plan 12).

### **2.9.2 Sous-opérations MTL09-23-1-10A à 10S**

Les emplacements de ces 17 sous-opérations correspondent à ceux de forages réalisés du 28 mai au 1<sup>er</sup> juin 2009, sur la grande majorité de la superficie de la zone à potentiel archéologique H6-4 (photo 25). Cet espace correspond à l'aire de circulation située au nord de l'autoroute 15 et à une aire de stationnement située sous cette autoroute (plan 12).



Photo 25 : Sous-opération MTL09-23-1-10B dans la zone à potentiel historique H6-4, direction ouest (MTL09-23-1-NUM3-36)

### **2.9.3 Sous-opérations MTL09-23-1-11A à 11K**

Ces 10 sous-opérations sont associées à l'emplacement de forages effectués entre le 5 et le 10 juin 2009, dans la partie sud de la zone à potentiel archéologique H6-4. La presque totalité de ces sous-opérations a été réalisée dans le garage du centre Turcot; quelques autres l'ont été à l'extérieur des bâtiments (plan 12).

### **2.9.4 Sous-opérations MTL09-23-1-21E et 21F**

L'emplacement de ces deux sous-opérations correspond à celui de forages réalisés le 17 août 2009, à l'extrémité ouest de la zone à potentiel archéologique H6-4 (plan 12).

### **2.9.5 Résultats**

L'analyse des résultats des interventions archéologiques réalisées dans les limites de la zone à potentiel archéologique H6-4 a permis de la diviser en deux parties (tableau 9) : la partie sud, située sous une ligne imaginaire réunissant les sous-opérations 21E, 10R, 10N, 10M, 10S et 11B (plan 12), et la partie nord, localisée au nord de cette même ligne imaginaire. La partie sud comprend essentiellement l'emplacement du garage du centre de services du MTQ, situé sous le tablier de l'autoroute 15, alors que la partie nord se trouve dans le terrain de stationnement et l'aire d'entreposage du même centre.

#### **2.9.5.1 Partie sud**

Des 17 interventions archéologiques réalisées dans la partie sud de la zone H6-4, 15 sont des forages et 5 des sondages exploratoires. Treize des forages ont été effectués à l'intérieur du garage du centre de services du MTQ, alors que les autres forages et les sondages ont été répartis sur le pourtour extérieur du bâtiment. Les profils stratigraphiques enregistrés au cours des forages à l'intérieur du bâtiment se composent principalement d'un revêtement de surface en asphalte ou en béton reposant sur un lit de pierre concassée. Sous ce lit de pierre, on trouve habituellement un remblai de sable limoneux contenant des fragments de brique et de la pierre concassée. La mise en place de ce remblai est associée soit à la construction de l'autoroute 15 dans les années 1960, soit à l'aménagement plus récent du centre de services du MTQ. Le remblai repose directement sur un till d'ablation qui forme la surface des sols naturels stériles.

Les résultats des sondages effectués le long de la façade nord du garage du MTQ ont permis de confirmer la présence de profils stratigraphiques semblables aux précédents (photo 26). La partie sud de la zone à potentiel archéologique H6-4 a donc subi des perturbations en profondeur qui ont éradiqué la totalité des niveaux anciens d'occupation. Cela est particulièrement flagrant dans la sous-opération 10M, où une structure en béton a été mise au jour à environ 2,80 m sous le niveau actuel du terrain. Cette structure est apparemment liée à l'un des piliers qui supportent le tablier de l'autoroute 15.

Par ailleurs, la sous-opération 10S, localisée immédiatement à l'est du bâtiment du MTQ (photo 27), présente un profil stratigraphique différent qui se compose, en surface, de

**Tableau 9 : Synthèse des résultats de la surveillance archéologique dans la zone à potentiel archéologique historique H6-4**

Numéro d'identification archéologique	Numéro séquentiel	Niveau actuel du terrain (mètre NMM)	Niveau d'intérêt archéologique (mètre NMM)	Surface des sols naturels stériles (mètre NMM)	Niveau atteint (mètre NMM)	Description	Discussion	Recommandations
MTL09-23-1-3A	831	22,01	-	19,37	16,96	Le profil stratigraphique de ce forage se compose d'une mince couche d'asphalte en surface, suivie d'une succession de remblais divers composés principalement de sable parfois argileux contenant des graviers et des particules de brique. La surface des sols naturels stériles, constituée d'un till, a été atteinte sous ces remblais, à une profondeur d'environ 2,64 m à 3,25 m sous le niveau actuel du terrain.	Le dérasement des sols naturels jusqu'aux dépôts glaciaires aura complètement éradiqué le potentiel de mettre au jour des vestiges d'occupation.	Aucune recommandation n'est formulée quant à la poursuite de la recherche archéologique à cet endroit.
MTL09-23-1-3B	832	21,68	-	20,92	18,12	Le profil stratigraphique de ce forage se compose, à partir de la surface, de remblais sableux contenant des graviers et reposant directement sur la surface des sols naturels stériles. Cette surface est constituée d'un sable très fin, limoneux, brun jaunâtre contenant quelques graviers subanguleux et subarrondis. Elle apparaît à une profondeur variant de 0,76 m à 1,37 m sous le niveau actuel du terrain.	Les sols naturels ont été dérasés et toutes couches ayant pu présenter un intérêt archéologique ont été éliminées.	Aucune recommandation n'est formulée quant à la poursuite de la recherche archéologique à cet endroit.
MTL09-23-1-10A	758	21,78	20,83	20,58	18,78	Le profil stratigraphique de cette tranchée se compose, à partir de la surface, d'une succession de remblais de sable et de gravier d'origine récente, contenant différents types d'inclusions : fils métalliques, fragments de brique et de charbon minéral, scories, bois et pièces de métal corrodées. Ce qui apparaît comme la surface remaniée des sols naturels, constituée d'une argile limoneuse gris brunâtre meuble contenant de rares fragments de charbon de bois et quelques radicelles, a été atteint à environ 0,95 m de profondeur sous le niveau actuel du terrain. D'une épaisseur de 0,25 m, cette couche repose sur un limon sableux et graveleux jaunâtre qui compose un sol naturel stérile.	La présence d'une argile limoneuse remaniée en surface des sols naturels laisse entrevoir la probabilité de mettre au jour des vestiges d'une occupation historique remontant à la deuxième moitié du XIX <sup>e</sup> siècle, et même d'une occupation préhistorique associée à la présence de la zone à potentiel préhistorique P3.	Il est donc recommandé d'effectuer un inventaire archéologique au moyen de tranchées excavées mécaniquement, comme proposé dans le plan d'intervention. L'emplacement de ces tranchées sera établi en fonction des autres sous-opérations de la partie nord de la zone H6-4 qui ont donné des résultats semblables.
MTL09-23-1-10B	753	21,36	20,71	20,56	19,16	Le profil stratigraphique de cette tranchée se compose, à partir de la surface, d'un remblai de pierre concassée et de sable argileux contenant des fragments de brique et de mortier, le tout reposant sur une couche de scories et de pièces de métal corrodées qui a une épaisseur de 0,25 m. La surface remaniée des sols naturels, constituée d'une argile limoneuse contenant des graviers subarrondis, est ensuite atteinte à une profondeur de 0,65 m sous le niveau actuel du terrain. D'une épaisseur de 0,15 m, elle repose sur un till d'ablation qui apparaît à une profondeur de 0,90 m.	La présence d'une argile limoneuse remaniée en surface des sols naturels laisse entrevoir la probabilité de mettre au jour des vestiges d'une occupation historique remontant à la deuxième moitié du XIX <sup>e</sup> siècle, et même d'une occupation préhistorique associée à la présence de la zone à potentiel préhistorique P3.	Il est donc recommandé d'effectuer un inventaire archéologique au moyen de tranchées excavées mécaniquement, comme proposé dans le plan d'intervention. L'emplacement de ces tranchées sera établi en fonction des autres sous-opérations de la partie nord de la zone H6-4 qui ont donné des résultats semblables.
MTL09-23-1-10C	752	21,64	20,94	20,69	19,24	Le profil stratigraphique de cette tranchée se compose, à partir de la surface, d'une succession de remblais d'origine récente d'une épaisseur totale de 0,70 m, composés de pierre concassée et de sable graveleux contenant des fragments de brique, de mortier, de charbon minéral ainsi que des scories et de la cendre. La surface remaniée des sols naturels, constituée d'un limon argileux brun grisâtre contenant quelques graviers subarrondis, a été atteinte sous ces remblais. D'une épaisseur de 0,25 m, elle repose sur un till d'ablation qui correspond au sol naturel stérile.	La présence d'un limon argileux remanié en surface des sols naturels laisse entrevoir la probabilité de mettre au jour des vestiges d'une occupation historique remontant à la deuxième moitié du XIX <sup>e</sup> siècle, et même d'une occupation préhistorique associée à la présence de la zone à potentiel préhistorique P3.	Il est donc recommandé d'effectuer un inventaire archéologique au moyen de tranchées excavées mécaniquement, comme proposé dans le plan d'intervention. L'emplacement de ces tranchées sera établi en fonction des autres sous-opérations de la partie nord de la zone H6-4 qui ont donné des résultats semblables.
MTL09-23-1-10D	751	21,64	20,99	20,89	19,34	Le profil stratigraphique de cette tranchée se compose d'une couche de pierre concassée en surface, reposant sur un mélange de déchets industriels : sable, scories broyées et fragments de charbon minéral. La surface remaniée des sols naturels, constituée d'environ 10 centimètres de limon légèrement argileux brun grisâtre contenant des traces de sable grossier et de matière végétale ainsi que quelques racines, apparaît sous ces déchets à environ 0,65 m de profondeur sous le niveau actuel du terrain. Elle repose sur un limon sableux brun grisâtre à verdâtre, stérile, contenant des graviers, des cailloux et des pierres.	La présence d'un limon légèrement argileux remanié en surface des sols naturels laisse entrevoir la probabilité de mettre au jour des vestiges d'une occupation historique remontant à la deuxième moitié du XIX <sup>e</sup> siècle, et même d'une occupation préhistorique associée à la présence de la zone à potentiel préhistorique P3.	Il est donc recommandé d'effectuer un inventaire archéologique au moyen de tranchées excavées mécaniquement, comme proposé dans le plan d'intervention. L'emplacement de ces tranchées sera établi en fonction des autres sous-opérations de la partie nord de la zone H6-4 qui ont donné des résultats semblables.
MTL09-23-1-10E	742	21,82	20,97	20,52	19,22	Le profil stratigraphique de cette tranchée se compose de remblais, variant de la pierre concassée en surface à une succession de sables limoneux contenant des graviers, des fragments de charbon minéral et de brique ainsi que des pièces de métal et des scories. La surface remaniée des sols naturels, constituée d'un limon argileux brun grisâtre, a été atteinte à environ 0,85 m de profondeur sous le niveau actuel du terrain. D'une épaisseur de 0,45 m, elle repose sur une mince couche d'argile limoneuse gris verdâtre qui correspond au sol naturel stérile.	La présence d'un limon argileux remanié en surface des sols naturels laisse entrevoir la probabilité de mettre au jour des vestiges d'une occupation historique remontant à la deuxième moitié du XIX <sup>e</sup> siècle, et même d'une occupation préhistorique associée à la présence de la zone à potentiel préhistorique P3.	Il est donc recommandé d'effectuer un inventaire archéologique au moyen de tranchées excavées mécaniquement, comme proposé dans le plan d'intervention. L'emplacement de ces tranchées sera établi en fonction des autres sous-opérations de la partie nord de la zone H6-4 qui ont donné des résultats semblables.

Numéro d'identification archéologique	Numéro séquentiel	Niveau actuel du terrain (mètre NMM)	Niveau d'intérêt archéologique (mètre NMM)	Surface des sols naturels stériles (mètre NMM)	Niveau atteint (mètre NMM)	Description	Conclusion	Recommandations
MTL09-23-1-10F	754	21,80	20,85	20,55	18,90	Le profil stratigraphique de cette tranchée se compose d'une couche de 0,50 m d'épaisseur de pierre concassée en surface, reposant sur un mélange de scories broyées et de fragments de charbon minéral et de brique, ainsi que de quelques fils de fer. Sous ces débris, on trouve un remblai de sable graveleux brun orangé, de 0,45 m d'épaisseur, dont les éléments lithiques sont arrondis à subarrondis. Ce remblai repose sur la surface remaniée des sols naturels, constituée d'un limon argileux brun grisâtre homogène, contenant de rares cailloux subarrondis et quelques petites lentilles allongées de limon gris pâle disposées à l'horizontale. D'une épaisseur de 0,30 m, ce limon repose sur une argile limoneuse verdâtre qui correspond au sol naturel stérile.	La présence d'un limon argileux remanié en surface des sols naturels laisse entrevoir la probabilité de mettre au jour des vestiges d'une occupation historique remontant à la deuxième moitié du XIX <sup>e</sup> siècle, et même d'une occupation préhistorique associée à la présence de la zone à potentiel préhistorique P3.	Il est donc recommandé d'effectuer un inventaire archéologique au moyen de tranchées excavées mécaniquement, comme proposé dans le plan d'intervention. L'emplacement de ces tranchées sera établi en fonction des autres sous-opérations de la partie nord de la zone H6-4 qui ont donné des résultats semblables.
MTL09-23-1-10G	755	21,76	-	20,06	19,26	Le profil stratigraphique de cette tranchée se compose d'une couche de pierre concassée de 0,60 m d'épaisseur en surface, reposant sur un mélange de scories, de charbon minéral et de gravier anguleux. Ces débris reposent, à environ 0,90 m de profondeur sous le niveau actuel du terrain, sur un remblai sablo-graveleux orangé contenant quelques coquillages de type huitre. Sous ce remblai, on trouve un mélange de sable et de limon gris noirâtre contenant des fragments de pierre de calcaire partiellement calcinés, de verre et de bois, ainsi que des scories et des lambeaux de tissu, à environ 1,50 m de profondeur. La surface des sols naturels stériles, constituée d'une couche de tourbe contenant de petits fragments de bois, a été atteinte à environ 1,70 m de profondeur sous le niveau actuel du terrain. La tourbe repose sur un niveau de marne, et un till apparaît à environ 2,40 m de profondeur.	Les couches observées dans cette tranchée témoignent de la présence d'une petite zone marécageuse visible sur le plan de Sitwell de 1870 (plan 11) et comblée de remblais lors des périodes récentes (fin XIX <sup>e</sup> et XX <sup>e</sup> siècles). Il s'agit du seul endroit de ce secteur où une couche de marne a été observée. Ce type de couche s'accumule sur une longue période de temps et il semble possible de la faire correspondre au moment où l'espace était encore sous les eaux, soit possiblement entre la fin de l'épisode du lac Lampsilis et le début de la phase du lac à la Loure.	Aucune recommandation n'est formulée quant à la poursuite de la recherche archéologique à cet endroit.
MTL09-23-1-10H	756	21,82	20,77	20,52	18,92	Le profil stratigraphique de cette tranchée se compose d'une couche de pierre concassée de 0,40 m d'épaisseur en surface, reposant sur un remblai constitué d'un mélange de pierres de calcaire partiellement calcinées, de scories, de fragments de charbon minéral et de cendre, d'une épaisseur de 0,40 m. Ce mélange repose sur un remblai de sable graveleux orangé, contenant plusieurs graviers et cailloux arrondis et subarrondis ainsi que des fragments de coquillages de type huitre. La surface remaniée des sols naturels, composée d'un limon argileux brun foncé à noirâtre contenant quelques fragments anguleux de pierre de calcaire, a par la suite été atteinte à environ 1,05 m de profondeur sous le niveau actuel du terrain. Elle repose sur une argile sableuse verdâtre contenant de rares petits graviers anguleux, qui correspond au sol naturel stérile.	La présence d'un limon argileux remanié en surface des sols naturels laisse entrevoir la probabilité de mettre au jour des vestiges d'une occupation historique remontant à la deuxième moitié du XIX <sup>e</sup> siècle, et même d'une occupation préhistorique associée à la présence de la zone à potentiel préhistorique P3.	Il est donc recommandé d'effectuer un inventaire archéologique au moyen de tranchées excavées mécaniquement, comme proposé dans le plan d'intervention. L'emplacement de ces tranchées sera établi en fonction des autres sous-opérations de la partie nord de la zone H6-4 qui ont donné des résultats semblables.
MTL09-23-1-10J	757	21,81	20,96	20,66	19,01	Le profil stratigraphique de cette tranchée se compose d'une couche de pierre concassée de 0,50 m d'épaisseur en surface, reposant sur un remblai composé de débris industriels (scories, charbon minéral et cendre) dégagés sur une épaisseur de 0,10 m. Ce remblai repose sur un sable graveleux brun orangé qui couvre la surface remaniée des sols naturels. Celle-ci est composée de limon argileux brun grisâtre contenant quelques rares graviers subarrondis et qui se trouve à environ 0,85 m de profondeur sous le niveau actuel du terrain. Sous cette dernière, à environ 1,15 m de profondeur, apparaît un till d'ablation qui correspond au sol naturel stérile.	La présence d'un limon argileux remanié en surface des sols naturels laisse entrevoir la probabilité de mettre au jour des vestiges d'une occupation historique remontant à la deuxième moitié du XIX <sup>e</sup> siècle, et même d'une occupation préhistorique associée à la présence de la zone à potentiel préhistorique P3.	Il est donc recommandé d'effectuer un inventaire archéologique au moyen de tranchées excavées mécaniquement, comme proposé dans le plan d'intervention. L'emplacement de ces tranchées sera établi en fonction des autres sous-opérations de la partie nord de la zone H6-4 qui ont donné des résultats semblables.
MTL09-23-1-10K	746	21,88	20,83	20,63	19,08	Le profil stratigraphique de cette tranchée se compose d'une couche de pierre concassée en surface, qui couvre, dans la partie ouest, un remblai de 0,50 m d'épaisseur, alors que dans la partie est, elle fait place à un sable mélangé à de petits fragments de pierre de calcaire partiellement calcinés, de scories, de charbon minéral et de bois. On y note également la présence de morceaux de plastique. Ce sable mélangé à des débris se retrouve aussi sous le remblai de la partie ouest. La surface des sols naturels, constituée d'un limon argileux brun grisâtre, a été atteinte sous ce sable et ses débris, à une profondeur de 1,05 m sous le niveau actuel du terrain. Elle repose sur un till d'ablation à 1,25 m sous la surface actuelle.	La présence d'un limon argileux remanié en surface des sols naturels laisse entrevoir la probabilité de mettre au jour des vestiges d'une occupation historique remontant à la deuxième moitié du XIX <sup>e</sup> siècle, et même d'une occupation préhistorique associée à la présence de la zone à potentiel préhistorique P3.	Il est donc recommandé d'effectuer un inventaire archéologique au moyen de tranchées excavées mécaniquement, comme proposé dans le plan d'intervention. L'emplacement de ces tranchées sera établi en fonction des autres sous-opérations de la partie nord de la zone H6-4 qui ont donné des résultats semblables.
MTL09-23-1-10L	745	21,85	20,90	20,75	19,05	Le profil stratigraphique de cette tranchée se compose d'une couche de pierre concassée en surface, reposant sur un remblai de résidus industriels : scories, charbon minéral, pierres de calcaire partiellement calcinées et bois. La surface remaniée des sols naturels, constituée d'un limon argileux brun beigeâtre d'une épaisseur d'environ 0,10 m et contenant quelques graviers, a été atteinte à environ 0,95 m de profondeur sous le niveau actuel du terrain. Elle repose sur ce qui apparaît comme la partie inférieure de la surface des sols naturels, composée d'un limon argileux gris beigeâtre contenant de rares graviers et d'une épaisseur de 0,15 m. Le tout repose sur un till d'ablation qui correspond à un sol naturel stérile à environ 1,20 m de profondeur.	La présence d'un limon argileux remanié en surface des sols naturels laisse entrevoir la probabilité de mettre au jour des vestiges d'une occupation historique remontant à la deuxième moitié du XIX <sup>e</sup> siècle, et même d'une occupation préhistorique associée à la présence de la zone à potentiel préhistorique P3.	Il est donc recommandé d'effectuer un inventaire archéologique au moyen de tranchées excavées mécaniquement, comme proposé dans le plan d'intervention. L'emplacement de ces tranchées sera établi en fonction des autres sous-opérations de la partie nord de la zone H6-4 qui ont donné des résultats semblables.

Numéro d'identification archéologique	Numéro séquentiel	Niveau actuel du terrain (mètre NMM)	Niveau d'intérêt archéologique (mètre NMM)	Surface des sols naturels stériles (mètre NMM)	Niveau atteint (mètre NMM)	Description	Conclusion	Recommandations
MTL09-23-1-10M	748	21,78	-	19,98	18,88	Le profil stratigraphique de cette tranchée se compose, à partir de la surface, d'une couche d'asphalte reposant sur un lit de pierre concassée, le tout d'une épaisseur de 0,95 m. Sous cette pierre concassée, on trouve un remblai d'argile sableuse contenant des blocs de béton et des tiges d'armature en acier ainsi que des fragments de brique et de pierre de calcaire. La surface des sols naturels stériles, constituée d'un till d'ablation, apparaît à environ 1,80 m de profondeur sous le niveau actuel du terrain. Une structure en béton, probablement associée à l'un des piliers qui supportent le tablier de l'autoroute 15, occupe la partie ouest du sondage, à une profondeur d'environ 1,20 m.	Les travaux de construction de l'autoroute 15 ont complètement éradiqué les niveaux anciens d'occupation dans cette partie de la zone à potentiel historique H6-4.	Aucune recommandation n'est donc formulée quant à la poursuite de la recherche archéologique à cet endroit.
MTL09-23-1-10N	744	21,79	-	20,19	19,19	Le profil stratigraphique de cette tranchée se compose, à partir de la surface, d'une couche d'asphalte de 0,10 m d'épaisseur reposant sur un lit de pierre concassée de 0,60 m d'épaisseur. Sous cette pierre concassée, on trouve un remblai hétérogène composé d'un mélange de sable, de limon et d'argile contenant des pierres, des graviers et des cailloux subarrondis à anguleux ainsi que des fragments de béton et quelques blocs anguleux de pierre de calcaire. La surface des sols naturels stériles, composée d'un limon sableux brun jaunâtre contenant des graviers et des cailloux, apparaît sous ce remblai à environ 1,60 m de profondeur sous le niveau actuel du terrain. Elle repose sur un till à environ 1,80 m de profondeur.	Les travaux de construction du garage du centre de services du MTQ ont complètement éradiqué les niveaux anciens d'occupation dans cette partie de la zone à potentiel historique H6-4.	Aucune recommandation n'est donc formulée quant à la poursuite de la recherche archéologique à cet endroit.
MTL09-23-1-10P	747	21,57	20,87	20,67	18,47	Le profil stratigraphique de cette tranchée se compose d'une couche de pierre concassée d'une épaisseur de 0,40 m en surface, reposant sur un remblai de sable argileux contenant de nombreux fragments de pierre de calcaire. La surface remaniée des sols naturels, d'une épaisseur d'environ 0,20 m et constituée d'un limon argileux brun noirâtre contenant quelques rares graviers anguleux, a été atteinte à une profondeur d'environ 0,70 m sous le niveau actuel du terrain. Elle repose sur une couche limoneuse brune sans inclusions qui semble correspondre au sol naturel stérile, reposant lui-même sur un till d'ablation dont la surface se trouve à 1,30 m de profondeur.	La présence de limon argileux remanié en surface des sols naturels laisse entrevoir la probabilité de mettre au jour des vestiges d'une occupation historique remontant à la deuxième moitié du XIX <sup>e</sup> siècle, et même d'une occupation préhistorique associée à la présence de la zone à potentiel préhistorique P3.	Il est donc recommandé d'effectuer un inventaire archéologique au moyen de tranchées excavées mécaniquement, comme proposé dans le plan d'intervention. L'emplacement de ces tranchées sera établi en fonction des autres sous-opérations de la partie nord de la zone H6-4 qui ont donné des résultats semblables.
MTL09-23-1-10Q	750	21,50	-	20,75	18,80	Le profil stratigraphique de cette tranchée se compose, à partir de la surface, d'une couche d'asphalte déposée sur un lit de pierre concassée, le tout d'une épaisseur totale de 0,60 m. Sous cette pierre concassée, on trouve un limon sableux contenant des fragments de pierre de calcaire et de brique reposant sur la surface des sols naturels stériles. Cette dernière est constituée de limon sableux jaunâtre sans inclusions et est atteinte à une profondeur d'environ 0,75 m sous le niveau actuel du terrain. Le till d'ablation est atteint à une profondeur de 1,00 m.	Le dérasement des sols naturels aura complètement éradiqué les couches de sol ayant pu présenter un potentiel de mettre au jour des vestiges d'occupation.	Aucune recommandation n'est formulée quant à la poursuite de la recherche archéologique à cet endroit.
MTL09-23-1-10R	743	21,82	-	20,62	18,62	Le profil stratigraphique de cette tranchée se compose, à partir de la surface, d'une couche d'asphalte déposée sur un lit de pierre concassée, le tout d'une épaisseur de 0,70 m. Sous cette pierre concassée, se trouve un remblai de sable limoneux qui contient des graviers, des cailloux et des pierres anguleuses à subarrondies et qui repose sur un till d'ablation dont la surface se trouve à environ 1,20 m de profondeur sous le niveau actuel du terrain.	Les remblais de rehaussement reposent directement sur les dépôts glaciaires. Des travaux de dérasement dans ce secteur ont complètement éradiqué les couches présentant un intérêt archéologique.	Aucune recommandation n'est formulée quant à la poursuite de la recherche archéologique à cet endroit.
MTL09-23-1-10S	749	21,60	-	20,40	18,60	Le profil stratigraphique de cette tranchée se compose, à partir de la surface, d'une couche d'asphalte déposée sur un lit de pierre concassée, le tout d'une épaisseur de 0,80 m. Sous cette pierre concassée, on trouve une mince couche (0,05 m) de petites particules de scories et de pierre de calcaire partiellement calcinée couvrant un limon sableux brun grisâtre à beigeâtre. Ce limon, qui apparaît comme la partie remaniée d'un sol naturel, repose sur la surface d'un sol naturel stérile, constituée d'un till d'ablation et atteinte à une profondeur d'environ 1,20 m sous le niveau actuel du terrain.	Sous quelques couches de remblai de rehaussement, une couche vraisemblablement associée à la surface remaniée des sols naturels a été mise au jour. Cette dernière repose directement sur le sol naturel stérile et pourrait présenter un potentiel de mettre au jour des vestiges d'occupation.	Étant donné qu'il s'agit de la seule sous-opération du secteur sud de la zone à potentiel H6-4 à présenter ces caractéristiques, aucune recommandation n'est formulée quant à la poursuite de la recherche archéologique à cet endroit.
MTL09-23-1-11A	854	21,87	-	21,06	19,40	Le profil stratigraphique de ce forage se compose, à partir de la surface, d'une couche d'asphalte déposée sur un lit de pierre concassée. Le tout repose sur un remblai de sable limoneux dont la surface se trouve à une profondeur variant de 0,61 m à 0,81 m sous le niveau actuel de l'asphalte. La surface des sols naturels stériles, constituée d'un till d'ablation, a été atteinte sous ce limon, à une profondeur variant de 0,81 m à 1,22 m.	Les divers travaux associés à la construction de l'autoroute 15 ont passablement bouleversé les contextes archéologiques à cet endroit. Aucune couche ne présente de potentiel archéologique.	Aucune recommandation n'est formulée quant à la poursuite de la recherche archéologique à cet endroit.
MTL09-23-1-11B	740	21,57	-	20,77	19,56	Le profil stratigraphique de ce forage se compose, à partir de la surface, d'une couche d'asphalte déposée sur un lit de pierre concassée. La surface des sols naturels stériles, constituée d'un till d'ablation, a été atteinte sous cette pierre concassée à une profondeur d'environ 0,80 m sous le niveau actuel de l'asphalte.	Les travaux associés à la construction de l'autoroute 15 et du garage du MTQ ont fait disparaître les couches ayant pu présenter un potentiel de mettre au jour des vestiges d'occupations anciennes.	Aucune recommandation n'est formulée quant à la poursuite de la recherche archéologique à cet endroit.

Numéro d'identification archéologique	Numéro séquentiel	Niveau actuel du terrain (mètre NMM)	Niveau d'intérêt archéologique (mètre NMM)	Surface des sols naturels stériles (mètre NMM)	Niveau atteint (mètre NMM)	Description	Conclusion	Recommandations
MTL09-23-1-11C	857	21,67	-	20,37	19,14	Le profil stratigraphique de ce forage, effectué dans le garage du centre de services du MTQ, se compose, à partir de la surface, d'un plancher de béton de 0,20 m d'épaisseur reposant sur un lit de pierre concassée. Sous cette pierre concassée, on trouve un remblai de sable et de limon noirâtre contenant de la poussière de brique. Ce remblai repose sur la surface des sols naturels stériles, constituée d'un till d'ablation et atteinte à environ 1,30 m de profondeur sous le niveau actuel de la dalle de béton.	Les travaux de construction du garage du centre de services du MTQ ont complètement éradiqué les niveaux anciens d'occupation dans cette partie de la zone à potentiel historique H6-4.	Aucune recommandation n'est formulée quant à la poursuite de la recherche archéologique à cet endroit.
MTL09-23-1-11D	856	21,82	-	19,99	18,43	Le profil stratigraphique de ce forage, effectué dans le garage du centre de services du MTQ, se compose, à partir de la surface, d'un plancher de béton reposant sur un lit de pierre concassée. Sous cette pierre concassée, un remblai de sable grossier jaunâtre repose sur la surface des sols naturels stériles, constituée d'un till d'ablation. Cette couche est atteinte à environ 1,83 m de profondeur sous le niveau actuel de la dalle de béton.	Les travaux de construction du garage du centre de services du MTQ ont complètement éradiqué les niveaux anciens d'occupation dans cette partie de la zone à potentiel historique H6-4.	Aucune recommandation n'est formulée quant à la poursuite de la recherche archéologique à cet endroit.
MTL09-23-1-11E	855	21,79	-	21,19	19,35	Le profil stratigraphique de ce forage, effectué dans le garage du centre de services du MTQ, se compose, à partir de la surface, d'un plancher de béton de 0,24 m d'épaisseur reposant sur un lit de pierre concassée d'une épaisseur d'environ 0,20 m. La surface des sols naturels stériles a été atteinte directement sous la pierre concassée, à environ 0,60 m de profondeur sous le niveau actuel de la dalle de béton.	Les travaux de construction du garage du centre de services du MTQ ont complètement éradiqué les niveaux anciens d'occupation dans cette partie de la zone à potentiel historique H6-4.	Aucune recommandation n'est formulée quant à la poursuite de la recherche archéologique à cet endroit.
MTL09-23-1-11F	853	21,86	-	20,16	19,30	Le profil stratigraphique de ce forage, effectué dans le garage du centre de services du MTQ, se compose, à partir de la surface, d'un plancher de béton de 0,25 m d'épaisseur reposant sur un lit de pierre concassée. Sous cette pierre concassée, on trouve un remblai de sable graveleux contenant des fragments de bois, de pierre et de brique sur environ 1,20 m d'épaisseur. La surface des sols naturels stériles a été atteinte à environ 1,70 m de profondeur sous le niveau actuel de la dalle de béton.	Les travaux de construction du garage du centre de services du MTQ ont complètement éradiqué les niveaux anciens d'occupation dans cette partie de la zone à potentiel historique H6-4.	Aucune recommandation n'est formulée quant à la poursuite de la recherche archéologique à cet endroit.
MTL09-23-1-11G	741	21,80	-	21,20	18,87	Le profil stratigraphique de ce forage, effectué dans le garage du centre de services du MTQ, se compose, à partir de la surface, d'un plancher de béton de 0,20 m d'épaisseur reposant sur un lit de pierre concassée contenant des fragments de béton. La surface des sols naturels stériles, vraisemblablement constituée d'un till d'ablation, a été atteinte directement sous la pierre concassée à environ 0,60 m de profondeur sous le niveau actuel de la dalle de béton.	Les travaux de construction du garage du centre de services du MTQ ont complètement éradiqué les niveaux anciens d'occupation dans cette partie de la zone à potentiel historique H6-4.	Aucune recommandation n'est formulée quant à la poursuite de la recherche archéologique à cet endroit.
MTL09-23-1-11H	860	21,93	-	21,33	19,79	Le profil stratigraphique de ce forage, effectué dans le garage du centre de services du MTQ, se compose, à partir de la surface, d'un plancher de béton de 0,20 m d'épaisseur reposant sur un lit de pierre concassée. La surface des sols naturels stériles, constituée d'un till d'ablation, a été atteinte directement sous la pierre concassée à environ 0,60 m de profondeur sous le niveau actuel de la dalle de béton.	Les travaux de construction du garage du centre de services du MTQ ont complètement éradiqué les niveaux anciens d'occupation dans cette partie de la zone à potentiel historique H6-4.	Aucune recommandation n'est formulée quant à la poursuite de la recherche archéologique à cet endroit.
MTL09-23-1-11J	858	21,63	-	21,03	19,79	Le profil stratigraphique de ce forage, effectué dans le garage du centre de services du MTQ, se compose, à partir de la surface, d'un plancher de béton de 0,20 m d'épaisseur reposant sur un lit de pierre concassée. La surface des sols naturels stériles, constituée d'un till d'ablation, a été atteinte directement sous la pierre concassée à environ 0,60 m de profondeur sous le niveau actuel de la dalle de béton.	Les travaux de construction du garage du centre de services du MTQ ont complètement éradiqué les niveaux anciens d'occupation dans cette partie de la zone à potentiel historique H6-4.	Aucune recommandation n'est formulée quant à la poursuite de la recherche archéologique à cet endroit.
MTL09-23-1-11K	859	21,73	-	21,12	18,68	Le profil stratigraphique de ce forage effectué dans le stationnement à l'ouest du garage du centre de services du MTQ se compose d'une mince couche d'asphalte de 0,10 m d'épaisseur en surface. Cette dernière repose sur un remblai de sable limoneux contenant beaucoup de pierre concassée. Le sol naturel stérile est atteint à une profondeur de 0,61 m sous la surface actuelle. Il s'agit du till d'ablation.	Les travaux de construction du garage du centre de services du MTQ ont complètement éradiqué les niveaux anciens d'occupation dans cette partie de la zone à potentiel historique H6-4.	Aucune recommandation n'est formulée quant à la poursuite de la recherche archéologique à cet endroit.
MTL09-23-1-21E	708	21,95	-	20,30	19,12	Le profil stratigraphique de ce forage se compose, à partir de la surface, d'une couche d'asphalte déposée sur un lit de pierre concassée. Sous ce lit de pierre, à environ 0,50 m de profondeur sous le niveau actuel, une deuxième couche d'asphalte a été mise au jour. Elle repose sur un remblai d'environ 1,00 m d'épaisseur de sable limoneux contenant des fragments de pierre de calcaire. La surface des sols naturels stériles, constituée d'un till d'ablation, a été atteinte à environ 1,65 m de profondeur sous le niveau actuel de l'asphalte de surface.	Les nombreux travaux de construction réalisés dans le secteur (rue Saint-Rémi, autoroute 15 et garage du centre de services du MTQ) ont fait disparaître les contextes archéologiques de cet espace.	Aucune recommandation n'est formulée quant à la poursuite de la recherche archéologique à cet endroit.
MTL09-23-1-21F	709	21,13	-	19,83	18,73	Le profil stratigraphique de ce forage se compose, à partir de la surface, d'une couche d'asphalte déposée sur un lit de pierre concassée. Sous ce lit de pierre, à environ 0,40 m de profondeur sous le niveau actuel, une deuxième couche d'asphalte a été observée. Elle repose à la surface des sols naturels stériles. Cette dernière unité stratigraphique, un till d'ablation, est atteinte à environ 1,30 m de profondeur sous le niveau actuel de l'asphalte de surface.	Les nombreux travaux de construction réalisés dans le secteur (rue Saint-Rémi, autoroute 15 et garage du centre de services du MTQ) ont fait disparaître les contextes archéologiques de cet espace.	Aucune recommandation n'est formulée quant à la poursuite de la recherche archéologique à cet endroit.



Photo 26 : Sous-opération MTL09-23-1-10M réalisée en bordure nord du centre Turcot, direction sud-est (MTL09-23-1-NUM3-63)



Photo 27 : Sous-opération MTL09-23-1-10P dans la portion sud-est de la zone à potentiel historique H6-4, direction sud-ouest (MTL09-23-1-NUM3-66)

remblais successifs principalement constitués de pierre concassée et de déchets industriels contenant des scories et du mâchefer. Sous ces remblais, on trouve un limon sableux brun beigeâtre d'une épaisseur d'environ 0,35 m dont les cinq premiers centimètres en surface prennent une teinte plus foncée, voire noirâtre. Ce limon repose sur un till d'ablation qui apparaît comme la surface des sols naturels stériles. La partie supérieure du limon pourrait être associée à la surface de l'horizon organique du sol naturel où auraient pu s'installer les premiers occupants de la période historique ou même ceux de la période préhistorique. La sous-opération 10S est la seule de la partie sud dans laquelle la surface de l'horizon organique du sol naturel a été observée.

### **2.9.5.2 Partie nord**

Quatorze interventions archéologiques ont été réalisées dans la partie nord de la zone à potentiel historique H6-4 : 12 sondages et 2 forages. Les profils stratigraphiques enregistrés dans ces sous-opérations sont en général moins perturbés que ceux de la partie sud et confirment un potentiel archéologique. Seules les sous-opérations 3B, 10G et 11A, dont les différents remblais reposent directement sur un sol naturel stérile, ne contiennent aucun niveau de sol révélant un potentiel archéologique.

Le profil stratigraphique type de cette partie de la zone à potentiel H6-4 se compose d'une couche de pierre concassée qui couvre l'aire de circulation du centre de services du MTQ et repose sur un remblai de sable contenant une proportion variable d'argile et de limon. Ce remblai, associé au rehaussement du terrain lors de l'aménagement du centre de services, contient diverses inclusions : fragments de brique, de mortier, de métal, de béton, de bois, de plastique et de mâchefer ainsi que des scories. Sous ce premier remblai, on en trouve une succession d'autres principalement composés de pierre concassée et de déchets industriels contenant des scories et du mâchefer. Dans huit des sous-opérations, ces déchets industriels sont constitués de scories, de mâchefer, de cendre et de fragments de métal corrodés et de charbon minéral. Dans certains cas, cette couche de déchets repose sur un remblai de sable graveleux et caillouteux brun orangé contenant quelques inclusions : fragments de brique et de charbon minéral ainsi qu'un peu de scories (photo 28). On note également la présence dans ce remblai de fragments de coquillages. Cette couche correspondrait à un apport de sédiments d'un dépôt littoral naturel. Selon la carte des dépôts meubles de l'île de Montréal, une couche de sédiments littoraux (sable et gravier) associée à l'épisode marin de la mer de Champlain s'étend sur le pourtour du mont Royal jusqu'au rebord de la terrasse Sherbrooke, à environ 1 500 m au nord-ouest (unité 6 de Prest et Hode Keyser, 1982).

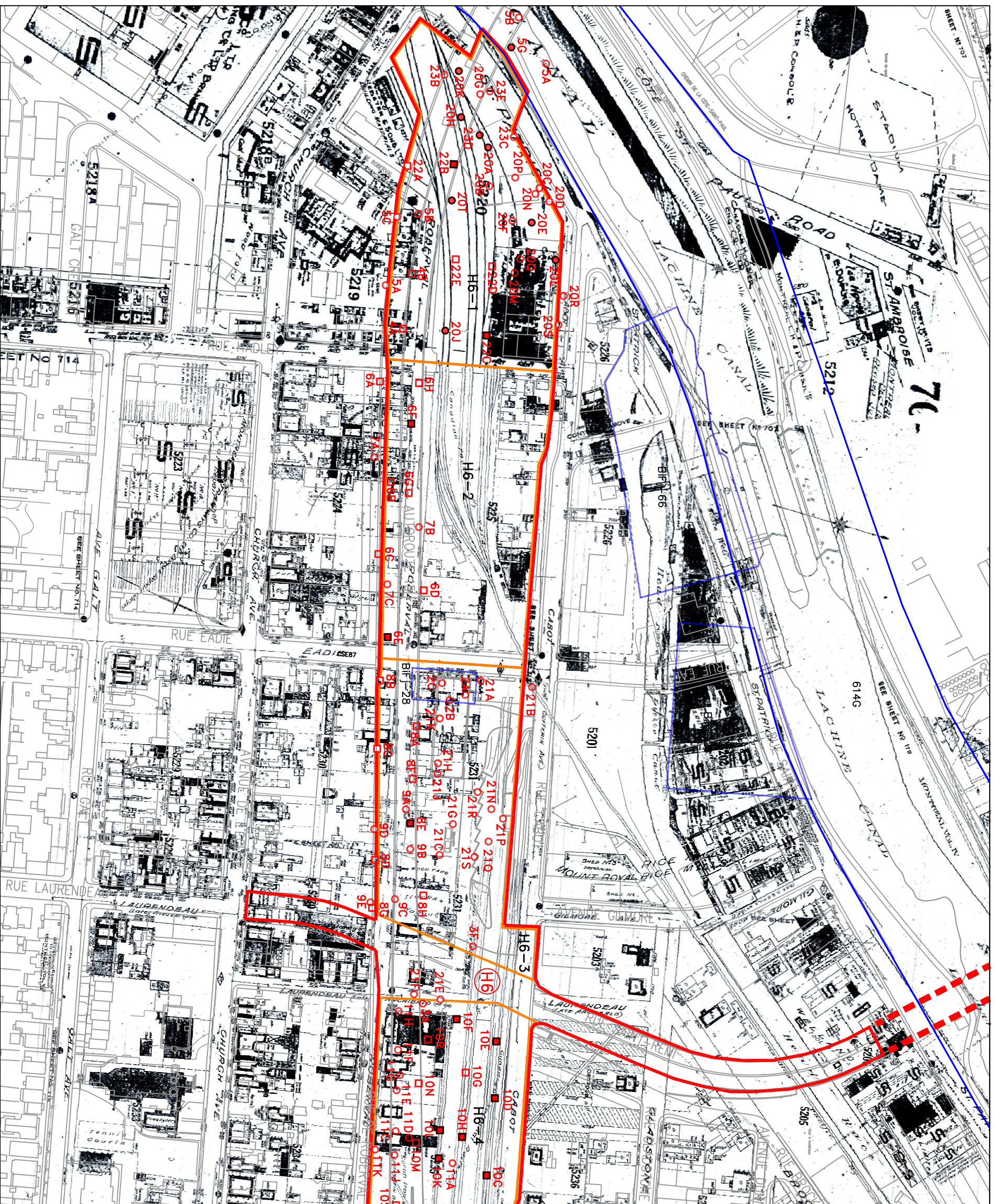
Dans les autres cas, la couche de déchets industriels repose soit sur un remblai contenant quelques rares graviers et de petits fragments de brique, soit directement sur la surface de l'horizon organique du sol naturel. Les remblais présents dans la partie nord de la zone à potentiel archéologique H6-4 semblent rattachés à des épisodes de rehaussement et de nivellement successifs du terrain, remontant possiblement à l'aménagement des nombreuses voies ferrées qui ont occupé ce secteur dès le début du XX<sup>e</sup> siècle (plan 13 et



Photo 28 : Profil stratigraphique montrant les différents remblais de la portion nord de la zone à potentiel H6-4, direction sud-est (MTL09-23-1-NUM3-47)

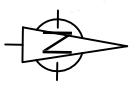
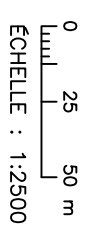


Photo 29 : Nombreuses traverses retirées dans la sous-opération MTL09-23-1-10E, direction est (MTL09-23-1-NUM3-44)



COMPLEXE TURCOT  
 SURVEILLANCE ARCHÉOLOGIQUE  
 MTL09-23-1 ET Bifj-28  
 SUPERPOSITION DU PLAN DU  
 UNDERWRITERS' SURVEY BUREAU  
 DE 1940 SUR LE PLAN ACTUEL  
 SECTEUR À POTENTIEL ARCHÉOLOGIQUE  
 HISTORIQUE H6-OUEST  
 PLAN 13

- LIMITE DE SECTEUR
- NUMÉRO DE SECTEUR
- TUNNEL SAINT-REMÉ
- ZONE À POTENTIEL ARCHÉOLOGIQUE
- NUMÉRO DE ZONE
- FORAGE POSITIF
- FORAGE NÉGATIF
- TRANCHEE POSITIVE
- TRANCHEE NEGATIVE
- NUMÉRO DE SOUS-OPERATION
- SITE ARCHÉOLOGIQUE RECENCE
- CODE BORDEN
- CODE DE PARCS CANADA



SOURCES :

- Cartes électroniques, ministère des Transports du Québec, fichiers Turcot-TN-Ouest-2D.dwg, L016886-TN-Turcot.dwg et 31he3631\_corto.dwg
- Informations archéologiques, Ville de Montréal, fichiers comparc.dwg et feuilles nos 31H05-010-3229, 3330, 3331, 3533, 3534, 3633, 3634, 3732, 3734 et 3834
- Informations archéologiques, Parcs Canada, fichiers 613G-4A et 4B.dwg, 1998-170G-01.dwg, 1998-176G-01.dwg, 1995-172G-01.dwg et 98-600G-3.dwg
- Ethnoscop 2008a

photo 29). La concentration, au nord-ouest de la zone d'étude, de plusieurs industries manufacturières liées à la métallurgie (fonderies, ferronneries et clouteries), explique probablement la présence dans ces remblais de déchets associés à ce type d'activités.

Sous ces deux types de remblai, le profil stratigraphique de la partie nord de la zone H6-4 se poursuit avec une couche brune qui varie entre un limon argileux et une argile limoneuse contenant quelques graviers anguleux et subarrondis ainsi que de petits fragments de charbon de bois à l'occasion (photo 30). Quelques racines et radicelles ont également pu être observées dans la matrice de cette couche. L'altitude de sa surface varie de 20,60 m à 20,99 m (NMM) et aucune pente dominante n'a été enregistrée. La composition de cette couche ainsi que sa position stratigraphique et les quelques inclusions qu'elle contient suggèrent qu'il s'agit de la surface de l'horizon organique du sol naturel. Cela signifie qu'elle pourrait receler des traces des premiers occupants de la période historique ou même de ceux de la période préhistorique, puisque les interventions sont situées à l'intérieur de la zone à potentiel archéologique P3.

Par ailleurs, l'emplacement d'un petit espace marécageux similaire à celui qui a été observé dans la zone à potentiel historique H6-1 a été trouvé dans la sous-opération 10G. La partie supérieure du profil stratigraphique enregistré dans cette tranchée est assez semblable au profil des sous-opérations voisines (plan 12 et tableau 9). Sous 1,50 m de remblai, on trouve un mélange de sable et de limon gris noirâtre, d'une épaisseur d'environ 0,20 m, contenant des fragments de calcaire partiellement calcinés, de verre et de bois ainsi que des scories et des lambeaux de tissu. Sous ce mélange apparaît une couche de tourbe d'environ 0,60 m d'épaisseur, contenant de petits fragments de bois et reposant sur une mince couche de marne d'environ 0,10 m d'épaisseur (photo 31). Le profil est complété par un till dont la surface est atteinte à une profondeur d'environ 2,40 m sous le niveau actuel du terrain. Les résultats de la superposition du plan de H. S. Sitwell de 1865-1871 sur le fond de plan actuel valident la correspondance entre l'emplacement d'une zone marécageuse illustré sur le plan ancien et le plan actuel (plan 14).

### **2.9.6 Discussion et recommandation**

Dans l'étude de potentiel archéologique, il a été recommandé de réaliser un inventaire archéologique au moyen d'un minimum de cinq tranchées de 2 m par 10 m excavées mécaniquement (Ethnoscop 2008a). À partir des résultats de la surveillance archéologique des forages et des tranchées, lesquels ont eu lieu à l'intérieur d'une zone à potentiel tant historique (H6-4) que préhistorique (P3), cette recommandation est maintenue. La surface de l'horizon organique du sol naturel, dans laquelle des traces de ces deux types d'occupation pourraient être mises au jour, a en effet été observée dans la majorité des sous-opérations de la partie nord de la zone à potentiel archéologique H6-4. Cette partie de la zone est surtout marquée par l'implantation progressive de voies ferrées dès le début du XX<sup>e</sup> siècle ainsi que la présence de quelques bâtiments en bois, possiblement des hangars, et d'une gare de chemin de fer (« *STATION* ») illustrés sur le plan de Goad de 1907 (plan 15). Les plans plus anciens, comme celui de H. S. Sitwell de 1865-1871, n'illustrent ni bâtiment ni installation permanente à cet endroit (plan 14). Toutefois, cet espace demeuré



Photo 30 : Sous-opération MTL09-23-1-10B, détail de l'horizon organique associé au sol naturel, direction est (MTL09-23-1-NUM3-38)



Photo 31 : Profil stratigraphique de la sous-opération MTL09-23-1-10F montrant la couche de tourbe à la base, direction sud (MTL09-23-1-NUM3-49)



COMPLEXE TURCOT  
 SURVEILLANCE ARCHÉOLOGIQUE  
 MTL09-23-1 ET MTL09-24-1  
 SUPERPOSITION DU PLAN DE H. S.  
 SITWELL DE 1865-1871 SUR LE PLAN  
 ACTUEL  
 SECTEUR À POTENTIEL ARCHÉOLOGIQUE  
 HISTORIQUE H6-EST  
 PLAN 14

- LIMITE DE SECTEUR
- NUMÉRO DE SECTEUR
- TUNNEL SAINT-RÉMI
- ZONE À POTENTIEL ARCHÉOLOGIQUE
- NUMÉRO DE ZONE
- FORAGE POSITIF
- FORAGE NÉGATIF
- TRANCHEE POSITIVE
- TRANCHEE NÉGATIVE
- NUMÉRO DE SOUS-OPERATION
- SITE ARCHÉOLOGIQUE RECENSE
- CODE BORDEN
- CODE DE PARCS CANADA

0 25 50 m  
 ÉCHELLE : 1:2500

SOURCES :

- Cartes électroniques, ministère des Transports du Québec, fichiers Turcot-TN-Ouest-2D.dwg, L0168866-TN-Turcot.dwg et 31the3631\_corto.dwg
- Informations archéologiques, Ville de Montréal, fichiers comparc.dwg et feuillets nos 31H05-010-3229, 3330, 3331, 3533, 3534, 3633, 3634, 3732, 3734 et 3834
- Informations archéologiques, Parcs Canada, fichiers 6136-4A et 4B.dwg, 1998-170G-01.dwg, 1998-176G-01.dwg, 1995-172G-01.dwg et 98-600G-3.dwg
- Ethnoscop 2008a



vacant a pu être utilisé à des fins agricoles pendant la période historique et avoir accueilli des établissements saisonniers au cours de la période préhistorique.

## **2.10 Zone à potentiel archéologique historique H6-5**

La zone H6-5 est circonscrite par le quadrilatère que forment les rues Cabot, York, De Roberval et Angers (plan 12) et fut occupée par un seul bâtiment au cours du XIX<sup>e</sup> siècle (Ethnoscop, 2008a : figure 16-2). C'est probablement le même bâtiment qui se trouve à l'angle sud-ouest de l'îlot sur le plan de Goad de 1907 (Ethnoscop, 2008a : figure 19-4). Au cours du XX<sup>e</sup> siècle, le bâti est principalement concentré dans la partie est, et il sera démoli lors de l'aménagement de l'autoroute 15 (Ethnoscop, 2008a : plans 28 et 30).

### **2.10.1 Sous-opération MTL09-23-1-3C**

Cette sous-opération correspond à l'emplacement d'un forage réalisé le 5 mai 2009, à la limite ouest de la zone à potentiel archéologique H6-5 (plan 12).

### **2.10.2 Sous-opérations MTL09-23-1-12A à 12H**

Les emplacements de ces huit sous-opérations correspondent à des sondages exploratoires effectués les 1<sup>er</sup> et 2 juin 2009 et couvrant les deux tiers sud de la zone à potentiel archéologique H6-5 (plan 12 et photo 32).

### **2.10.3 Sous-opération MTL09-23-1-13A**

L'emplacement de la sous-opération 13A correspond à celui d'un forage réalisé le 9 juin 2009 dans la partie centrale de la zone à potentiel archéologique H6-5 (plan 12 et photo 33).

### **2.10.4 Résultats**

Les interventions archéologiques réalisées dans les limites de la zone à potentiel historique H6-5 (plan 12) ont révélé un profil stratigraphique composé de remblais successifs déposés dans la majorité des cas sur la surface de l'horizon organique du sol naturel (tableau 10). Dans les autres interventions, ces remblais reposent directement sur un sol naturel stérile ou sur une structure de béton associée aux aménagements récents effectués dans le secteur.

La surface de l'horizon organique du sol naturel, constituée d'un limon argileux brun contenant un peu de matière organique et parfois quelques graviers anguleux à subanguleux, se trouve à des altitudes variant de 20,36 m à 20,81 m (NMM). Elle a été mise au jour sous des remblais sableux à limoneux contenant différents types d'inclusions : fragments de charbon minéral, de pierre de calcaire, de béton et de brique ainsi que des scories et des pièces de métal. Dans les sous-opérations 12A, 12B, 12G et 12H, une couche composée principalement de fragments de charbon minéral et de scories, parfois mélangés à du sable limoneux, s'ajoute à ces remblais (photo 34). Dans les sous-



Photo 32 : Portion centrale de la zone à potentiel historique H6-5, la sous-opération MTL09-23-1-12B est au premier plan, direction ouest (MTL09-23-1-NUM3-79)



Photo 33 : Sous-opération MTL09-23-1-3C dans la zone à potentiel historique H6-5, direction ouest (MTL09-23-1-NUM2-3)

**Tableau 10 : Synthèse des résultats de la surveillance archéologique dans la zone à potentiel archéologique historique H6-5**

Numéro d'identification archéologique	Numéro séquentiel	Niveau actuel du terrain (mètre NMM)	Niveau d'intérêt archéologique (mètre NMM)	Surface des sols naturels stériles (mètre NMM)	Niveau atteint (mètre NMM)	Description	Discussion	Recommandations
MTL09-23-1-3C	833	21,64	-	20,44	17,06	Le profil stratigraphique de ce forage se compose, à partir de la surface, d'un sable graveleux brun à noir contenant une proportion variable de scories et de fragments de charbon minéral ainsi que des fragments de bois possiblement associés à des traverses de chemin de fer. L'une de ces traverses, encore en place dans la partie supérieure du forage, a été percée par la foreuse. Ce remblai d'une épaisseur d'environ 1,20 m repose sur le sol naturel stérile, constitué d'un sable très fin limoneux contenant des petits graviers.	Les remblais de rehaussement récents reposent directement sur le sol naturel stérile et aucune couche ne présente d'intérêt archéologique à cet endroit.	Aucune recommandation n'est formulée quant à la poursuite de la recherche archéologique à cet endroit.
MTL09-23-1-12A	416	21,71	20,71	20,51	18,51	Le profil stratigraphique de cette tranchée se compose, à partir de la surface, d'une couche d'asphalte et d'un lit de pierre concassée d'une épaisseur totale de 0,30 m. Sous la pierre concassée, on trouve un remblai de 0,40 m d'épaisseur de sable limoneux, contenant des fragments de charbon de bois, de scories et de charbon minéral ainsi que divers débris : isolateur, fils métalliques, morceaux de béton et pièces de caoutchouc. Ce remblai repose sur un sable limoneux d'une épaisseur de 0,30 m, contenant des fragments de pierre de calcaire. La surface des sols naturels, constituée d'un limon sableux organique brun noirâtre sans inclusions d'une épaisseur de 0,05 m, a été atteinte à environ 1,00 m de profondeur sous le niveau actuel du terrain. Elle repose sur un limon argileux faiblement organique brun grisâtre de 0,15 m d'épaisseur. La surface des sols naturels stériles, composée d'un limon faiblement sableux sans inclusions, a par la suite été atteinte à 1,20 m de profondeur sous le niveau actuel du terrain.	La présence d'un limon sableux organique en surface des sols naturels laisse entrevoir la probabilité de mettre au jour des vestiges d'une occupation historique remontant à la deuxième moitié du XIX <sup>e</sup> siècle, et même d'une occupation préhistorique associée à la présence de la zone à potentiel préhistorique P3.	Il est recommandé d'effectuer un inventaire archéologique au moyen de tranchées excavées mécaniquement, comme proposé dans le plan d'intervention. L'emplacement de ces tranchées sera établi en fonction des autres sous-opérations de la zone H6-5 qui ont donné des résultats semblables.
MTL09-23-1-12B	417	21,70	20,70	20,50	18,40	Le profil stratigraphique de cette tranchée se compose, à partir de la surface, d'une couche d'asphalte déposée sur un remblai de limon sableux contenant des graviers et des pierres. Ce remblai comble également une tranchée associée à une structure bétonnée relative à un pilier de l'autoroute 15. Il repose sur un sable limoneux qui contient des fragments de charbon minéral, des scories ainsi que divers déchets (isolateur, fils métalliques, béton et pièces de caoutchouc) et qui atteint une profondeur d'environ 0,70 m sous le niveau actuel du terrain. Ce sable repose à son tour sur un sable limoneux et graveleux. La surface des sols naturels, constituée d'un limon argileux brun grisâtre et faiblement organique, a été atteinte à environ 1,00 m de profondeur sous le niveau actuel du terrain. D'une épaisseur de 0,20 m, elle repose sur un sol naturel stérile composé d'un limon faiblement sableux beigeâtre.	La présence d'un limon argileux en surface des sols naturels laisse entrevoir la probabilité de mettre au jour des vestiges d'une occupation historique remontant à la deuxième moitié du XIX <sup>e</sup> siècle, et même d'une occupation préhistorique associée à la présence de la zone à potentiel préhistorique P3.	Il est recommandé d'effectuer un inventaire archéologique au moyen de tranchées excavées mécaniquement, comme proposé dans le plan d'intervention. L'emplacement de ces tranchées sera établi en fonction des autres sous-opérations de la zone H6-5 qui ont donné des résultats semblables.
MTL09-23-1-12C	418	21,91	20,81	20,66	18,61	Le profil stratigraphique de cette tranchée se compose, à partir de la surface, d'une couche d'asphalte déposée sur un lit de pierre concassée d'environ 0,10 m d'épaisseur. Ce lit de pierre couvre un remblai de sable limoneux contenant des fragments de charbon de bois et de charbon minéral ainsi que des scories et du béton. La surface des sols naturels, constituée d'un limon argileux faiblement organique brun grisâtre, a été atteinte à une profondeur d'environ 1,10 m sous le niveau actuel du terrain. D'une épaisseur de 0,15 m, elle repose sur un till d'ablation.	La présence d'un limon argileux en surface des sols naturels laisse entrevoir la probabilité de mettre au jour des vestiges d'une occupation historique remontant à la deuxième moitié du XIX <sup>e</sup> siècle, et même d'une occupation préhistorique associée à la présence de la zone à potentiel préhistorique P3.	Il est recommandé d'effectuer un inventaire archéologique au moyen de tranchées excavées mécaniquement, comme proposé dans le plan d'intervention. L'emplacement de ces tranchées sera établi en fonction des autres sous-opérations de la zone H6-5 qui ont donné des résultats semblables.
MTL09-23-1-12D	419	21,42	-	20,32	18,32	Le profil stratigraphique de cette tranchée se compose, à partir de la surface, d'une mince couche d'asphalte couvrant un remblai de pierre concassée de 0,25 m d'épaisseur. Sous cette pierre, on trouve un important remblai de limon sableux et graveleux contenant des fragments de pierre de calcaire, des pièces de métal fortement oxydé et des fragments de mortier. Ce remblai atteint environ 1,10 m de profondeur sous le niveau actuel du terrain et repose directement sur un till d'ablation.	Les remblais récents reposant directement sur le sol naturel stérile rendent cet espace peu intéressant en ce qui a trait au potentiel de mettre au jour des vestiges d'occupations historiques ou préhistoriques.	Aucune recommandation n'est formulée quant à la poursuite de la recherche archéologique à cet endroit.
MTL09-23-1-12E	420	21,18	-	-	19,58	Le profil stratigraphique de cette tranchée se compose, à partir de la surface, d'une couche d'asphalte déposée sur un remblai de pierre concassée. À environ 0,30 m sous la surface, le sommet dérasé d'un mur de fondation en béton a été mis au jour. Sur toute la superficie de la tranchée et à une profondeur de 0,30 m à 1,60 m sous le niveau actuel du terrain, un important remblai constitué de débris de démolition contenant des fragments de blocs de béton, de brique (orange et grise), de madriers, de mortier et de métal ainsi que des pneus a été mis au jour. Ce remblai couvre une dalle de béton qui correspond sans doute au plancher du sous-sol d'un bâtiment aujourd'hui démolit. L'excavation de cette tranchée s'est arrêtée en surface de la dalle de béton, qu'il a été impossible de percer.	Les quelques structures en bétons mises au jour se rapportent à des constructions datant vraisemblablement du milieu du XX <sup>e</sup> siècle. Aucune couche présentant un intérêt archéologique a été observée lors de la réalisation de cette tranchée.	Aucune recommandation n'est formulée quant à la poursuite de la recherche archéologique à cet endroit.

Numéro d'identification archéologique	Numéro séquentiel	Niveau actuel du terrain (mètre NMM)	Niveau d'intérêt archéologique (mètre NMM)	Surface des sols naturels stériles (mètre NMM)	Niveau atteint (mètre NMM)	Description	Discussion	Recommandations
MTL09-23-1-12F	421	21,14	20,49	20,34	17,34	Le profil stratigraphique de cette tranchée se compose, à partir de la surface, d'une couche d'asphalte reposant sur un lit de pierre concassée, le tout d'une épaisseur d'environ 0,30 m. Cette pierre concassée couvre un remblai d'environ 0,35 m d'épaisseur, constitué de limon sableux contenant des fragments de pierre de calcaire et de charbon minéral ainsi que des scories. La surface des sols naturels, constituée d'un limon argileux brun grisâtre d'environ 0,15 m d'épaisseur, a été atteinte sous ce remblai. Un sol naturel stérile, composé d'un limon sableux contenant des graviers anguleux de pierre de calcaire, parfois oxydés, et quelques lentilles de sable, apparaît par la suite à environ 0,80 m de profondeur sous le niveau actuel du terrain.	La présence d'un limon argileux en surface des sols naturels laisse entrevoir la probabilité de mettre au jour des vestiges d'une occupation historique remontant à la deuxième moitié du XIX <sup>e</sup> siècle, et même d'une occupation préhistorique associée à la présence de la zone à potentiel préhistorique P3.	Il est recommandé d'effectuer un inventaire archéologique au moyen de tranchées excavées mécaniquement, comme proposé dans le plan d'intervention. L'emplacement de ces tranchées sera établi en fonction des autres sous-opérations de la zone H6-5 qui ont donné des résultats semblables.
MTL09-23-1-12G	410	21,11	20,56	20,36	17,61	Le profil stratigraphique de cette tranchée se compose, à partir de la surface, d'une couche d'asphalte déposée sur un lit de pierre concassée, le tout d'une épaisseur de 0,35 m. Sous cette pierre, on trouve un remblai d'environ 0,20 m d'épaisseur contenant des fragments de charbon minéral, de brique, de pierre de calcaire ainsi que des scories. Ce qui apparaît comme la surface des sols naturels, d'une épaisseur d'environ 0,20 m et constituée d'un limon argileux brun grisâtre foncé contenant quelques graviers anguleux et subanguleux, a été atteint à environ 0,55 m de profondeur sous le niveau actuel du terrain. Cette surface repose sur un sol naturel stérile composé de limon argileux.	La présence d'un limon argileux en surface des sols naturels laisse entrevoir la probabilité de mettre au jour des vestiges d'une occupation historique remontant à la deuxième moitié du XIX <sup>e</sup> siècle, et même d'une occupation préhistorique associée à la présence de la zone à potentiel préhistorique P3.	Il est recommandé d'effectuer un inventaire archéologique au moyen de tranchées excavées mécaniquement, comme proposé dans le plan d'intervention. L'emplacement de ces tranchées sera établi en fonction des autres sous-opérations de la zone H6-5 qui ont donné des résultats semblables.
MTL09-23-1-12H	415	22,16	20,36	20,16	18,76	Le profil stratigraphique de cette tranchée se compose, à partir de la surface, d'un sable graveleux d'environ 1,40 m d'épaisseur, associé à l'aménagement d'une bretelle d'accès à l'autoroute 15. Ce remblai couvre un sable mélangé avec des fragments de pierre de calcaire partiellement calcinés et de charbon minéral ainsi que des scories et des pièces de métal informes. La surface des sols naturels, constituée d'un limon argileux brun grisâtre foncé contenant quelques graviers anguleux et subanguleux, apparaît à environ 1,80 m de profondeur sous le niveau actuel du terrain. Elle repose à environ 2,00 m de profondeur sur un till d'ablation.	La présence d'un limon argileux en surface des sols naturels laisse entrevoir la probabilité de mettre au jour des vestiges d'une occupation historique remontant à la deuxième moitié du XIX <sup>e</sup> siècle, et même d'une occupation préhistorique associée à la présence de la zone à potentiel préhistorique P3.	Il est recommandé d'effectuer un inventaire archéologique au moyen de tranchées excavées mécaniquement, comme proposé dans le plan d'intervention. L'emplacement de ces tranchées sera établi en fonction des autres sous-opérations de la zone H6-5 qui ont donné des résultats semblables.
MTL09-23-1-13A	843	21,67	20,77	20,27	18,01	Le profil stratigraphique de ce forage se compose, à partir de la surface, d'une couche d'asphalte déposée sur un sable contenant quelques graviers. Ce sable repose sur une argile limoneuse gris foncé couvrant une concentration de fragments de pierre de calcaire partiellement calcinés. La surface des sols naturels, constituée d'un limon noir contenant quelques graviers, a été atteinte sous cette argile. Ce limon noir repose sur un till de fond à une profondeur d'environ 1,40 m sous le niveau actuel du terrain.	La présence d'un limon argileux en surface des sols naturels laisse entrevoir la probabilité de mettre au jour des vestiges d'une occupation historique remontant à la deuxième moitié du XIX <sup>e</sup> siècle, et même d'une occupation préhistorique associée à la présence de la zone à potentiel préhistorique P3.	Il est recommandé d'effectuer un inventaire archéologique au moyen de tranchées excavées mécaniquement, comme proposé dans le plan d'intervention. L'emplacement de ces tranchées sera établi en fonction des autres sous-opérations de la zone H6-5 qui ont donné des résultats semblables.

opérations 12A, 12B, 12C, 12F, 12G et 13A, ces remblais atteignent des profondeurs variant de 0,55 m à 1,10 m sous le niveau actuel du terrain, alors que dans la sous-opération 12H, cette profondeur atteint 1,80 m. Ce dernier cas s'explique par la présence d'une rampe de sortie de l'autoroute 15 (plan 12), aménagée sur un important remblai.



Photo 34 : Profil stratigraphique de la sous-opération MTL09-23-1-12B, direction ouest (MTL09-23-1-NUM3-78)

La présence de la surface de l'horizon organique du sol naturel dans les limites de la zone à potentiel archéologique H6-5 laisse entrevoir la probabilité de mettre au jour des vestiges d'une occupation historique remontant à la deuxième moitié du XIX<sup>e</sup> siècle, et même d'une occupation préhistorique associée à la présence de la zone à potentiel préhistorique P3. Cette surface semble en effet avoir été peu bouleversée par l'aménagement des voies ferrées, réalisé à partir du début du XX<sup>e</sup> siècle. La présence de bâtiments résidentiels dans la partie sud-est de la zone au début du XX<sup>e</sup> siècle (plan 15) et celle du premier bâtiment érigé dans les limites de ce quadrilatère avant la fin du XIX<sup>e</sup> siècle (plan 16) mériteraient d'être documentées.

Les sous-opérations 12D et 12E, réalisées dans cette partie de la zone H6-5, n'ont toutefois pas mené à la mise au jour de la surface de l'horizon organique du sol naturel, ce qui est également le cas pour la sous-opération 3C. Dans ces trois dernières sous-opérations, la partie supérieure du profil stratigraphique est semblable à celle du profil des sept sous-opérations précédentes. L'excavation de la sous-opération 12E a quant à elle mené à la découverte du sommet d'un mur de béton sous une épaisseur de 0,30 m de pierre concassée en surface. Ce dernier a été dégagé jusqu'à une profondeur de 1,60 m sous le niveau actuel du terrain, où un plancher de béton a aussi été mis au jour. Entre le sommet dérasé du mur et le plancher de béton, la totalité de la sous-opération 12E est occupée par



une couche de débris de démolition principalement composée de fragments de blocs de béton, de brique, de bois et de mortier ainsi que par des pneus (photo 35). L'excavation s'est butée sur la surface de la dalle de béton. L'emplacement de ces vestiges correspond à celui d'un bâtiment résidentiel illustré sur un plan d'assurance du Undertwriters' Survey Bureau datant de 1954 (plan 17).



Photo 35 : Sous-opération MTL09-23-1-12E, plancher et mur en béton associés à un bâtiment résidentiel du XX<sup>e</sup> siècle, direction nord-est (MTL09-23-1- NUM3-84)

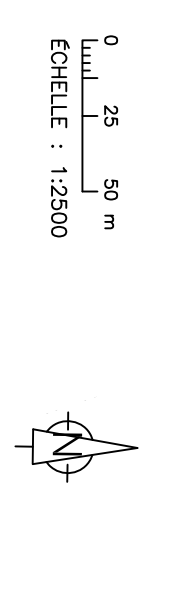
### **2.10.5 Discussion et recommandation**

Dans l'étude de potentiel, il a été recommandé de réaliser un inventaire archéologique au moyen de cinq tranchées de 2 m par 10 m excavées mécaniquement (Ethnoscop 2008a). À partir des résultats de la surveillance archéologique des forages et des tranchées, lesquels ont eu lieu à l'intérieur d'une zone à potentiel tant historique (H6-5) que préhistorique (P3), cette recommandation est maintenue. La surface de l'horizon organique du sol naturel, dans laquelle des traces de ces deux types d'occupation pourraient être mises au jour, a en effet été observée dans la majorité des sous-opérations de cette zone à potentiel historique. Sa partie sud-ouest est particulièrement marquée par la présence d'un bâtiment vers la fin du XIX<sup>e</sup> siècle (plan 16). La plus grande partie de cet espace, demeurée vacante jusqu'au début du XX<sup>e</sup> siècle, a pu être utilisée à des fins agricoles pendant la période historique et avoir accueilli des établissements saisonniers au cours de la période préhistorique.



COMPLEXE TURCOT  
 SURVEILLANCE ARCHÉOLOGIQUE  
 MTL09-23-1 ET MTL09-24-1  
 SUPERPOSITION DU PLAN DU  
 UNDERWRITERS' SURVEY BUREAU DE  
 1954 SUR LE PLAN ACTUEL  
 SECTEUR À POTENTIEL ARCHÉOLOGIQUE  
 HISTORIQUE H6-EST  
 PLAN 17

- LIMITE DE SECTEUR
- NUMÉRO DE SECTEUR
- TUNNEL SAINT-REMI
- ZONE À POTENTIEL ARCHÉOLOGIQUE
- NUMÉRO DE ZONE
- FORAGE POSITIF
- FORAGE NÉGATIF
- TRANCHÉE POSITIVE
- TRANCHÉE NÉGATIVE
- NUMÉRO DE SOUS-OPERATION
- SITE ARCHÉOLOGIQUE RECENSÉ
- BIF-27 CODE BORDEN
- 6146 CODE DE PARCS CANADA



SOURCES :

- Cartes électroniques, ministère des Transports du Québec, fichiers Turcot-TN-Ouest-2D.dwg, L0168866-TN-Turcot.dwg et 31he3631\_corto.dwg
- Informations archéologiques, Ville de Montréal, fichiers comparc.dwg et feuillet nos 31H05-010-3229, 3330, 3331, 3533, 3534, 3633, 3634, 3732, 3734 et 3834
- Informations archéologiques, Parcs Canada, fichiers 6136-4A et 4B.dwg, 1998-170G-01.dwg, 1998-176G-01.dwg, 1995-172G-01.dwg et 98-600G-3.dwg
- Ethnoscop 2008a

## 2.11 Zone à potentiel archéologique historique H6-6

La zone H6-6 occupe le quadrilatère formé par la rue Gladstone, la voie ferrée du Canadien National, la rue Cabot et la rue Angers (plan 12). Un premier cadre bâti résidentiel a été implanté du côté nord vers 1870 (Ethnoscop, 2008a : plan 23 et figure 16-2). Un site archéologique, BiFj-27, est présent à l'angle nord-ouest de la zone. Ce bâti semble persister jusqu'au milieu du XX<sup>e</sup> siècle, alors que le côté sud du quadrilatère est occupé par un imposant complexe industriel (Ethnoscop, 2008a : plan 30). La zone H6-6 est aujourd'hui occupée par des édifices commerciaux (Ethnoscop, 2008a : tableau 4).

### 2.11.1 Sous-opérations MTL09-23-1-18A à 18C

Les emplacements de ces trois sous-opérations correspondent à ceux de sondages exploratoires effectués le 9 juin 2009, dans la partie sud-ouest de la zone à potentiel archéologique H6-6 (plan 12 et photo 36).



Photo 36 : Partie ouest de la zone à potentiel historique H6-6 occupée par des entrepôts, direction nord-est (MTL09-23-1-NUM3-154)

### 2.11.2 Sous-opérations MTL09-23-1-19A à 19F

Ces six sous-opérations sont associées à des forages réalisés les 16 et 18 juin 2009, dans la partie sud de la zone à potentiel archéologique H6-6. Un forage a même été réalisé dans la cave d'un des bâtiments présents dans cet espace (plan 12).

### **2.11.3 Résultats**

Les interventions archéologiques réalisées dans la zone à potentiel historique H6-6 n'ont permis de déceler aucun niveau d'occupation ancien parmi les couches de sol expertisées (tableau 11). La construction de plusieurs bâtiments munis d'une cave enfouie profondément dans le sol (sous-opération 19F) et l'implantation de réseaux publics souterrains (sous-opération 18B) au cours de la deuxième moitié du XX<sup>e</sup> siècle semblent en effet avoir éradiqué les couches de sol ayant pu contenir des traces d'occupation ancienne (plan 17).

Le profil stratigraphique des forages et sondages réalisés à l'extérieur des bâtiments se compose de remblais de rehaussement dont l'épaisseur varie de 1,10 m à 1,50 m. Ces remblais sont constitués d'une matrice variant de limono-sableuse à argilo-sableuse et contenant des graviers ainsi que des fragments de pierre de calcaire, de brique et d'asphalte. Dans la sous-opération 18A, on trouve, en surface, une couche de sol mélangé à une grande quantité de déchets : morceaux de contreplaqué, livres et sacs de poubelle en plastique. Ce remblai de rehaussement d'origine récente a vraisemblablement été mis en place au moment de la construction de l'entrepôt qui se trouve actuellement sur ce terrain. Il repose directement sur la surface dérasée des sols naturels stériles.

Les profils stratigraphiques enregistrés dans les forages effectués à l'intérieur des entrepôts du Dépotium sont similaires (plan 12). Dans les sous-opérations 19D et 19E, une dalle de béton formant le plancher du bâtiment repose directement sur la surface dérasée des sols naturels stériles. Dans les autres sous-opérations, la dalle de béton a été mise en place sur un remblai de rehaussement constitué d'un limon sableux contenant des fragments de brique et de pierre de calcaire ainsi que des graviers. Ce remblai, d'une épaisseur d'environ 1,70 m, repose sur un till d'ablation qui compose la surface dérasée des sols naturels stériles.

### **2.11.4 Discussion et recommandation**

Dans l'étude de potentiel, il a été recommandé de réaliser un inventaire archéologique au moyen d'un minimum de cinq tranchées de 2 m par 10 m excavées mécaniquement (Ethnoscop 2008a). À partir des résultats de la surveillance archéologique des forages et des tranchées, cette recommandation est rejetée. En effet, les perturbations et les bouleversements causés par l'implantation de nombreux bâtiments sur la totalité de la zone à potentiel archéologique H6-6 (et sur une partie de la zone à potentiel préhistorique P3) au cours de la deuxième moitié du XX<sup>e</sup> siècle ont éliminé toutes chances de mettre au jour des vestiges d'occupation datant des ces périodes.

## **2.12 Zone à potentiel archéologique historique H6-7**

La zone H6-7 borde le côté ouest du canal de l'Aqueduc, qui fut inauguré en 1856 et dont les murs de support et le tracé ont subi quelques modifications au fil des ans (plan 12). Cet ouvrage de plusieurs kilomètres de longueur mériterait une recherche historique plus approfondie (Ethnoscop, 2008a : tableau 4).

**Tableau 11 : Synthèse des résultats de la surveillance archéologique dans la zone à potentiel archéologique historique H6-6**

Numéro d'identification archéologique	Numéro séquentiel	Niveau actuel du terrain (mètre NMM)	Niveau d'intérêt archéologique (mètre NMM)	Surface des sols naturels stériles (mètre NMM)	Niveau atteint (mètre NMM)	Description	Discussion	Recommandations
MTL09-23-1-18A	883	21,33	-	20,23	18,08	Le profil stratigraphique de cette tranchée se compose, à partir de la surface, d'une importante couche de déchets contenant des livres, des morceaux de contreplaqué et des sacs de poubelle en plastique. La surface des sols naturels, contenant quelques fragments de brique, a été atteinte sous ces déchets à environ 1,10 m de profondeur sous le niveau actuel du terrain. Sous la surface, le sol naturel devient stérile.	La construction des entrepôts à cet endroit a grandement perturbé les sols en place au point de faire disparaître toutes les couches présentant un intérêt archéologique. Les sols naturels reposent directement sous les différents remblais récents.	Aucune recommandation n'est formulée quant à la poursuite de la recherche archéologique à cet endroit.
MTL09-23-1-18B	884	21,26	-	19,86	18,16	Le profil stratigraphique de cette tranchée se compose, à partir de la surface, d'un limon sableux d'une épaisseur de 0,65 m contenant beaucoup de gravier. Il repose sur un limon graveleux et caillouteux qui a servi à combler la tranchée de deux canalisations en terre cuite grossière, mises en place à environ 1,30 m de profondeur sous le niveau actuel du terrain. La surface des sols naturels stériles, composée d'un limon graveleux et caillouteux, a été atteinte à environ 1,40 m de profondeur.	L'implantation de services publics à cet endroit a grandement perturbé les contextes archéologiques. Aucune couche ne présente d'intérêt pour la recherche archéologique à cet endroit.	Aucune recommandation n'est formulée quant à la poursuite de la recherche archéologique à cet endroit.
MTL09-23-1-18C	885	21,30	-	20,20	18,80	Le profil stratigraphique de cette tranchée se compose, à partir de la surface, d'un remblai d'argile limoneuse contenant des fragments de pierre de calcaire, de brique et d'asphalte. Ces inclusions deviennent toutefois de moins en moins présentes en profondeur. La surface des sols naturels stériles, constituée d'un till d'ablation, apparaît sous ce remblai à environ 1,10 m de profondeur sous le niveau actuel du terrain.	La construction des entrepôts à cet endroit a grandement perturbé les sols en place au point de faire disparaître toutes les couches présentant un intérêt archéologique. Les sols naturels reposent directement sous les différents remblais récents.	Aucune recommandation n'est formulée quant à la poursuite de la recherche archéologique à cet endroit.
MTL09-23-1-19A	888	21,38	-	20,18	16,65	Le profil stratigraphique de ce forage se compose, à partir de la surface, d'une dalle de béton de 0,14 m d'épaisseur reposant sur un mélange de gravier et de sable. Ce mélange repose à son tour sur un limon sableux contenant quelques graviers. La surface des sols naturels stériles, constituée d'un till d'ablation, a été atteinte à environ 1,20 m de profondeur sous le niveau actuel du terrain.	La séquence stratigraphique de ce forage témoigne des perturbations récentes associées à la construction des entrepôts actuels. Aucune couche ne présente d'intérêt archéologique.	Aucune recommandation n'est formulée quant à la poursuite de la recherche archéologique à cet endroit.
MTL09-23-1-19B	889	21,46	-	19,66	19,46	Le profil stratigraphique de ce forage se compose, à partir de la surface, d'une dalle de béton de 0,11 m d'épaisseur reposant sur un limon sableux contenant quelques graviers, qui apparaît comme un till d'ablation remanié. La surface des sols naturels stériles a été atteinte sous cette couche à environ 1,80 m de profondeur sous le niveau actuel du terrain.	La séquence stratigraphique de ce forage témoigne des perturbations récentes associées à la construction des entrepôts actuels. Aucune couche ne présente d'intérêt archéologique.	Aucune recommandation n'est formulée quant à la poursuite de la recherche archéologique à cet endroit.
MTL09-23-1-19C	890	21,29	-	-	18,85	Le profil stratigraphique de ce forage se compose, à partir de la surface, d'un limon sableux contenant des graviers et des fragments de brique. Ce limon repose sur un limon sableux contenant quelques graviers. Le premier limon semble correspondre à un till d'ablation remanié alors que le limon sous-jacent apparaît comme un till non remanié.	La construction des entrepôts à cet endroit a grandement perturbé les sols en place au point de faire disparaître toutes les couches présentant un intérêt archéologique. Les sols naturels reposent directement sous les différents remblais récents.	Aucune recommandation n'est formulée quant à la poursuite de la recherche archéologique à cet endroit.
MTL09-23-1-19D	894	21,03	-	20,92	19,20	Le profil stratigraphique de ce forage se compose, à partir de la surface, d'une dalle de béton de 0,11 m d'épaisseur reposant sur un limon argileux contenant des graviers. Ce limon apparaît comme un till d'ablation qui constitue la surface des sols naturels stériles.	La séquence stratigraphique de ce forage témoigne des perturbations récentes associées à la construction des entrepôts actuels. Aucune couche ne présente d'intérêt archéologique.	Aucune recommandation n'est formulée quant à la poursuite de la recherche archéologique à cet endroit.
MTL09-23-1-19E	893	21,05	-	20,93	17,44	Le profil stratigraphique de ce forage se compose, à partir de la surface, d'une dalle de béton de 0,12 m d'épaisseur reposant sur un limon argileux contenant des graviers. Ce limon apparaît comme un till d'ablation qui constitue la surface des sols naturels stériles.	La séquence stratigraphique de ce forage témoigne des perturbations récentes associées à la construction des entrepôts actuels. Aucune couche ne présente d'intérêt archéologique.	Aucune recommandation n'est formulée quant à la poursuite de la recherche archéologique à cet endroit.
MTL09-23-1-19F	892	19,39	-	18,79	18,32	Le profil stratigraphique de ce forage se compose, à partir de la surface, d'une dalle de béton de 0,30 m d'épaisseur qui semble associée au plancher du sous-sol d'un ancien bâtiment. Cette dalle de béton repose sur un lit de pierre concassée. La surface des sols naturels stériles, constituée d'un till d'ablation, a été atteinte sous le remblai de pierre concassée, à une profondeur d'environ 0,60 m sous le niveau actuel du terrain.	L'ensemble de la séquence stratigraphique de ce forage témoigne de perturbations récentes ayant affecté la surface des sols naturels. Aucune couche ne présente d'intérêt pour l'archéologie.	Aucune recommandation n'est formulée quant à la poursuite de la recherche archéologique à cet endroit.

### **2.12.1 Sous-opération MTL09-23-1-13C**

L'emplacement de cette sous-opération correspond à celui d'un forage réalisé le 15 juin 2009 en bordure du canal de l'Aqueduc, dans la partie sud de la zone à potentiel archéologique H6-7 (plan 12).

### **2.12.2 Sous-opérations MTL09-23-1-16A à 16E**

Ces cinq sous-opérations correspondent à l'emplacement de sondages exploratoires effectués le 5 et le 8 juin 2009, dans la zone à potentiel archéologique H6-7 (photo 37). Ces sous-opérations sont toutes localisées à moins de 20,00 m du canal de l'Aqueduc (plan 12).

### **2.12.3 Sous-opérations MTL09-23-1-17A à 17D**

Les emplacements de ces quatre sous-opérations correspondent à ceux de forages réalisés le 15 juin 2009 dans la partie est de la zone à potentiel archéologique H6-7, en bordure du canal de l'Aqueduc (plan 12 et photo 38).

### **2.12.4 Résultats**

Les interventions archéologiques réalisées à proximité du canal de l'Aqueduc, dans la zone à potentiel archéologique H6-7, ont permis d'enregistrer un profil stratigraphique homogène qui se répète dans chacune des sous-opérations (tableau 12). Celui-ci se compose d'importantes couches de remblai dont la matrice est principalement constituée de sable et de limon contenant de nombreux fragments de pierre de calcaire (photo 39). Certaines de ces couches sont même presque exclusivement composées de fragments de pierre de calcaire de dimensions variables (de fines particules jusqu'à des éléments de 0,30 m de diamètre). Ces matériaux de remblai proviennent probablement du creusement du canal de l'Aqueduc et des tranchées d'implantation de ses deux murs, la plupart des sous-opérations étant localisées immédiatement à l'ouest du mur ouest du canal. Dans les sous-opérations 16A et 16C, réalisées à environ 20,00 m à l'ouest du canal, la limite des excavations pour la construction du canal semble avoir été atteinte. Dans les sous-opérations situées à environ 30 m, le profil stratigraphique présente des remblais de moindre épaisseur. Il est aussi important de noter que seules deux sous-opérations ont permis d'atteindre la surface des sols naturels stériles.

Dans la sous-opération 16B, un ancien dallage constitué d'un rang de briques de laitier déposées à plat et disposées selon un axe nord-sud sur une longueur d'environ 2,50 m a été observé à une profondeur d'environ 1,30 m (photo 40). Il pourrait s'agir d'une aire de circulation rudimentaire, associée aux maisons en rangée qui occupaient cette partie de la zone H6-7 au cours de la deuxième moitié du XX<sup>e</sup> siècle. La surface dérasée des sols naturels stériles, constituée d'un till d'ablation, a été atteinte dans ce sondage à une profondeur d'environ 2,60 m sous le niveau actuel du terrain. Cette surface a aussi été atteinte dans la sous-opération 17C, à une profondeur d'environ 3,60 m.



Photo 37 : Sous-opération MTL09-24-1-16E dans la zone à potentiel historique H6-7, direction nord (MTL09-24-1- NUM1-6)

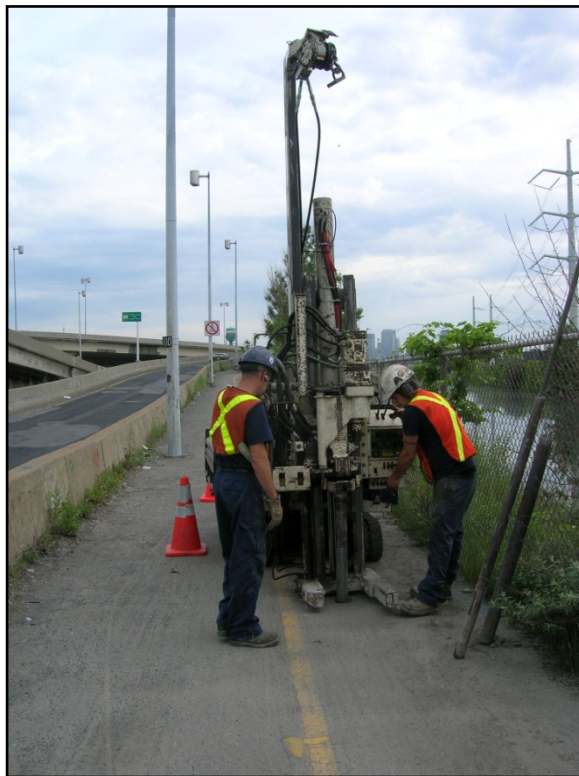


Photo 38 : Sous-opération MTL09-24-1-13C dans la zone à potentiel historique H6-7, direction nord (MTL09-24-1- NUM1-7)

**Tableau 12 : Synthèse des résultats de la surveillance archéologique dans la zone à potentiel archéologique historique H6-7**

Numéro d'identification archéologique	Numéro séquentiel	Niveau actuel du terrain (mètre NMM)	Niveau d'intérêt archéologique (mètre NMM)	Surface des sols naturels stériles (mètre NMM)	Niveau atteint (mètre NMM)	Description	Discussion	Recommandations
MTL09-24-1-13C	392	20,36	-	-	15,48	Le profil stratigraphique de ce forage se compose, à partir de la surface, d'un épais remblai de sable, parfois de limon, contenant beaucoup de fragments de pierre de calcaire. Aucun sol naturel stérile n'a été observé pendant la réalisation de ce forage.	Le remblai observé semble associé aux travaux d'aménagement du canal de l'Aqueduc, situé à proximité.	Aucune recommandation n'est formulée quant à la poursuite de la recherche archéologique à cet endroit.
MTL09-24-1-16A	405	20,82	-	-	-	Le profil stratigraphique de cette tranchée se compose, à partir de la surface, d'une couche d'asphalte déposée sur un lit de pierre concassée, le tout d'une épaisseur de 0,40 m. Cette pierre concassée repose sur un mélange de limon et de sable contenant beaucoup de fragments de pierre de calcaire, qui a été excavé jusqu'à une profondeur de 3,00 m sous le niveau actuel du terrain. Aucun sol naturel stérile n'a été observé au cours de l'excavation de cette tranchée.	Le remblai observé semble associé aux travaux d'aménagement du canal de l'Aqueduc, situé à proximité.	Aucune recommandation n'est formulée quant à la poursuite de la recherche archéologique à cet endroit.
MTL09-24-1-16B	408	20,96	-	18,36	16,46	Le profil stratigraphique de cette tranchée se compose, à partir de la surface, d'un remblai d'environ 1,30 m d'épaisseur de sable limoneux, contenant de nombreux fragments de pierre de calcaire et quelques briques de laitier. Ce qui apparaît comme une ancienne aire de circulation a été mis au jour sous ce remblai. Il s'agit d'un rang de briques de laitier déposées à plat sur une longueur d'environ 2,50 m et orientées selon un axe nord-sud. Les briques ne sont pas liées entre elles, mais elles semblent avoir été déposées sur une couche de mortier. Ce mortier repose sur un remblai de limon sableux contenant quelques cailloux et blocs de pierre de calcaire. La surface du sol naturel stérile, constituée d'un limon sableux contenant quelques graviers, a été atteinte sous ce mortier, à une profondeur d'environ 2,60 m sous le niveau actuel du terrain.	L'ancienne aire de circulation en briques de laitier pourrait être associée à la présence de bâtiments résidentiels au courant du XX <sup>e</sup> siècle. L'absence de couches présentant un intérêt archéologique rend cet espace exclu de toute future intervention.	Aucune recommandation n'est formulée quant à la poursuite de la recherche archéologique à cet endroit.
MTL09-24-1-16C	399	20,01	-	-	15,91	Le profil stratigraphique de cette tranchée se compose, à partir de la surface, d'une épaisseur de 0,30 m de sable contenant des graviers et des blocs de pierre de calcaire. Ce sable repose sur un épais remblai de fragments de pierre de calcaire qui est visible jusqu'au fond de la tranchée et qui se trouve à une profondeur d'environ 4,10 m sous le niveau actuel du terrain. Aucun sol naturel n'a été observé au cours de l'excavation de cette tranchée.	Le remblai observé semble associé aux travaux d'aménagement du canal de l'Aqueduc, situé à proximité.	Aucune recommandation n'est formulée quant à la poursuite de la recherche archéologique à cet endroit.
MTL09-24-1-16D	394	19,81	-	-	17,31	Le profil stratigraphique de cette tranchée se compose, à partir de la surface, d'une importante couche de pierre concassée présente jusqu'au fond de la tranchée, soit jusqu'à une profondeur d'environ 2,50 m sous le niveau actuel du terrain. La présence d'eau à partir de 1,90 m de profondeur n'a pas permis de poursuivre l'excavation de cette tranchée.	Le remblai observé semble associé aux travaux d'aménagement du canal de l'Aqueduc, situé à proximité.	Aucune recommandation n'est formulée quant à la poursuite de la recherche archéologique à cet endroit.
MTL09-24-1-16E	396	19,92	-	-	16,92	Le profil stratigraphique de cette tranchée se compose, à partir de la surface, d'une couche légèrement organique contenant un peu de pierre concassée reposant sur une couche de pierre concassée. Le tout a été observé jusqu'à une profondeur d'environ 0,55 m sous le niveau actuel du terrain. Sous ces remblais, on trouve une couche de pierre de calcaire fragmentée dont les plus gros éléments atteignent 0,30 m de diamètre.	La présence de remblais importants semble associée aux travaux d'aménagement du canal de l'Aqueduc.	Aucune recommandation n'est formulée quant à la poursuite de la recherche archéologique à cet endroit.
MTL09-24-1-17A	390	21,47	-	-	17,27	Le profil stratigraphique de ce forage se compose d'un épais mélange de pierre de calcaire concassée, de limon et de sable. Aucun sol naturel en place n'a été observé.	Le remblai observé semble associé aux travaux d'aménagement du canal de l'Aqueduc, situé à proximité.	Aucune recommandation n'est formulée quant à la poursuite de la recherche archéologique à cet endroit.
MTL09-24-1-17B	389	20,04	-	-	16,38	Le profil stratigraphique de ce forage se compose, à partir de la surface, d'un épais mélange de pierre de calcaire concassée, de sable et de limon reposant sur des fragments de pierre de calcaire. Le forage, qui atteint une profondeur d'environ 3,66 m sous le niveau actuel du terrain, n'a pas permis d'observer de sol naturel stérile.	La présence de remblais successifs est probablement associée aux travaux d'aménagement du canal de l'Aqueduc.	Aucune recommandation n'est formulée quant à la poursuite de la recherche archéologique à cet endroit.
MTL09-24-1-17C	845	21,66	-	18,06	16,78	Le profil stratigraphique de ce forage, réalisé à environ 10 m de la limite ouest du canal de l'Aqueduc, se compose, à partir de la surface, d'un remblai de 3,60 m d'épaisseur de sable et de pierre de calcaire fragmentée. Il repose sur un sol naturel stérile constitué d'un till d'ablation.	Les travaux d'aménagement du canal de l'Aqueduc ont vraisemblablement fait disparaître les couches ayant pu présenter un intérêt archéologique. Les remblais observés semblent associés à cet aménagement.	Aucune recommandation n'est formulée quant à la poursuite de la recherche archéologique à cet endroit.
MTL09-24-1-17D	841	19,95	-	-	15,35	Le profil stratigraphique de ce forage se compose, à partir de la surface, d'une mince couche de sable légèrement organique associée à des travaux d'aménagement du terrain effectués récemment. Ce sable repose sur une épaisse couche de sable, parfois limoneux, contenant de nombreux fragments de pierre de calcaire. La fin du forage a été atteinte dans ce remblai.	Le remblai observé semble associé aux travaux d'aménagement du canal de l'Aqueduc, situé à proximité.	Aucune recommandation n'est formulée quant à la poursuite de la recherche archéologique à cet endroit.



Photo 39 : Profil stratigraphique type montrant les remblais de calcaire broyé associés à l'aménagement du canal de l'Aqueduc, direction ouest (MTL09-24-1-NUM1-4)



Photo 40 : Assemblage de briques de laitier disposées à plat possiblement associé à une surface de circulation rudimentaire, sous-opération MTL09-24-1-16B, direction sud (MTL09-24-1-NUM1-2)

### **2.12.5 Discussion et recommandation**

Dans l'étude de potentiel, il a été recommandé de réaliser un inventaire archéologique au moyen d'un minimum de cinq tranchées de 2 m par 10 m excavées mécaniquement (Ethnoscop 2008a). À partir des résultats de la surveillance archéologique des forages et des tranchées, cette recommandation est rejetée. En effet, étant donné l'importance des remblais associés à la construction du canal de l'Aqueduc et le peu d'informations recueillies sur les sols anciens, aucun élément d'intérêt archéologique ne semble subsister à cet endroit.

## **2.13 Secteur à potentiel archéologique historique H6**

Le secteur H6 correspond à une dizaine d'îlots entre le canal de Lachine, à l'ouest, et le canal de l'Aqueduc, à l'est (plans 8 et 12). C'est dans cet espace que s'est installé l'ancien village de Côte-Saint-Paul à partir du milieu du XIX<sup>e</sup> siècle. L'aménagement d'un réseau de canaux et l'implantation de plusieurs industries dans ce secteur ont contribué à ce lotissement (Ethnoscop, 2008a : tableau 4). Ce village a été habité principalement par les employés travaillant dans ces industries.

Au début du XX<sup>e</sup> siècle, deux compagnies de chemin de fer, le Grand Tronc et le Canadien Pacifique, possèdent des voies ferrées traversant le secteur d'est en ouest. Le Grand Tronc gère principalement la portion est, tandis que le Canadien Pacifique exploite la portion ouest. Au milieu du XX<sup>e</sup> siècle, plusieurs voies ferrées occupent cet espace, qui a alors davantage l'aspect d'une cour de triage. Celle-ci perdure jusqu'à la construction de l'autoroute 15 dans les années 1960.

Dans la portion est de ce secteur, s'étirant selon un axe nord-sud, des voies ferrées ont également été implantées parallèlement au canal de l'Aqueduc. Quelques complexes industriels ont été répartis de part et d'autre de ces dernières, principalement au courant de la seconde moitié du XX<sup>e</sup> siècle.

### **2.13.1 Sous-opérations MTL09-23-1-3D et 3E**

Les emplacements de ces sous-opérations correspondent à ceux des forages réalisés les 5 et 6 mai 2009, dans la partie est du secteur à potentiel archéologique H6. Ces forages ont été effectués de part et d'autre de la rue Pitt, à l'intersection de l'avenue Dunn (plan 12).

### **2.13.2 Sous-opérations MTL09-23-1-12J à 12Z et 12AA à 12CC**

Les emplacements de ces sous-opérations correspondent à ceux de sondages exploratoires effectués entre le 2 et le 9 juin 2009, dans la partie est du secteur H6. Ces tranchées ont été excavées sous l'autoroute 15 et entre les différentes voies joignant l'autoroute à l'avenue de l'Église (plan 12).

### 2.13.3 Sous-opérations MTL09-23-1-13B et 13D à 13F

Ces quatre sous-opérations correspondent à l'emplacement de forages réalisés les 15 et 16 juin 2009. Les deux premiers ont été exécutés entre les voies joignant l'autoroute à l'avenue de l'Église, tandis que les deux autres l'ont été à l'extrémité est de la rue De Roberval (plan 12).

### 2.13.4 Sous-opérations MTL09-23-1-14A à 14R

Les emplacements de ces sous-opérations correspondent à ceux de sondages exploratoires effectués entre le 3 et le 5 juin 2009, dans la partie nord-est du secteur à potentiel archéologique H6 (plan 12). Ces tranchées, réalisées dans une vaste aire de circulation de la compagnie Crane, visaient la caractérisation environnementale des sols. Un seul sondage a été réalisé dans un hangar situé au centre de cette même aire de circulation (photo 41).



Photo 41 : Sous-opération MTL09-23-1-14F dans le hangar en tôle situé sur le terrain de la compagnie Crane, direction nord-est (MTL09-23-1-NUM3-121)

### 2.13.5 Sous-opérations MTL09-23-1-15A à 15F

Ces six sous-opérations correspondent à l'emplacement de forages réalisés le 17 et le 18 juin 2009, dans la partie nord-est du secteur à potentiel archéologique H6. La moitié de ceux-ci ont été effectués dans l'aire de circulation autour du bâtiment principal de la compagnie Crane. L'autre moitié a été effectuée à l'intérieur de ce dernier (plan 12).

### **2.13.6 Résultats**

Les interventions archéologiques réalisées dans le secteur à potentiel historique H6 ont été regroupées selon leurs emplacements en deux espaces distincts. Le premier, localisé dans la partie sud du secteur H6, se rapporte aux interventions effectuées au sud de l'avenue Dunn, entre les zones à potentiel historique H6-5, H6-6 et H6-7 (plan 12). Le deuxième espace correspond aux interventions réalisées sur le terrain de la compagnie Crane, immédiatement au nord de l'avenue Dunn (plan 12).

#### **2.13.6.1 Partie sud**

Les profils stratigraphiques enregistrés dans les sous-opérations de cette partie du secteur H6 (tableau 13) se caractérisent par la présence de remblais sableux, souvent mélangés à du limon et à de l'argile. Plusieurs inclusions ont aussi été observées dans ces remblais : fragments de pierre de calcaire partiellement calcinés, de brique, de béton, d'asphalte, de bois, de mortier et de charbon minéral ainsi que des scories. Ces inclusions semblent associées à des déchets ou résidus provenant d'activités domestiques et industrielles. Cela concorde avec les informations recueillies sur les plans anciens (plan 13), à savoir que des bâtiments à vocation résidentielle et industrielle se sont côtoyés dans cette partie du secteur H6 depuis le début du XX<sup>e</sup> siècle.

Par ailleurs, quelques éléments en béton probablement associés à des occupations remontant au milieu du XX<sup>e</sup> siècle ont été mis au jour dans les sous-opérations 12J, 12R, 12Z, 12AA, 12BB et 12CC (plan 12 et tableau 12). Pour trois d'entre elles (12J, 12Z et 12AA), il s'agirait des vestiges des murs de fondation et des planchers du sous-sol de maisons en rangée. Dans la sous-opération 12R, il semble que ce soit le vestige d'un plancher en béton associé à un bâtiment industriel (photos 42 et 43). Enfin, dans les sous-opérations 12BB et 12CC, il s'agit d'une section de bordure de trottoir et d'un éventuel massif de conduits électriques implantés au cours de la deuxième moitié du XX<sup>e</sup> siècle (plan 17).

L'élément qui présente le plus d'intérêt archéologique est une couche de limon ou d'argile sableuse, parfois organique, contenant de rares fragments de charbon minéral, de brique et de céramique en terre cuite fine blanche vitrifiée ainsi que de petites scories, enregistrée dans les sous-opérations 12N, 12Q et 12Y (photo 44). Il pourrait s'agir de la surface de l'horizon organique du sol naturel, dans laquelle il est possible de mettre au jour des vestiges d'une occupation historique remontant à la deuxième moitié du XIX<sup>e</sup> siècle, et même d'une occupation préhistorique, puisque les travaux ont été réalisés à l'intérieur de la zone à potentiel préhistorique P3. Cette couche, d'une épaisseur variant de 0,20 m à 0,70 m et dont la surface se situe à une altitude comprise entre 18,91 m et 19,14 m (NMM), repose directement sur un sol naturel stérile.

#### **2.13.6.2 Partie nord**

Les profils stratigraphiques enregistrés dans les sous-opérations de la partie nord du secteur H6 (plan 12), occupé à l'origine par la compagnie Smith Transport Limited et plus

**Tableau 13 : Synthèse des résultats de la surveillance archéologique dans le secteur à potentiel archéologique historique H6**

Numéro d'identification archéologique	Numéro séquentiel	Niveau actuel du terrain (mètre NMM)	Niveau d'intérêt archéologique (mètre NMM)	Surface des sols naturels stériles (mètre NMM)	Niveau atteint (mètre NMM)	Description	Discussion	Recommandations
MTL09-23-1-3D	835	19,01	-	17,81	15,35	Le profil stratigraphique de ce forage se compose, à partir de la surface, d'un remblai sableux reposant sur un mélange de particules de scories et de fragments de pierre de calcaire partiellement calcinés et de charbon minéral. La surface des sols naturels stériles, constituée d'un limon brun grisâtre à beigeâtre contenant quelques graviers, est atteinte à environ 1,20 m sous le niveau actuel du terrain. Il s'agit vraisemblablement d'un till d'ablation.	Aucune couche présentant un intérêt archéologique n'a été observée dans ce forage. Seuls divers remblais reposant sur le sol naturel dérasé caractérisent ce secteur.	Aucune recommandation n'est formulée quant à la poursuite de la recherche archéologique à cet endroit.
MTL09-23-1-3E	834	19,14	-	17,31	15,48	Le profil stratigraphique de ce forage se compose, à partir de la surface, d'un sol de revêtement reposant sur un remblai composé d'un mélange de scories, de fragments de charbon minéral et de mortier ainsi que de poudre de brique et de cendre. Quelques fragments de céramique en terre cuite fine blanche vitrifiée et de verre à bouteilles ont aussi été observés dans ce remblai. La surface des sols naturels stériles, constituée d'un till d'ablation, a été atteinte à une profondeur d'environ 1,83 m sous le niveau actuel du terrain.	Les travaux de construction du bâtiment de la compagnie Crane auront certainement perturbé les contextes archéologiques de cet espace. Aucune couche ne présente d'intérêt archéologique.	Aucune recommandation n'est formulée quant à la poursuite de la recherche archéologique à cet endroit.
MTL09-23-1-12J	402	20,15	-	-	17,25	Le profil stratigraphique de cette tranchée se compose, à partir de la surface, d'un important remblai de sable argileux contenant des fragments de brique et d'asphalte. Sous ce remblai, à une profondeur d'environ 1,60 m sous la surface actuelle du terrain, le sommet dérasé d'un mur en brique orienté selon un axe nord-sud a été mis au jour. La totalité de l'espace situé à l'est de ce mur a été comblée par divers débris de démolition (briques, bois, métal et morceaux de mur de béton), qui reposent sur une dalle de béton dont le sommet se trouve à une profondeur de 2,90 m. Cette dalle de béton pourrait correspondre au plancher du sous-sol d'une ancienne habitation en rangée présente à cet endroit au cours du XX <sup>e</sup> siècle. L'excavation de la tranchée s'est arrêtée sur la dalle de béton.	L'ensemble des couches correspond à divers épisodes de remblaiement de la cave d'un bâtiment récent présent à cet endroit. Ces couches ne revêtent pas d'intérêt pour la recherche archéologique.	Aucune recommandation n'est formulée quant à la poursuite de la recherche archéologique à cet endroit.
MTL09-23-1-12K	400	19,76	-	16,46	15,76	Le profil stratigraphique de cette tranchée se compose, à partir de la surface, d'un sable graveleux d'environ 1,30 m d'épaisseur reposant sur une couche de pierre concassée de 1,20 m d'épaisseur contenant des fragments d'asphalte et de béton. La pierre concassée a été déposée sur des remblais successifs contenant des fragments de pierre de calcaire partiellement calcinés et de charbon minéral ainsi que quelques tessons de céramique en terre cuite fine blanche et de verre à bouteilles. La surface des sols naturels stériles, constituée d'un till de fond, a été atteinte sous ces remblais à une profondeur d'environ 3,30 m sous le niveau actuel du terrain.	Les épaisses couches de remblais de cet espace reposent directement sur le sol naturel stérile. Ainsi, il ne subsiste pas de potentiel de mettre au jour des vestiges d'occupations à cet endroit.	Aucune recommandation n'est formulée quant à la poursuite de la recherche archéologique à cet endroit.
MTL09-23-1-12L	407	20,66	-	17,96	16,66	Le profil stratigraphique de cette tranchée se compose, à partir de la surface, de plusieurs remblais successifs contenant principalement de la pierre concassée, des lentilles de sable et des fragments de béton. Ces derniers reposent sur un mélange de fragments de métal, de béton, de brique et de bois ainsi que de lentilles de till gris. La surface des sols naturels stériles, constituée d'un till d'ablation, a été atteinte sous ces remblais à une profondeur d'environ 2,70 m sous le niveau actuel du terrain.	Les épaisses couches de remblais de cet espace reposent directement sur le sol naturel stérile. Ainsi, il ne subsiste pas de potentiel de mettre au jour des vestiges d'occupations à cet endroit.	Aucune recommandation n'est formulée quant à la poursuite de la recherche archéologique à cet endroit.
MTL09-23-1-12M	403	19,49	-	16,59	15,59	Le profil stratigraphique de cette tranchée se compose, à partir de la surface, d'un revêtement de pierre concassée reposant sur un remblai de sable limoneux et graveleux correspondant vraisemblablement à des sédiments littoraux rapportés. Sous ce remblai, à environ 1,00 m de profondeur sous le niveau actuel du terrain, on trouve une couche de déchets divers composée de fragments de charbon minéral, de brique, de bois et de crépi ainsi que de mortier sur une épaisseur totale d'environ 0,30 m. Les deux couches suivantes se rapportent à des sols naturels remaniés, puisqu'elles contiennent des traces de scories et de chaux. La surface des sols naturels stériles, constituée d'un till d'ablation, a par la suite été observée à une profondeur d'environ 2,90 m sous le niveau actuel du terrain.	L'ensemble des remblais présent à cet endroit a été déposé directement sur le sol naturel stérile. Le potentiel archéologique de cet espace est donc nul.	Aucune recommandation n'est formulée quant à la poursuite de la recherche archéologique à cet endroit.
MTL09-23-1-12N	406	20,25	-	19,05	16,35	Le profil stratigraphique de cette tranchée se compose, à partir de la surface, de sable graveleux d'une épaisseur d'environ 1,00 m contenant un peu de brique et quelques fragments de mortier. Sous ce sable, on trouve un mélange de nombreux fragments de charbon minéral et de scories. La surface de ce qui apparaît comme un sol naturel remanié, constitué d'un limon sableux brun foncé et homogène contenant de rares traces de charbon minéral, de scories et de petits fragments de coquillages, a été atteinte à environ 1,20 m de profondeur sous le niveau actuel du terrain. La surface des sols naturels stériles apparaît quant à elle à environ 1,40 m de profondeur.	Aucune des couches ne présente d'intérêt pour la recherche archéologique à cet endroit puisque la séquence stratigraphique témoigne de perturbations récentes jusqu'au sol naturel stérile.	Aucune recommandation n'est formulée quant à la poursuite de la recherche archéologique à cet endroit.

Numéro d'identification archéologique	Numéro séquentiel	Niveau actuel du terrain (mètre NMM)	Niveau d'intérêt archéologique (mètre NMM)	Surface des sols naturels stériles (mètre NMM)	Niveau atteint (mètre NMM)	Description	Discussion	Recommandations
MTL09-23-1-12P	409	20,57	-	19,47	17,97	Le profil stratigraphique de cette tranchée se compose, à partir de la surface, d'un revêtement de pierre concassée déposé sur un remblai de sable limoneux contenant des graviers. La surface des sols naturels stériles, constituée d'un till d'ablation, a été atteinte à une profondeur d'environ 1,10 m sous le niveau actuel du terrain. Une excavation comblée avec des sédiments glaciaires a aussi été observée dans la partie ouest de la tranchée. Cette dernière est sans aucun doute associée à la construction d'un pilier de l'autoroute 15 situé à moins de 1,50 m de la tranchée.	L'aménagement de piliers associés à l'autoroute 15 a perturbé en profondeur les sols présents dans ce secteur. Aucune couche ne présente d'intérêt pour l'archéologie.	Aucune recommandation n'est formulée quant à la poursuite de la recherche archéologique à cet endroit.
MTL09-23-1-12Q	404	20,11	-	18,91	16,71	Le profil stratigraphique de cette tranchée se compose, à partir de la surface, d'un remblai de sable contenant de la pierre concassée et reposant sur un remblai de sédiments glaciaires contenant des fragments de béton. La surface des sols naturels, constituée d'une argile sableuse homogène brun foncé et organique, d'une épaisseur de 0,40 m, a été atteinte à une profondeur d'environ 1,20 m sous le niveau actuel du terrain. Elle repose sur une argile similaire de couleur brun verdâtre et sans présence de matière organique. La surface des sols naturels stériles, constituée d'un till d'ablation, a par ailleurs été atteinte à environ 2,50 m de profondeur.	Les sols naturels ont été perturbés au point de faire complètement disparaître les couches ayant pu présenter un intérêt archéologique.	Aucune recommandation n'est formulée quant à la poursuite de la recherche archéologique à cet endroit.
MTL09-23-1-12R	401	19,16	-	-	16,96	Le profil stratigraphique de cette tranchée se compose, à partir de la surface, d'un sol de revêtement de la surface actuelle reposant sur un mélange de débris composé de bois, de fragments de pierre de calcaire, de brique, de tôle et de morceaux de béton provenant d'un mur. Ces débris ont été déposés sur une dalle de béton mise au jour à une profondeur d'environ 2,20 m sous le niveau actuel du terrain. Cette dernière est probablement associée au plancher du sous-sol d'un ancien bâtiment industriel qui se trouvait à cet endroit au cours du XX <sup>e</sup> siècle.	Les couches observées dans cette tranchée se rapportent au comblement de la cave d'un bâtiment pourvue d'un plancher de béton. Ces débris ont vraisemblablement été déposés à cet endroit lors de l'expropriation des bâtiments du secteur peu avant la construction de l'autoroute 15.	Aucune recommandation n'est formulée quant à la poursuite de la recherche archéologique à cet endroit.
MTL09-23-1-12S	398	19,40	-	17,80	16,10	Le profil stratigraphique de cette tranchée se compose, à partir de la surface, d'une succession de remblais d'une épaisseur totale de 1,60 m. Ces remblais sont principalement composés de sédiments sableux contenant des fragments de pierre de calcaire et de brique ainsi que de la chaux et quelques scories. La surface des sols naturels stériles, constituée d'une argile grise sans inclusions, a été mise au jour sous ces remblais.	Aucune couche présentant un intérêt archéologique n'a été observée dans ce forage. Seuls divers remblais reposant sur le sol naturel dérasé caractérisent ce secteur.	Aucune recommandation n'est formulée quant à la poursuite de la recherche archéologique à cet endroit.
MTL09-23-1-12T	395	Inconnu	-	-	-	Le profil stratigraphique de cette tranchée se compose, à partir de la surface, d'un mélange de sable, de limon et d'argile dans lequel plusieurs fragments d'asphalte, de bois, de métal et de blocs de pierre de calcaire ont été répertoriés. Ce mélange de 2,40 m d'épaisseur repose sur un limon sableux contenant de nombreux blocs de pierre de calcaire. La surface des sols naturels stériles, constituée d'un till d'ablation, a été atteinte à 3,10 m sous le niveau actuel du terrain.	Les épaisses couches de remblais de cet espace reposent directement sur le sol naturel stérile. Ainsi, il ne subsiste pas de potentiel de mettre au jour des vestiges d'occupations à cet endroit.	Aucune recommandation n'est formulée quant à la poursuite de la recherche archéologique à cet endroit.
MTL09-23-1-12U	397	18,96	-	18,06	15,86	Le profil stratigraphique de cette tranchée se compose, à partir de la surface, de pierre concassée déposée sur un sable mélangé à des particules de scories, le tout sur une épaisseur de 0,90 m. La surface des sols naturels stériles, constituée d'un limon argileux contenant quelques pierres subarrondies, a été atteinte sous ce remblai. Le pourcentage de pierres subarrondies augmente de plus en plus en profondeur.	Aucune couche ne présente d'intérêt pour la recherche archéologique à cet endroit. Seuls quelques remblais reposant directement sur le sol naturel stérile dérasé ont été localisés dans cette tranchée.	Aucune recommandation n'est formulée quant à la poursuite de la recherche archéologique à cet endroit.
MTL09-23-1-12V	422	20,64	-	19,49	17,14	Le profil stratigraphique de cette tranchée se compose, à partir de la surface, d'un remblai de 1,15 m d'épaisseur de sable limoneux contenant des fragments de bois, de métal et de brique ainsi que de la cendre et des clous tréfilés. La surface des sols naturels stériles, constituée d'un till d'ablation vraisemblablement décapé, a été atteinte sous ce remblai.	Aucune couche présentant un intérêt archéologique n'a été observée dans ce forage. Seuls divers remblais reposant sur le sol naturel dérasé caractérisent ce secteur.	Aucune recommandation n'est formulée quant à la poursuite de la recherche archéologique à cet endroit.
MTL09-23-1-12W	411	20,76	-	19,46	17,46	Le profil stratigraphique de cette tranchée se compose, à partir de la surface, d'un sol de revêtement de 0,30 m d'épaisseur reposant sur un mélange de plusieurs blocs de pierre de calcaire et de limon beigeâtre d'une épaisseur totale de 1,00 m. La surface des sols naturels stériles, également constituée d'un limon beigeâtre contenant quelques graviers et cailloux, a été atteinte à environ 1,30 m sous le niveau actuel du terrain.	Aucune couche présentant un intérêt archéologique n'a été observée dans ce forage. Seuls divers remblais reposant sur le sol naturel dérasé caractérisent ce secteur.	Aucune recommandation n'est formulée quant à la poursuite de la recherche archéologique à cet endroit.
MTL09-23-1-12X	412	20,68	-	18,68	17,33	Le profil stratigraphique de cette tranchée se compose, à partir de la surface, d'un important remblai de 2,00 m d'épaisseur de sable limoneux contenant plusieurs fragments de pierre de calcaire, de béton et de brique ainsi que des tiges métalliques. La surface des sols naturels stériles, constituée d'un till d'ablation vraisemblablement décapé, a été atteinte sous ce remblai.	Les couches de remblais correspondent à des débris associés à la démolition d'un entrepôt industriel présent à proximité au cours du XX <sup>e</sup> siècle. Aucune couche ne présente d'intérêt pour la recherche archéologique.	Aucune recommandation n'est formulée quant à la poursuite de la recherche archéologique à cet endroit.

Numéro d'identification archéologique	Numéro séquentiel	Niveau actuel du terrain (mètre NMM)	Niveau d'intérêt archéologique (mètre NMM)	Surface des sols naturels stériles (mètre NMM)	Niveau atteint (mètre NMM)	Description	Discussion	Recommandations
MTL09-23-1-12Y	423	21,74	-	19,14	17,74	Le profil stratigraphique de cette tranchée se compose, à partir de la surface, de remblais successifs de sable limoneux et de pierre concassée. La surface des sols naturels, constituée d'un limon gris noirâtre homogène contenant quelques rares fragments de brique et de céramique en terre cuite fine blanche vitrifiée, ainsi que plusieurs fragments de bois brûlé en surface, a été atteinte à une profondeur d'environ 2,60 m sous le niveau actuel du terrain. D'une épaisseur de 0,70 m, elle repose sur un sol naturel stérile.	Les épaisses couches de remblais de cet espace reposent directement sur le sol naturel stérile. Ainsi, il ne subsiste pas de potentiel de mettre au jour des vestiges d'occupations à cet endroit.	Aucune recommandation n'est formulée quant à la poursuite de la recherche archéologique à cet endroit.
MTL09-23-1-12Z	413	20,24	-	-	17,44	Le profil stratigraphique de cette tranchée se compose, à partir de la surface, d'un remblai de 1,80 m d'épaisseur contenant des fragments de bois, de tuyaux métalliques, de brique et de béton. Ce remblai repose sur une couche de débris de démolition, constituée dans sa partie supérieure d'un limon sableux contenant beaucoup de fragments de brique et dans sa partie inférieure, à environ 2,10 m de profondeur sous le niveau actuel du terrain, exclusivement de briques et de mortier. Sous ces débris, à une profondeur d'environ 2,80 m, une dalle de béton a été mise au jour. Un mur de briques de ciment a également été mis au jour en lien avec le plancher de béton. L'excavation de la tranchée ne s'est pas prolongée plus profondément.	La dalle de béton correspond au plancher de cave d'un bâtiment construit en briques de ciment. Ces éléments architecturaux sont certainement associés à l'aménagement du sous-sol d'un bâtiment construit à cet endroit au cours du XX <sup>e</sup> siècle. Aucune des couches documentées ne présente d'intérêt archéologique.	Aucune recommandation n'est formulée quant à la poursuite de la recherche archéologique à cet endroit.
MTL09-23-1-12AA	414	20,28	-	-	18,88	Le profil stratigraphique de cette tranchée se compose uniquement d'un remblai de limon sableux contenant des gros blocs de béton provenant d'un mur, quelques briques, des pièces de bois ainsi que des particules de scories. Une dalle de béton a été mise au jour à une profondeur d'environ 1,40 m sous le niveau actuel du terrain et semble associée au plancher du sous-sol d'un bâtiment résidentiel. L'excavation de la tranchée ne s'est pas prolongée plus profondément.	L'ensemble des débris présents dans ce secteur provient de la démolition de bâtiments résidentiels du XX <sup>e</sup> siècle peu avant la construction de l'autoroute 15 dans les années 1960. Aucune des couches documentées ne présente d'intérêt archéologique.	Aucune recommandation n'est formulée quant à la poursuite de la recherche archéologique à cet endroit.
MTL09-23-1-12BB	424	19,05	-	18,55	15,85	Le profil stratigraphique de cette tranchée se compose, à partir de la surface, d'un remblai d'environ 0,50 m d'épaisseur reposant sur la surface des sols naturels stériles. Cette dernière est constituée d'un limon sableux contenant quelques inclusions de cailloux à une profondeur d'environ 2,30 m sous le niveau actuel du terrain. Le dégagement d'une section de l'ancien trottoir nord de la rue Drake a permis de constater que la tranchée a été excavée sur les anciens terrains bordant le côté nord de cette rue.	Le vestige d'un trottoir à cet endroit ne présente que peu d'intérêt archéologique. Aucune des couches documentées ne mérite une attention particulière.	Aucune recommandation n'est formulée quant à la poursuite de la recherche archéologique à cet endroit.
MTL09-23-1-12CC	425	20,20	-	19,30	17,45	Le profil stratigraphique de cette tranchée se compose, à partir de la surface, de remblais successifs de limon sableux d'une épaisseur totale de 0,70 m, contenant des fragments de mortier, de pierre de calcaire partiellement calcinée et de pierre de calcaire ainsi qu'un peu de scories et de chaux. Ces remblais reposent sur une couche de poudre de scories d'environ 0,20 m d'épaisseur. Sous ces remblais, un massif de béton de 0,35 m de largeur sur 0,26 m de hauteur a été mis au jour sur toute la largeur de la tranchée, soit environ 1,00 m. La tranchée de ce massif a été excavée dans un sol naturel stérile et a été par la suite comblée de sable argileux verdâtre.	Aucun des remblais présents à cet endroit ne présente d'intérêt pour l'archéologie. Le massif orienté selon un axe est-ouest pourrait correspondre à un ancien réseau souterrain désaffecté.	Aucune recommandation n'est formulée quant à la poursuite de la recherche archéologique à cet endroit.
MTL09-23-1-13B	842	20,69	-	19,69	16,42	Le profil stratigraphique de ce forage se compose, à partir de la surface, de remblais successifs de limon graveleux contenant des scories et du béton. La surface des sols naturels stériles, constituée d'un till d'ablation, a été atteinte sous ces remblais, à une profondeur d'environ 1,00 m sous le niveau actuel du terrain.	Aucune des couches ne présente d'intérêt pour la recherche archéologique à cet endroit puisque la séquence stratigraphique témoigne de perturbations récentes jusqu'au sol naturel stérile.	Aucune recommandation n'est formulée quant à la poursuite de la recherche archéologique à cet endroit.
MTL09-23-1-13D	393	20,05	-	-	17,15	Le profil stratigraphique de ce forage se compose, à partir de la surface, de remblais successifs de limon sableux contenant des fragments de béton, d'asphalte, de bois et de brique ainsi que des graviers. Aucun sol naturel stérile n'a été enregistré au cours de ce forage.	Puisque les remblais documentés à cet endroit atteignent près de 3,00 m d'épaisseur, il semble peu probable que des couches présentant des caractéristiques méritant une expertise plus poussée soient encore présentes à cet endroit.	Aucune recommandation n'est formulée quant à la poursuite de la recherche archéologique à cet endroit.
MTL09-23-1-13E	391	19,19	-	17,39	16,44	Le profil stratigraphique de ce forage se compose, à partir de la surface, d'un sable limoneux contenant des graviers et de la pierre concassée. La surface des sols naturels stériles, constituée vraisemblablement d'un till d'ablation, a été atteinte sous ce remblai à une profondeur d'environ 1,80 m sous le niveau actuel du terrain.	Aucune des couches ne présente d'intérêt pour la recherche archéologique à cet endroit puisque la séquence stratigraphique témoigne de perturbations récentes jusqu'au sol naturel stérile.	Aucune recommandation n'est formulée quant à la poursuite de la recherche archéologique à cet endroit.

Numéro d'identification archéologique	Numéro séquentiel	Niveau actuel du terrain (mètre NMM)	Niveau d'intérêt archéologique (mètre NMM)	Surface des sols naturels stériles (mètre NMM)	Niveau atteint (mètre NMM)	Description	Discussion	Recommandations
MTL09-23-1-13F	844	20,17	-	18,37	16,36	Le profil stratigraphique de ce forage se compose, à partir de la surface, de trois couches successives d'asphalte, de béton et de pierre concassée reposant sur une succession de remblais de sable limoneux contenant de la pierre concassée. La surface des sols naturels stériles, constituée d'un till de fond, a été atteinte sous ces remblais à une profondeur d'environ 1,80 m sous le niveau actuel du terrain.	Aucune des couches ne présente d'intérêt pour la recherche archéologique à cet endroit puisque la séquence stratigraphique témoigne de perturbations récentes jusqu'au sol naturel stérile.	Aucune recommandation n'est formulée quant à la poursuite de la recherche archéologique à cet endroit.
MTL09-23-1-14A	862	19,05	-	17,25	15,05	Le profil stratigraphique de cette tranchée se compose, à partir de la surface, d'un remblai de pierre concassée mélangée avec du sable. Ce remblai repose sur un épais mélange de sable et de débris : bouteilles en verre (complètes et fragmentaires), pièces de métal, os présentant des traces de boucherie, contenants en grès, fragments de pierre de calcaire partiellement calcinés et morceaux de bardeaux d'asphalte. La surface des sols naturels, constituée d'une couche de tourbe contenant plusieurs petits plombs de chasse, a été atteinte sous ces débris à une profondeur d'environ 1,80 m sous le niveau actuel du terrain. Elle repose sur un sable faiblement limoneux contenant quelques rares graviers et cailloux, possiblement des sédiments lacustres.	Les couches de remblais ne présentent pas d'intérêt archéologique à cet endroit. Les couches de sédiments naturels légèrement perturbés et contenant des plombs de fusil de chasse donnent une bonne idée de l'utilisation du territoire avant l'arrivée des industries sur ce terrain. En outre, ces couches ne présentent pas de réel intérêt archéologique autre que de délimiter un espace où des activités de chasse et/ou de pêche pourraient avoir eu lieu. En ce sens, c'est principalement le pourtour de cette zone qui mérite une documentation plus exhaustive.	Aucune recommandation n'est formulée quant à la poursuite de la recherche archéologique à cet endroit.
MTL09-23-1-14B	864	18,95	-	16,55	14,95	Le profil stratigraphique de cette tranchée se compose, à partir de la surface, d'une couche de pierre concassée reposant sur un sable contenant plusieurs types de déchets : scories, pierres de calcaire partiellement calcinées, pièces de métal, fragments de bois, bouteilles en verre, fragments de céramique en terre cuite fine blanche vitrifiée. Ce remblai, qui atteint une profondeur d'environ 0,80 m sous le niveau actuel du terrain, repose sur un remblai semblable de 1,00 m d'épaisseur, contenant toutefois une forte proportion de fragments de pierre de calcaire partiellement calcinés. Le remblai suivant est semblable au précédent, mais il est presque exclusivement composé de pierres de calcaire partiellement calcinées. La surface des sols naturels stériles, constituée d'un limon organique brun, a été atteinte sous ces remblais à une profondeur d'environ 2,40 m sous le niveau actuel du terrain.	L'importante couche de remblais documentée témoigne de perturbations récentes associées à l'arrivée des industries dans ce secteur. Elles semblent avoir été déposées à cet endroit avec l'objectif de rehausser un terrain marécageux préalablement à la construction de bâtiments. Peu d'informations d'une réelle valeur scientifique peuvent être tirées de ces remblais.	Aucune recommandation n'est formulée quant à la poursuite de la recherche archéologique à cet endroit.
MTL09-23-1-14C	863	19,03	-	16,63	16,03	Le profil stratigraphique de cette tranchée se compose, à partir de la surface, d'une couche de pierre concassée reposant sur un remblai sableux contenant plusieurs fragments de béton, de métal et de bois ainsi que des scories et des lentilles de sédiment verdâtre non identifié. Ce remblai repose à une profondeur d'environ 0,90 m sous le niveau actuel du terrain sur une couche de sol orangé contenant plusieurs scories ainsi que des fragments de pierre de calcaire calcinés, de métal, de brique et de bardeaux d'asphalte. Ce qui apparaît comme la surface des sols naturels stériles, constituée d'un limon noirâtre organique, a été atteint à une profondeur d'environ 2,40 m sous le niveau actuel du terrain. La présence d'eau dans la tranchée, à partir de 1,80 m de profondeur, ne permet toutefois pas de confirmer si la couche de sol naturel est bien stérile.	L'importante couche de remblais documentée témoigne de perturbations récentes associées à l'arrivée des industries dans ce secteur. Elles semblent avoir été déposées à cet endroit avec l'objectif de rehausser un terrain marécageux préalablement à la construction de bâtiments. Peu d'informations d'une réelle valeur scientifique peuvent être tirées de ces remblais.	Aucune recommandation n'est formulée quant à la poursuite de la recherche archéologique à cet endroit.
MTL09-23-1-14D	861	19,09	-	-	17,29	Le profil stratigraphique de cette tranchée se compose, à partir de la surface, de remblais de rehaussement de sable mélangé à des déchets industriels et domestiques (fragments de pierre de calcaire partiellement calcinés, de métal, de bouteilles de verre et de bardeaux d'asphalte) ainsi qu'à des scories. La présence d'eau dans la tranchée, à environ 1,80 m de profondeur, a toutefois obligé l'interruption de l'excavation. Aucun sol naturel n'a donc pu être observé dans cette tranchée.	L'importante couche de remblais documentée témoigne de perturbations récentes associées à l'arrivée des industries dans ce secteur. Elles semblent avoir été déposées à cet endroit avec l'objectif de rehausser un terrain marécageux préalablement à la construction de bâtiments. Peu d'informations d'une réelle valeur scientifique peuvent être tirées de ces remblais.	Il n'est pas recommandé de poursuivre la recherche archéologique dans ce secteur.
MTL09-23-1-14E	866	19,14	-	16,14	15,84	Le profil stratigraphique de cette tranchée se compose, à partir de la surface, de 3,00 m de remblais successifs de déchets : fragments de pierre de calcaire, briques, métal oxydé, mortier, charbon minéral, pierres de calcaire partiellement calcinées et scories. La surface des sols naturels stériles, qui est constituée de tourbe dont les fibres végétales sont bien visibles et qui contient quelques petits coquillages blancs, a été atteinte immédiatement sous ces remblais. L'excavation s'est arrêtée à une profondeur d'environ 3,30 m sous le niveau actuel du terrain, sans qu'on rencontre d'autres niveaux de sol.	L'importante couche de remblais documentée témoigne de perturbations récentes associées à l'arrivée des industries dans ce secteur. Elles semblent avoir été déposées à cet endroit avec l'objectif de rehausser un terrain marécageux préalablement à la construction de bâtiments. Peu d'informations d'une réelle valeur scientifique peuvent être tirées de ces remblais.	Aucune recommandation n'est formulée quant à la poursuite de la recherche archéologique à cet endroit.

Numéro d'identification archéologique	Numéro séquentiel	Niveau actuel du terrain (mètre NMM)	Niveau d'intérêt archéologique (mètre NMM)	Surface des sols naturels stériles (mètre NMM)	Niveau atteint (mètre NMM)	Description	Discussion	Recommandations
MTL09-23-1-14F	867	19,32	-	-	17,32	Le profil stratigraphique de cette tranchée se compose, à partir de la surface, d'une épaisse couche de pierre concassée reposant sur une couche de déchets (fragments de pierre de calcaire partiellement calcinés, de brique et de métal oxydé) ainsi que des scories et des bouteilles en verre. Ce remblai repose à environ 2,00 m de profondeur sous le niveau actuel du terrain, sur un remblai constitué presque exclusivement de fragments de pierre de calcaire partiellement calcinés. Aucun sol naturel n'a pu être observé dans cette tranchée.	L'importante couche de remblais documentée témoigne de perturbations récentes associées à l'arrivée des industries dans ce secteur. Elles semblent avoir été déposées à cet endroit avec l'objectif de rehausser un terrain marécageux préalablement à la construction de bâtiments. Peu d'informations d'une réelle valeur scientifique peuvent être tirées de ces remblais.	Aucune recommandation n'est formulée quant à la poursuite de la recherche archéologique à cet endroit.
MTL09-23-1-14G	865	19,49	-	15,59	15,19	Le profil stratigraphique de cette tranchée se compose, à partir de la surface, d'une couche de pierre concassée reposant sur un mélange de scories et de métal oxydé. Sous ce remblai, on trouve un sable graveleux contenant des fragments de pierre de calcaire, de brique et de métal oxydé ainsi que des scories reposant sur un remblai presque exclusivement composé de fragments de pierre de calcaire partiellement calcinés. La surface des sols naturels stériles, constituée d'une couche de tourbe brune dont les fibres végétales sont bien visibles, a été atteinte à environ 3,90 m de profondeur sous le niveau actuel du terrain. Elle repose sur une mince couche de limon argileux brun clair contenant des coquillages qui repose à son tour à environ 4,30 m de profondeur sur un till de fond.	L'importante couche de remblais documentée témoigne de perturbations récentes associées à l'arrivée des industries dans ce secteur. Elles semblent avoir été déposées à cet endroit avec l'objectif de rehausser un terrain marécageux préalablement à la construction de bâtiments. Peu d'informations d'une réelle valeur scientifique peuvent être tirées de ces remblais.	Aucune recommandation n'est formulée quant à la poursuite de la recherche archéologique à cet endroit.
MTL09-23-1-14H	869	19,36	-	15,76	15,16	Le profil stratigraphique de cette tranchée se compose, à partir de la surface, d'une couche de pierre concassée de 1,00 m d'épaisseur reposant sur une couche de déchets industriels : scories, métal oxydé, pierres de calcaire partiellement calcinées. Sous ce remblai, on trouve une deuxième couche de déchets industriels composée presque exclusivement de pierres de calcaire partiellement calcinées contenant plusieurs bouteilles complètes ainsi que des fragments de verre à bouteilles, de céramique en terre cuite fine blanche vitrifiée, de grès, de brique, de bois et de métal. La surface des sols naturels stériles, constituée de tourbe, apparaît à environ 3,60 m sous le niveau actuel du terrain et se poursuit jusqu'au fond de la tranchée à environ 4,20 m de profondeur.	L'importante couche de remblais documentée témoigne de perturbations récentes associées à l'arrivée des industries dans ce secteur. Elles semblent avoir été déposées à cet endroit avec l'objectif de rehausser un terrain marécageux préalablement à la construction de bâtiments. Peu d'informations d'une réelle valeur scientifique peuvent être tirées de ces remblais.	Aucune recommandation n'est formulée quant à la poursuite de la recherche archéologique à cet endroit.
MTL09-23-1-14J	872	19,36	-	15,56	15,16	Le profil stratigraphique de cette tranchée se compose, à partir de la surface, d'une couche de pierre concassée reposant sur un mélange de fragments de métal oxydés et de pierre de calcaire partiellement calcinés ainsi que de particules de scories. Ce remblai contient également plusieurs artefacts : fragments de bouteilles en verre, de céramique en terre cuite fine blanche vitrifiée, de grès, de brique, de bois et de métal. La surface des sols naturels stériles, constituée d'un sable fin légèrement limoneux brun jaunâtre sans inclusions, possiblement un dépôt lacustre, a été atteinte à une profondeur d'environ 3,80 m sous le niveau actuel du terrain.	L'importante couche de remblais documentée témoigne de perturbations récentes associées à l'arrivée des industries dans ce secteur. Elles semblent avoir été déposées à cet endroit avec l'objectif de rehausser un terrain marécageux préalablement à la construction de bâtiments. Peu d'informations d'une réelle valeur scientifique peuvent être tirées de ces remblais.	Aucune recommandation n'est formulée quant à la poursuite de la recherche archéologique à cet endroit.
MTL09-23-1-14K	874	19,22	-	16,72	15,12	Le profil stratigraphique de cette tranchée se compose, à partir de la surface, de remblais successifs de rehaussement composés de particules de scories, de fragments de pierre de calcaire partiellement calcinés, de métal oxydé, de brique et de bois. La surface des sols naturels, constituée d'un limon sableux organique et noirâtre de 0,30 m d'épaisseur contenant quelques racines, a été atteinte à environ 2,50 m de profondeur sous le niveau actuel du terrain. Elle repose sur un sable limoneux orangé à grisâtre sans inclusions.	L'importante couche de remblais documentée témoigne de perturbations récentes associées à l'arrivée des industries dans ce secteur. Elles semblent avoir été déposées à cet endroit avec l'objectif de rehausser un terrain marécageux préalablement à la construction de bâtiments. Peu d'informations d'une réelle valeur scientifique peuvent être tirées de ces remblais.	Aucune recommandation n'est formulée quant à la poursuite de la recherche archéologique à cet endroit.
MTL09-23-1-14L	875	19,57	-	16,77	16,07	Le profil stratigraphique de cette tranchée se compose, à partir de la surface, de remblais successifs de particules et de morceaux de scories ainsi que de fragments de brique, de pierre de calcaire et de bois partiellement brûlé ainsi que de charbon de bois. Ces remblais reposent sur une couche homogène de pierres de calcaire partiellement calcinées contenant quelques fragments de métal. Sous un dernier remblai, on trouve un limon organique noirâtre d'environ 0,10 m d'épaisseur, dont la surface se trouve à une profondeur d'environ 2,80 m sous le niveau actuel du terrain. La surface des sols naturels stériles, constituée d'un sable limoneux orangé, a été atteinte sous ce limon.	L'importante couche de remblais documentée témoigne de perturbations récentes associées à l'arrivée des industries dans ce secteur. Elles semblent avoir été déposées à cet endroit avec l'objectif de rehausser un terrain marécageux préalablement à la construction de bâtiments. Peu d'informations d'une réelle valeur scientifique peuvent être tirées de ces remblais.	Aucune recommandation n'est formulée quant à la poursuite de la recherche archéologique à cet endroit.

Numéro d'identification archéologique	Numéro séquentiel	Niveau actuel du terrain (mètre NMM)	Niveau d'intérêt archéologique (mètre NMM)	Surface des sols naturels stériles (mètre NMM)	Niveau atteint (mètre NMM)	Description	Discussion	Recommandations
MTL09-23-1-14M	871	19,23	-	16,63	14,93	Le profil stratigraphique de cette tranchée se compose, à partir de la surface, d'une couche de pierre concassée d'une épaisseur de 0,90 m, reposant sur un mélange de sable et de particules de scories contenant des pièces de métal oxydé, des briques et de la tôle. Sous un dernier remblai composé presque exclusivement de pierres de calcaire partiellement calcinées, on trouve la surface des sols naturels stériles, constituée de tourbe dont les fibres végétales sont bien visibles, atteinte à une profondeur d'environ 2,60 m sous le niveau actuel du terrain. Cette tourbe repose sur des sédiments sablo-limoneux grisâtres.	L'importante couche de remblais documentée témoigne de perturbations récentes associées à l'arrivée des industries dans ce secteur. Elles semblent avoir été déposées à cet endroit avec l'objectif de rehausser un terrain marécageux préalablement à la construction de bâtiments. Peu d'informations d'une réelle valeur scientifique peuvent être tirées de ces remblais.	Aucune recommandation n'est formulée quant à la poursuite de la recherche archéologique à cet endroit.
MTL09-23-1-14N	873	19,19	-	16,49	15,19	Le profil stratigraphique de cette tranchée se compose, à partir de la surface, d'une couche de pierre concassée de 0,50 m d'épaisseur reposant sur une succession de remblais composée de fragments de métal oxydé, de verre à bouteilles, de brique, de bois et de céramique d'origine récente. La partie inférieure de ces remblais est presque exclusivement composée de pierres de calcaire partiellement calcinées. La surface des sols naturels stériles, constituée d'un limon noirâtre organique contenant beaucoup de fibres végétales non décomposées, a été atteinte à environ 2,70 m de profondeur sous le niveau actuel du terrain. À partir de 3,00 m de profondeur, ce limon repose sur des sédiments argilo-limoneux à sablo-limoneux.	L'importante couche de remblais documentée témoigne de perturbations récentes associées à l'arrivée des industries dans ce secteur. Elles semblent avoir été déposées à cet endroit avec l'objectif de rehausser un terrain marécageux préalablement à la construction de bâtiments. Peu d'informations d'une réelle valeur scientifique peuvent être tirées de ces remblais.	Aucune recommandation n'est formulée quant à la poursuite de la recherche archéologique à cet endroit.
MTL09-23-1-14P	870	19,12	-	15,62	14,62	Le profil stratigraphique de cette tranchée se compose, à partir de la surface, d'une couche de fragments de pierre de calcaire reposant sur un mélange de particules de scories et de fragments de pierre de calcaire partiellement calcinés contenant des fragments de bouteilles en verre, de bois, de brique et de métal oxydé ainsi que des lentilles indéterminées de couleur bleutée (produits chimiques?). La surface des sols naturels stériles, constituée d'une tourbe homogène, a été atteinte à environ 3,50 m de profondeur sous le niveau actuel du terrain. Cette tourbe repose sur un limon gris sans inclusions.	L'importante couche de remblais documentée témoigne de perturbations récentes associées à l'arrivée des industries dans ce secteur. Elles semblent avoir été déposées à cet endroit avec l'objectif de rehausser un terrain marécageux préalablement à la construction de bâtiments. Peu d'informations d'une réelle valeur scientifique peuvent être tirées de ces remblais.	Aucune recommandation n'est formulée quant à la poursuite de la recherche archéologique à cet endroit.
MTL09-23-1-14Q	876	19,04	-	16,44	15,44	Le profil stratigraphique de cette tranchée se compose, à partir de la surface, d'une couche de pierre concassée reposant sur un remblai de déchets industriels contenant beaucoup de particules de scories ainsi que des fragments de pierre de calcaire partiellement calcinés et de métal oxydé. Des lentilles d'une matière indéterminée de couleur bleutée apparaissent dans la partie inférieure de ce remblai. La surface des sols naturels stériles, constituée d'un limon organique semblable aux sédiments accumulés à la base d'une tourbière, a été atteinte à environ 2,60 m de profondeur sous le niveau actuel du terrain. Ce limon repose sur un sable limoneux qui se trouve au fond de la tranchée.	L'importante couche de remblais documentée témoigne de perturbations récentes associées à l'arrivée des industries dans ce secteur. Elles semblent avoir été déposées à cet endroit avec l'objectif de rehausser un terrain marécageux préalablement à la construction de bâtiments. Peu d'informations d'une réelle valeur scientifique peuvent être tirées de ces remblais.	Aucune recommandation n'est formulée quant à la poursuite de la recherche archéologique à cet endroit.
MTL09-23-1-14R	868	18,78	-	16,78	15,48	Le profil stratigraphique de cette tranchée se compose, à partir de la surface, d'une dalle de béton reposant sur un lit de pierre concassée, le tout d'une épaisseur de 0,50 m. Sous la pierre concassée, on trouve un remblai de sable contenant beaucoup de particules de scories ainsi que des fragments de métal oxydé et de brique. La surface des sols naturels stériles, constituée d'une tourbe reposant sur un limon argileux contenant quelques graviers et un peu de matière organique, a été atteinte à une profondeur d'environ 2,00 m sous le niveau actuel du terrain. Un till de fond apparaît par la suite à 2,70 m de profondeur.	L'importante couche de remblais documentée témoigne de perturbations récentes associées à l'arrivée des industries dans ce secteur. Elles semblent avoir été déposées à cet endroit avec l'objectif de rehausser un terrain marécageux préalablement à la construction de bâtiments. Peu d'informations d'une réelle valeur scientifique peuvent être tirées de ces remblais.	Aucune recommandation n'est formulée quant à la poursuite de la recherche archéologique à cet endroit.
MTL09-23-1-15A	882	19,12	-	16,07	14,85	Le profil stratigraphique de ce forage se compose, à partir de la surface, d'une succession de remblais de limon sableux contenant des fragments de pierre de calcaire partiellement calcinés, de mortier, de verre à bouteilles, de bardeaux d'asphalte et de charbon minéral. La surface des sols naturels stériles, constituée d'un limon sableux qui semble dérasé, a été atteinte à une profondeur d'environ 3,05 m sous le niveau actuel du terrain.	L'importante couche de remblais documentée témoigne de perturbations récentes associées à l'arrivée des industries dans ce secteur. Elles semblent avoir été déposées à cet endroit avec l'objectif de rehausser un terrain marécageux préalablement à la construction de bâtiments. Peu d'informations d'une réelle valeur scientifique peuvent être tirées de ces remblais.	Aucune recommandation n'est formulée quant à la poursuite de la recherche archéologique à cet endroit.

Numéro d'identification archéologique	Numéro séquentiel	Niveau actuel du terrain (mètre NMM)	Niveau d'intérêt archéologique (mètre NMM)	Surface des sols naturels stériles (mètre NMM)	Niveau atteint (mètre NMM)	Description	Discussion	Recommandations
MTL09-23-1-15B	877	19,12	-	16,07	14,85	Le profil stratigraphique de ce forage se compose, à partir de la surface, de remblais successifs de limon sableux contenant des fragments de béton (en surface), de brique et de pierre de calcaire partiellement calcinée ainsi que des graviers. La surface des sols naturels stériles, constituée d'un till de fond, a été atteinte sous ces remblais à une profondeur d'environ 3,05 m sous le niveau actuel du terrain.	Les importantes couches de remblais déposées directement sur le sol naturel stérile ne présentent pas de réel intérêt archéologique. Il semble que les travaux de construction du bâtiment ont fortement bouleversé les couches du sol naturel.	Aucune recommandation n'est formulée quant à la poursuite de la recherche archéologique à cet endroit.
MTL09-23-1-15C	879	19,16	-	16,76	14,28	Le profil stratigraphique de ce forage effectué à l'intérieur d'un bâtiment se compose, à partir de la surface, d'une couche de pierre concassée reposant sur une succession de remblais de rehaussement composée d'un mélange de scories et de sable. La surface des sols naturels stériles, constituée d'un till de fond, a été atteinte sous ces remblais à une profondeur d'environ 2,40 m sous le niveau actuel du terrain.	Les importantes couches de remblais déposées directement sur le sol naturel stérile ne présentent pas de réel intérêt archéologique. Il semble que les travaux de construction du bâtiment ont fortement bouleversé les couches du sol naturel.	Aucune recommandation n'est formulée quant à la poursuite de la recherche archéologique à cet endroit.
MTL09-23-1-15D	881	18,92	-	15,32	14,65	Le profil stratigraphique de ce forage se compose, à partir de la surface, d'une succession de remblais de rehaussement composée de particules et de fragments de scories ainsi que de fragments de pierre de calcaire partiellement calcinés, de pièces de métal oxydé, de bois brûlé, de bardeaux d'asphalte, de verre à bouteilles et de céramique. La surface remaniée des sols naturels, constituée de matière organique se changeant en limon argileux, le tout contenant quelques scories, a été atteinte à une profondeur d'environ 2,40 m sous le niveau actuel du terrain. Ce limon repose sur un till de fond à environ 3,60 m de profondeur.	Les importantes couches de remblais déposées directement sur le sol naturel stérile ne présentent pas de réel intérêt archéologique. Il semble que les travaux de construction du bâtiment ont fortement bouleversé les couches du sol naturel.	Aucune recommandation n'est formulée quant à la poursuite de la recherche archéologique à cet endroit.
MTL09-23-1-15E	878	19,12	-	17,32	15,92	Le profil stratigraphique de ce forage se compose, à partir de la surface, d'une dalle de béton reposant sur un lit de pierre concassée et des remblais de limon sableux contenant des scories ainsi que des fragments de verre à bouteilles, de métal, de céramique et d'asphalte. La surface des sols naturels stériles, constituée d'un till d'ablation, a été atteinte à environ 1,80 m de profondeur sous le niveau actuel du terrain.	Les importantes couches de remblais déposées directement sur le sol naturel stérile ne présentent pas de réel intérêt archéologique. Il semble que les travaux de construction du bâtiment ont fortement bouleversé les couches du sol naturel.	Aucune recommandation n'est formulée quant à la poursuite de la recherche archéologique à cet endroit.
MTL09-23-1-15F	880	19,19	-	16,79	14,89	Le profil stratigraphique de ce forage se compose, à partir de la surface, d'une succession de remblais de sable contenant des fragments de pierre de calcaire partiellement calcinés, de métal et de mortier. La surface des sols naturels stériles, constituée d'un till d'ablation, a été atteinte à une profondeur d'environ 2,40 m sous le niveau actuel du terrain.	Les importantes couches de remblais déposées directement sur le sol naturel stérile ne présentent pas de réel intérêt archéologique. Il semble que les travaux de construction du bâtiment ont fortement bouleversé les couches du sol naturel.	Aucune recommandation n'est formulée quant à la poursuite de la recherche archéologique à cet endroit.



Photo 42 : Sous-opération MTL09-23-1-12J, mur en brique et plancher en béton possiblement associés à des maisons en rangée du XX<sup>e</sup> siècle, direction sud-est (MTL09-23-1- NUM3-92)



Photo 43 : Sous-opération MTL09-23-1-12Z, plancher en béton possiblement associé à un bâtiment industriel du XX<sup>e</sup> siècle, direction sud (MTL09-23-1- NUM3-149)



Photo 44 : Profil stratigraphique type montrant l'horizon organique du sol naturel, sous-opération MTL09-23-1-12Q, direction sud-est (MTL09-23-1-NUM3-104)

récemment par la compagnie Crane (plan 17), paraissent assez uniformes. Règle générale, la partie supérieure de ces profils se caractérise par la présence d'une couche de pierre concassée, d'une épaisseur maximale de près de 1 m et correspondant à l'aménagement de la surface actuelle. Sous cette couche, on trouve des remblais successifs de sable et de limon comportant parfois de l'argile et contenant une forte proportion de déchets de provenance industrielle : fragments de pierre de calcaire partiellement calcinés, de bardeaux d'asphalte, de béton et de bois ainsi que des scories et des pièces de métal corrodées. Quelques artefacts d'origine récente y ont aussi été observés : des fragments de céramique en terre cuite fine blanche vitrifiée et en grès ainsi que des capsules métalliques et des bouteilles fragmentaires ou complètes en grande quantité (photo 45). Ces remblais sont présents jusqu'à une profondeur moyenne de 2,80 m sous le niveau actuel du terrain (photo 46). La profondeur maximale de ces remblais, soit 3,90 m, a été atteinte dans la sous-opération 14G. Ces remblais successifs se rapportent à différentes phases de rehaussement du terrain effectuées au cours du XX<sup>e</sup> siècle.



Photo 45 : Exemple d'éléments de culture matérielle mis au jour dans les remblais présents sur le terrain de la compagnie Crane, portion nord du secteur historique H6 (MTL09-23-1-NUM3-127)



Photo 46 : Profil stratigraphique type des sous-opérations réalisées sur le terrain de la compagnie Crane, secteur historique H6, direction nord (MTL09-23-1-NUM3-124)

Dans la partie inférieure des profils stratigraphiques, sous ces épais remblais, la surface des sols naturels stériles a été mise au jour. Constituée de tourbe ou de sédiments fins (sable, limon et argile), elle contient peu d'inclusions : quelques fragments de coquillages et des plombs de fusil de chasse (sous-opération 14A). La profondeur maximale atteinte dans les sous-opérations de la partie nord du secteur H6 est de 4,50 m et l'on y trouve des sédiments fins ou un till de fond. Les couches qui composent la surface des sols stériles semblent s'être accumulées dans un environnement marécageux qui, d'après le plan de H. S. Sitwell de 1865-1871, correspondrait à une zone humide (plan 14). La présence d'importants remblais à cet endroit témoignerait donc de l'intention de combler cet espace peu propice à une occupation humaine.

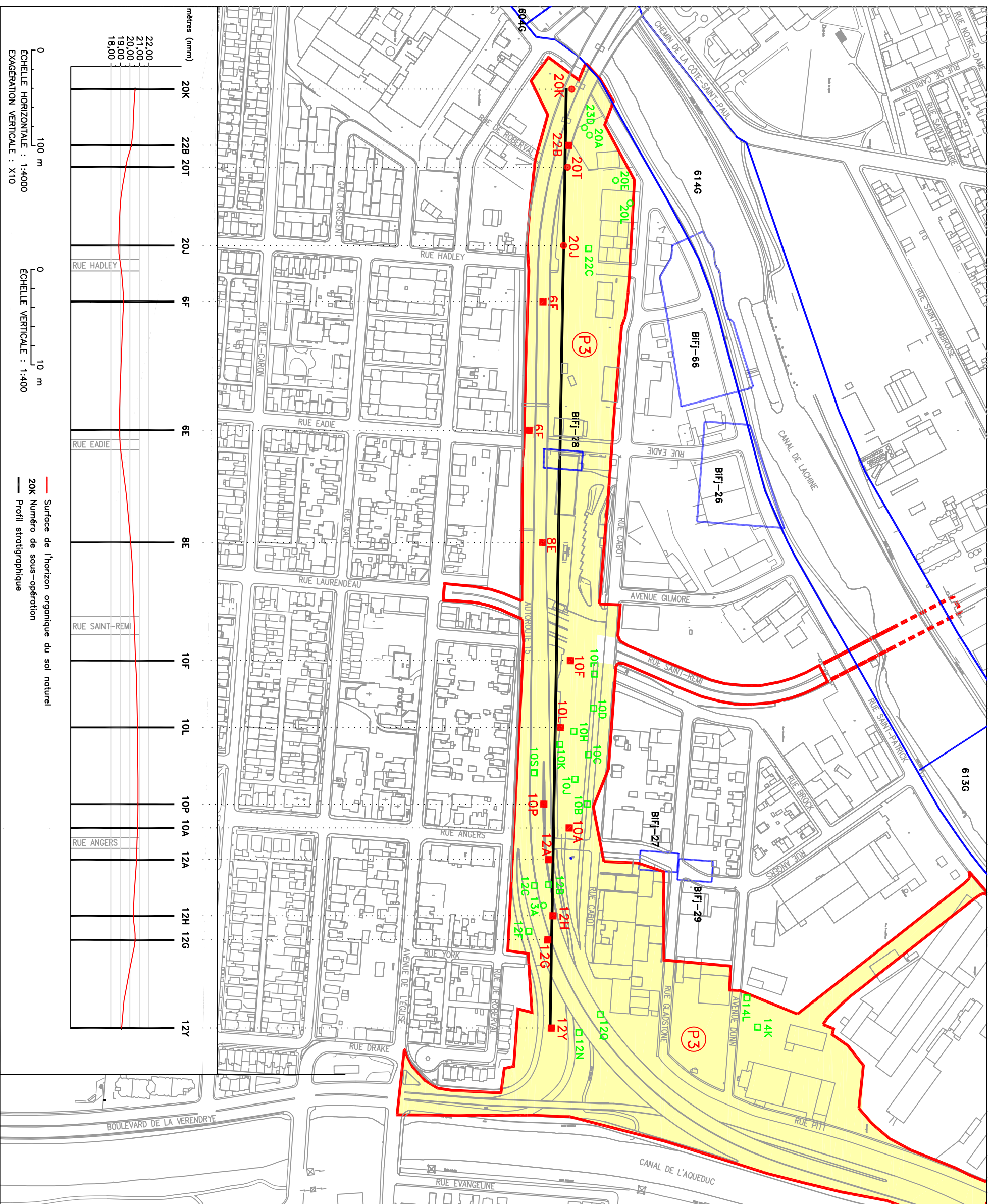
Dans les sous-opérations 14K et 14L, la surface de l'horizon organique du sol naturel apparaît comme ayant été remaniée, ce qui rend possible la découverte de traces d'occupation historique remontant à la deuxième moitié du XIX<sup>e</sup> siècle, et même d'occupation préhistorique associée à la présence de la zone à potentiel préhistorique P3. Cette surface se présente comme un sable limoneux ou un limon noirâtre et organique, d'un maximum de 0,30 m d'épaisseur, apparu à une altitude d'environ 16,75 m (NMM). Elle est localisée sous les épais remblais et repose sur un sable fin brun-orangé qui correspond à un sol naturel stérile.

### **2.13.7 Discussion et recommandation**

Dans l'étude de potentiel, il a été recommandé de réaliser un inventaire archéologique au moyen de tranchées de 2 m par 10 m excavées mécaniquement (Ethnoscop 2008a). À partir des résultats de la surveillance archéologique des forages et des tranchées, cette recommandation est rejetée. En effet, étant donné le peu de sous-opérations où la surface remaniée des sols naturels a pu être observée, la présence d'un espace marécageux comblé avec d'imposants remblais d'une épaisseur d'environ 3 m dans la partie nord et l'absence de zones à potentiel archéologique historique dans cette partie du secteur H6, les chances de pouvoir documenter les occupations anciennes dans cet espace sont très faibles.

### **2.14 Zone à potentiel archéologique préhistorique P3**

Dans la zone d'étude du complexe Turcot, la zone P3 couvre une superficie d'environ 161 000 m<sup>2</sup> qui coïncide avec celle du secteur à potentiel historique H6 (plan 18). Il est toutefois impossible de circonscrire précisément les limites réelles de cette zone à potentiel préhistorique qui débordent de la zone d'étude. Pour les populations de la période préhistorique qui auraient pu l'occuper, le principal intérêt de cette zone était sa proximité avec le lac à la Loutre. Comme l'altitude moyenne du niveau actuel du terrain s'y situe aux environs de 20 m (NMM), elle n'a pu être fréquentée à une époque antérieure à la période de l'Archaïque. L'état réel des sols naturels dans la zone P3 a pu être observé au cours de la réalisation de 179 sous-opérations constituées de sondages mécaniques et de forages effectués dans les limites du secteur historique H6 (plans 8 et 12). Pendant ces interventions archéologiques, une attention particulière a été portée aux indices d'une présence préhistorique dans la zone P3.



COMPLEXE TURCOT  
 SURVEILLANCE ARCHÉOLOGIQUE  
 MTL09-23-1, MTL09-24-1 ET Bifj-28  
 PROFIL STRATIGRAPHIQUE ILLUSTRANT  
 LA SURFACE DE L'HORIZON ORGANIQUE  
 DU SOL NATUREL  
 ZONE À POTENTIEL ARCHÉOLOGIQUE  
 PRÉHISTORIQUE P3  
 PLAN 18

- P3 ZONE À POTENTIEL ARCHÉOLOGIQUE
- P3 NUMÉRO DE ZONE
- FORAGE POSITIF
- TRANCHÉE POSITIVE
- 120 NUMÉRO DE SOUS-OPÉRATION
- SOUS-OPÉRATION DANS LE PROFIL
- PROFIL STRATIGRAPHIQUE
- SITE ARCHÉOLOGIQUE RECENCE
- CODE BORDEN
- 614G SITE DE PARCS CANADA

0 100 m  
 ÉCHELLE : 1:4000

SOURCES :

- Cartes électroniques, ministère des Transports du Québec, fichiers Turcot-TN-Ouest-2D.dwg, L01688G-TN-Turcot.dwg et 31he3631\_carto.dwg
- Informations archéologiques, Ville de Montréal, fichiers compar.dwg et feuillets nos 31H05-010-3229, 3330, 3331, 3533, 3534, 3633, 3634, 3732, 3734 et 3834
- Informations archéologiques, Parcs Canada, fichiers 613G-4A et 4B.dwg, 1998-170G-01.dwg, 1998-176G-01.dwg, 1995-172G-01.dwg et 98-600G-3.dwg
- Ethnoscop 2008a

### **2.14.1 Résultats**

Les 36 sous-opérations dont les résultats sont présentés dans cette section du rapport ont déjà fait l'objet de recommandations concernant leur potentiel archéologique historique dans les sections précédentes. Or, l'analyse des profils stratigraphiques des 179 sous-opérations a également permis de confirmer un potentiel préhistorique réel dans ces 36 sous-opérations, réparties sur la totalité de la superficie de la zone à potentiel archéologique P3 (plan 18). Les résultats dont il est ici question se rapportent aux sous-opérations dans lesquelles la surface de l'horizon organique du sol naturel a pu être observée (plan 18). Cette surface, qui couvre les sols naturels stériles, comporte en effet un potentiel archéologique préhistorique, puisqu'elle correspond à l'ancien niveau du terrain avant l'arrivée des premiers occupants de la période historique. Elle est constituée d'un limon argileux ou d'une argile limoneuse organique contenant parfois des traces de sable. L'ancien niveau du terrain comporte également des zones marécageuses qui ont fait l'objet de remblayage au cours de la période historique. La surface de ces marécages, généralement constituée de tourbe, ne se prête cependant pas à l'implantation de lieux d'établissement. Afin de faciliter la compréhension des résultats, la zone à potentiel archéologique P3 a été divisée en deux parties, est et ouest, délimitées par l'axe de la rue Saint-Rémi, qui correspond à la limite entre les zones à potentiel historique H6-3 et H6-4 (plans 8 et 12).

#### **2.14.1.1 Partie ouest**

Dans les 12 sous-opérations retenues à l'intérieur de la partie ouest de la zone à potentiel archéologique P3, la surface de l'horizon organique du sol naturel a été observée à une altitude comprise entre 17,88 m et 20,54 m (NMM). Cette surface se trouve sous divers remblais associés aux travaux de construction de l'autoroute 15 et aux phases de rehaussement et de nivellement réalisés au cours des XIX<sup>e</sup> et XX<sup>e</sup> siècles. La présence de matière organique dans la matrice de cette ancienne couche confirme l'existence d'un couvert végétal à cet endroit dans le passé. La décomposition de ces éléments caractérise aujourd'hui sa nature. Cette couche est déposée directement sur le sol naturel stérile, habituellement constitué d'un till d'ablation. Les profils stratigraphiques enregistrés dans les sous-opérations des secteurs à potentiel historique H3 et H4 ayant permis de démontrer la présence de dépôts associés au lac à la Loutre, quelques hypothèses peuvent être énoncées.

D'abord, la présence d'une couche de tourbe dans les sous-opérations 20B, 20C et 20D tend à confirmer l'existence de zones marécageuses réparties sur le pourtour du lac, à l'extrémité ouest de la zone à potentiel archéologique H6-1 / P3 (plan 11). De plus, la matière organique observée dans les profils stratigraphiques a confirmé la présence d'un couvert végétal qui pourrait être associé à une forêt occupant l'espace immédiatement situé à l'est des zones marécageuses. Des oiseaux migrateurs auraient pu être attirés en grand nombre par ces marécages lors des changements de saison. De gros mammifères auraient aussi pu venir profiter de cet espace afin de s'abreuver ou de se rafraîchir. Cet environnement a donc pu profiter à divers groupes culturels, entre autres dans le cadre

d'activités de chasse et de pêche. Des campements temporaires associés à ce type d'activités auraient ainsi pu être implantés dans cette partie du territoire.

L'emplacement de la sous-opération 20K, où a été enregistrée l'altitude la plus élevée pour cette ancienne surface, soit 20,54 m (NMM), pourrait correspondre à un petit promontoire. De plus, tout juste au nord, une dépression est illustrée sur la coupe B présentant les profils stratigraphiques (plan 9). Cette petite zone surélevée, localisée vraisemblablement en bordure du lac à la Loutre, aurait pu servir de point d'observation lors d'activités de chasse. L'utilisation intensive d'un tel endroit par les populations ayant fréquenté les lieux au cours de la période préhistorique pourrait se traduire par la présence de traces d'occupation dans l'horizon organique du sol naturel.

Un peu plus à l'est, dans les limites de la zone à potentiel historique H6-2, la surface de l'horizon organique n'a été observée que dans les sous-opérations 6E, 6F et 8E (plan 18). Il est à noter qu'un espace assez vaste d'environ 70 m sur 200 m, couvrant la partie nord de la zone H6-2, n'a pu être investigué (plan 8). Il est donc impossible de statuer sur la présence ou l'absence de la surface de l'horizon organique du sol naturel à cet endroit. Par ailleurs, cet espace pourrait receler un potentiel archéologique préhistorique puisque, après la démolition d'une première génération de bâtiments, plusieurs voies ferrées ont été implantées dans cet espace (plan 10). Comme elles sont demeurées en utilisation jusqu'au moment de la construction de l'autoroute 15 dans les années 1960, elles pourraient avoir contribué à la préservation de l'ancienne surface des sols naturels et, le cas échéant, de traces d'occupation de la période préhistorique.

Le quadrilatère formé par les rues Eadie, Cabot, Saint-Rémi et l'autoroute 15 présente le potentiel préhistorique le plus faible de cette partie de la zone P3 (plan 8). En effet, seule la sous-opération 8E a permis d'observer l'ancienne surface des sols naturels, les travaux de construction de l'autoroute 15 et de divers bâtiments de la Ville de Montréal ainsi que l'aménagement de l'écocentre Eadie ayant grandement perturbé cet espace.

#### **2.14.1.2 Partie est**

L'analyse des profils stratigraphiques des 24 sous-opérations retenues dans la partie est de la zone à potentiel archéologique P3 a permis de cerner quelques espaces présentant un potentiel préhistorique. Plusieurs sous-opérations réalisées dans sa partie nord-est ont de plus confirmé la présence d'un milieu humide, constitué d'une couche de tourbe, dans plusieurs sous-opérations localisées sur le terrain de la compagnie Crane au nord de l'avenue Dunn (plan 14). La superposition du plan de Sitwell permet en effet de constater qu'un espace marécageux se trouvait à cet endroit à la fin du XIX<sup>e</sup> siècle. Or, le pourtour de cette zone marécageuse pourrait être propice à la découverte de traces d'occupation de la période préhistorique. En effet, quelques sous-opérations situées près de cette zone humide présentent un profil stratigraphique qui inclut la surface de l'horizon organique du sol naturel (plan 12). Tout comme dans l'extrémité ouest de la zone à potentiel archéologique P3, où l'on trouve une zone semblable, une exploitation des ressources fauniques et halieutiques pourrait avoir eu lieu. L'emplacement de cette zone humide pourrait toutefois avoir donné lieu à des activités de chasse plutôt que de pêche. Des

plombs de fusil de chasse, associés à la période historique, ont en effet été trouvés dans la couche de tourbe de la sous-opération 14A (plan 12 et photo 47).

Par ailleurs, l'espace situé dans la partie nord de la zone à potentiel historique H6-4 (plans 12 et 18) contient près de la moitié des sous-opérations dans lesquelles l'ancienne surface des sols naturels a été observée, dans toute la superficie de la zone à potentiel archéologique P3. Dans cet espace d'environ 60 m sur 300 m, cette couche, dont la matrice varie d'un limon argileux à une argile limoneuse, se trouve sous des remblais de rehaussement (photo 48). Elle a été mise au jour à une altitude moyenne d'environ 20,70 m (NMM), et la présence de nombreuses voies ferrées semble avoir contribué à sa conservation. Il apparaît également que les travaux de construction de l'autoroute 15 et l'aménagement récent du terrain n'ont pas perturbé en profondeur cette partie de la zone P3. Dans la sous-opération 10G, on note la présence, sous diverses couches de remblai de rehaussement, d'une couche de tourbe qui se trouve à une profondeur de 1,70 m sous le niveau actuel du terrain et qui repose sur un dépôt de marne de 0,10 m d'épaisseur (photo 31).

Ce profil stratigraphique se rapporte à des sédiments déposés dans un environnement aqueux peu agité. Selon la superposition du plan de H. S. Sitwell de 1865-1871, il existait effectivement à cet endroit un petit espace marécageux couvrant environ 30 m sur 60 m (plan 14). Si, dans les secteurs H3 et H4, la couche de marne s'est accumulée dans l'intervalle de temps compris entre 6000 ans et 3000 ans AA (Ethnoscop, 2008), il semble qu'ici ce fut légèrement différent. La surface de la marne est à cet endroit à l'altitude la plus élevée répertoriée dans le cadre du présent projet, soit 19,46 m (NMM), comparativement à une moyenne de 13,70 m dans les secteurs H3 et H4. De plus, une intervention archéologique réalisée dans le secteur de la rue Saint-Ambroise (Ethnoscop, 2005), un peu à l'ouest de la rue Saint-Rémi, a permis de repérer cette couche à une altitude très similaire, soit de 13,21 m à 14,38 m (NMM). Il semble donc que ce dépôt se soit accumulé alors que le niveau de l'eau était en transition entre la fin du lac Lampsilis et le début du lac à la Loutre, soit un peu avant 6000 ans AA. Cela semble indiquer que cet espace n'aurait certainement pas pu être occupé avant la fin de l'Archaïque supérieur ou le début du Sylvicole.

L'emplacement de cette zone humide ne peut donc être retenu comme zone à potentiel préhistorique. Toutefois, comme dans la partie ouest de la zone P3, le pourtour de cette zone humide pourrait avoir donné lieu à des activités saisonnières de chasse et de pêche. En se basant sur les différentes altitudes auxquelles la surface de l'horizon organique du sol naturel a été atteinte dans les sous-opérations de la zone à potentiel archéologique P3, il est possible de confirmer que l'espace compris approximativement entre les rues Saint-Rémi et York est l'endroit le plus élevé de cette zone à potentiel archéologique (plan 18). Cette caractéristique topographique a-t-elle été exploitée d'une manière précise dans le passé? Une différence de seulement quelques mètres d'altitude aurait-elle pu jouer un rôle important dans l'établissement de campements dans lesquels des activités particulières auraient pu avoir lieu lors de l'occupation du territoire par certains groupes culturels? Cela reste à démontrer. Un inventaire archéologique à cet endroit pourrait possiblement apporter des réponses à ces questions.



Photo 47 : Plombs de fusil retrouvés dans la couche de tourbe de la sous-opération MTL09-23-1-14A (MTL09-23-1-  
NUM3-112)



Photo 48 : Profil stratigraphique type des sous-opérations localisées dans l'aire de circulation actuelle du centre Turcot, l'horizon organique du sol naturel est visible sous les remblais, direction ouest (MTL09-23-1-  
NUM3-32)

### 2.14.2 Discussion et recommandation

La présence de l'ancienne surface des sols naturels dans 36 sous-opérations de la zone à potentiel archéologique P3 permet de supposer que si cette partie du territoire montréalais a été occupée lors des périodes préhistoriques, il pourrait toujours subsister des traces de ces occupations dans cette couche de sol. Selon les données altimétriques recueillies sur cette surface, les occupations les plus anciennes pourraient être associées à la période de l'Archaïque supérieur. À ce moment, le lac à la Loutre était probablement l'unité géographique présentant le plus grand attrait, privilégié entre autres pour les ressources alimentaires qu'il aurait pu fournir. Des traces associées à l'exploitation des ressources fauniques et halieutiques de cet espace pourraient être mises au jour dans cette zone à potentiel archéologique. Lors des périodes plus récentes (Sylvicole), les caractéristiques géographiques se sont modifiées. L'espace occupé par le lac à la Loutre s'est grandement réduit et a été caractérisé par une zone marécageuse dans laquelle la rivière Saint-Pierre circulait par de nombreux méandres. Son utilisation pourrait en avoir été modifiée et cela pourrait transparaître dans le type d'occupation de ce territoire.

Dans l'étude de potentiel, il a été recommandé de vérifier l'état réel de préservation des sols naturels au moyen d'un inventaire archéologique. Des tranchées de 2 m par 10 m excavées mécaniquement et complétées de sondages manuels devraient être envisagées (Ethnoscop 2008a). À partir des résultats de la surveillance archéologique des forages et tranchées, cette recommandation est maintenue. Cette phase de l'inventaire archéologique serait effectuée en même temps que l'intervention archéologique historique. L'équipe d'archéologues historiens entreprendrait les différentes étapes liées au retrait des remblais historiques, documentant ceux-ci le cas échéant, puis, lorsque le sol naturel d'origine serait mis au jour, l'équipe d'archéologues préhistoriens prendrait la relève afin de terminer l'intervention. Il devra être pris en considération que la surface de l'horizon organique du sol naturel présente un potentiel se rapportant autant aux périodes préhistoriques qu'historiques anciennes. Ainsi, le type d'intervention devrait être réévalué au fur et à mesure qu'une nouvelle tranchée sera ouverte. Il se pourrait effectivement que bien que la surface des sols naturels soit présente, cette dernière contienne plus de témoins d'une occupation historique que préhistorique. Cette réalité devra être jaugée advenant une intervention sur le terrain.

3.0

CONCLUSION ET RECOMMANDATIONS

---

Les interventions archéologiques réalisées au cours de l'année 2009 dans la zone d'étude du complexe Turcot ont permis de cibler certains endroits présentant un intérêt archéologique particulier. Si certains espaces contiennent un potentiel archéologique exclusivement historique, il devient évident à l'étude des profils stratigraphiques que, dans certaines autres parties du territoire, il est tout aussi probable de trouver des vestiges archéologiques préhistoriques qu'historiques.

Les sous-opérations localisées dans le secteur à potentiel historique H3 ont permis de documenter des couches naturelles associées à la présence du lac à la Loutre. Ces unités stratigraphiques ont été observées sous d'épaisses couches de remblai mises en place lors de l'aménagement de la cour de triage Turcot. Cette dernière, utilisée intensivement au courant des XIX<sup>e</sup> et XX<sup>e</sup> siècles, présentait différentes structures imposantes, notamment une rotonde. Un des forages réalisés dans ce secteur a permis d'observer des sols caractéristiques possiblement associés à ce bâtiment. L'intervention que proposait l'étude de potentiel afin d'établir si le bâtiment est toujours présent sous les remblais est conseillée.

Le secteur à potentiel historique H4, tout comme le secteur précédent, est caractérisé par la présence d'unités stratigraphiques associées à la présence du lac à la Loutre. Des remblais divers mis en place tant lors de circonstances plus anciennes (XIX<sup>e</sup> siècle) qu'au moment de travaux plus récents (construction de l'échangeur Turcot dans les années 1960) couvrent ces couches naturelles. Malgré cette séquence stratigraphique répétitive, certaines sous-opérations présentent des éléments auxquels une attention devrait être portée. En effet, la présence de bâtiments dans ce secteur pendant le XIX<sup>e</sup> siècle pourrait avoir laissé des vestiges sous les nombreux remblais. Également, une couche de sol pouvant se rapporter à la surface de l'horizon organique du sol naturel pourrait receler des traces d'occupation rattachées à la présence de bâtiments illustrés sur les plans de la deuxième moitié du XIX<sup>e</sup> siècle. La réalisation d'un inventaire archéologique dans certaines parties de ce secteur est recommandée : premièrement dans la portion tout juste au nord du canal de Lachine, dans les limites de la zone à potentiel H4-1 et deuxièmement dans la partie nord-est du secteur, à proximité de la rue Notre-Dame.

Le canal de Lachine, aménagé au cours du XIX<sup>e</sup> siècle, est un élément important qu'on a déjà considéré lors de la réalisation de l'étude de potentiel. En effet, ce site patrimonial, classé lieu historique national du Canada, présente un intérêt indéniable et doit être préservé. Les interventions réalisées de part et d'autre du canal ont permis de localiser un espace associé à son emprise maximale à la fin du XIX<sup>e</sup> siècle. Cet espace est aujourd'hui remblayé. Des vestiges de l'ancien mur sud du canal pourraient subsister dans les limites de cette zone à potentiel archéologique. De plus, les activités s'étant déroulées aux abords du canal pourraient avoir laissé des traces. La réalisation d'un inventaire archéologique, auquel les archéologues de l'Agence Parcs Canada devraient contribuer, est recommandée dans cet espace.

Finalement, on reconnaît dans le secteur à potentiel historique H6 de nombreux endroits où des vestiges d'occupation pourraient se trouver. L'ancienne surface des sols naturels a été localisée dans peu de sous-opérations, mais sa présence est répartie dans presque toutes les zones à potentiel archéologique. Ainsi, les occupations historiques associées au début

du développement de ce territoire auraient par le fait même altéré l'intégrité de cette unité stratigraphique. C'est donc principalement sur la base de cette présence que le potentiel est établi. Les périodes subséquentes pourraient également être représentées par des vestiges, ces derniers étant susceptibles de se retrouver autant dans cette couche qu'intégrés à des remblais plus récents. La réalisation d'un inventaire archéologique permettrait de mieux documenter l'évolution de cet espace qui, à l'origine voué à des activités agricoles, s'est rapidement transformé en quartier ouvrier au moment où d'importantes industries s'établissaient à proximité. Il faudrait aussi documenter le canal de l'Aqueduc si des travaux devaient en compromettre l'intégrité.

La présence d'un potentiel archéologique préhistorique a elle aussi été confirmée lors des travaux de terrain. La surface de l'horizon organique du sol naturel pourrait en effet receler des traces d'occupation datant principalement des périodes du Sylvicole et possiblement de la fin de l'Archaïque supérieur. Cette occupation serait principalement liée à des activités de chasse et de pêche s'étant déroulées en périphérie du lac à la Loutre et de son successeur, le lac Saint-Pierre. Des éléments topographiques particuliers, tel un promontoire en bordure du lac à la Loutre, ont été identifiés et permettent de cibler certains espaces où l'intensité des activités aurait été plus grande. Dans la partie centrale de la zone à potentiel préhistorique P3, on remarque une concentration de sous-opérations dans lesquelles l'ancienne surface des sols naturels a été localisée. Comme proposé dans l'étude de potentiel, la réalisation d'un inventaire archéologique est recommandée.

## DOCUMENTS CONSULTÉS

---

### ÉTUDES ARCHÉOLOGIQUES

#### ARCHEMI ET AL.

1995 *Inventaire et évaluation des ressources culturelles*, canal de Lachine. Parcs Canada, 155 pages, 3 volumes.

#### BLOUIN ET ASSOCIÉS

1991 *Le canal de Lachine et ses abords. Étude de zones prioritaires sur la mise en valeur du patrimoine*. Ville de Montréal. Non paginé.

#### ETHNOSCOPI

2005 *Opération solidarité 5 000 logements. Étude de potentiel et inventaire archéologiques, rue Saint-Ambroise, MTL03-23-1, Montréal, 2003*. Ville de Montréal, Service du développement économique et urbain, 122 pages et annexes.

2008a *Complexe Turcot, étude de potentiel archéologique*. Dessau, ministère des Transports du Québec, Direction générale de Montréal et de l'Ouest, Direction de l'Île-de-Montréal, Bureau de projet du complexe Turcot, 43 pages et annexe, 2 volumes.

2008b *Complexe Turcot, addenda à l'étude de potentiel archéologique*. Dessau, ministère des Transports du Québec, Direction générale de Montréal et de l'Ouest, Direction de l'Île-de-Montréal, Bureau de projet du complexe Turcot, 9 pages et annexe, 2 volumes.

2009a *Complexe Turcot, étude en archéologie – phase 1, surveillance archéologique, travaux de caractérisation des sols, MTL07-23-2*. Dessau, ministère des Transports du Québec, Direction générale de Montréal et de l'Ouest, Direction de l'Île-de-Montréal, Bureau de projet du complexe Turcot, 9 pages, 2 volumes.

2009b *Complexe Turcot, étude en archéologie – phase 1, revue de littérature*. Dessau, ministère des Transports du Québec, Direction générale de Montréal et de l'Ouest, Direction de l'Île-de-Montréal, Bureau de projet du complexe Turcot, 32 pages et annexes.

#### S.A.N.M.

1988 *Inventaire des ressources archéologiques du sous-sol montréalais. Évaluation théorique du potentiel archéologique des projets de construction souterrains prévus en 1988 par la C.S.E.* Ville de Montréal, Service de l'habitation et du développement urbain, 107 pages.

## DOCUMENTS CONSULTÉS

---

### ÉTUDES TECHNIQUES

#### GENIVAR

- 2010a *Évaluation environnementale de site, phase 1 et 2. Propriété identifiée MTQ-001 et située sous la structure de l'autoroute 15, dans le secteur de l'échangeur De La Vérendrye à Montréal (Québec).* Extrait du rapport de forages et sondages (fiches techniques).
- 2010b *Évaluation environnementale de site, phase 1 et 2. Propriété identifiée MTQ-002 et située sous la structure de l'autoroute 15, dans le secteur de l'échangeur De La Vérendrye à Montréal (Québec).* Extrait du rapport de forages et sondages (fiches techniques).
- 2010c *Évaluation environnementale de site, phase 1 et 2. Propriété identifiée MTQ-003 et située sous la structure de l'autoroute 15, dans le secteur de l'échangeur De La Vérendrye à Montréal (Québec).* Extrait du rapport de forages et sondages (fiches techniques).
- 2010d *Évaluation environnementale de site, phase 1 et 2. Propriété identifiée MTQ-004 et située sous la structure de l'autoroute 15, dans le secteur de l'échangeur De La Vérendrye à Montréal (Québec).* Extrait du rapport de forages et sondages (fiches techniques).
- 2010e *Évaluation environnementale de site, phase 1 et 2. Propriété identifiée MTQ-005 et située sous la structure de l'autoroute 15, dans le secteur de l'échangeur De La Vérendrye à Montréal (Québec).* Extrait du rapport de forages et sondages (fiches techniques).

#### INSPEC-SOL

- 2010 *Étude géotechnique et environnementale factuelle, Turcot – Secteur De La Vérendrye, Structures E-6 et F-3.* Extrait du rapport de forages et sondages (fiches techniques).

#### QUALITAS/LVM-TECHNISOL

- 2010 Extrait du rapport de forages et sondages (fiches techniques).

## DOCUMENTS CONSULTÉS

---

### DOCUMENT CARTOGRAPHIQUE

GOAD, CHARLES EDWARD

1890 *Atlas of the city of Montreal: from special survey and official plans, showing all buildings & names of owners / Chas. E. Goad, civil engineer, Montréal: Chas. E. Goad, civil engineer, 1890. BAnQ : G 1144 M65G475 G6 1890 CAR.*

GOAD, CHARLES EDWARD

1907 *Montreal Island and vicinity. BAnQ : P600 S4 SS1 D68.*

GOAD, CHARLES EDWARD

1913 *Atlas of the City of Montreal and vicinity : in four volumes, from official plans - special surveys showing cadastral numbers, buildings & lots, Vol. II Part of Notre Dame de Grâce, Emard and St. Henry ward. BAnQ : G 1144 M65G475 C3 1912 CAR*

HOPKINS, HENRY WHITMER

1879 *Atlas of the city and island of Montreal, including the counties of Jacques Cartier and Hochelaga; from actual surveys, based upon the cadastral plans deposited in the office of the Departement of Crown Lands / by and under the supervision of H. W. Hopkins..., Québec (Province): Provincial Surveying and Pub. Co., Henry W. Hopkins, manager, 1879. BAnQ : G1144 M65G475 H6 1879 CAR.*

PINSONNEAULT, A.R.

1907 *Atlas of the Island and City of Montreal and Ile Bizard. BNQ a compilation of most recent cadastral plans from the book of reference / A. R. Pinsonault, compiler. S.I. : Atlas Publishing Co. Ltd, 1907. Planches 18 et 23. BAnQ: G 1144 M65G475 P5 1907 CAR*

SITWELL, H. S.

1865 *Contoured plan of Montreal and it's environs, Quebec, triangulated in 1865 and surveyed in 1869-9. BAnQ : G 3452 M65 1869 C657 CAR*

UNDERWRITERS' SURVEY BUREAU

1915 *Insurance plan of city of Montreal, Quebec, Canada, volume IV. Feb. 1915 Reprinted Apr. 1926 Ville de Montréal. Gestion des documents et archives. Numéro catalogue Iris : 0003216548*

UNDERWRITERS' SURVEY BUREAU

1940 *Insurance plan of the city of Montreal, volume VII (including volume XV) : including towns of Mount Royal and Hampstead. BAnQ : Ville de Montréal. Gestion des documents et archives. Numéro catalogue Iris : 0000179188*

UNDERWRITERS' SURVEY BUREAU

1954 *Insurance plan of the city of Montreal, volume 7. BAnQ : G 1144 M65G475 U5 v.7 1954 CAR*

## DOCUMENTS CONSULTÉS

---

V. PREST, V. K. et J. HODE KEYSER  
1982 *Carte des dépôts meubles – Île de Montréal*

### RESSOURCE INTERNET

Site de Aecom Tecslult accessible aux intervenants du projet du complexe Turcot (<https://projets.tecsult.com>), consulté à de nombreuses reprises en 2010 et 2011.



Annexe A

Correspondance entre les modes d'enregistrement

## Annexe A : Correspondance entre les modes d'enregistrement

Enregistrement archéologique	Secteur / zone à potentiel archéologique	Numéro séquentiel (ID BPT)	Numéro forage / sondage	Date de réalisation 2009
MTL09-23-1-1A	H3	464	AB-3-F-2	19 et 20 janvier
MTL09-23-1-1B	H3	446	AB-3-F-1	20 et 21 janvier
MTL09-23-1-1C	H3	448	AB-4-F-1	22 janvier
MTL09-23-1-1D	H3	449	AB-4-F-2	26-27 janvier
MTL09-23-1-1E	H3	811	AB-5-F-3	29 janvier
MTL09-23-1-1F	H3	451	AB-5-F-2	2 et 3 février
MTL09-23-1-1G	H3	450	AB-5-F-1	4 février
MTL09-23-1-1H	H3-1	462	D2-F-1	5 février
MTL09-23-1-1J	H3-1	463	D2-F-2	10 février
MTL09-23-1-1K	H3-1	456	C2-F-1	11 février
MTL09-23-1-1L	H3-1	818	M2-F-1	16 février
MTL09-23-1-1M	H3-1	650	M2-F-2	17 février
MTL09-23-1-1N	H3-1	651	M1-F-2	18 février
MTL09-23-1-1P	H3	652	M1-F-1	23 février
MTL09-23-1-2A	H4	765	E5-F-1	25 février
MTL09-23-1-2B	H4	766	E5-F-2	27 février
MTL09-23-1-2C	H4	921	K1-F-2	2 mars
MTL09-23-1-2D	H4	920	K1-F-1	4 mars
MTL09-23-1-2E	H4	n.d.	E4-F-1	4 mars
MTL09-23-1-2F	H4	454	M5-F-1	6 mars
MTL09-23-1-2G	H4	812	K2-F-1	9 mars
MTL09-23-1-2H	H4	813	K2-F-2	10 mars
MTL09-23-1-2J	H4	760	J2-F-2	13 mars
MTL09-23-1-2K	H4	n.d.	E4-F-2	19 mars
MTL09-23-1-2L	H4	455	M5-F-2	20 et 23 mars
MTL09-23-1-2M	H4	759	J2-F-1	23 mars
MTL09-23-1-2N	H4	816	L2-F-1	25 mars

Enregistrement archéologique	Secteur / zone à potentiel archéologique	Numéro séquentiel (ID BPT)	Numéro forage / sondage	Date de réalisation 2009
MTL09-23-1-2P	H4	817	L2-F-2	25 mars
MTL09-23-1-2Q	H4	815	L1-F-2	9 avril
MTL09-23-1-2R	H4	814	L1-F-1	10 avril
MTL09-23-1-3A	H6-4	831	EF-2-2	4 mai
MTL09-23-1-3B	H6-4	832	EF-3-1	4 mai
MTL09-23-1-3C	H6-5	833	EF-3-2	5 mai
MTL09-23-1-3D	H6	835	EF-4-2	5 mai
MTL09-23-1-3E	H6	834	EF-4-1	6 mai
MTL09-23-1-3F	H6-3	830	EF-2-1	6 mai
MTL09-23-1-4A	H6-1	895	M1-TR1	26 mai
MTL09-23-1-4B	H6-1	896	M1-TR2	26 mai
MTL09-23-1-5A	H6-1	899	M1-F3 (PO-F3)	2 juin
MTL09-23-1-5B	H6-1	897	M1-F1 (PO-F1)	2 juin
MTL09-23-1-5C	H6-1	898	M1-F2 (PO-F2)	2 juin
MTL09-23-1-6A	H6-2	966	M2-TR4	26 mai
MTL09-23-1-6B	H6-2	965	M2-TR3	26 mai
MTL09-23-1-6C	H6-2	967	M2-TR5	26 mai
MTL09-23-1-6D	H6-2	969	M2-TR7	26 mai
MTL09-23-1-6E	H6-2	964	M2-TR2	26 mai
MTL09-23-1-6F	H6-2	968	M2-TR6	26 mai
MTL09-23-1-6G	H6-2	963	M2-TR1A	27 mai
MTL09-23-1-6H	H6-2	962	M2-TR1	29 mai
MTL09-23-1-7A	H6-2	848	M2-F2C (PO-F2C)	2 juin
MTL09-23-1-7B	H6-2	970 verif alt surface	M2-F1 (PO-F1)	2 juin
MTL09-23-1-7C	H6-2	849	M2-F3 (PO-F3)	2 juin

<b>Enregistrement archéologique</b>	<b>Secteur / zone à potentiel archéologique</b>	<b>Numéro séquentiel (ID BPT)</b>	<b>Numéro forage / sondage</b>	<b>Date de réalisation 2009</b>
MTL09-23-1-8A	H6-3	976	M3-TR1	27 mai
MTL0-23-1-8B	H6-3	980	M3-TR5	27 mai
MTL09-23-1-8C	H6-3	978	M3-TR3	27 mai
MTL09-23-1-8D	H6-3	982	M3-TR7	27 mai
MTL09-23-1-8E	H6-3	977	M3-TR2	27 mai
MTL09-23-1-8F	H6-3	981	M3-TR6	27 mai
MTL09-23-1-8G	H6-3	983	M3-TR8	29 mai
MTL09-23-1-8H	H6-3	979	M3-TR4	3 juin
MTL09-23-1-9A	H6-3	985	M3-F2	5 juin
MTL09-23-1-9B	H6-3	984	M3-F1	5 juin
MTL09-23-1-9C	H6-3	986	M3-F3	5 juin
MTL09-23-1-9D	H6-3	850	M3-F4 (PO-F4)	17 juin
MTL09-23-1-9E	H6-3	990	M3-F6 (PO-F6)	17 juin
MTL09-23-1-10A	H6-4	758	M4-TR9	28 mai
MTL09-23-1-10B	H6-4	753	M4-TR4	28 mai
MTL09-23-1-10C	H6-4	752	M4-TR3	28 mai
MTL09-23-1-10D	H6-4	751	M4-TR2	28 mai
MTL09-23-1-10E	H6-4	742	M4-TR1	28 mai
MTL09-23-1-10F	H6-4	754	M4-TR5	28 mai
MTL09-23-1-10G	H6-4	755	M4-TR6	28 mai
MTL09-23-1-10H	H6-4	756	M4-TR7	28 mai
MTL09-23-1-10J	H6-4	757	M4-TR8	28 mai
MTL09-23-1-10K	H6-4	746	M4-TR13	28 mai
MTL09-23-1-10L	H6-4	745	M4-TR12	28 mai
MTL09-23-1-10M	H6-4	748	M4-TR15	29 mai
MTL09-23-1-10N	H6-4	744	M4-TR11	29 mai
MTL09-23-1-10P	H6-4	747	M4-TR14	29 mai
MTL09-23-1-10Q	H6-4	750	M4-TR17	29 mai

<b>Enregistrement archéologique</b>	<b>Secteur / zone à potentiel archéologique</b>	<b>Numéro séquentiel (ID BPT)</b>	<b>Numéro forage / sondage</b>	<b>Date de réalisation 2009</b>
MTL09-23-1-10R	H6-4	743	M4-TR10	1 juin
MTL09-23-1-10S	H6-4	749	M4-TR16	1 juin
MTL09-23-1-11A	H6-4	854	M4-F10 (PO-F10A)	5 juin
MTL09-23-1-11B	H6-4	740	M4-F4	5 juin
MTL09-23-1-11C	H6-4	857	M4-F7 (PO-F7)	9 juin
MTL09-23-1-11D	H6-4	856	M4-F3A (PO-F3A)	9 juin
MTL09-23-1-11E	H6-4	855	M4-F2 (PO-F2)	9 juin
MTL09-23-1-11F	H6-4	853	M4-F1 (PO-F1)	10 juin
MTL09-23-1-11G	H6-4	741	M4-F6	10 juin
MTL09-23-1-11H	H6-4	860	M4-F5 (PO-F5)	10 juin
MTL09-23-1-11J	H6-4	858	M4-F8 (PO-F8)	9 juin
MTL09-23-1-11K	H6-4	859	M4-F9 (PO-F9)	10 juin
MTL09-23-1-12A	H6-5	416	M5-TR24	1 juin
MTL09-23-1-12B	H6-5	417	M5-TR25	1 juin
MTL09-23-1-12C	H6-5	418	M5-TR26	1 juin
MTL09-23-1-12D	H6-5	419	M5-TR27	1 juin
MTL09-23-1-12E	H6-5	420	M5-TR28	1 juin
MTL09-23-1-12F	H6-5	421	M5-TR29	1 juin
MTL09-23-1-12G	H6-5	410	M5-TR18	1 juin
MTL09-23-1-12H	H6-5	415	M5-TR23	2 juin
MTL09-23-1-12J	H6	402	M5-TR10	2 juin
MTL09-23-1-12K	H6	400	M5-TR7	2 juin
MTL09-23-1-12L	H6	407	M5-TR15	2 juin
MTL09-23-1-12M	H6	403	M5-TR11	2 juin
MTL09-23-1-12N	H6	406	M5-TR14	2 juin
MTL09-23-1-12P	H6	409	M5-TR17	2 juin
MTL09-23-1-12Q	H6	404	M5-TR12	2 juin

<b>Enregistrement archéologique</b>	<b>Secteur / zone à potentiel archéologique</b>	<b>Numéro séquentiel (ID BPT)</b>	<b>Numéro forage / sondage</b>	<b>Date de réalisation 2009</b>
MTL09-23-1-12R	H6	401	M5-TR8	2 juin
MTL09-23-1-12S	H6	398	M5-TR5	5 juin
MTL09-23-1-12T	H6	395	M5-TR2	8 juin
MTL09-23-1-12U	H6	397	M5-TR4	8 juin
MTL09-23-1-12V	H6	422	M5-TR30	8 juin
MTL09-23-1-12W	H6	411	M5-TR19	8 juin
MTL09-23-1-12X	H6	412	M5-TR20	8 juin
MTL09-23-1-12Y	H6	423	M5-TR32	8 juin
MTL09-23-1-12Z	H6	413	M5-TR21	8 juin
MTL09-23-1-12AA	H6	414	M5-TR22	8 juin
MTL09-23-1-12BB	H6	424	M5-TR33	9 juin
MTL09-23-1-12CC	H6	425	M5-TR31	9 juin
MTL09-23-1-13A	H6-5	843	M5-F5 (PO-F5)	9 juin
MTL09-23-1-13B	H6	842	M5-F3 (PO-F3)	15 juin
MTL09-23-1-13C	H6-7	392	M5-F8	15 juin
MTL09-23-1-13D	H6	393	M5-F9	16 juin
MTL09-23-1-13E	H6	391	M5-F6	16 juin
MTL09-23-1-13F	H6	844	M5-F7 (PO-F7)	16 juin
MTL09-23-1-14A	H6	862	M7-TR2	3 juin
MTL09-23-1-14B	H6	864	M7-TR4	3 juin
MTL09-23-1-14C	H6	863	M7-TR3	3 juin
MTL09-23-1-14D	H6	861	M7-TR1	3 juin
MTL09-23-1-14E	H6	866	M7-TR6	3 juin
MTL09-23-1-14F	H6	867	M7-TR7	3 juin
MTL09-23-1-14G	H6	865	M7-TR5	4 juin
MTL09-23-1-14H	H6	869	M7-TR9	4 juin
MTL09-23-1-14J	H6	872	M7-TR12	4 juin

Enregistrement archéologique	Secteur / zone à potentiel archéologique	Numéro séquentiel (ID BPT)	Numéro forage / sondage	Date de réalisation 2009
MTL09-23-1-14K	H6	874	M7-TR14	4 juin
MTL09-23-1-14L	H6	875	M7-TR15	4 juin
MTL09-23-1-14M	H6	871	M7-TR11	4 juin
MTL09-23-1-14N	H6	873	M7-TR13	4 juin
MTL09-23-1-14P	H6	870	M7-TR10	4 juin
MTL09-23-1-14Q	H6	876	M7-TR16	4 juin
MTL09-23-1-14R	H6	868	M7-TR8	5 juin
MTL09-23-1-15A	H6	882	M7-F6 (PO-F6)	17 juin
MTL09-23-1-15B	H6	877	M7-F1 (PO-F1)	17 juin
MTL09-23-1-15C	H6	879	M7-F3	17 et 18 juin
MTL09-23-1-15D	H6	881	M7-F5	18 juin
MTL09-23-1-15E	H6	878	M7-F2 (PO-F2)	18 juin
MTL09-23-1-15F	H6	880	M7-F4	18 juin
MTL09-23-1-16A	H6-7	405	M5-TR13	5 juin
MTL09-23-1-16B	H6-7	408	M5-TR16	5 juin
MTL09-23-1-16C	H6-7	399	M5-TR6	5 juin
MTL09-23-1-16D	H6-7	394	M5-TR1	8 juin
MTL09-23-1-16E	H6-7	396	M5-TR3	8 juin
MTL09-23-1-17A	H6-7	390	M5-F4	15 juin
MTL09-23-1-17B	H6-7	389	M5-F2	15 juin
MTL09-23-1-17C	H6-7	845	M5-F10 (PO-F10)	15 juin
MTL09-23-1-17D	H6-7	841	M5-F1 (PO-F1)	15 juin
MTL09-23-1-18A	H6-6	883	M6-TR1	9 juin
MTL09-23-1-18B	H6-6	884	M6-TR2	9 juin
MTL09-23-1-18C	H6-6	885	M6-TR3	9 juin

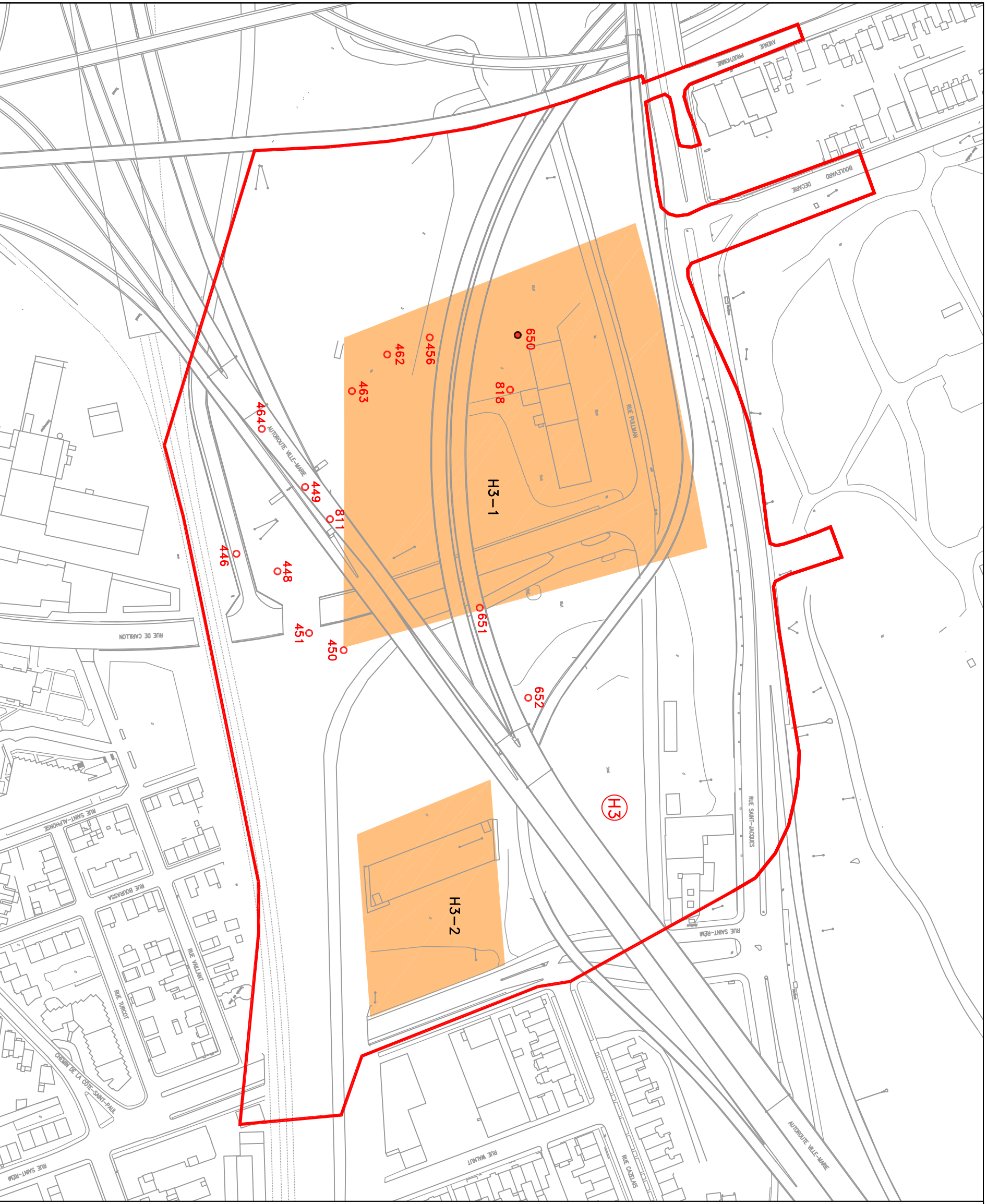
Enregistrement archéologique	Secteur / zone à potentiel archéologique	Numéro séquentiel (ID BPT)	Numéro forage / sondage	Date de réalisation 2009
MTL09-23-1-19A	H6-6	888	M6-F1B (PO-F1B)	16 juin
MTL09-23-1-19B	H6-6	889	M6-F2	16 juin
MTL09-23-1-19C	H6-6	890	M6-F3	16 juin
MTL09-23-1-19D	H6-6	894	M6-F6	16 juin
MTL09-23-1-19E	H6-6	893	M6-F5	16 juin
MTL09-23-1-19F	H6-6	892	M6-F4 (PO-F4)	18 juin
MTL09-23-1-20A	H6-1	695	F-01 / PO-01	10 août
MTL09-23-1-20B	H6-1	696	F-02	10 août
MTL09-23-1-20C	H6-1	697	F-03	10 août
MTL09-23-1-20D	H6-1	900	F-01	10 août
MTL09-23-1-20E	H6-1	901	F-02	11 août
MTL09-23-1-20F	H6-1	902	F-03	11 août
MTL09-23-1-20G	H6-1	903	F-04	11 août
MTL09-23-1-20H	H6-1	905	F-05	11 août
MTL09-23-1-20J	H6-1	906	F-06 / PO-06	12 août
MTL09-23-1-20K	H6-1	705	F-01 / PO-01	12 août
MTL09-23-1-20L	H6-1	700	F-01 / PO-01	13 août
MTL09-23-1-20M	H6-1	701	F-02	13 août
MTL09-23-1-20N	H6-1	698	F-04	14 août
MTL09-23-1-20P	H6-1	699	F-05	14 août
MTL09-23-1-20Q	H6-1	702	F-03	14 août
MTL09-23-1-20R	H6-1	703	F-01	14 août
MTL09-23-1-20S	H6-1	704	F-02 / PO-02	14 août
MTL09-23-1-20T	H6-1	912	F-12	17 août
MTL09-23-1-21A	H6-3	913	F-01	12 août
MTL09-23-1-21B	H6-3	914	F-02 / PO-02	12 août
MTL09-23-1-21C	H6-3	706	F-01	12 août

Enregistrement archéologique	Secteur / zone à potentiel archéologique	Numéro séquentiel (ID BPT)	Numéro forage / sondage	Date de réalisation 2009
BiFj-28-2A	H6-3	707	F-02	14 août
MTL09-23-1-21E	H6-4	708	F-03	17 août
MTL09-23-1-21F	H6-4	709	F-04 / PO-04	17 août
MTL09-23-1-21G	H6-3	710	F-05 / PO-05	18 août
MTL09-23-1-21H	H6-3	711	F-06	19 août
MTL09-23-1-21J	H6-3	712	F-07	19 août
MTL09-23-1-21K	H6-3	713	F-08	19 août
BiFj-28-2B	H6-3	714	F-09	20 août
BiFj-28-2C	H6-3	715	F-10 / PO-10	20 août
MTL09-23-1-21N	H6-3	915	F-03	22 août
MTL09-23-1-21P	H6-3	916	F-04 / PO-04	23 août
MTL09-23-1-21Q	H6-3	917	F-05	22 août
MTL09-23-1-21R	H6-3	918	F-06	22 août
MTL09-23-1-21S	H6-3	919	F-07 / PO-07	23 août
MTL09-23-1-22A	H6-1	907	TR-007	12 août
MTL09-23-1-22B	H6-1	908	TR-008	13 août
MTL09-23-1-22C	H6-1	909	TR-009	13 août
MTL09-23-1-22D	H6-1	910	TR-010	13 août
MTL09-23-1-22E	H6-1	911	TR-011	13 août
614G-5G	H5-1	1003	F-3-4	27 août
MTL09-23-1-23B	H6-1	994	E-6-4	8 septembre
MTL09-23-1-23C	H6-1	1005	F-3-6	9 septembre
MTL09-23-1-23D	H6-1	999	E-6-9	9 septembre
MTL09-23-1-23E	H6-1	998	E-6-8	10 septembre
614G-5H	H5-1	996	E-6-6 (RUE)	1 septembre

<b>Enregistrement archéologique</b>	<b>Secteur / zone à potentiel archéologique</b>	<b>Numéro séquentiel (ID BPT)</b>	<b>Numéro forage / sondage</b>	<b>Date de réalisation 2009</b>
MTL09-23-1-24B	H4-1	991	E-6-1	3 septembre
MTL09-23-1-24C	H4-1	995	E-6-5	3 septembre
MTL09-23-1-24D	H4-1	1006	F-3-7	4 septembre
MTL09-23-1-24E	H4-1	1001	F-3-2	4 septembre
MTL09-23-1-24F	H4-1	1000	E-6-10	8 septembre
614G-5A	H5-1	1004	F-3-5	26 août
614G-5B	H5-1	997	E-6-7	27 août
614G-5C	H5-1	993	E-6-3	31 août
614G-5D	H5-1	996	E-6-6	27 août
614G-5E	H5-1	1002	F-3-3	27 août
614G-5F	H5-1	992	E-6-2	1 septembre

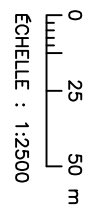
Annexe B  
Localisation des numéros séquentiels du MTQ

---



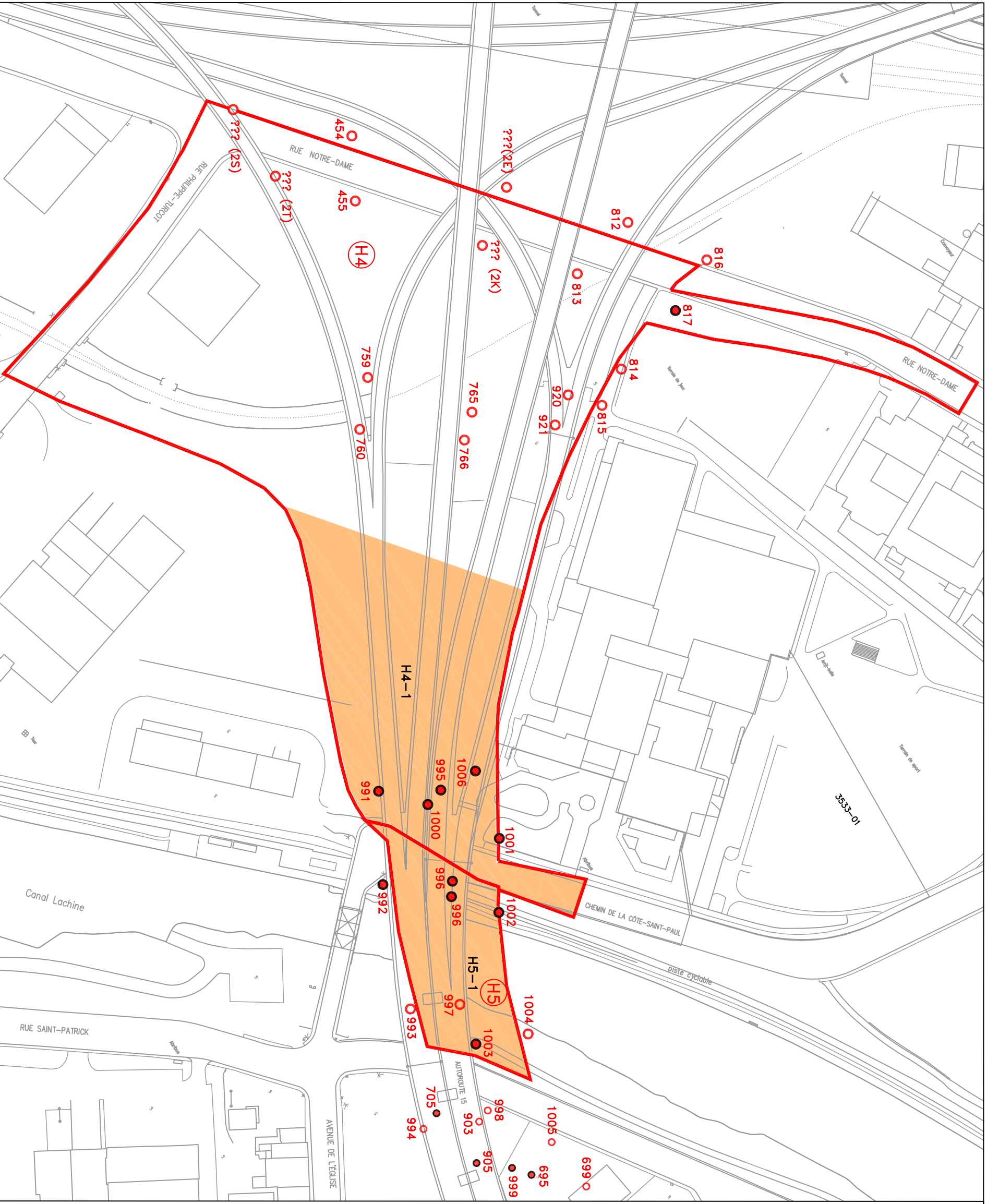
COMPLEXE TURCOT  
 SURVEILLANCE ARCHÉOLOGIQUE  
 MTL09-23-1  
 IDENTIFICATION DES NUMÉROS  
 SÉQUENTIELS DU MTQ  
 ANNEXE B-1

- LIMITE DE SECTEUR
- NUMÉRO DE SECTEUR
- ZONE À POTENTIEL ARCHÉOLOGIQUE
- NUMÉRO DE ZONE
- FORAGE POSITIF
- FORAGE NÉGATIF
- NUMÉRO DE SOUS-OPERATION



SOURCES :

- Cartes électroniques, ministère des Transports du Québec, fichiers Turcot-TN-Ouest-2D.dwg, L016986-TN-Turcot.dwg et 31he3631\_carto.dwg
- Ethnoscop 2008a



COMPLEXE TURCOT  
 SURVEILLANCE ARCHÉOLOGIQUE  
 MTL09-23-1 ET 614G  
 IDENTIFICATION DES NUMÉROS  
 SÉQUENTIELS DU MTQ  
 ANNEXE B-2

-  LIMITE DE SECTEUR
-  NUMÉRO DE SECTEUR
-  ZONE À POTENTIEL ARCHÉOLOGIQUE
-  NUMÉRO DE ZONE
-  FORAGE POSITIF
-  FORAGE NÉGATIF
-  NUMÉRO SÉQUENTIEL

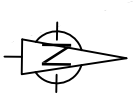
0 20 40 m  
 Echelle : 1:1800



SOURCES :  
 ● Cartes électroniques, ministère des Transports du Québec,  
 fichiers Turcot-TN-Ouest-2D.dwg, L016886-TN-Turcot.dwg  
 et 31he3631\_carto.dwg  
 ● Ethnoscop 2008a

COMPLEXE TURCOT  
 SURVEILLANCE ARCHÉOLOGIQUE  
 MTL09-23-1 ET Bifj-28  
 IDENTIFICATION DES NUMÉROS  
 SÉQUENTIELS DU MTQ  
 ANNEXE B-3

-  LIMITE DE SECTEUR
-  NUMÉRO DE SECTEUR
-  TUNNEL SAINT-REMI
-  ZONE À POTENTIEL ARCHÉOLOGIQUE
-  NUMÉRO DE ZONE
-  H6-1
-  FORAGE POSITIF
-  FORAGE NÉGATIF
-  TRANCHÉE POSITIVE
-  TRANCHÉE NÉGATIVE
-  4A
-  NUMÉRO DE SOUS-OPÉRATION



SOURCES :

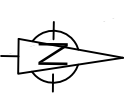
- Cartes électroniques, ministère des Transports du Québec, fichiers Turcot-TN-Ouest-2D.dwg, L01688G-TN-Turcot.dwg et 31he3531\_carto.dwg
- Ethnoscop 2008a



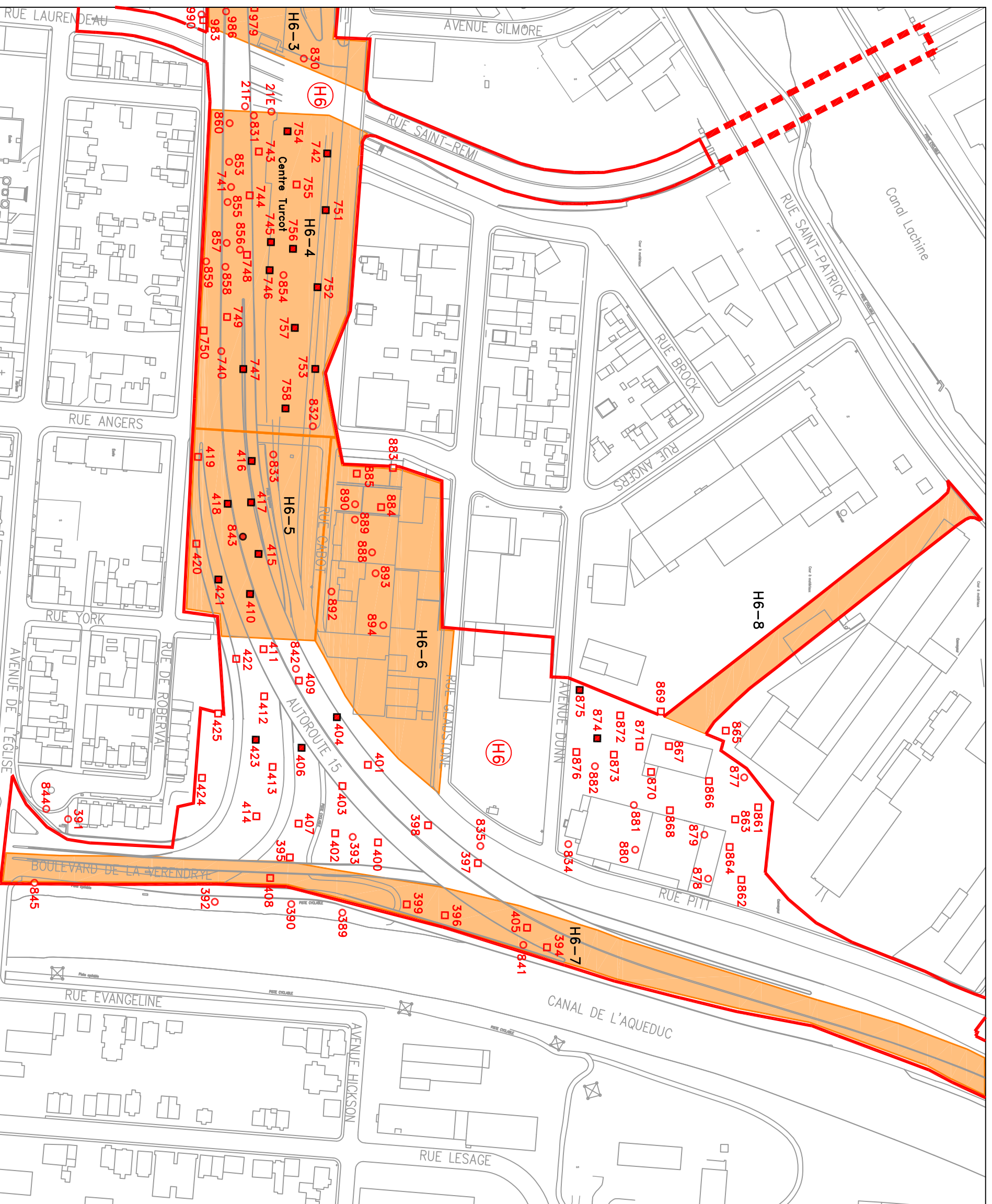
COMPLEXE TURCOT  
SURVEILLANCE ARCHÉOLOGIQUE  
MTL09-23-1 ET MTL09-24-1  
IDENTIFICATION DES NUMÉROS  
SÉQUENTIELS DU MTQ  
ANNEXE B-4

- LIMITE DE SECTEUR
- NUMÉRO DE SECTEUR
- TUNNEL SAINT-RÉMI
- ZONE À POTENTIEL ARCHÉOLOGIQUE
- NUMÉRO DE ZONE
- FORAGE POSITIF
- FORAGE NÉGATIF
- TRANCHÉE POSITIVE
- TRANCHÉE NÉGATIVE
- NUMÉRO DE SOUS-OPERATION

0 25 50 m  
Echelle : 1:2500



SOURCES :  
 ● Cartes électroniques, ministère des Transports du Québec,  
 fichiers Turcot-TN-Ouest-2D.dwg, L016886-TN-Turcot.dwg  
 et 31he5631\_carto.dwg  
 ● Ethnoscop 2008a



Annexe C  
Catalogue des photographies

---

Projet : Complexe Turcot

Archéologue : Hugo Comète et  
Mathieu Sévigny

Film N° : 614G-09-NUM1

Type de film : numérique

Date	Cliché	Nég.	CD	Identification	Description	Orientation
26-08-2009	1		P8260001	H5-1 / 614G	Vue générale, rive droite du canal de Lachine	E.
26-08-2009	2		P8260002	H5-1 / 614G	Vue générale, sous-opération 5A	N.-E.
26-08-2009	3		P8260003	H5-1 / 614G	Vue générale, sous-opération 5A	O.
27-08-2009	4		P8270004	H5-1 / 614G	Vue générale, sous-opération 5G	S.-O.
27-08-2009	5		Photo 038	H5-1 / 614G	Vue générale, sous-opération 5D	S.-O.
27-08-2009	6		P8270006	H5-1 / 614G	Vue générale, rive gauche du canal de Lachine (sous-opération 5D)	O.
27-08-2009	7		Photo 039	H5-1 / 614G	Vue générale, sous-opération 5E	S.-O.
28-08-2009	8		P8280008	H5-1 / 614G	Vue générale, sous-opération 5B	N.-E.
31-08-2009	9		P8310009	H5-1 / 614G	Vue générale, sous-opération 5C	S.-O.
01-09-2009	10		P9010012	H5-1 / 614G	Vue générale, sous-opération 5F	N.
01-09-2009	11		P9010014	H5-1 / 614G	Vue générale, sous-opération 5H	E.
01-09-2009	12		P9010016	H5-1 / 614G	Équipe de forage, sous-opération 5H	N.-E.
01-09-2009	13		P9010017	H5-1 / 614G	Exemple d'un échantillon du till de fond. Sous-opération 5H	-

**Projet : Complexe Turcot**  
**Film N° : BiFj-28-09-NUM1**

**Archéologue : Hugo Comète**  
**Type de film : numérique**

<b>Date</b>	<b>Cliché</b>	<b>Nég.</b>	<b>CD</b>	<b>Identification</b>	<b>Description</b>	<b>Orientation</b>
20-08-2009	1		Photo 035	BiFj-28	Vue générale, sous-opération 2B (MTL09-23-1-21L)	N.
20-08-2009	2		Photo 037	BiFj-28	Vue générale, sous-opération 2C (MTL09-23-1-21M)	S.-O.

Projet : Complexe Turcot  
 Film N° : MTL09-23-1-NUM1

Archéologue : Hugo Comète  
 Type de film : numérique

Date	Cliché	Nég.	CD	Identification	Description	Orientation
19-1-2009	1		P1200003	H3	Vue générale sous-opération 1B	S.-O.
25-1-2009	2		P1260006	H3	Vue générale sous-opération 1C	N.-E.
25-1-2009	3		P1260007	H3	Vue générale sous-opération 1D	S.-O.
28-6-2009	4		P1290008	H3	Vue générale sous-opération 1E	N.
28-6-2009	5		P1290009	H3	Vue générale sous-opération 1E	O.
01-2-2009	6		P2020012	H3	Vue générale sous-opération 1F	O.
03-2-2009	7		P2040014	H3	Vue générale sous-opération 1G	N.
09-2-2009	8		P2100016	H3	Vue générale du secteur H3	S.-O.
10-2-2009	9		P2110018	H3	Vue générale sous-opération 1K	S.-O.
16-2-2009	10		P2170020	H3	Vue générale sous-opération 1M	N.-O.
17-2-2009	11		P2180022	H3	Vue générale sous-opération 1N	N.
22-2-2009	12		P2230056	H3	Vue générale sous-opération 1P	N.
24-2-2009	13		P2250057	H4	Vue générale de la portion centrale du secteur H4	N.-O.
24-2-2009	14		P2250058	H4	Vue générale sous-opération 2A	N.-E.
04-3-2009	15		P3050061	H4	Vue générale sous-opération 2E	S.-O.
08-3-2009	16		P3090064	H4	Vue générale sous-opération 2G	N.-O.
09-3-2009	17		P3100065	H4	Vue générale sous-opération 2H	S.
19-3-2009	18		P3200068	H4	Vue générale sous-opération 2L	S.-O.
22-3-2009	19		P3230069	H4	Vue générale sous-opération 2M	N.-E.
08-4-2009	20		P4090071	H4	Vue générale sous-opération 2P	N.-E.
08-4-2009	21		P4090072	H4	Sous-opération 2P, CF-4 : remblai et tourbe.	-
08-4-2009	22		P4090073	H4	Sous-opération 2P, CF-5 : tourbe.	-
08-4-2009	23		P4090074	H4	Sous-opération 2P, CF-6 : tourbe et marne.	-
08-4-2009	24		P4090075	H4	Sous-opération 2P, CF-7 : marne, argile lacustre et till de fond.	-
08-4-2009	25		P4090076	H4	Vue générale sous-opération 2Q	N.-O.
13-4-2009	26		img001	H4	Vue générale sous-opération 2S	N.-O.
13-4-2009	27		img002	H4	Vue générale sous-opération 2S	O.
13-4-2009	28		img003	H4	Vue générale sous-opération 2S	S.-O.

**Projet :** Complexe Turcot  
**Film N° :** MTL09-23-1-NUM2

**Archéologue :** Hugo Comète  
**Type de film :** numérique

<b>Date</b>	<b>Cliché</b>	<b>Nég.</b>	<b>CD</b>	<b>Identification</b>	<b>Description</b>	<b>Orientation</b>
04-05-2009	1		Photo 075	H6-4 / P3	Vue générale sous-opération 3A	E.
04-05-2009	2		Photo 083	H6-4 / P3	Vue générale sous-opération 3B	S.
05-05-2009	3		Photo 084	H6-5 / P3	Vue générale sous-opération 3C	O.
05-05-2009	4		Photo 086	H6-5 / P3	Sous-opération 3C, détail du sol naturel stérile dans la CF-3	-
05-05-2009	5		Photo 087	H6 / P3	Vue générale sous-opération 3D	N.-E.
06-05-2009	6		Photo 089	H6 / P3	Vue générale sous-opération 3E	O.
07-05-2009	7		Photo 091	H6-3 / P3	Vue générale sous-opération 3F	E.

Projet : Complexe Turcot

Archéologue : Hugo Comète et Paul Girard

Film N° : MTL09-23-1-NUM3

Type de film : numérique

Date	Cliché	Nég.	CD	Identification	Description	Orientation
26-05-2009	1		P5260001	H6-1 / P3	Vue générale sous-opération 4A	O.
26-05-2009	2		P5260003	H6-1 / P3	Profil stratigraphique type de la sous-opération 4A	N.
26-05-2009	3		P5260007	H6-1 / P3	Vue générale sous-opération 4B	O.
26-05-2009	4		P5260010	H6-1 / P3	Profil stratigraphique type de la sous-opération 4B	E.
26-05-2009	5		P5260011	H6-2 / P3	Profil stratigraphique type de la sous-opération 6A	N.
26-05-2009	6		P5260013	H6-2 / P3	Vue générale sous-opération 6A	S.
26-05-2009	7		P5260016	H6-2 / P3	Vestige en béton, paroi nord, sous-opération 6B	N.
26-05-2009	8		P5260018	H6-2 / P3	Vestiges en béton, paroi sud, sous-opération 6B	S.
26-05-2009	9		P5260019	H6-2 / P3	Vue générale sous-opération 6B	E.
26-05-2009	10		P5260020	H6-2 / P3	Vue générale sous-opération 6C	E.
26-05-2009	11		P5260021	H6-2 / P3	Vue du fond de la tranchée, sous-opération 6C (eau)	E.
26-05-2009	12		P5260026	H6-2 / P3	Profil stratigraphique type de la sous-opération 6D	N.-E.
26-05-2009	13		P5260027	H6-2 / P3	Vue générale sous-opération 6D	O.
26-05-2009	14		P5260029	H6-2 / P3	Profil stratigraphique type de la sous-opération 6E (beaucoup d'eau)	N.-O.
26-05-2009	15		P5260032	H6-2 / P3	Profil stratigraphique type de la sous-opération 6E (beaucoup d'eau)	S.
26-05-2009	16		P5260033	H6-2 / P3	Fin de l'excavation, fond plein d'eau	O.
26-05-2009	17		P5260034	H6-2 / P3	Vue générale, sous-opération 6F	E.
26-05-2009	18		P5260036	H6-2 / P3	Profil stratigraphique type de la sous-opération 6F	S.
27-05-2009	19		P5270037	H6-2 / P3	Vue générale, sous-opération 6G	E.
27-05-2009	20		P5270040	H6-3 / P3	Vue générale, sous-opération 8A	E.
27-05-2009	21		P5270042	H6-3 / P3	Profil stratigraphique type de la sous-opération 8A	S.-E.
27-05-2009	22		P5270044	H6-3 / P3	Vue générale, sous-opération 8B	N.
27-05-2009	23		P5270045	H6-3 / P3	Profil stratigraphique type de la sous-opération 8B	N.-E.
27-05-2009	24		P5270048	H6-3 / P3	Vue générale, sous-opération 8C	N.
27-05-2009	25		P5270050	H6-3 / P3	Profil stratigraphique type de la sous-opération 8C	N.
27-05-2009	26		P5270052	H6-3 / P3	Vue générale, sous-opération 8D	E.
27-05-2009	27		P5270054	H6-3 / P3	Profil stratigraphique type de la sous-opération 8D	N.
27-05-2009	28		P5270056	H6-3 / P3	Vue générale, sous-opération 8E	E.
27-05-2009	29		P5270057	H6-3 / P3	Profil stratigraphique type de la sous-opération 8E	S.-E.

Date	Cliché	Nég.	CD	Identification	Description	Orientation
27-05-2009	30		P5270059	H6-3 / P3	Vue générale, sous-opération 8F	O.
27-05-2009	31		P5270062	H6-3 / P3	Profil stratigraphique type de la sous-opération 8F	E.
28-05-2009	32		P5280063	H6-4 / P3	Profil stratigraphique type de la sous-opération 10A	O.
28-05-2009	33		P5280065	H6-4 / P3	Vue générale, sous-opération 10A	N.
28-05-2009	34		P5280066	H6-4 / P3	Fin de l'excavation, sous-opération 10A	N.-O.
28-05-2009	35		P5280067	H6-4 / P3	Vue générale, sous-opération 10B	E.
28-05-2009	36		P5280068	H6-4 / P3	Vue générale, sous-opération 10B	O.
28-05-2009	37		P5280070	H6-4 / P3	Profil stratigraphique type de la sous-opération 10B	E.
28-05-2009	38		P5280071	H6-4 / P3	Profil stratigraphique type de la sous-opération 10B (détail des sols naturels)	E.
28-05-2009	39		P5280072	H6-4 / P3	Vue générale, sous-opération 10C	O.
28-05-2009	40		P5280073	H6-4 / P3	Profil stratigraphique type de la sous-opération 10C	N.
28-05-2009	41		P5280075	H6-4 / P3	Vue générale, sous-opération 10D	N.
28-05-2009	42		P5280077	H6-4 / P3	Profil stratigraphique type de la sous-opération 10D	N.
28-05-2009	43		P5280079	H6-4 / P3	Profil stratigraphique type de la sous-opération 10D	S.
28-05-2009	44		P5280081	H6-4 / P3	Excavation mécanique, sous-opération 10E. Nombreuses traverses en bois.	E.
28-05-2009	45		P5280082	H6-4 / P3	Profil stratigraphique type de la sous-opération 10E	E.
28-05-2009	46		P5280084	H6-4 / P3	Vue générale, sous-opération 10F	S.-O.
28-05-2009	47		P5280087	H6-4 / P3	Profil stratigraphique type de la sous-opération 10F	S.-E.
28-05-2009	48		P5280088	H6-4 / P3	Détail du contact remblai / sol naturel, sous-opération 10F	E.
28-05-2009	49		P5280091	H6-4 / P3	Profil stratigraphique type de la sous-opération 10G	S.
28-05-2009	50		P5280092	H6-4 / P3	Beaucoup d'eau au fond de la tranchée. Sous-opération 10G	S.-O.
28-05-2009	51		P5280093	H6-4 / P3	Vue générale, sous-opération 10G	S.-O.
28-05-2009	52		P5280094	H6-4 / P3	Profil stratigraphique type de la sous-opération 10H	N.
28-05-2009	53		P5280095	H6-4 / P3	Vue générale, sous-opération 10H	S.-E.
28-05-2009	54		P5280096	H6-4 / P3	Vue générale, sous-opération 10J	N.-E.
28-05-2009	55		P5280097	H6-4 / P3	Profil stratigraphique type de la sous-opération 10J	O.
28-05-2009	56		P5280099	H6-4 / P3	Vue générale, sous-opération 10J	S.
28-05-2009	57		P5280100	H6-4 / P3	Profil stratigraphique type de la sous-opération 10K	N.-E.
28-05-2009	58		P5280103	H6-4 / P3	Vue générale, sous-opération 10K	N.-E.
28-05-2009	59		P5280104	H6-4 / P3	Vue générale, sous-opération 10L	S.-O.
28-05-2009	60		P5280105	H6-4 / P3	Profil stratigraphique type de la sous-opération 10L	S.
28-05-2009	61		P5280106	H6-4 / P3	Paroi sud, détail du creusement récent. Sous-opération 10L	N.-O.
29-05-2009	62		P5290107	H6-4 / P3	Vue générale, sous-opération 10M	S.-E.

Date	Cliché	Nég.	CD	Identification	Description	Orientation
29-05-2009	63		P5290109	H6-4 / P3	Struture en béton associé au pilier de l'autoroute 15, sous-opération 10M	S.-O.
29-05-2009	64		P5290113	H6-4 / P3	Vue générale, sous-opération 10N	S.-E.
29-05-2009	65		P5290114	H6-4 / P3	Profil stratigraphique type de la sous-opération 10N. Beaucoup d'eau	O.
29-05-2009	66		P5290116	H6-4 / P3	Vue générale, sous-opération 10P	S.-O.
29-05-2009	67		P5290117	H6-4 / P3	Profil stratigraphique type de la sous-opération 10P	N.-E.
29-05-2009	68		P5290120	H6-4 / P3	Profil stratigraphique type de la sous-opération 10Q	N.
29-05-2009	69		P5290122	H6-4 / P3	Vue générale, sous-opération 10Q	S.-E.
29-05-2009	70		P5290123	H6-4 / P3	Profil stratigraphique type de la sous-opération 8G	S.-E.
29-05-2009	71		P5290124	H6-3 / P3	Vue générale, sous-opération 8G	E.
29-05-2009	72		P5290126	H6-2 / P3	Vue générale, sous-opération 6H	N.-O.
01-06-2009	73		P6010001	H6-4 / P3	Vue générale, sous-opération 10R	S.-O.
01-06-2009	74		P6010002	H6-4 / P3	Profil stratigraphique type de la sous-opération 10R	N.
01-06-2009	75		P6010003	H6-4 / P3	Vue générale, sous-opération 10S	N.-O.
01-06-2009	76		P6010004	H6-4 / P3	Profil stratigraphique type de la sous-opération 10S	S.-O.
01-06-2009	77		P6010007	H6-5 / P3	Profil stratigraphique type de la sous-opération 12A	S.-O.
01-06-2009	78		P6010011	H6-5 / P3	Profil stratigraphique type de la sous-opération 12B	O.
01-06-2009	79		P6010012	H6-5 / P3	Vue générale, sous-opération 12B	O.
01-06-2009	80		P6010013	H6-5 / P3	Profil stratigraphique type de la sous-opération 12C	E.
01-06-2009	81		P6010014	H6-5 / P3	Vue générale, sous-opération 12C	S.-O.
01-06-2009	82		P6010015	H6-5 / P3	Vue générale, sous-opération 12D	O.
01-06-2009	83		P6010016	H6-5 / P3	Profil stratigraphique type de la sous-opération 12D	N.
01-06-2009	84		P6010019	H6-5 / P3	Vestiges en béton et couche de démolition, sous-opération 12E	N.-E.
01-06-2009	85		P6010022	H6-5 / P3	Profil stratigraphique type de la sous-opération 12F	N.-O.
01-06-2009	86		P6010023	H6-5 / P3	Vue générale, sous-opération 12F	S.
01-06-2009	87		P6010024	H6-5 / P3	Vue générale, sous-opération 12G	O.
01-06-2009	88		P6010025	H6-5 / P3	Profil stratigraphique type de la sous-opération 12G	N.-O.
02-06-2009	89		P6020026	H6-5 / P3	Profil stratigraphique type de la sous-opération 12H	S.-O.
02-06-2009	90		P6020027	H6-5 / P3	Vue générale, sous-opération 12H	O.
02-06-2009	91		P6020029	H6 / P3	Vue générale, sous-opération 12J	O.
02-06-2009	92		P6020030	H6 / P3	Vestige d'un mur en briques et d'un plancher en béton. Sous-opération 12J	S.-E.
02-06-2009	93		P6020031	H6 / P3	Vestige d'un mur en briques et d'un plancher en béton. Sous-opération 12J	S.
02-06-2009	94		P6020032	H6 / P3	Profil stratigraphique type de la sous-opération 12J	E.
02-06-2009	95		P6020034	H6 / P3	Vue générale, sous-opération 12K	N.

Date	Cliché	Nég.	CD	Identification	Description	Orientation
02-06-2009	96		P6020036	H6 / P3	Profil stratigraphique type de la sous-opération 12K	O.
02-06-2009	97		P6020037	H6 / P3	Vue générale, sous-opération 12L	O.
02-06-2009	98		P6020039	H6 / P3	Profil stratigraphique type de la sous-opération 12L	N.-O.
02-06-2009	99		P6020041	H6 / P3	Profil stratigraphique type de la sous-opération 12M	O.
02-06-2009	100		P6020042	H6 / P3	Vue générale, sous-opération 12M	S.-O.
02-06-2009	101		P6020043	H6 / P3	Profil stratigraphique type de la sous-opération 12N	N.-O.
02-06-2009	102		P6020044	H6 / P3	Vue générale, sous-opération 12N	E.
02-06-2009	103		P6020046	H6 / P3	Vue générale, sous-opération 12P	O.
02-06-2009	104		P6020047	H6 / P3	Profil stratigraphique type de la sous-opération 12Q	S.-E.
02-06-2009	105		P6020049	H6 / P3	Vue générale, sous-opération 12Q	S.-O.
02-06-2009	106		P6020051	H6 / P3	Vue de l'excavation de la sous-opération 12R	S.
02-06-2009	107		P6020052	H6 / P3	Vue générale, sous-opération 12R	N.-E.
03-06-2009	108		P6030054	H6-3 / P3	Vue générale, sous-opération 8H	E.
03-06-2009	109		P6030055	H6-3 / P3	Profil stratigraphique type de la sous-opération 8H	N.-E.
03-06-2009	110		P6030057	H6 / P3	Profil stratigraphique type de la sous-opération 14A	N.-O.
03-06-2009	111		P6030058	H6 / P3	Vue générale, sous-opération 14A	N.-E.
03-06-2009	112		P6030059	H6 / P3	Plombs de fusil dans la tourbe. Sous-opération 14A	-
03-06-2009	113		P6030060	H6 / P3	Vue générale, sous-opération 14B	S.-E.
03-06-2009	114		P6030061	H6 / P3	Profil stratigraphique type de la sous-opération 14B	N.
03-06-2009	115		P6030062	H6 / P3	Vue générale, sous-opération 14C	S.-E.
03-06-2009	116		P6030063	H6 / P3	Profil stratigraphique type de la sous-opération 14C	N.-O.
03-06-2009	117		P6030065	H6 / P3	Vue générale, sous-opération 14D	E.
03-06-2009	118		P6030066	H6 / P3	Profil stratigraphique type de la sous-opération 14D	N.-E.
03-06-2009	119		P6030067	H6 / P3	Vue générale, sous-opération 14E	S.-O.
03-06-2009	120		P6030068	H6 / P3	Profil stratigraphique type de la sous-opération 14E	E.
03-06-2009	121		P6030069	H6 / P3	Vue générale intérieur du hangar en tôle, sous-opération 14F	N.-E.
03-06-2009	122		P6030072	H6 / P3	Profil stratigraphique type de la sous-opération 14F	S.-E.
04-06-2009	123		P6040073	H6 / P3	Vue générale, sous-opération 14G	N.
04-06-2009	124		P6040075	H6 / P3	Profil stratigraphique type de la sous-opération 14G	N.
04-06-2009	125		P6040076	H6 / P3	Vue générale, sous-opération 14H	N.
04-06-2009	126		P6040077	H6 / P3	Vue générale, sous-opération 14J	N.
04-06-2009	127		P6040079	H6 / P3	Culture matérielle, couche 3 de la sous-opération 14J	-
04-06-2009	128		P6040081	H6 / P3	Vue générale, sous-opération 14K	N.

Date	Cliché	Nég.	CD	Identification	Description	Orientation
04-06-2009	129		P6040083	H6 / P3	Profil stratigraphique type de la sous-opération 14K	N.
04-06-2009	130		P6040084	H6 / P3	Vue générale, sous-opération 14L	O.
04-06-2009	131		P6040085	H6 / P3	Vue générale, sous-opération 14M	N.-E.
04-06-2009	132		P6040086	H6 / P3	Profil stratigraphique type de la sous-opération 14M	N.
04-06-2009	133		P6040088	H6 / P3	Vue générale, sous-opération 14N	N.
04-06-2009	134		P6040090	H6 / P3	Profil stratigraphique type de la sous-opération 14P	E.
04-06-2009	135		P6040091	H6 / P3	Vue générale, sous-opération 14P	S.
04-06-2009	136		P6040093	H6 / P3	Vue générale, sous-opération 14Q	E.
04-06-2009	137		P6040095	H6 / P3	Profil stratigraphique type de la sous-opération 14Q	N.-E.
05-06-2009	138		P6050096	H6 / P3	Vue générale, sous-opération 14R	S.-E.
05-06-2009	139		P6050099	H6 / P3	Vue générale, sous-opération 12T	N.-E.
08-06-2009	140		P6080108	H6 / P3	Vue générale, sous-opération 12U	N.-E.
08-06-2009	141		P6080109	H6 / P3	Vue générale, sous-opération 12W	S.
08-06-2009	142		P6080111	H6 / P3	Vue générale, sous-opération 12Y	O.
08-06-2009	143		P6080113	H6 / P3	Vue générale de la sous-opération 12Z	S.
08-06-2009	144		P6080115	H6 / P3	Vue générale, sous-opération 12AA	O.
08-06-2009	145		P6080116	H6 / P3	Fin de l'excavation mécanique, sous-opération 12AA	S.
09-06-2009	146		P6090117	H6 / P3	Profil stratigraphique type de la sous-opération 12BB	S.
09-06-2009	147		P6090119	H6 / P3	Profil stratigraphique type de la sous-opération 12CC	N.
09-06-2009	148		P6090121	H6-6 / P3	Vue générale, sous-opération 18A	N.-E.

**Projet : Complexe Turcot**

**Archéologue : Alexandre Carignan  
et Simon Santerre**

**Film N° : MTL09-23-1-NUM4**

**Type de film :**

<b>Date</b>	<b>Cliché</b>	<b>Nég.</b>	<b>CD</b>	<b>Identification</b>	<b>Description</b>	<b>Orientation</b>
03-06-2009	1		1	H6-2 / P3	Vue générale de la zone H6-2 / P3	O.
03-06-2009	2		4	H6-3 / P3	Vue générale, sous-opération 9A	N.-E.
05-06-2009	3		6	H6-2 / P3	Vue générale de la zone H6-2 / P3	S.-O.
05-06-2009	4		8	H6-3 / P3	Vue générale, sous-opération 9B	S.-O.
05-06-2009	5		10	H6-4 / P3	Vue générale, sous-opération 11B	N.-E.
09-06-2009	6		14	H6-4 / P3	Vue générale, sous-opération 11E	S.-O.
09-06-2009	7		15	H6-5 / P3	Vue générale, sous-opération 13A	N.-E.
10-06-2009	8		16	H6-4 / P3	Vue générale, sous-opération 11F	S.-O.
10-06-2009	9		18	H6-4 / P3	Vue générale, sous-opération 11K	N.-O.
16-06-2009	10		DSCN1608	H6 / P3	Vue générale, sous-opération 13D	S.-O.
16-06-2009	11		DSCN1613	H6 / P3	Vue générale, emplacement des sous-opérations 13E et 13F	N.-E.
17-06-2009	12		DSCN1614	H6 / P3	Vue générale, sous-opération 15C	E.
17-06-2009	13		DSCN1615	H6-3 / P3	Vue générale, sous-opération 9D	N.-E.
18-06-2009	14		DSCN1616	H6 / P3	Vue générale, sous-opération 15D	E.

Projet : Complexe Turcot

Archéologue : Hugo Comète,  
Mathieu Sévigny et  
Christian Gates St-  
Pierre

Film N° : MTL09-23-1-NUM5

Type de film :

Date	Cliché	Nég.	CD	Identification	Description	Orientation
10-08-2009	1		Photo 003	H6-1 / P3	Vue générale, sous-opération 20B	N.
10-08-2009	2		Photo 004	H6-1 / P3	Vue générale, sous-opération 20C	S.-O.
10-08-2009	3		Photo 005	H6-1 / P3	Vue générale, sous-opération 20D	N.-E.
11-08-2009	4		Photo 006	H6-1 / P3	Vue générale, sous-opération 20E	S.-E.
11-08-2009	5		Photo 007	H6-1 / P3	Vue générale, sous-opération 20F	S.
11-08-2009	6		Photo 008	H6-1 / P3	Vue générale, sous-opération 20G	O.
11-08-2009	7		Photo 010	H6-1 / P3	Détail de la couche de sables lités dans la CF-6, sous-opération 20H	-
12-08-2009	8		Photo 015	H6-1 / P3	Vue générale, sous-opération 20J	S.-E.
12-08-2009	9		IMG_1719	H6-1 / P3	Vue générale, sous-opération 20K	N.-O.
12-08-2009	10		IMG_1721	H6-3 / P3	Vue générale, sous-opération 21C	N.-O.
13-08-2009	11		Photo 018	H6-1 / P3	Profil stratigraphique type de la sous-opération 22B	N.-E.
13-08-2009	12		IMG_1724	H6-1 / P3	Vue générale, sous-opération 20L	O.
13-08-2009	13		Photo 020	H6-1 / P3	Profil stratigraphique type de la sous-opération 22D	S.
13-08-2009	14		Photo 021	H6-1 / P3	Vue générale, sous-opération 22C	N.-E.
13-08-2009	15		Photo 023	H6-1 / P3	Vue générale, sous-opération 22E	S.-O.
14-08-2009	16		IMG_1728	H6-1 / P3	Vue générale, sous-opération 20M	N.-O.
14-08-2009	17		IMG_1732	H6-1 / P3	Vue générale, sous-opération 20R	S.-O.
14-08-2009	18		IMG_1733	H6-1 / P3	Vue générale, sous-opération 20S	E.
17-08-2009	19		Photo 026	H6-1 / P3	Vue générale, sous-opération 20T	S.-O.
18-08-2009	20		Photo 032	H6-3 / P3	Vue générale, sous-opération 21G	N.
19-08-2009	21		Photo 033	H6-1 / P3	Vue générale, sous-opération 21H	S.
03-09-2009	22		P9030018	H4-1	Vue générale, sous-opération 24B	N.
03-09-2009	23		P9030021	H4-1	Vue générale, sous-opération 24C	S.-O.
04-09-2009	24		P9040024	H4-1	Vue générale, sous-opération 24E	S.
04-09-2009	25		P9040025	H4-1	Vue générale, sous-opération 24D	S.
08-09-2009	26		P9080026	H4-1	Vue générale, sous-opération 24F	O.
08-09-2009	27		P9080027	H4-1	Vue générale, sous-opération 24F	N.

<b>Date</b>	<b>Cliché</b>	<b>Nég.</b>	<b>CD</b>	<b>Identification</b>	<b>Description</b>	<b>Orientation</b>
08-09-2009	28		P9080029	H6-1 / P3	Vue générale, sous-opération 23B	E.
09-09-2009	29		P9090030	H6-1 / P3	Vue générale, sous-opération 23C	S.-O.
09-09-2009	30		P9090031	H6-1 / P3	Vue générale, sous-opération 23D	E.
10-09-2009	31		P9100033	H6-1 / P3	Vue générale, sous-opération 23E	O.
22-10-2009	32		23oct 007	H6-3 / P3	Vue générale, sous-opération 21Q	O.
22-10-2009	33		23oct 008	H6-3 / P3	Vue générale, sous-opération 21Q	O.

**Projet : Complexe Turcot**

**Archéologue : Paul Girard et  
Alexandre Carignan**

**Film N° : MTL09-24-1-NUM1**

**Type de film : numérique**

<b>Date</b>	<b>Cliché</b>	<b>Nég.</b>	<b>CD</b>	<b>Identification</b>	<b>Description</b>	<b>Orientation</b>
05-06-2009	1		P6050100	H6-7 / P3	Vue générale, sous-opération 16B	N.
05-06-2009	2		P6050101	H6-7 / P3	Détail du vestige en briques de laitier, sous-opération 16B	S.
08-06-2009	3		P6080103	H6-7 / P3	Vue générale, sous-opération 16D	N.
08-06-2009	4		P6080104	H6-7 / P3	Profil stratigraphique type de la sous-opération 16D	O.
08-06-2009	5		P6080105	H6-7 / P3	Excavation mécanique, sous-opération 16A	O.
08-06-2009	6		P6080106	H6-7 / P3	Vue générale, sous-opération 16E	N.
15-06-2009	7		DSCN1599	H6-7 / P3	Vue générale, sous-opération 13C	N.
15-06-2009	8		DSCN1603	H6-7 / P3	Vue générale, sous-opération 17C	N.
15-06-2009	9		DSCN1605	H6-7 / P3	Vue générale, emplacement de la sous-opération 17D	N.-E.